

---

**UNIVERSIDADE ESTADUAL DE CAMPINAS**  
**INSTITUTO DE QUÍMICA**

**UM ESTUDO QUÍMICO DA *Artemisia annua* L.**  
**ACLIMATADA NO BRASIL**

**MARY ANN FOGLIO**

**Tese de Doutorado**

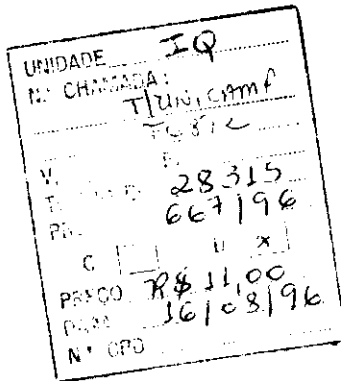
**Orientadora**

**Profa. Dra. Anita Jocelyne Marsaioli**

**Campinas**

**1996**





CM-00091448-5



**FICHA CATALOGRÁFICA ELABORADA PELA  
BIBLIOTECA DO INSTITUTO DE QUÍMICA  
UNICAMP**

Foglio, Mary Ann

F689e Um estudo químico da *Artemisia annua* L. aclimatada no Brasil. / Mary Ann Foglio. -- Campinas. [SP : s.n.], 1996.

Orientadora: Anita Jocelyne Marsaioli.

Tese (doutorado) - Universidade Estadual de Campinas.  
Instituto de Química.

I. *Artemisia annua* L. 2. Artemisinina. 3. Ácido artemisinílico. 4. Qinghaosu I-V. I. Anita Jocelyne Marsaioli. II. Universidade Estadual de Campinas. Instituto de Química III. Título.

Foglio, Mary Ann

Um estudo químico da *Artemisia annua* L. aclimatada no Brasil

T/UNICAMP/F689e  
DEVCLV/E NOVA LEIT. (28315/96)

*Aos meus filhos, Marcelo e Carolina,  
pelo amor e paciência*

## **Agradecimentos**

*À Profa. Dra. Anita Jocelyne Marsaioli, pela orientação, compreensão, dedicação e formação profissional no decorrer deste trabalho.*

*À Diretoria e aos servidores do Centro Pluridisciplinar de Pesquisas Químicas, Biológicas e Agrícolas (CPQBA) da Unicamp, pelo incentivo e amizade recebidos.*

*Ao Prof. Nikolai Sharapin, pelo apoio para a realização deste trabalho.*

*Ao Instituto de Química da Unicamp, pelas facilidades concedidas.*

*À Dra. Vera Ferracini, pelo fornecimento do padrão de nor-tailorina.*

*À Sonia e à Paula, pela obtenção dos espectros de RMN.*

*A todos os colegas do laboratório da Profa. Dra. Anita J. Marsaioli, pela colaboração na execução deste trabalho.*

*À Susi Mary Bonzanini, pela amizade e apoio técnico no decorrer da execução deste trabalho.*

*Aos amigos Rodney, Márcio, Aline, Renato, Rui, Carmen e Adilson pela cooperação e amizade.*

*À Dra. Vera Lúcia Garcia Redher, pelas críticas, sugestões e, principalmente, pela inestimável amizade.*

*Ao Dr. João Ernesto de Carvalho, pelas críticas, sugestões e amizade incondicional durante todos estes anos.*

*À Cármen Lúcia Rodrigues Arruda pela amizade e enorme carinho, como também pelo apoio no acabamento desta tese.*

*A todos da Área de Ensaios Biológicos do CPQBA, pela atenção que sempre me deram.*

*A todos os amigos que, direta ou indiretamente, contribuíram para a realização deste trabalho.*

*À Yara dos Santos Leite, pelo eterno apoio, carinho e cuidado com os meus filhos.*

*A meus pais, Mário e Susana, pelo inestimável apoio e exemplo.*

# Índice

	página
Introdução.....	1
Histórico .....	2
Considerações sobre o gênero .....	4
Mecanismo de ação .....	8
Metabólitos secundários não voláteis encontrados na <i>Artemisia annua</i> L.....	10
Biossíntese .....	15
Metabólitos secundários voláteis descritos na <i>Artemisia annua</i> L .....	17
Objetivos.....	19
Resultados e Discussão.....	21
Otimização do processo de obtenção da artemisinina <u>13</u> .....	22
Otimização dos métodos analíticos .....	24
Secagem e armazenamento da <i>Artemisia annua</i> L.....	27
Otimização dos métodos de extração e purificação de artemisinina <u>13</u> e ácido artemisinínico <u>30</u> .....	28
Isolamento e identificação de amorfanos procedentes de <i>Artemisia annua</i> L.....	35
Qinghaosu ( <u>21</u> ).....	36
Qinghaosu II ( <u>22</u> ) .....	41
Qinghaosu V ( <u>12</u> ) .....	45
Óleo essencial da <i>Artemisia annua</i> L .....	49
Considerações gerais e determinação dos componentes principais.....	49
Obtenção de padrões .....	64
Co-injeção dos padrões <u>112</u> , <u>113</u> , <u>114</u> , <u>115</u> , <u>116</u> , <u>117</u> .....	75
Comportamento sazonal .....	81
Conclusões.....	86

Parte Experimental - Material e Métodos.....	88
<u>Composto 13</u> .....	95
<u>Composto 30</u> .....	98
<u>Composto 22</u> .....	104
<u>Composto 21</u> .....	112
<u>Composto 12</u> .....	119
<u>Composto 80</u> .....	126
<u>Composto 48</u> .....	128
<u>Composto 87</u> .....	130
Amostras de óleo essencial para estudo sazonal .....	132
Metodologia analítica semi-quantitativa para dosagem de artemisinina .....	132
Transformações químicas para obtenção de amorfanos .....	135
Metilação do ácido artemisinínico .....	135
Redução da dupla terminal do composto <u>115</u> .....	138
Redução do éster <u>116</u> .....	141
Reação de mesilação do composto <u>117</u> .....	144
Redução do composto <u>118</u> .....	146
Reação de epoxidação do composto <u>112</u> .....	149
Formação da cetona <u>114</u> .....	156
Bibliografia.....	164
Anexos	

## ABREVIATURAS E SÍMBOLOS

Sigla	Descrição
<b>CCD:</b>	cromatografia em camada delgada
<b>CC:</b>	cromatografia em coluna
<b>CCE:</b>	cromatografia em camada espessa
<b>GC:</b>	cromatografia gasosa
<b>GC/MS:</b>	cromatografia gasosa acoplada a espectrometria de massas
<b>HPLC:</b>	cromatografia líquida de alta eficiência
<b>IR:</b>	índice de retenção
<b>COLOC:</b>	espectro bidimensional de correlação heteronuclear (C,H) a três ligações
<b>COSY:</b>	espectro bidimensional de correlação homonuclear (H,H)
<b>HETCOR:</b>	espectro bidimensional de correlação (C,H) a uma ligação
<b>DEPT:</b>	espectro de RMN <sup>13</sup> C intensificado sem distorção por transferência de polarização (Distortionless Enhancement by Polarization Transfer)
<b>Hz:</b>	hertz
<b>IVTF:</b>	infravermelho
<b>RMN<sup>1</sup>H:</b>	ressonância magnética nuclear de hidrogênio
<b>RMN<sup>13</sup>C:</b>	ressonância magnética nuclear de carbono
<b>ppm:</b>	partes por milhão
<b>J:</b>	constante de acoplamento
<b>s:</b>	singleto
<b>sl:</b>	singleto largo
<b>d:</b>	dubleto
<b>dd:</b>	duplo doubleto
<b>ddd:</b>	triplo doubleto

<b>Sigla</b>	<b>Descrição</b>
<b>m:</b>	multipletos
<b>NOE:</b>	Efeito Overhauser nuclear
<b>NOESY:</b>	Espectro bidimensional de NOE
<b>TMS:</b>	tetrametilsilano
<b>E:</b>	espectro
<b>EM:</b>	espectro de massas
<b>eV:</b>	elétron volt
<b>m/z:</b>	relação massa carga
<b>pf:</b>	ponto de fusão
<b>Rf:</b>	relação da distância percorrida pela amostra / distância percorrida pelo eluente em cromatografia de camada delgada
<b>tr:</b>	tempo de retenção
<b>THF:</b>	tetra-idrofurano
<b>t.a.:</b>	temperatura ambiente
<b>t:</b>	triploto
<b>δ:</b>	deslocamento químico em partes por milhão
<b>[α]D:</b>	rotação ótica específica
<b>MHz:</b>	megahertz
<b>Hac:</b>	ácido acético
<b>AMCP:</b>	ácido meta cloro perbenzóico
<b>M<sup>+</sup>:</b>	íon molecular
<b>DMSO:</b>	dimetilsulfóxido
<b>CDCl<sub>3</sub>:</b>	clorofórmio deuterado

## *Resumo*

# UM ESTUDO QUÍMICO DA *ARTEMISIA annua* L. ACLIMATADA NO BRASIL

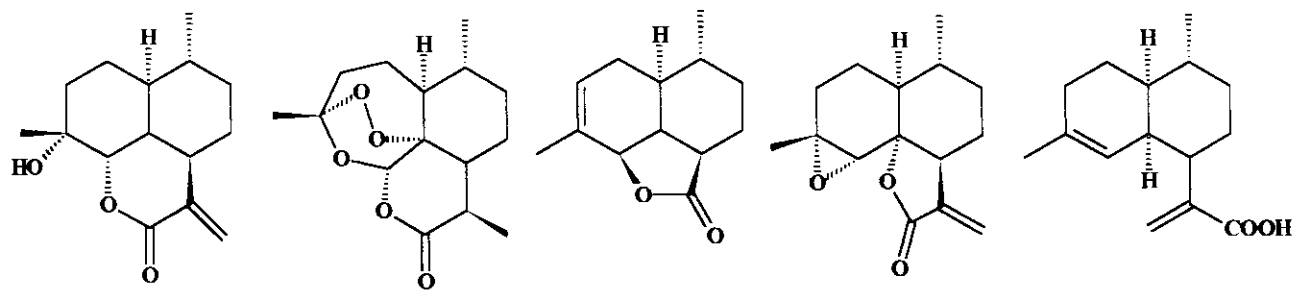
Mary Ann Foglio; CPQBA-UNICAMP, CP 6171, Campinas 130183-970, São Paulo, Brasil;  
Anita Jocelyne Marsaioli, Instituto de Química-Unicamp, CP 6154, Campinas 130183-970,  
São Paulo, Brasil

*Artemisia annua* L. é uma *Asteracea* oriunda da Ásia conhecida pela produção de artemisinina 13, um potente antimalárico. Por ser uma espécie de grande interesse elegemos como tema desta tese estudar vários aspectos da variedade aclimatada no Brasil.

Os metabólitos secundários não voláteis 12, 21, 22, 30 foram isolados por métodos cromatográficos convencionais os quais apresentam o sistema bicíclico [4.4.0] decano *cis*. Estes compostos apresentam tendências conformacionais que variam de acordo com o tipo de substituinte que possuem. Assim nós nos propusemos a fazer um estudo espectroscópico sistemático destes amorfanos naturais e preparamos alguns padrões 112, 113, 114 contendo o sistema bicíclico [4.4.0] decano *cis* para também serem caracterizados. A análise dos espectros de uma e duas dimensões de correlação homo e heteronuclear permitiram uma atribuição precisa dos átomos de carbono e hidrogênio além de indicarem a tendência conformacional destes compostos.

A composição dos constituintes voláteis encontrados no óleo essencial da planta aclimatada no Brasil foram estudados por GC/MS (HP 5890/ HP 5970). A utilização dos dados de índices de retenção e espectros de massas aliado a co-injeção de padrões permitiu determinar quarenta e nove componentes no óleo essencial. Um dos compostos determinados 125 revelou ser um esqueleto inédito não descrito anteriormente em plantas.

Também foi abordado o estudo comparativo do perfil cromatográfico do óleo essencial da *Artemisia annua* L. cultivadas no Brasil comparado a óleos de *Artemisia annua* L. de outras procedências. Um acompanhamento sazonal da *Artemisia annua* L. possibilitou observar a variação dos teores dos principais componentes encontrados na planta verificando a o comportamento da artemisinina 13 em relação à produção do óleo essencial. Foi avaliada a viabilidade econômica de produção da artemisinina 13 utilizando diversos materiais no seu processo de obtenção. Dessa forma consegui-se obter o princípio ativo 13 num custo global de 11 dólares e 50 centavos por grama de artemisinina 13.



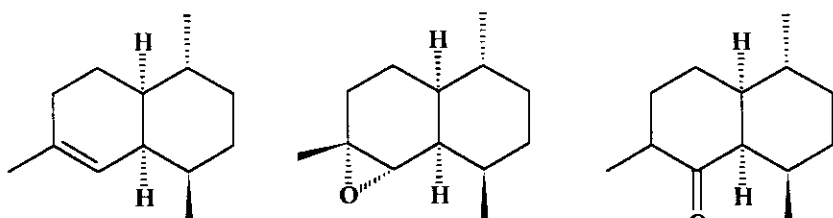
12

13

21

22

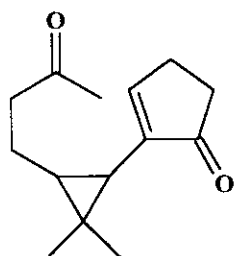
30



112

113

114



125

## *Abstract*

# A STUDY OF THE ESSENTIAL OIL OF *Artemisia annua* L. ADAPTED TO BRAZILIAN CLIMATE

Mary Ann Foglio, CPQBA-UNICAMP, CP 6171, Campinas 130183-970, São Paulo, Brazil;  
Anita Jocelyne Marsaioli, Instituto de Química-UNICAMP, CP 6154, Campinas 130183-970,  
São Paulo, Brazil

The Asteracea *Artemisia annua* L. native of the Asian continent is well known for the production of a potent antimalarial compound, artemisinine 13. The purpose of this work was to study some chemical aspects of the plant adapted to Brazilian climate.

The total hydrogen and carbon-13 NMR assignment of compounds 12, 21, 22 and 30 isolated from *Artemisia annua* L. as well as that of compounds 112, 113 and 114, obtained through chemical transformations, are reported. The conformations and conformational equilibria of these compounds in solution which possess a *cis*-decalin moiety were obtained from spectral data and molecular mechanics calculations.

The identification of the essential oil of the plant cultivated in Brazil was studied using GC/MS (HP 5890/HP 5970). Forty nine constituents were determined by association of retention time data and co-injection of authentic standards. Compound 125 is a new carbon skeleton not published up to this date.

Comparison of the gas chromatography profile of the *Artemisia annua* L. essential oil produced in Brazil with those of other origins revealed significant variation of their constituents. The seasonal behavior of artemisinine 13 content versus essential oil production was observed during one harvest period.

The economical viability of several purification methodologies for artemisinine production were tested. In this work we produced the antimalarial compound 13 at a total cost of US\$ 11,5 per gram.

## *Introdução*

## I. Histórico

A utilização de ervas medicinais é tão antiga quanto a humanidade. Para o tratamento dos diversos males que os acometiam, nossos antepassados utilizavam-se, por tentativa e erro, de diversas espécies vegetais obtendo, às vezes, o sucesso da cura /1/. A cultura chinesa tem-se utilizado do conhecimento popular de ervas medicinais durante os últimos cinco séculos.

As origens desta cultura são desconhecidas mas, supostamente, iniciou-se na época dos cinco soberanos, no período de 2953-2208 aC, que introduziram esta filosofia de princípios médicos. Shen-Nong é reconhecidamente o fundador da medicina chinesa e adorado pelos nativos como um Deus, pois a ele são atribuídas as virtudes das plantas e a capacidade de experimentar venenos /2/.

Uma grande contribuição nesta área foi feita pelo médico e naturalista Li Shi-Zhen (1518-1593), em sua obra Ben-Cao-Gang-Mo, publicada em 1590, onde ele descreveu 1892 drogas e 8160 receitas /3/.

Como a Ásia é o continente onde a medicina tradicional é mais praticada, alguns governos como os da China, Índia, Siri-Lanka e Japão têm encontrado meios de legalizar e reconhecer o uso desta prática. No Siri-Lanka existe um Ministério para a medicina indígena. Na Índia, no Ministério da Saúde local, foi criado o Departamento de Medicina Tradicional. Já no Japão, atualmente, 47% dos médicos utilizam métodos da medicina tradicional chinesa aliados à terapêutica ocidental no tratamento de seus pacientes. Na China, a medicina tradicional foi ignorada até a revolução de 1949 que implantou a República Popular da China. A partir dessa data, o governo incentivou a política de união entre a medicina ocidental e a tradicional, criando, em 4 de janeiro de 1986, o Ministério Independente de Medicina Tradicional Chinesa /4/.

Existem hoje na China cerca de 5136 espécies vegetais utilizadas popularmente como medicinais das quais 300 foram estudadas chegando-se à identificação de seus princípios ativos /4/. Incentivado pelo governo, esse estudo teve início em 1967 com objetivo de descobrir novas fontes de medicamentos /1/. Uma dessas espécies foi a *Artemisia annua* L., que Li Shi-Zhen em sua obra Ben-Cao-Gang-Mo, cita o uso de preparações desta planta para combater a febre provocada pela malária /3/.

A situação da malária no Brasil nos anos cinquenta era de até sete milhões de casos anuais, índice que vinte anos depois diminuiu para cinco milhões, atualmente encontra-se num patamar de 500 mil casos por ano. Estima-se que a malária leva a óbito dez mil pessoas por ano. A Organização Mundial de Saúde (OMS) estima que a ocorrência global de malária aguda

e crônica atinge de 220 a 230 milhões de casos por ano, sendo responsável por dois milhões de mortes por ano, o que a coloca como a maior epidemia do mundo. Este índice é superior ao observado para Síndrome da Imunodeficiência Adquirida (AIDS)/5/. Dessa forma a pesquisa e desenvolvimento de novos antimaláricos é de fundamental importância. Como esta patologia é encontrada somente em países subdesenvolvidos (Figura 1) existe pouco interesse das indústrias em financiar pesquisas para o desenvolvimento de novos antimaláricos, cabendo a agências de fomento do terceiro mundo o ônus destas pesquisas.

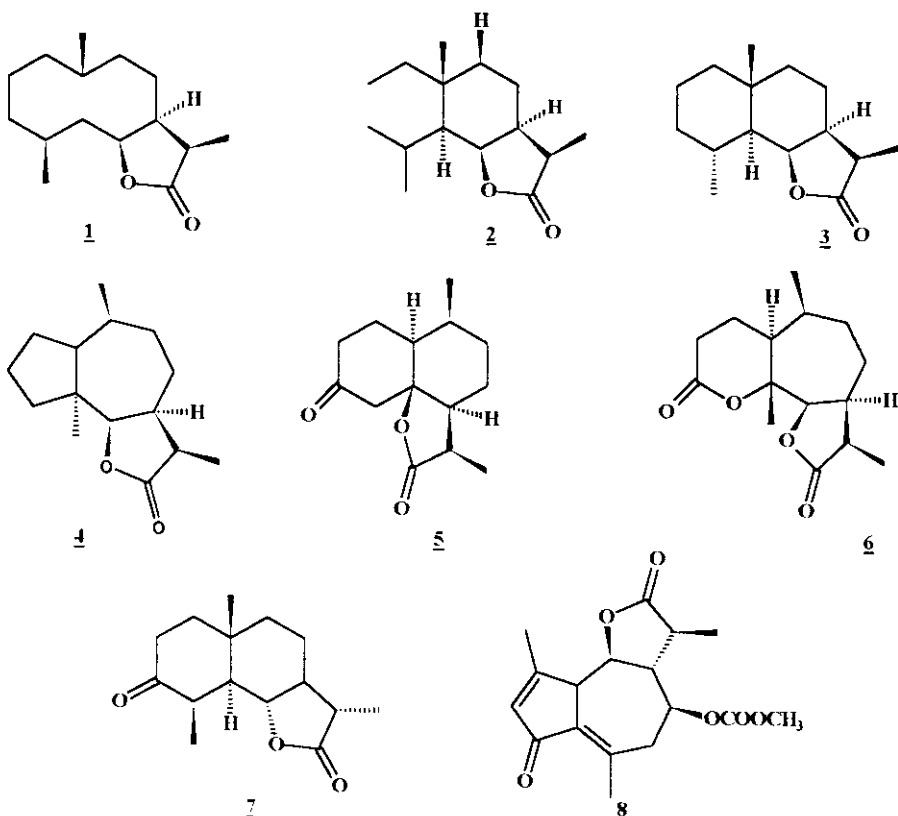


**Figura 1:** Situação mundial da malária

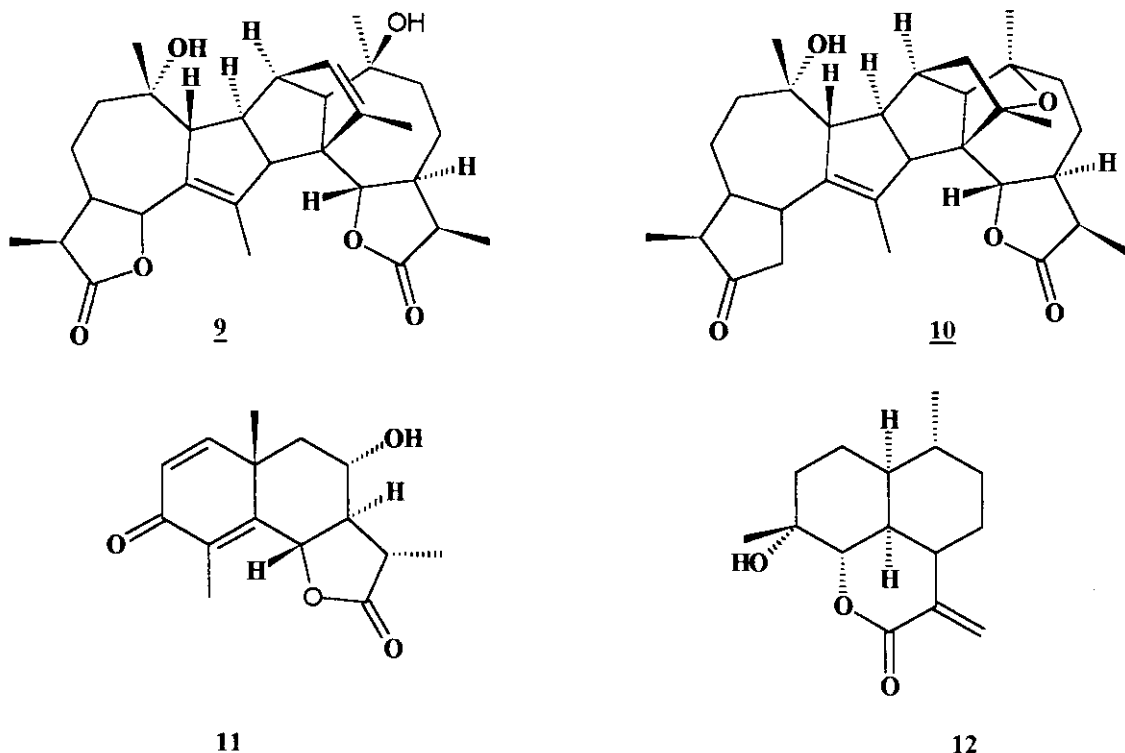
## II. Considerações sobre o gênero

Pesquisadores chineses estudaram mais de trinta espécies do gênero *Artemisia* para confirmar a atividade antimalárica das mesmas. Entre os metabólitos secundários isolados das diversas espécies do gênero *Artemisia* os mais característicos são as lactonas sesquiterpênicas /6/. Os dados existentes sobre lactonas sesquiterpênicas do gênero *Artemisia* foram compilados segundo os sub-gêneros: *Abrotanum*; *Absinthium*; *Drancunculus*; *Seriphidium*; *Tridentatae*.

As diversas classes de estruturas das lactonas sesquiterpênicas do gênero *Artemisia* são originárias de transformações biossintéticas a partir dos germacranolídeos 1, estas assim são transformadas biossinteticamente em classes mais avançadas através de ciclizações, rearranjos, e oxidações originando os esqueletos básicos dos elemanolídios 2, eudesmanolídios 3, guainolídios 4, cadinolídios 5, psilostacinolídios 6, /7/. Os principais tipos de lactonas sesquiterpênicas encontradas no gênero *Artemisia* são a santonina 7, matricarina 8, absintina 9, anabsintina 10, artemisina 11, artenuína 12 /7/ (Figura 2 e 3).

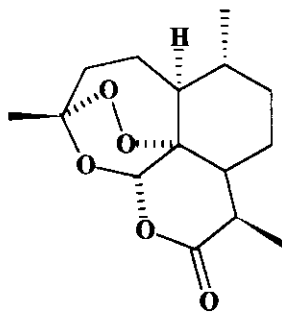


**Figura 2:** Compostos encontrados no gênero *Artemisia*/7/



**Figura 3:** Compostos encontrados no gênero *Artemisia*/7/

Porém só a *Artemisia annua L.* e a *Artemisia apiecea* provaram ser eficazes contra o *Plasmodium falciparum* e o *Plasmodium vivax* /8/. Grupos americanos /9/ estudaram as espécies *Artemisia ludoviciana*, *A.vulgaris*, *A.schmidtiana*, *A.pontica*, *A.arbuscula* e *A.drancunculus*, que não apresentaram atividade antimalária. A peculiaridade sobre as outras espécies do gênero é que a *Artemisia annua L.* e a *Artemisia apiecea* apresentam um princípio ativo com uma lactona sesquiterpênica e o grupo 1,2,4-trioxano. Este composto foi identificado a partir do extrato de éter etílico dessas espécies, denominado artemisinina **13**, que, quando submetido a testes farmacológicos, apresentou atividade antimalária /10/. A artemisinina **13** é de ação rápida e atua sobre as formas de malária provocadas pelo *Plasmodium vivax* e o *Plasmodium falciparum*, inclusive sobre as formas de malária provocadas pelo *Plasmodium* resistente ao tratamento às cloroquinas /11/.



### 13

A *Artemisia annua* L. é uma Asteraceae (tribo Anthemidea) nativa de regiões de clima temperado, na China, em países do Sudeste da Europa (Bulgária, Romênia e antiga Iugoslávia), em Piemonte (Itália) e na Moldavia (antiga URSS) /12/. Na literatura, até o momento, estão descritas 400 espécies deste gênero /13/.

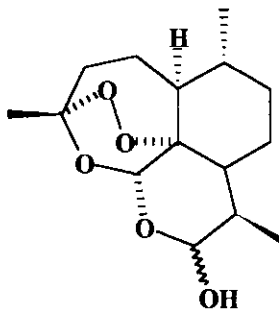
Na Índia, a espécie foi introduzida pela CIMAP (Central Institute of Medicinal and Aromatic Plants), com sementes fornecidas pelo “Kew Royal Botanics Gardens”, Inglaterra. Atualmente, está sendo cultivada no “Kashmir Valley”- Paquistão para produção de artemisinina 13 em larga escala /10/



**Figura 4:** *Artemisia annua* L. cultivada no Brasil (hibrido Ch x Viet 55, em estado de corte)

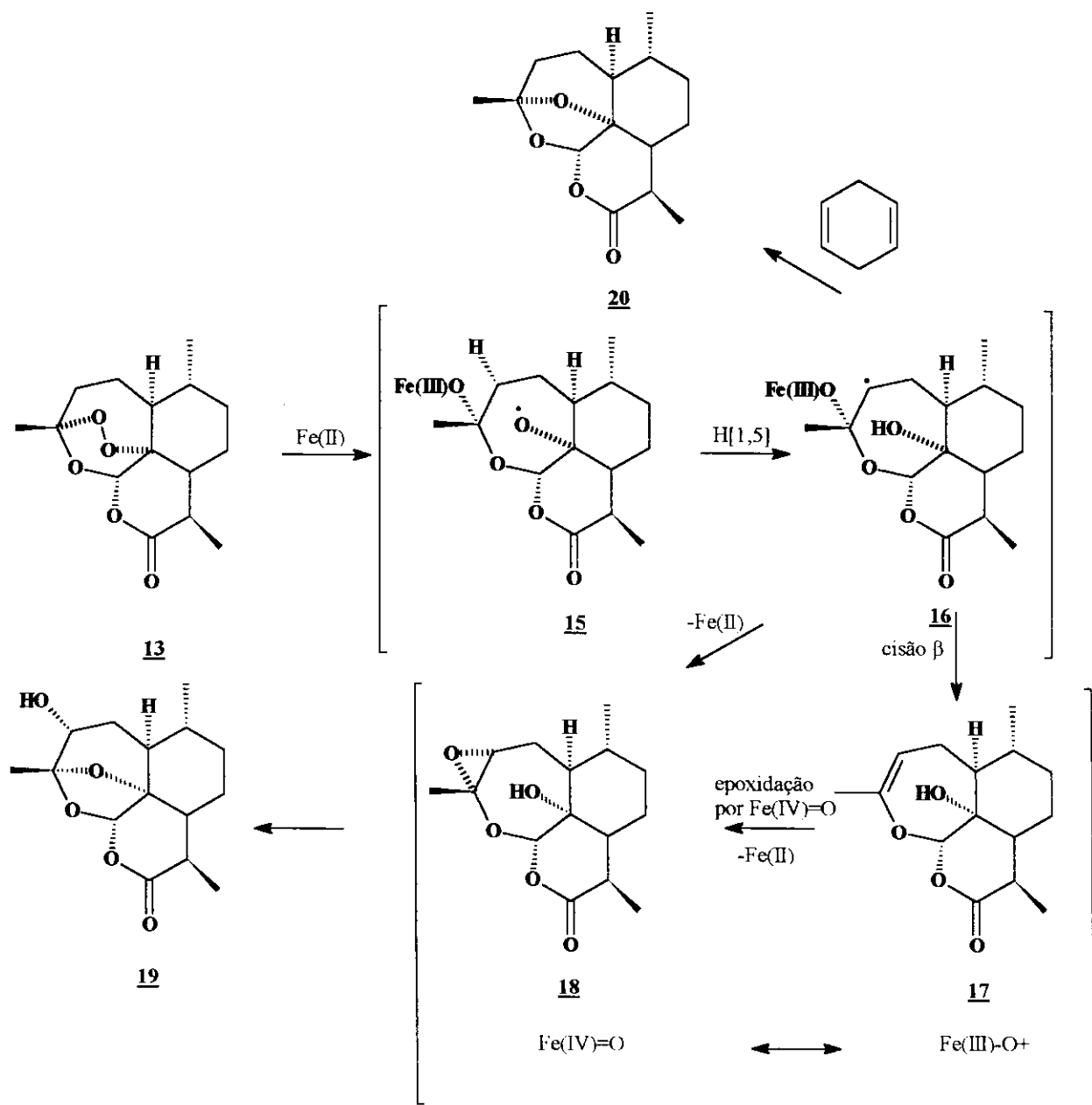
### III. Mecanismo de Ação

Apesar de produzir um rápido desaparecimento dos parasitas do sangue, a recorrência da doença nesses pacientes é mais rápida que naqueles tratados com cloroquinas. Uma das hipóteses para essa recorrência é a rápida eliminação da artemisinina do organismo. Esse fato motivou vários grupos de pesquisa /14/ a modificar a estrutura da artemisinina 13, para aumentar sua potência antimalária. Com esta finalidade, foi sintetizado o artemisininelactol 14, que apresentou o dobro da atividade antimalária /14/.



14

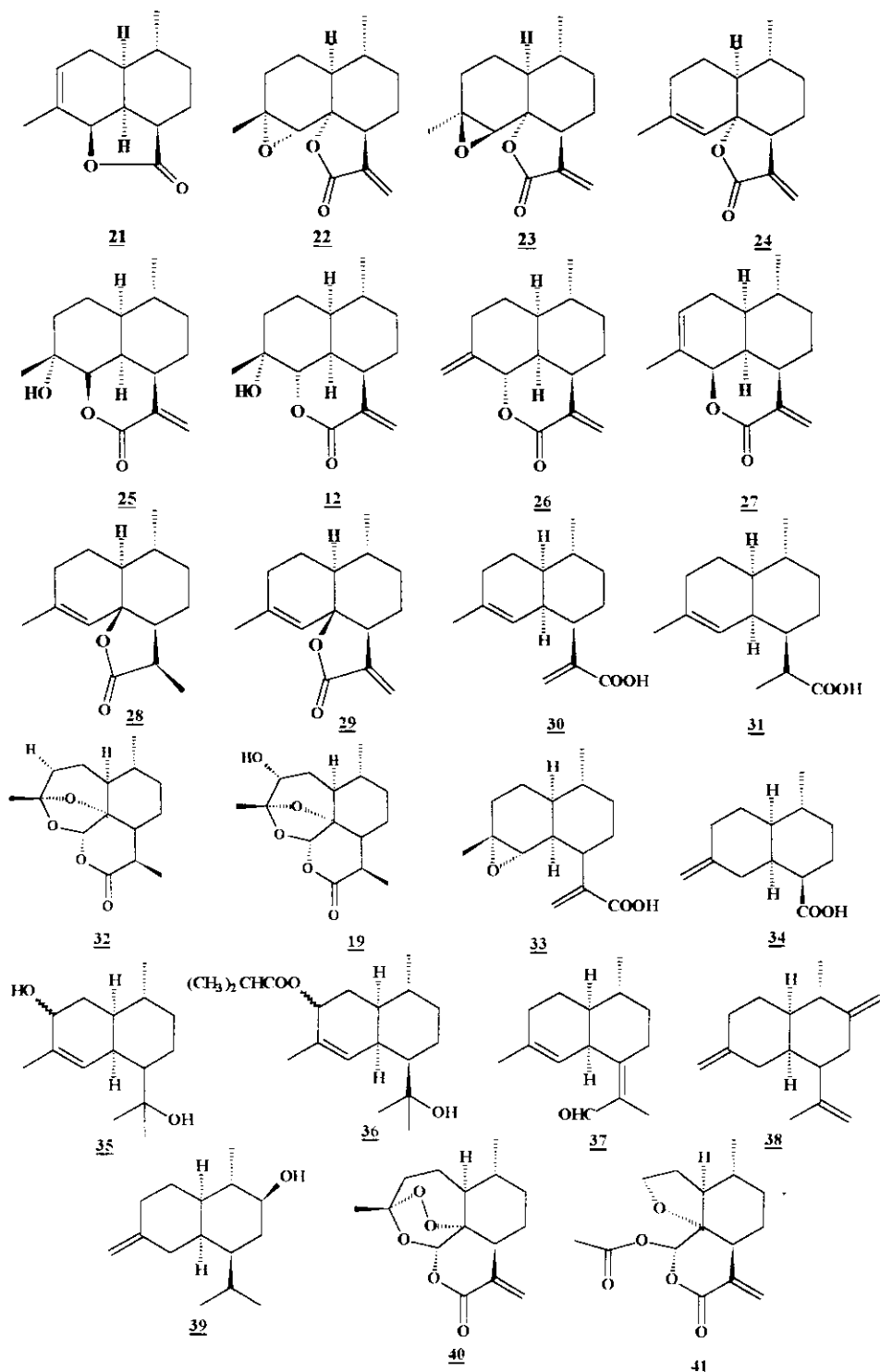
O mecanismo da ação tóxica da artemisinina 13 e seus derivados sobre o *Plasmodium* ainda não está totalmente esclarecido. A formação de radicais de oxigênio ativado (superóxido, peróxido de hidrogênio e radicais hidroxílicos) desempenha um papel importante, pois os derivados, sem o grupo peróxido, são inativos. Alguns trabalhos indicam que esses radicais provocam lesões na membrana nuclear e mitocondrial do parasita, por inibição da síntese de ácidos nucleicos e de proteínas /15/. Trabalhos recentes sugerem que a reação da artemisinina 13 com o heme presente no interior do parasita leva à produção de radicais livres, citotóxicos. Esses mecanismos de ação poderiam explicar a toxicidade seletiva da artemisinina 13 e seus derivados ao *Plasmodium*, quando comparada à observada em outros tipos de células /16, 17/. Estudos recentes propõe que o peróxido orgânico da artemisinina é reduzido por parasitas ricos em ferro, formando intermediários radicalares citotóxicos /18/. Por esse mecanismo haveria a formação de uma espécie Fe(IV)-oxi 18, por cisão homolítica da ligação O-C, a partir de um radical β-ferro-oxy-etyl 16, levando à formação de um potente agente alquilante, um epóxido altamente eletrofílico 18 (Esquema 1). Este mecanismo representa a primeira menção da geração de Fe(IV)=O 18, durante ativação do 1,2,4-trioxano com íon ferro /18/.



**Esquema 1:** Sugestão de mecanismo de formação de intermediários radicalares /18/

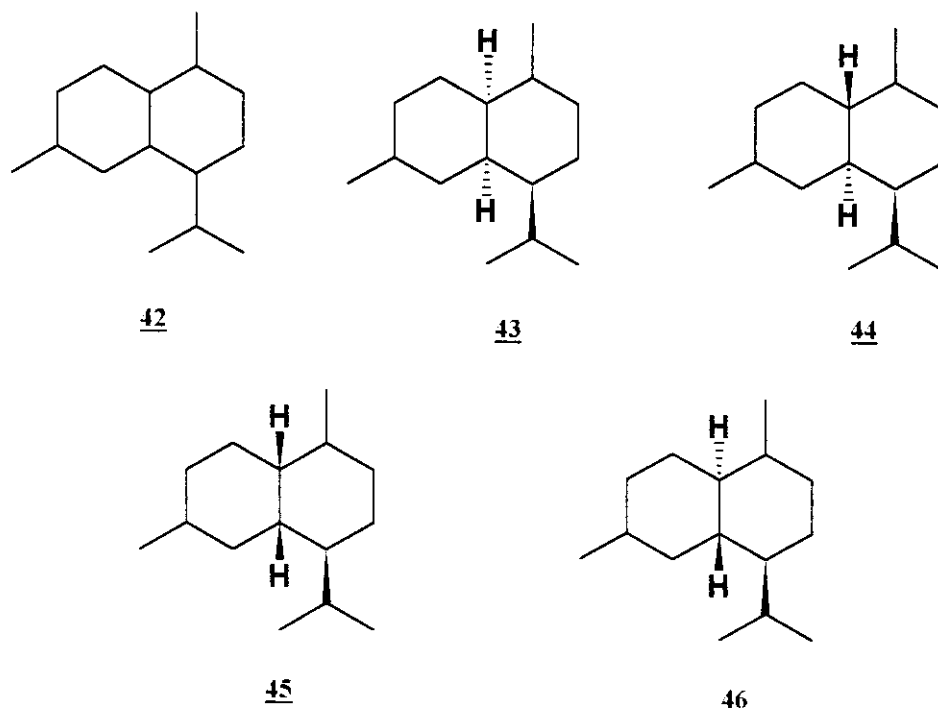
#### IV. Metabólitos secundários não voláteis encontrados na *Artemisia annua* L.

Até 1995, vinte e quatro sesquiterpenos (12,13,19,21 até 41) foram isolados da *Artemisia annua* L., sendo a maioria destes compostos relacionados à série dos amorfanos que se caracterizam pelo esqueleto básico (1S, 6S, 7S)-7-(2-propil)4,10-dimetilbiciclo [4.0.4]/16-30/ (Figura 5).



**Figura 5:** Terpenos identificados na *Artemisia annua* L /16-30/

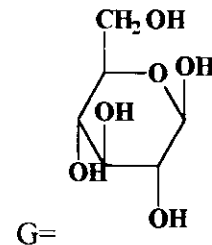
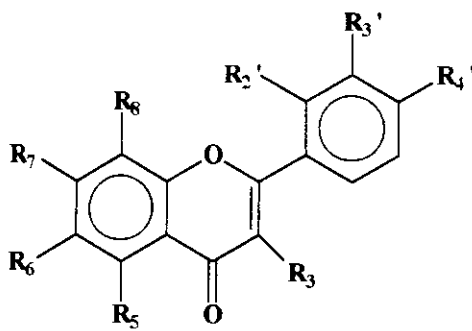
Estes compostos possuem esqueleto básico de cadinanos 42, podendo ser encontrados na natureza em óleos essenciais, petróleo e âmbar. A família dos cadinanos pode ainda ser dividida em amorfanos 43, cadinanos 44, bulgaranos 45, e muurolanos 46, dependendo da estereoquímica relativa da junção dos anéis e do grupo isopropila /29/ (Figura 6).



**Figura 6:** Esqueletos carbônicos da família dos cadinano/29/

Além dos amorfanos, até o presente momento foram descritos trinta e quatro flavonóides na *Artemisia annua* L.(Tabela 1 )/28-33/.

**Tabela 1:** Flavonóides encontrados na *Artemisia annua* L.



# Composto	Nome Comum	Nome IUPAC	Substituintes*
47	astragalina	4H - 1 - Benzopirano - 4 - ona, 3 - ( $\beta$ -glucopiranosiloxi) - 5,7 - di-idroxi - 2 - (4 - hidroxifenil)	R <sub>3</sub> =G; R <sub>5</sub> =R <sub>7</sub> =R <sub>4</sub> =OH
48	artemetina	4H - 1 - Benzopirano - 4 - ona, 2 - (3,4 - dimetoxifenil), 5 - hidroxi - 3,6,7 - trimetoxi	R <sub>3</sub> =R <sub>5</sub> =R <sub>4</sub> '=R <sub>6</sub> =R <sub>7</sub> =OCH <sub>3</sub> ; R <sub>8</sub> =OH
49	apigenina	4H - 1 - Benzopirano - 4 - ona - 5,7 - di-idroxi - 2 - (4 - hidroxifenil)	R <sub>4</sub> =R <sub>5</sub> =R <sub>7</sub> =OH
50	axillarina	4H - 1 - Benzopirano - 4 - ona - 2 - (3,4 - dihidroxifenil), 5,7 - di-idroxi - 3,6 - dimetoxi	R <sub>3</sub> =R <sub>6</sub> =OCH <sub>3</sub> ; R <sub>5</sub> =R <sub>4</sub> '=R <sub>7</sub> =R <sub>8</sub> =OH
51	casticina	4H - 1 - Benzopirano - 4 - ona, 5 - hidroxi - 2 - (3 - hidroxi - 4 - metoxifenil) - 3,6,7 - trimetoxi	R <sub>3</sub> =R <sub>6</sub> =R <sub>7</sub> =R <sub>4</sub> '=OCH <sub>3</sub> ; R <sub>5</sub> =R <sub>8</sub> =OH
52	chrysoeriol	4H - 1 - Benzopirano - 4 - ona, 5,7 - di-idroxi - 2 - (4 - hidroxi - 3 - metoxifenil)	R <sub>3</sub> =OCH <sub>3</sub> ; R <sub>4</sub> '=R <sub>5</sub> =R <sub>6</sub> =OH
53	chrysosplenol-D	4H - 1 - Benzopirano - 4 - ona, 2 - (3,4 - dihidroxifenil) - 5 - hidroxi - 3,6,7 - trimetoxi	R <sub>3</sub> =R <sub>6</sub> =R <sub>7</sub> =OCH <sub>3</sub> ; R <sub>5</sub> =R <sub>4</sub> '=R <sub>8</sub> =OH
54	chrysoplenetina	4H - 1 - Benzopirano - 4 - ona, 5 - hidroxi - 2 - (4 - hidroxi - 3 - metoxi) - 3,6,7 - trimetoxi	R <sub>3</sub> =R <sub>3</sub> '=R <sub>6</sub> =R <sub>7</sub> =OCH <sub>3</sub> ; R <sub>4</sub> '=R <sub>5</sub> =OH
55	cirsilineol	4H-1-Benzopirano-4 - ona,5-hidroxi-2-(4 - hidroxi-32metoxifenil)-6,7-dimetoxi	R <sub>3</sub> '=R <sub>6</sub> =R <sub>7</sub> =OCH <sub>3</sub> ; R <sub>4</sub> '=R <sub>5</sub> =OH
56	cirsiliol	4H - 1 - Benzopirano - 4 - ona, 2 - (3,4 - dihidroxifenil) - 5 - hidroxi - 6,7 - dimetoxi	R <sub>3</sub> '=R <sub>4</sub> '=R <sub>5</sub> =OH; R <sub>6</sub> '=R <sub>7</sub> =OCH <sub>3</sub>
57	cirsimartina	4H - 1 - Benzopirano - 4 - ona, 5 - hidroxi - 2 - (4 - hidroxifenil) - 6,7 - dimetoxi	R <sub>4</sub> '=R <sub>5</sub> =OH; R <sub>6</sub> '=R <sub>7</sub> =OCH <sub>3</sub>
58	eupatorina	4H - 1 - Benzopirano - 4 - ona, 5 - hidroxi - 2 - (3 - hidroxi - 4 - metoxifenil) - 6,7 - dimetoxi	R <sub>3</sub> '=R <sub>5</sub> =OH; R <sub>4</sub> '=R <sub>6</sub> '=R <sub>7</sub> =OCH <sub>3</sub>
59	isoquercitrina	4H - 1 - Benzopirano - 4 - ona, 2 - (3,4 - dihidroxifenil) - 3 - ( $\beta$ -D-glucofuranosiloxi) - 5,7 - di-idroxi	R <sub>3</sub> '=R <sub>4</sub> '=R <sub>5</sub> =R <sub>7</sub> =OH; R <sub>8</sub> =G
60	isorhamnetina	4H - 1 - Benzopirano - 4 - ona, 3,5,7 - trihidroxi - 2 - (4 - hidroxi - 3 - metoxifenil)	R <sub>3</sub> '=R <sub>4</sub> '=R <sub>5</sub> =R <sub>7</sub> =OH; R <sub>8</sub> =OCH <sub>3</sub>
61	isokaempferida	4H - 1 - Benzopirano - 4 - ona, 5,7 - di-idroxi - 2 - (4 - hidroxifenil) - 3 - metoxi	R <sub>3</sub> =OCH <sub>3</sub> ; R <sub>4</sub> '=R <sub>5</sub> =R <sub>7</sub> =OH
62	Kaempferol	4H - 1 - Benzopirano - 4 - ona, 3,5,7 - trihidroxi - 2 - (4 - hidroxifenil).	R <sub>4</sub> '=R <sub>3</sub> '=R <sub>5</sub> =R <sub>7</sub> =OH
63	luteolina	4H - 1 - Benzopirano - 4 - ona, 2 - (3,4 - dihidroxifenil) - 5,7 - di-idroxi	R <sub>3</sub> '=R <sub>4</sub> '=R <sub>5</sub> =R <sub>7</sub> =OH
64	luteolina-7-metileter	4H - 1 - Benzopirano - 4 - ona, 2 - (3,4 - dihidroxifenil) - 5 - hidroxi - 7 - metoxi	R <sub>3</sub> '=R <sub>4</sub> '=R <sub>5</sub> =OH; R <sub>7</sub> =OCH <sub>3</sub>
65	luteolina-7-O-glucosideo	4H-1-Benzopirano-4 - ona, 2-(3,4-dihidroxifenil)-5-hidroxi-7-glucosideo	R <sub>3</sub> '=R <sub>4</sub> '=R <sub>5</sub> =OH; R <sub>7</sub> =Oglucosideo

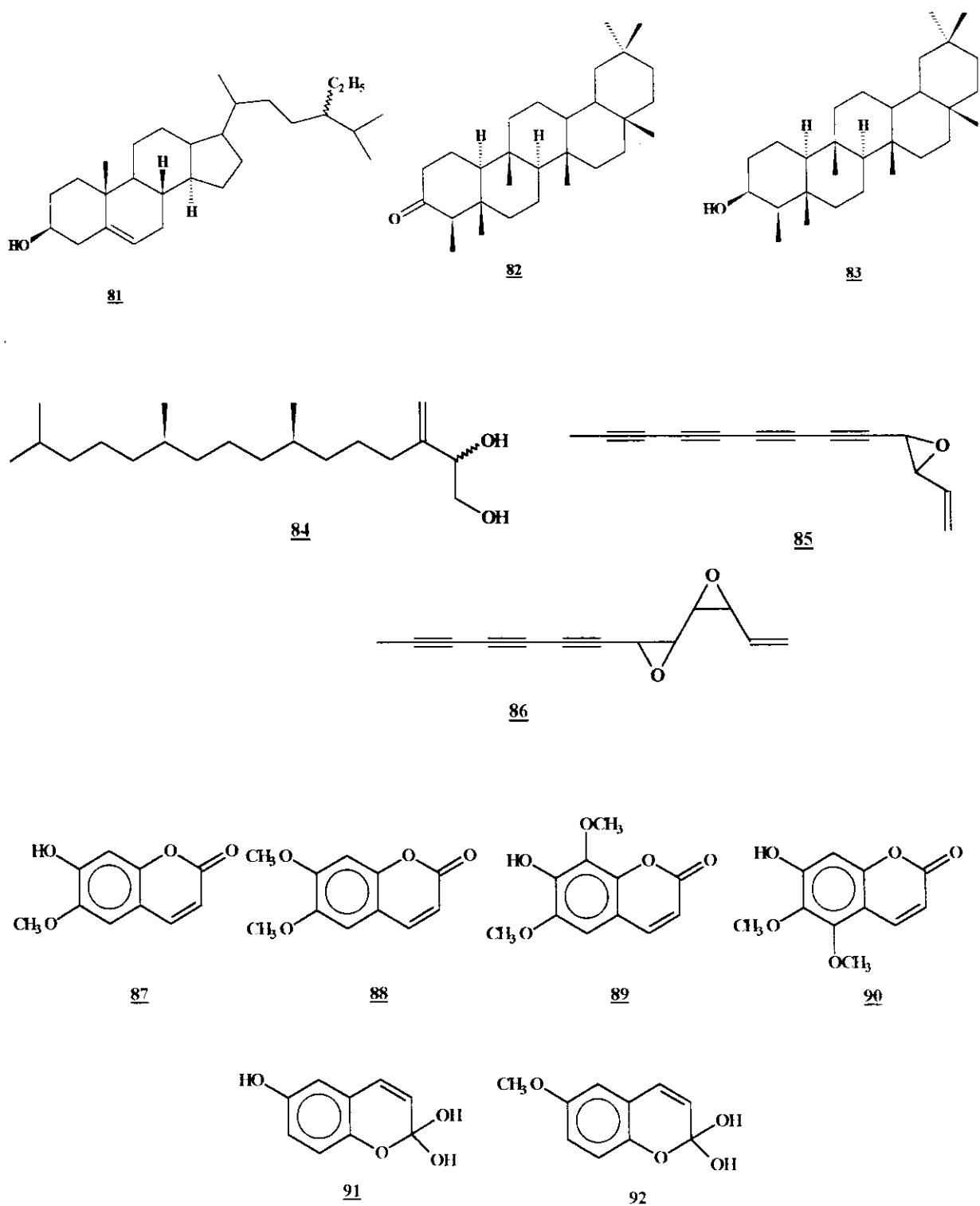
continua

continuação Tabela 1

# Composto	Nome Comum	Nome IUPAC	Substituintes*
<u>66</u>	penduletina	4H - 1 - Benzopirano - 4 - ona , 5 - hidroxi - 2 - (4 - hidroxo - 3 - metoxifenil) - 3,6,7 - trimetoxi	R <sub>3</sub> =R <sub>6</sub> =R==OCH <sub>3</sub> ; R <sub>4</sub> '=R <sub>5</sub> =OH
<u>67</u>	quercitina	4H - 1 - Benzopirano - 4 - ona , 2 - (3,4 - di-idroxifenil) - 3,5,7 - trihidroxi	R <sub>3</sub> =R <sub>5</sub> =R=R <sub>3</sub> '=R <sub>4</sub> =OH
<u>68</u>	quercitina-32metileter	4H - 1 - Benzopirano - 4 - ona , 2 - (3,4 - di-idroxifenil) - 3 - metoxi - 5,7 - di-idroxi	R <sub>3</sub> =OCH <sub>3</sub> ; R <sub>5</sub> =R=R <sub>3</sub> '=R <sub>4</sub> '=OH
<u>69</u>	quercitina-3'-O-glucosideo	4H - 1 - Benzopirano - 4 - ona , 2 - (3,4 - di-idroxifenil) - 3 - glucosideo - 5,7 - di-idroxi	R <sub>3</sub> =glucosideo; R <sub>5</sub> =R=R <sub>3</sub> '=R <sub>4</sub> '=OH
<u>70</u>	quercetagetina-6,7,3',4'-tetrametileter	4H - 1 - Benzopirano - 4 - ona , 2 - (3,4 - dimetoxifenil) - 6,7 - metoxi - 3,5 - di-idroxi	R <sub>3</sub> =R <sub>5</sub> =OH; R <sub>3</sub> '=R <sub>4</sub> '=R <sub>6</sub> =R=R <sub>3</sub> '=OCH <sub>3</sub>
<u>71</u>	quercetagetina-4'-metileter	4H - 1 - Benzopirano - 4 - ona , 2 - (3 - hidroxi - 4 - metoxifenil) - 3,5,6,7 - tetrahidroxi	R <sub>3</sub> =R <sub>5</sub> =R <sub>6</sub> =R=R <sub>3</sub> '=OH; R <sub>4</sub> '=OCH <sub>3</sub>
<u>72</u>	quercetagetina-32metileter	4H - 1 - Benzopirano - 4 - ona , 2 - (3,4 - di-idroxifenil) - 3 - metoxi , 5,6,7 - trihidroxi	R <sub>3</sub> =OCH <sub>3</sub> ; R <sub>3</sub> '=R <sub>4</sub> '=R <sub>5</sub> =R <sub>6</sub> =R=R=OH
<u>73</u>	quercimeritrina	4H - 1 - Benzopirano - 4 - ona , 2 - (3,4 - di-idroxifenil) - 7 - ( $\beta$ -D- glucopiranosiloxi)-3,5 - di-idroxi	R <sub>3</sub> '=R <sub>4</sub> '=R <sub>3</sub> '=R <sub>5</sub> =OH; R <sub>7</sub> =G
<u>74</u>	rhamnetina	4H - 1 - Benzopirano - 4 - ona , 2 - (3,4 - di-idroxifenil) - 3,5 - di-idroxi	R <sub>3</sub> '=R <sub>4</sub> '=R <sub>3</sub> '=R <sub>5</sub> =OH
<u>75</u>	rhamnocitrina	4H-1-Benzopirano-4 - ona,3,5-di-idroxi-2-(4-hidroxifenil)-7-metoxi	R <sub>3</sub> =R <sub>3</sub> '=R <sub>5</sub> =OH; R=R=OCH <sub>3</sub>
<u>76</u>	tamarixetina	4H - 1 - Benzopirano - 4 - ona , 3,5,7 - trihidroxi - 2 - ( 3 - hidroxi - 4 - metoxifenil)	R <sub>3</sub> '=R <sub>3</sub> '=R <sub>5</sub> =R=OH; R <sub>4</sub> '=OCH <sub>3</sub>
<u>77</u>	tomentina	4H - 1 - Benzopirano - 4 - ona , 2 - (3,4 - di-idroxifenil) - 5,6 - di-idroxi - 3,7 - dimetoxi	R <sub>3</sub> '=R=R=OCH <sub>3</sub> ; R <sub>3</sub> '=R <sub>4</sub> '=R <sub>5</sub> =R <sub>6</sub> =OH
<u>78</u>	5,2',4'-trihidroxi-6,7,5'-trimetoxiflavona	4H - 1 - Benzopirano - 4 - ona , 2 - (2,4 - di-idroxi - 5 - metoxifenil) - 5 - hidroxi - 6,7 - dimetoxi	R <sub>2</sub> '=R <sub>4</sub> '=R <sub>5</sub> =OH; R <sub>3</sub> '=R <sub>6</sub> =R=R=OCH <sub>3</sub>
<u>79</u>	5,7,8,3'-tetrahidroxi-3,4'-dimetoxiflavona	4H - 1 - Benzopirano - 4 - ona , 2 - (3 - hidroxi - 4 - metoxifenil) - 5,7,8 - trihidroxi - 3 - metoxi	R <sub>3</sub> =R <sub>4</sub> '=OCH <sub>3</sub> ; R <sub>3</sub> '=R <sub>5</sub> =R=R <sub>8</sub> =OH
<u>80</u>	3,6,7,3'-tetra-o-metil-5 - hidroxiflavona	4H - 1 - Benzopirano - 4 - ona , 2 - (3 - metoxi) - 3,6,7 - trimetoxi - 5 - hidroxi	R <sub>3</sub> =R <sub>3</sub> '=R <sub>6</sub> =R <sub>7</sub> =OCH <sub>3</sub> ; R <sub>5</sub> =OH

\* substituintes que não foram indicados, subentende-se que sejam átomos de hidrogênio

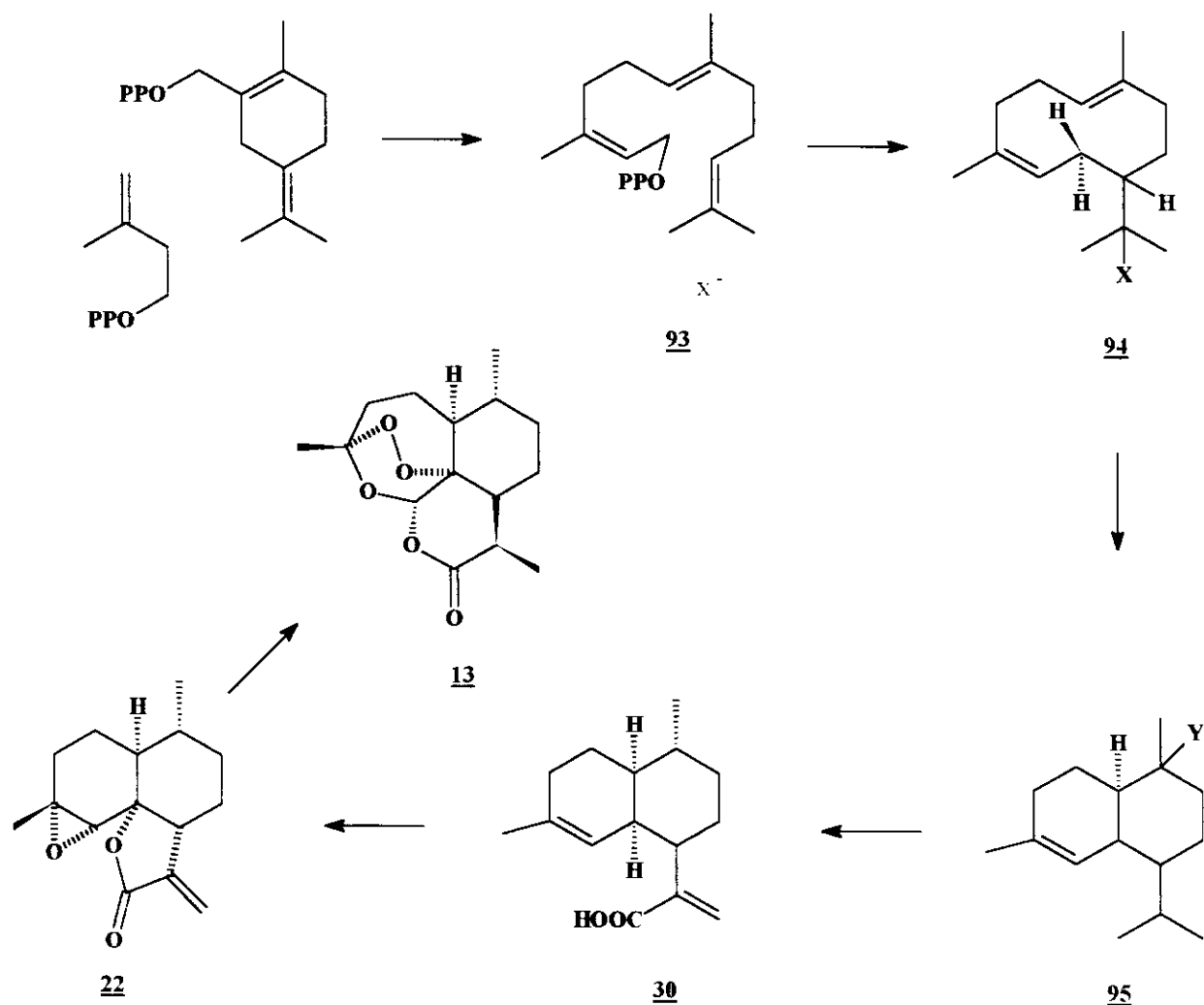
Também foram citados um esteróide 81, dois triterpenos 82, 83 /31/, um diol de cadeia longa 84 /29/, dois acetilenos 85, 86 /30/ quatro cumarinas 87, 88, 89, 90 /27/ e dois cromonios 91, 92/32/ (Figura 7).



**Figura 7:** Outros componentes identificados na *Artemisia annua* L./27-32/

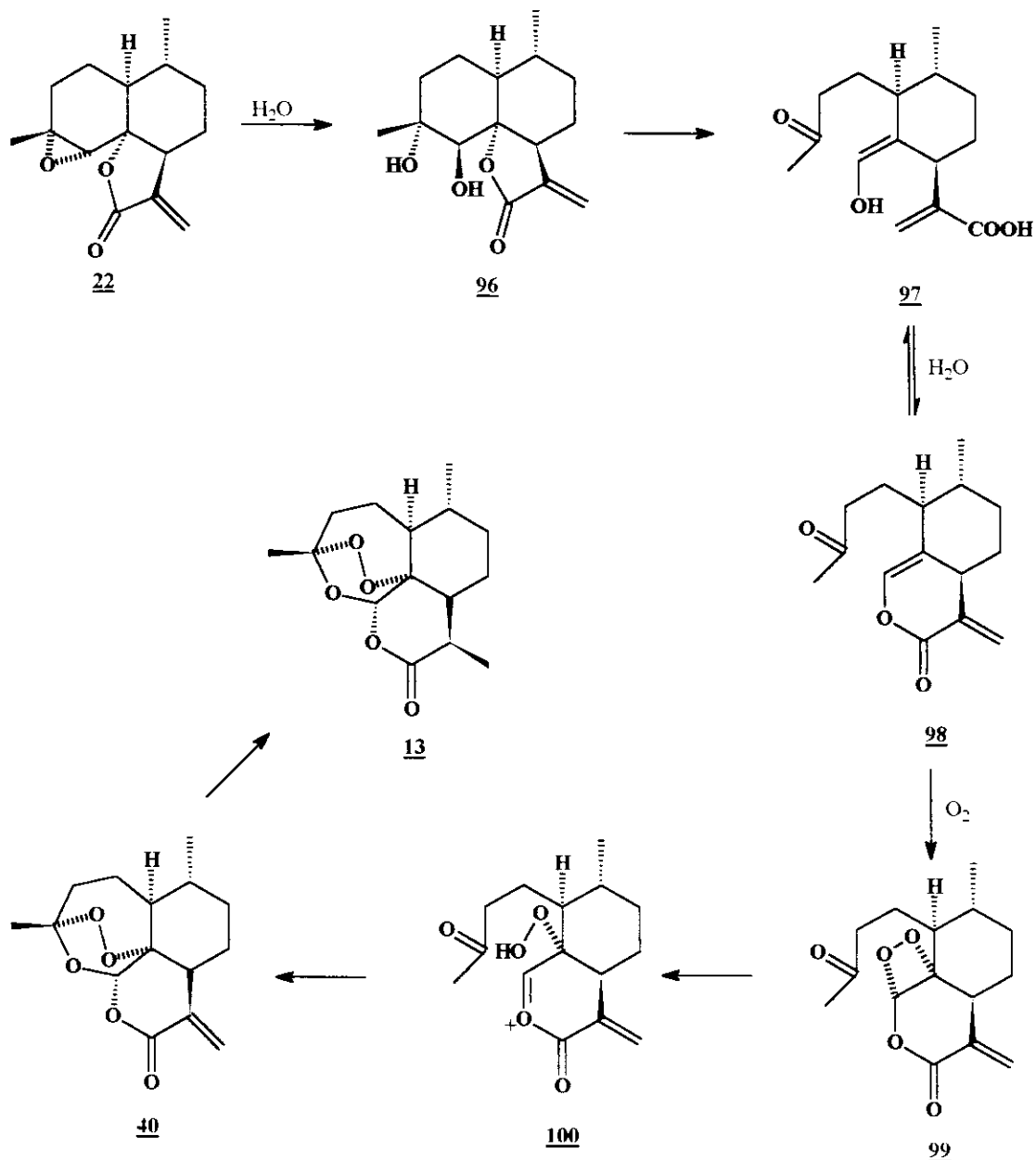
## V. Biossíntese

A rota biossintética da artemisinina 13 foi inicialmente estudado por Sangwan e col. /33/ que demonstraram que inicialmente ocorria a ciclização do *cis*-farnesilpirofosfato 93, dando origem ao esqueleto 95. No trabalho sequencial de Nair e col. /34/ evidenciou-se que o ácido artemisinínico 30 era um precursor na biossíntese da artemisinina 13. A biotransformação do ácido artemisinínico 30 em artenuína b 22 e posterior transformação enzimática em artemisinina 13 foi posteriormente comprovado por Brown e col. /35/ (Esquema 2).



**Esquema 2:** Biotransformações ocorridas para formação da artemisinina 13 /33-35/

Apesar de não serem conhecidas as etapas intermediárias até a obtenção da artemisinina 13, a literatura /36/ sugere um caminho de bioconversão hipotético (Esquema 3), no qual o anel epóxido do composto 22 sofre clivagem, levando à formação de um cadinolídeo di-hidroxilado 96. O composto 96 sofre um “rearranjo de Grob”, levando à formação de um enol 97, que através de uma oxidação enzimática produz um peróxido tensionada, 99 precursor do artemisiteno 40 e a artemisinina 13 /36/.



**Esquema 3:** Biotransformação da artemisinina 13 a partir da artenuína b 22 /36/

## VI. Metabólitos secundários voláteis descritos na *Artemisia annua* L.

A *Artemisia annua* L. produz um óleo essencial de sabor amargo, aroma doce e refrescante, e odor típico de graminea com nuances de cânfora 101/37/. Apesar de seu interesse comercial ainda ser limitado, é utilizado como fragrância em produtos de perfumaria e cosméticos, não provocando irritações na pele. O óleo apresenta atividade antimicrobiana e antimicótica /37/.

O óleo essencial de *Artemisia annua* L. tem sido exaustivamente estudado nas suas diferentes fases vegetativas. Em todas as partes da planta foram descritas a existência de óleo essencial porém o maior conteúdo foi verificado nas inflorescências. Análises em plantas secas demonstraram teores de até 3,2% de óleo essencial para as inflorescências. O mesmo trabalho cita que o teor da artemísia cetona 102 varia ao decorrer do ciclo da planta. Anterior ao florescimento o óleo essencial é pobre em artemísia cetona 102 e iniciando-se o florescimento observa-se um aumento drástico deste componente no óleo essencial /10/.

Um outro trabalho estudou as diferenças nos constituintes de *Artemisia annua* L. resultantes de sementes originárias da China e do Vietnã. Uma diferença expressiva foi verificada tanto na quantidade do óleo essencial como nos seus constituintes não-voláteis. O componente principal do óleo essencial de plantas provenientes de sementes Chinesas foi a artemísia cetona 102 enquanto que o óleo essencial proveniente da planta resultante de sementes Vietnamitas apresentou como componentes majoritários a canfora 101 o β-cariofileno 103, trans- β-farneseno 104 e 1,8-cineol 105 sendo que a artemísia cetona 102 estava ausente /6,37/.

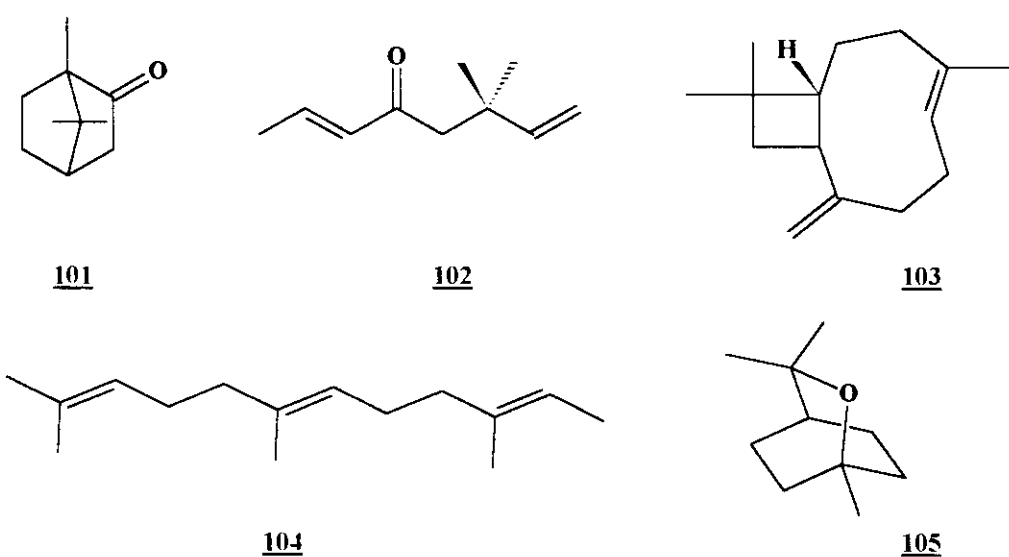


Figura 8: Terpenóides encontrados no óleo essencial de *Artemisia annua* L.

Outro fato relatado foi sobre a variação dos seus constituintes, enquanto a *Artemisia annua* L. originária de sementes Chinesas apresentou alto teores de óleo essencial rico em monoterpenos, aquela proveniente de sementes Vietnamitas apresentou baixos teores de óleo essencial e estes contendo um grande conteúdo de sesquiterpenos. Também foi descrito que a variedade Chinesa produzia baixos teores de artemisinina 13 comparada a variedade Vietnamita porém produzia alto teores de seus precursores, ácido artemisinínico 30 e artenuína b 22. Acredita-se que na variedade Vietnamita a biossíntese dos terpenóides prossegue nos monoterpenos formando os sesquiterpenos. Sugere-se que estas diferenças sejam decorrentes de diferentes quimiotipos dentro de uma mesma espécie. Isto foi constatado pois *Artemisia annua* L. proveniente de sementes de origens distintas porém cultivadas sob as mesmas condições agronômicas de solo, clima e local apresentaram variações como já citadas /37/. Assim concluíram que a *Artemisia annua* L. com o quimiotipo Vietnamita era ideal para produção de artemisinina 13 enquanto a *Artemisia annua* L. com o quimiotipo Chinês era favorável à produção do óleo essencial.

**Tabela 2:** Comparação da composição do óleo essencial de *Artemisia annua* L. de procedências distintas

Composto	#	% Chinesa	% Vietnamita
artemisia cetona	<u>102</u>	63,11	-
cânfora	<u>101</u>	3,3	23,8
β-cariofileno	<u>103</u>	-	5,6
trans-β-farneseno	<u>104</u>	-	3,8
1,8 cineol	<u>105</u>	-	3,1

## *Objetivos*

O objetivo deste trabalho se enquadra dentro de um contexto mais global que envolveu a aclimatação da *Artemisia annua* L. a partir de sementes provenientes da China, fornecidas pelo Prof. Dr. James McChesney (Mississippi-EUA) e sementes híbridas fornecidas pela MEDIPLANT (CENTRE DE RECHERCHES SUR LES PLANTES MÉDICINALES ET AROMATIQUES - Suíça), originárias de clones a partir de sementes Chinesas e Vietnamitas. Esse estudo teve o propósito de determinar a potencialidade econômica das diferentes variedades e verificar qual se adaptaria melhor às condições climáticas encontradas no Brasil.

A partir destes primeiros resultados, determinar a melhor época de plantio e colheita da planta (máximo da relação princípio ativo/biomassa). Para finalizar o estudo de viabilidade econômica da planta, foi necessário avaliar concomitantemente os parâmetros químicos e agronômicos da *Artemisia annua* L.

Portanto coube neste trabalho:

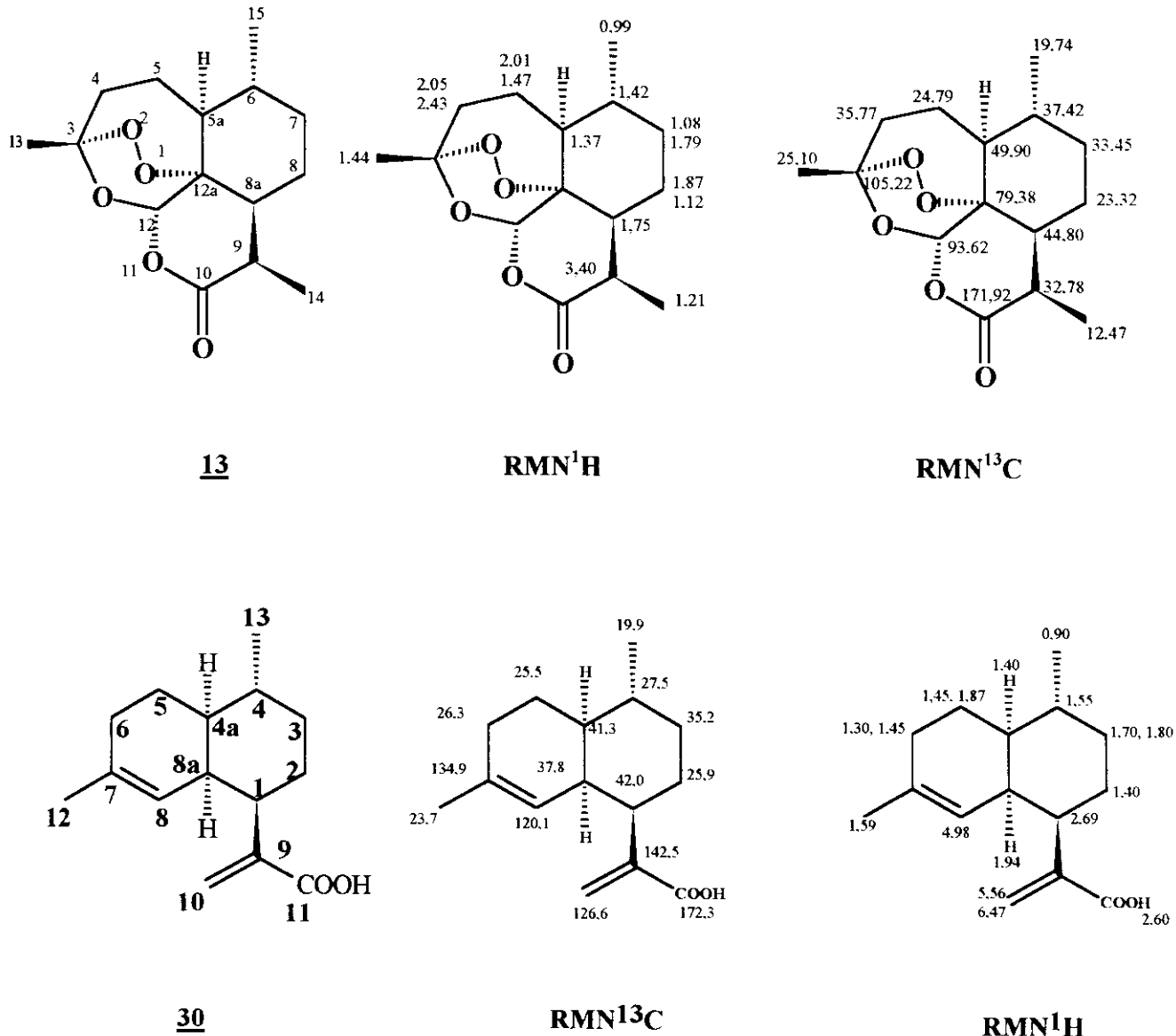
- Inicialmente obter os padrões de artemisinina 13 e ácido artemisinínico 30 puros, necessários para o monitoramento de produção de plantas com maior teor do princípio ativo 13.
- Investigação de métodos viáveis de obtenção de artemisinina 13 e ácido artemisinínico 30 em escala de laboratório, semi-piloto e piloto.
- Caracterização espectroscópica de amorfanos existentes na *Artemisia annua* L., cujos dados não se encontravam detalhados na literatura especializada.
- Estudo dos componentes voláteis da planta, como também o acompanhamento sazonal do óleo essencial da *Artemisia annua* L., comparativamente à produção de artemisinina 13 durante um ciclo completo da planta.
- Obtenção de padrões por transformações de grupos funcionais que permitissem analisar os componentes minoritários do óleo essencial.

## *Resultados e Discussão*

## **I. Otimização do Processo de Obtenção da Artemisinina 13**

De acordo com os objetivos de nosso trabalho foi necessário inicialmente aclimatar *Artemisia annua* L. no CPQBA - UNICAMP. Esta etapa foi realizada pelo setor de agronomia do CPQBA que datam de 1987 quando foram produzidas as primeiras plantas obtidas de sementes cedidas pelo Prof. Dr. Hermógenes de Freitas Leitão do Instituto de Biologia da UNICAMP. De procedência incerta (provavelmente Europa), estas sementes foram utilizadas para produção das primeiras mudas que possibilitaram trabalhos de identificação botânica, produção de sementes e estudos preliminares de desenvolvimento da planta. Em 1988 foram fornecidas pelo Prof. Dr. James McChesney (Mississippi-EUA) sementes provenientes da China. Duas outras variedades híbridas, originárias de clonagens de sementes Chinesas e Vietnamitas foram aclimatadas posteriormente em 1991, SI/FI e SII/FII , as quais foram fornecidas pela MEDIPLANT (CENTRE DE RECHERCHES SUR LES PLANTES MÉDICINALES ET AROMATIQUES - Suíça) responsável pelo trabalho de melhoramento das sementes. Detalhes sobre os aspectos agronômicos deste trabalho encontram-se em relatórios internos e em diversas teses de mestrado elaboradas pela equipe do CPQBA.

Desde o inicio deste trabalho ficou claro que todo o trabalho de campo deveria ter um respaldo analítico quali e quantitativos dos constituintes de interesse econômico ( ácido artemisinínico 30 e artemisinina 13). Assim sendo a primeira etapa foi o isolamento destes dois padrões utilizando um extrato bruto hexânico da parte aérea da planta. A purificação foi realizada através de técnica de cromatografia em coluna de sílica, fornecendo artemisinina 13 e ácido artemisinínico 30 em 0,001% e 0,01% de rendimentos respectivamente. O composto 13 e 30 foram caracterizados pela comparação de seus ponto de fusão, rotação ótica e dados espectroscópicos com aqueles existentes na literatura/38,39/. Vale a pena comentar que para a artemisinina 13 as atribuições já haviam sido feitas anteriormente ao inicio do nosso trabalho por Blasko e col. em 1988 /38/ (Figura 9). Durante o desenvolvimento do nosso trabalho de atribuição dos dados espectroscópicos de RMN<sup>1</sup>H e C<sup>13</sup> do ácido artemisinínico 30 Misra e colaboradores /40/ publicaram os dados relativos ao ácido artemisinínico 30 os quais apresentaram total concordância com nosso trabalho. A atribuição dos deslocamentos químicos de RMN<sup>1</sup>H e <sup>13</sup>C do ácido artemisinínico 30 estão mostrados na Figura 9, que estão condizentes aos descritos na literatura/40/.



## Ia. Otimização dos métodos analíticos

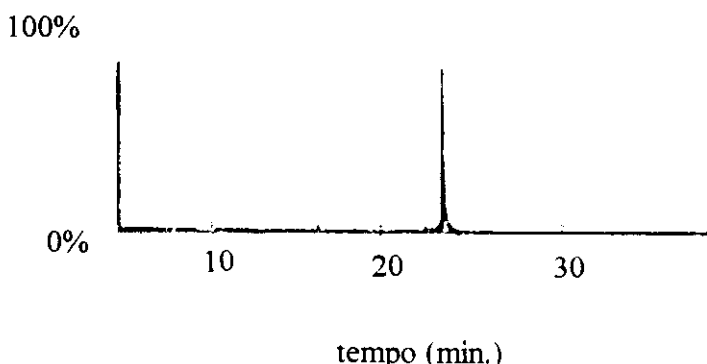
Com o objetivo de monitorar a produção de artemisinina 13 na planta tentaram-se diversos métodos analíticos como resumimos na Tabela 3 a seguir. Inicialmente foram feitas tentativas por vários métodos de HPLC /41/ sem no entanto ter conseguido resultados satisfatórios. Com a dificuldade encontrada em detectar o endoperóxido sesquiterpênico 13 experimentou-se analisar a artemisinina 13 por cromatografia gasosa acoplado ao detetor de massas (GC/MS; HP5890/HP5970) fazendo-se a detecção pelo método SIM (“Selected Ion Monitoring”). A análise utilizando o detector de massas permite a detecção por dois métodos. O método Scan faz uma varredura da amostra detectando todos os íons que estão presentes, enquanto no método SIM escolhem-se alguns íons característicos do composto sob análise. Geralmente escolhem-se de preferência o ion molecular e os fragmentos de maior abundância com peso molecular mais alto, que permite uma sensibilidade maior já que o detetor apenas monitora alguns íons. No método Scan perde-se na sensibilidade da análise pois todos os íons da molécula são monitorados. No que se refere ao GC/MS (SIM) foi a primeira técnica que permitiu uma quantificação de 13 possibilitando selecionar mudas, para o setor de agronomia, para serem transplantadas no campo, como também nos diversos extratos obtidos com hexano, etanol, diclorometano, tolueno e acetato de etila (Tabela 4). A quantificação foi feita monitorada pelos íons m/z 282, 165, 137 característicos da artemisinina 13 com a programação de temperatura I, descrito na parte experimental (Figura 10).

**Tabela 4 :** Quantificação de 13 por GC/MS utilizando método SIM

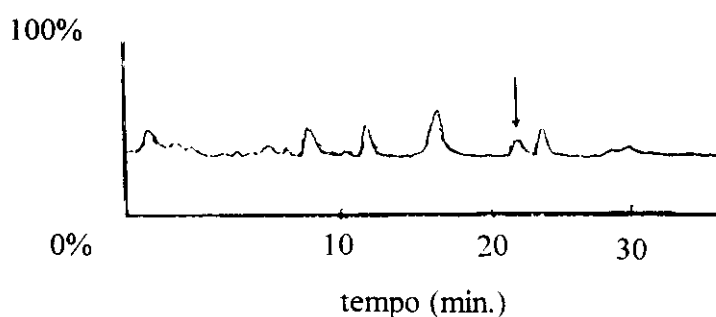
Extrato	% Artemisinina
Hexano	0,09
Tolueno	0,09
Etanol	0,08
Acetato de etila	0,10

A inconveniência do método é que o composto 13 é termicamente lábil causando a formação de produtos de pirolise. Além disto cada amostra leva 40 minutos de tempo de análise como também é uma técnica cara por envolver o uso de um equipamento sofisticado. Alternativamente utilizou-se cromatografia por camada delgada (CCD) para se fazer dosagens semi-quantitativas /41e/. Apesar deste não ser um método tão sensível quanto os outros, este método permitiu analisar comparativamente um grande numero de amostras simultaneamente a um custo baixo e rápido. Portanto através desta técnica foram monitorados todos os ensaios realizados no CPQBA.

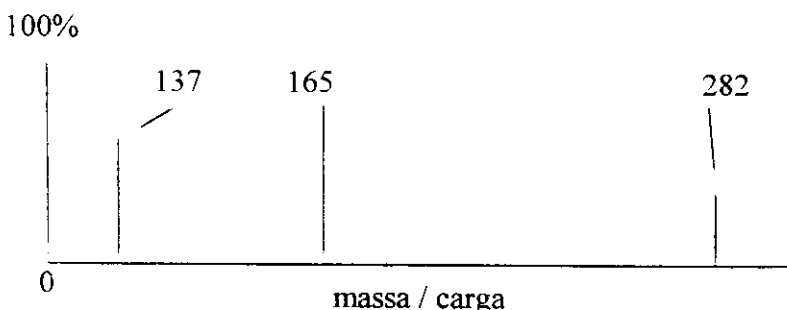
a) abundância



b) abundância



c) abundância



**Figura 10 :** a) GC de padrão de 13 b) GC de amostra do extrato etanólico dosado c) picos monitorados do composto 13 e do extrato etanólico dosado

**Tabela 3 : Métodos analíticos testados para dosar artemisinina 13**

Análise	Observações
HPLC com detetor eletroquímico /41a/	<p>Testes realizados com o detetor eletroquímico para verificação de seu funcionamento não apresentaram resultados satisfatórios. Operando-se com um potencial de -0,9 volt, potencial este necessário para a análise de artemisinina <u>13</u>, não se conseguiu uma estabilização da linha de base do aparelho.</p> <p>Por este motivo, abandonou-se esta técnica de análise.</p>
HPLC com detetor UV utilizando reação pré-coluna /41b/	<p>Este método prevê a transformação da artemisinina <u>13</u> no produto Q292</p> <p>The reaction scheme shows the chemical structures of artemisinin (13), Q292, and a hydroxylated product. Artemisinin (13) is a sesquiterpenoid lactone. Q292 is a derivative where the C11 ester group has been converted to a carboxylic acid. The hydroxylated product is another derivative where a hydroxyl group has been added to the molecule.</p>
HPLC com detetor UV utilizando reação pós-coluna /41c/	<p>O acompanhamento da reação de hidrólise da artemisinina por CCD (clorofórmio/metanol - 90/10) mostrou o aparecimento de outros produtos de degradação, além do produto de hidrólise.</p> <p>Por este motivo, abandonou-se este método de análise.</p>
	<p>Os testes foram realizados com uma solução de artemisinina padrão na concentração de 15 mg/ml, onde pudemos observar a detecção por UV, tendo conseguido a reproduibilidade das injeções. Devido a problemas de equipamentos interrompemos esta técnica de análise.</p>

continua

continuação Tabela 3

Análise	Observações
GC com detetor de ionização de chama (FID)/41D/	<p>Neste tipo de análise, ocorre a degradação da molécula de artemisinina em 3 outros compostos, identificados por 3 picos distintos no cromatograma. Escolheu-se o de maior intensidade para servir como referência para análise.</p> <p>Foram realizados testes com solução de artemisinina padrão. Pode-se observar que em injeções de solução padrão abaixo de 5,0 mg/ml (5000 ppm) não se consegue reproduzibilidade de análise. Outros testes deverão ser realizados para a confirmação deste método.</p>
GC/MS com detetor de massas com detecção SIM /41e/	A sensibilidade deste método é de 0,1-1,0 mg/ml ou seja de 100-1000ppm. Portanto foi necessário determinar as concentrações em nossas análises ampliando os cromatogramas observados e correlacioná-los com a abundância do padrão injetado.
Cromatografia de Camada Delgada (CCD) /41f/	Método atualmente utilizado por ser reproduzível, rápido, barato, poder dosar várias amostras numa mesma corrida e permitir analisar simultaneamente artemisinina <u>13</u> e ácido artemisinínico <u>30</u> .

### I.b. Secagem e Armazenamento da *Artemisia annua* L.

Rodrigues e colaboradores /42/ avaliaram parâmetros que pudessem alterar o teor do princípio ativo 13 ao coletar, secar, moer e armazenar a planta. Evidenciou-se que os melhores resultados foram alcançados quando a planta era seca à sombra evitando temperaturas altas que decompõe o composto 13. Também na etapa de moagem da planta constatou-se elevação da temperatura recorrendo-se a utilização de gelo seco para processar as folhas (o talo da planta era desprezado por apresentar altos teores de graxa aliados a traços de 13).

Armazenamento da *Artemisia annua* L. a temperatura ambiente ao abrigo da luz durante um período de seis meses acarretou numa diminuição de 25% do princípio ativo comparado ao valor determinado no dia do processamento do material. Constatou-se que o

material coletado poderia ser submerso em etanol e estocado sob refrigeração a 5°C sem prejuízo do teor da artemisinina 13. O fator importante neste caso é que não existam nem traços ácidos ou básicos que destroem o endoperóxido. Alternativamente observou-se que a planta seca e moída com gelo seco pode ser estocada a -20°C sem ocorrer perdas de 13 durante um período semelhante ao primeiro testado.

Portanto conclui-se que para minimizar as eventuais perdas do composto de interesse 13 deve-se evitar temperaturas elevadas e variações de pH quando armazenando em solvente orgânico.

#### I.c. **Otimização dos Métodos de Extração e Purificação de Artemisinina 13 e Ácido Artemisinínico 30**

A proposta básica para obtenção de artemisinina 13 foi de enfatizar técnicas operacionais simples e também a redução dos custos de produção. Os ensaios realizados visaram viabilizar a produção deste princípio ativo 13 por um método que se adequasse as instalações disponíveis no CPQBA - UNICAMP.

Sohly e colaboradores /43/ citam técnicas de extração para a artemisinina 13 trabalhosos que empregam reagentes caros, como por exemplo partição líquido-líquido com acetonitrila e separação em coluna cromatográfica utilizando sílica-gel, esta técnica apresenta a inconveniência da sílica ser cara (R\$ 90/Kg) e como por vezes o produto requer repetidas operações de cromatografia para ser purificado encarecendo muito o processo.

Inicialmente realizamos os ensaios em escala de laboratório para posteriormente serem adaptados em escala semi-piloto e piloto. O agravante principal nestá etapa foi adequar as instalações existentes para manipulação em grandes proporções sem ocorrer grandes perdas de material.

Foram avaliados no processo de extração fatores de segurança, eficiência extrativa, toxicidade e seletividade extrativa. A capacidade extrativa de tolueno, diclorometano, hexano e etanol foram comparados. Constatamos que o poder extrativo variava muito pouco de um solvente para outro. Roth e colaboradores /44/ citam o uso frequente de hexano. Constatamos porém que o hexano também apresenta uma seletividade para graxas o que dificulta o processo de purificação subsequente da artemisinina 13. O hexano por ser um solvente bastante inflamável também requer instalações à prova de explosão ao efetuar-se o “scale up”. O diclorometano e tolueno apesar de serem eficientes agentes extractores da artemisinina 13 foram

descartados por serem mais tóxicos do que o hexano e etanol. Este ultimo revelou-se um solvente tão eficiente quanto os outros além de ser menos toxico e o mais barato dos quatro.

Na etapa de purificação dos extratos brutos foram testados métodos de separação sólido-líquido mais compatíveis com métodos industriais, utilizando materiais acessíveis. Ponderamos a possibilidade de realizar a purificação com uma resina de troca iônica. Imaginamos que está poderia reter o ácido artemisinínico 30 deixando eluir seletivamente a artemisinina 13. Porém vários testes utilizando trocadores de íons aniónicos demonstraram resultados análogos aqueles observados com suportes mais econômicos (R\$150/Kg resina), não apresentando vantagem de seu uso. O potencial de purificação de diversos suportes foram testados frente a sílica-gel de coluna (artigo Merck 7734, R\$ 90/Kg) Em escala de laboratório foram realizados testes partindo-se de 3g de extrato bruto em cada ensaio. Na tabela 5 relacionamos os diferentes suportes testados com as vantagens e desvantagens encontradas para seu uso.

Neste caso optamos pela substituição da sílica convencional (Artigo Merck 7734) pela sílica precipitada (®Zeozil) que mesmo levando-se em conta a perda de solvente (14%) traz uma economia global de 40 vezes no processo.

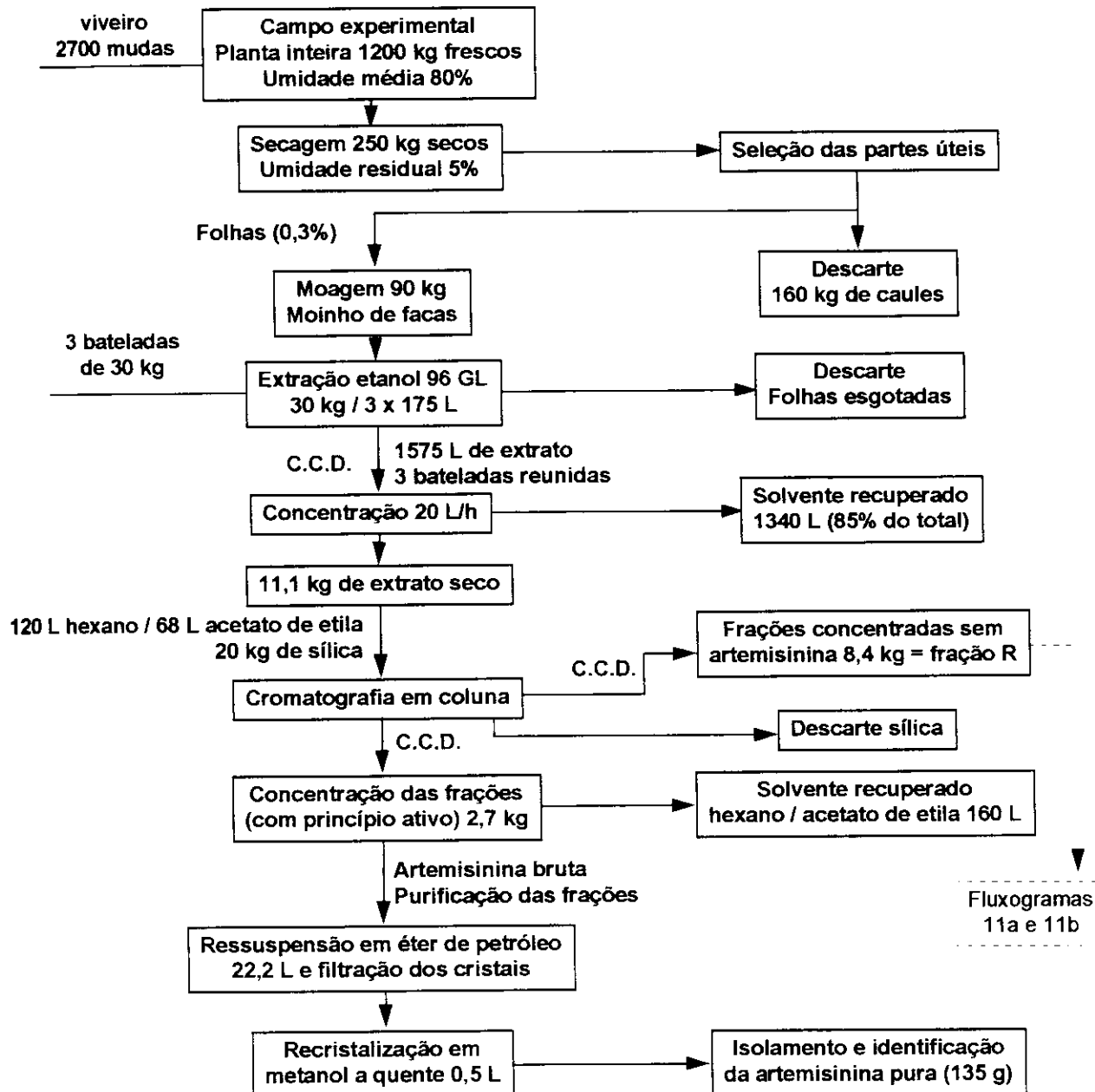
Com o intuito de tentar reduzir o custo gasto em solventes na etapa de purificação do extrato bruto testou-se cromatografia em coluna seca utilizando um filme de polietileno flexível como coluna. Apesar da economia de solvente que está coluna acarreta observou-se que o extrato se difundia pela coluna necessitando-se de outras colunas para alcançar o produto 13 puro. Como ao fazer a coluna cromatográfica tradicional reciclamos o solvente com 86% de recuperação não achamos vantajoso investir nestá alternativa pois a economia de solvente não seria tão significativa comparada as adaptações que se fariam necessárias nas instalações da planta piloto, como também as dificuldades que teriam de ser contornadas ao extrapolar o processo para a escala semi-piloto e piloto.

Extração líquido-líquido com hexano/metanol também foi testado com intuito de purificar o extrato bruto para obtenção de artemisinina 13. Porém constatamos que o fator de partição não era eficiente havendo uma separação de 33% de artemisinina 13 no hexano acompanhado de material graxo e outros componentes apolares e 66% do princípio ativo no metanol junto com outros componentes polares requerendo ainda a utilização de coluna cromatográfica para obter o composto puro.

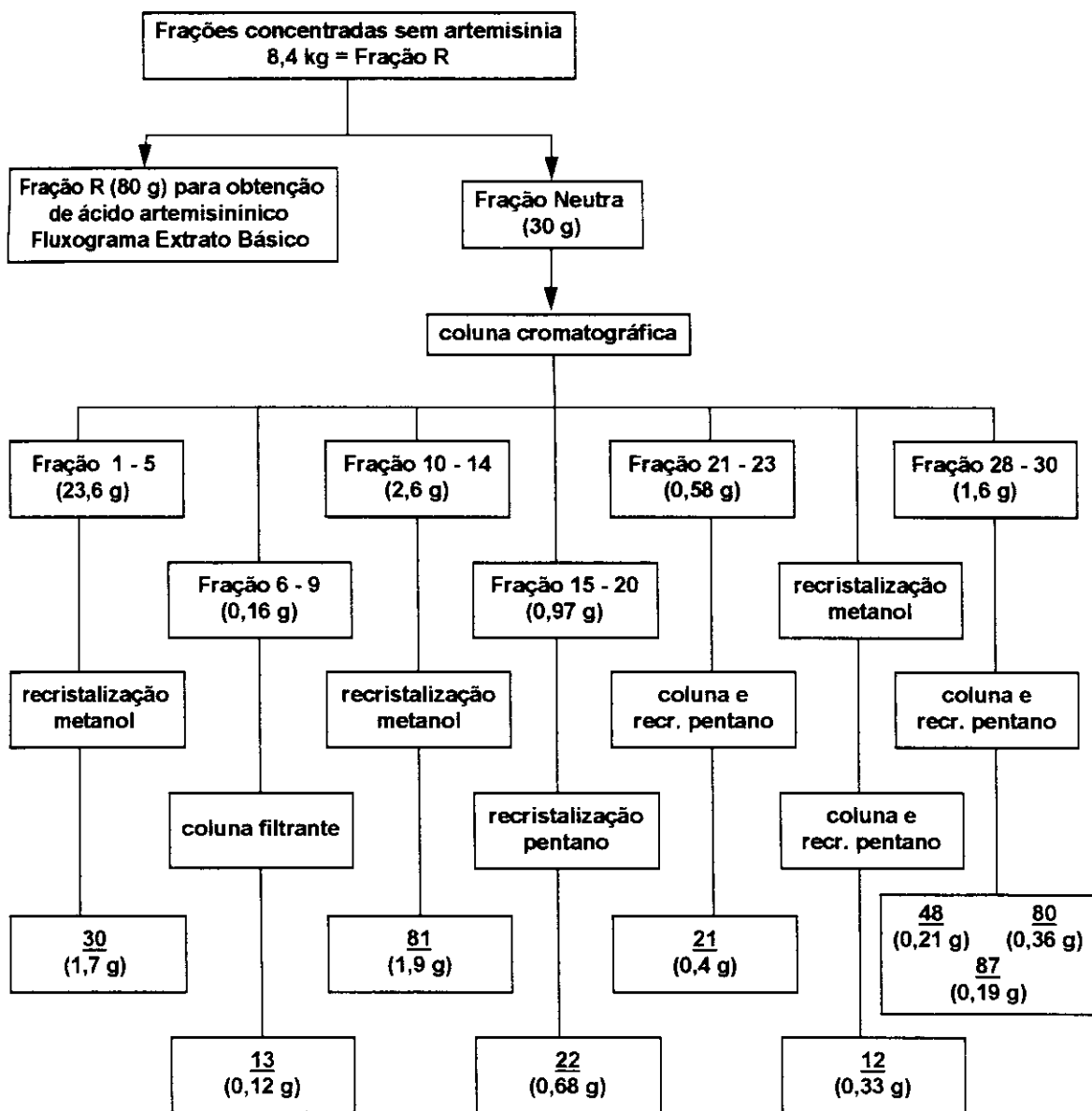
**Tabela 5:** Suportes testados para purificação de artemisinina 13

Suporte	Vantagem	Desvantagem
Terra Diatomita (®Celite)	Custo R\$ 12/Kg	Separação pouco eficiente, passa tudo junto
Sílica precipitada (®Zeozil)	Custo R\$ 1,9/Kg requer 7 vezes menos de suporte que sílica convencional	Requer 3 vezes mais solvente que a sílica normal
Alumina	-	R\$ 100/kg, Separação pouco seletiva quando comparada a sílica-gel
Trocador iônico	-	R\$ 150/Kg; Separação pouco seletiva quando comparado a sílica-gel
sílica-gel para camada delgada	-	R\$ 90/kg, utiliza uma proporção 1 extrato: 10 Suporte
Sílica-gel coluna (artigo Merck 7734)		R\$ 90/kg, utiliza 1 extrato :20 suporte

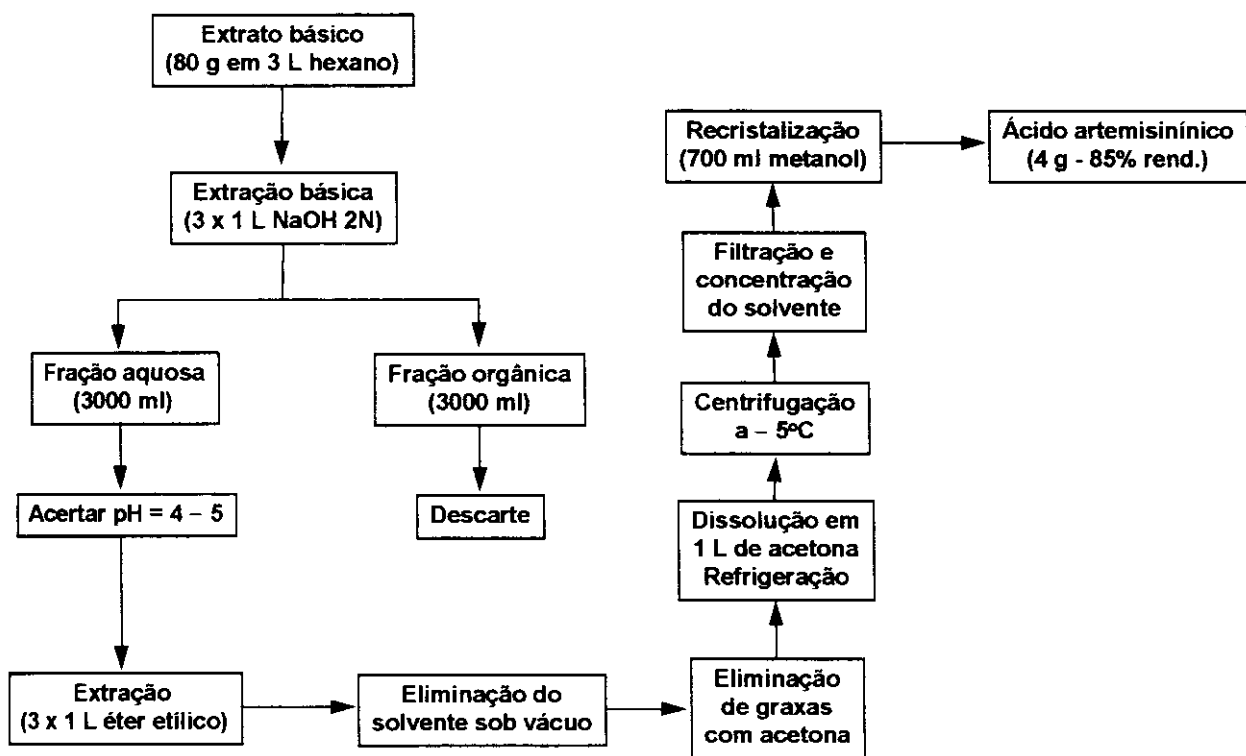
De acordo com as instalações existentes optamos por realizar a purificação da artemisinina 13 conforme descrito no fluxograma da Figura 11. Para purificação do extrato bruto foi inicialmente passado por uma coluna contendo 20 Kg de ®Zeozil na qual se eluiu com 55 L de hexano puro para separar as graxas, após separou-se a fração rica em artemisinina 13 eluindo com 60 L de uma mistura de Hexano/acetato de etila 15%. Ao constatar que todo princípio ativo tinha saído eluímos a coluna com 20 L de hexano/acetato de etila 30% e 53 L de acetato de etila puro. Os outros componentes 12, 21, e 22 foram isolados da fração neutra do extrato após separação da artemisinina 13 (fluxograma da figura 11a) e o ácido artemisinínico 30 foi isolado do extrato básico (fluxograma da figura 11b).



**Figura 11.** Fluxograma da obtenção de artemisinina pura e outros sesquiterpenos da *Artemisia annua* L.



**Figura 11a.** Fluxograma do isolamento dos compostos 12, 21, 22, 30, 48, 80, 81 e 87 a partir do extrato neutro.



**Figura 11b.** Extração a partir da fração básica para obtenção do ácido artemisinínico

A utilização de etanol como solvente aliado ao uso de sílica precipitada como suporte na separação por cromatografia em coluna foi repassado em escala semi-piloto de modo a estimarmos o custo de produção de artemisinina 13. Levando-se em conta desde a produção agronômica, mão de obra, depreciação dos equipamentos, secagem, moagem, extração, concentração e separação cromatográfica do extrato bruto a equipe do CPQBA- UNICAMP /42/ conseguiu produzir a artemisinina 13 em 50 % de rendimento em relação ao teor inicial (0.3% na folha) a um custo de US\$11,5/g. Preços de catalogo, como Aldrich/1993 e Sigma/1995 citam um custo por grama de US\$ 196/g e US\$ 249/g respectivamente. Fonte internacional não revelada de 1986 refere-se a um valor de US\$ 50/g.

Apesar da evolução dos teores de princípio ativo 13 verificada na *Artemisia annua* L. cultivada no Brasil ( de ≈ 0.001% em 1988 para ≈ 0,4% em 1995) notamos que ainda precisamos dimensionar melhor os controles analíticos. O método atualmente utilizado permite tirar conclusões quanto à escolha de caminhos a serem seguidos pois está análise é comparativamente precisa, porém como não é exata leva a distorções quanto os rendimentos finais alcançados. A equipe do CPQBA está na iminência de adequar um método por HPLC eficiente que forneça resultados precisos e exatos dos rendimentos finais alcançados. Paralelamente estamos investindo no uso de um densitômetro na leitura das análises por CCD que permite contornar o erro humano ao se fazer a leitura das placas.

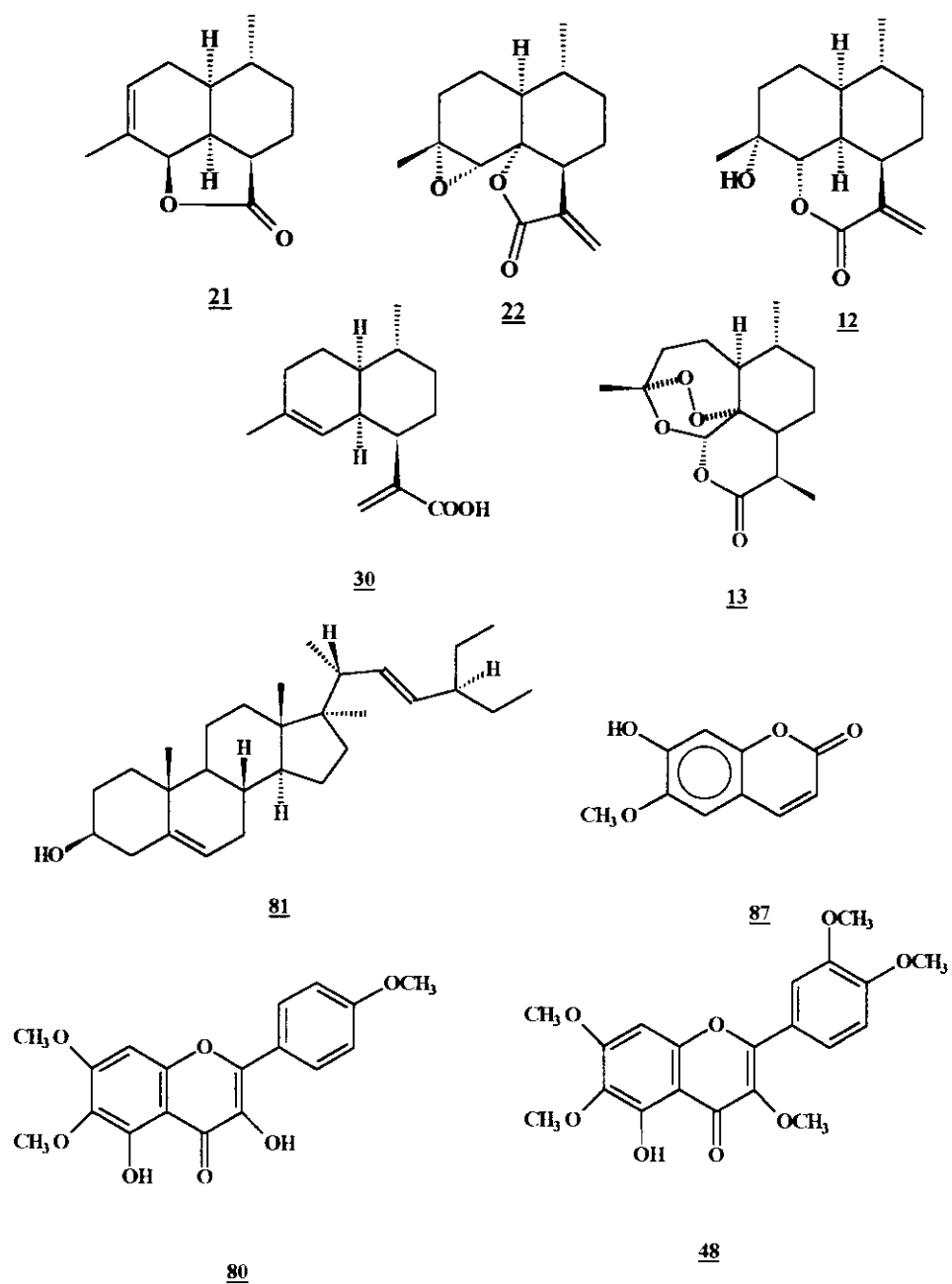
Os rendimentos totais de extração e purificação do endoperóxido sesquiterpênico 13 ainda estão aquém do desejável (50% de rendimento final), porém consideramos que aumentou significativamente nossa experiência quanto aos cuidados que devem ser tomados nas manipulações destá planta para otimizar o seu cultivo e produção da artemisinina 13 e ácido artemisinínico 30.

## **II. Isolamento e identificação de amorfanos procedentes de *Artemisia annua* L.**

Apesar da grande quantidade de dados existentes relativos a *Artemisia annua* L. percebeu-se que existia uma lacuna quanto aos dados espectroscópicos dos amorfanos identificados na planta. Observou-se que os dados encontrados na literatura se limitavam à confirmação das estruturas sem levar em conta a atribuição dos deslocamentos químicos de todos os átomos de hidrogênio e de carbono das moléculas estudadas. Compostos contendo junção de anéis *cis* são interessantes de ponto de vista espectroscópico pois apresentam

alternativas conformacionais. Vale aqui salientar que a espectroscopia de RMN de  $^1\text{H}$  e  $^{13}\text{C}$  é uma das técnicas mais sensíveis para a análise conformatinal de moléculas em solução.

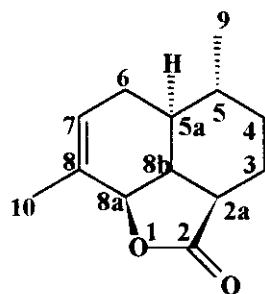
No fluxograma da Figura 11a descrevemos as etapas realizadas a partir da obtenção do extrato de *Artemisia annua* L. concentrado para adquirir os compostos **21**, **22**, **12** para nosso estudo. Ao decorrer do trabalho também foram isolados uma cumarina **87**, dois flavonóides **48** e **80** e um esteróide **81**.



**Figura 12:** Compostos isolados da *Artemisia annua* L cultivada no Brasil

## **Qinghaosu I(21)**

O composto **21** foi isolado (0,02% em relação a folha seca da planta) conforme a metodologia indicada no fluxograma da Figura 11a. Por comparação de seus dados de ponto de fusão, massas, RMN<sup>1</sup>H e infravermelho com os da literatura /45/ confirmamos a sua estrutura. No espectro de infravermelho constatamos a banda correspondente a carbonila da lactona em 1750 cm<sup>-1</sup>. No espectro de massas observou-se o íon molecular em m/z 206 numa abundância relativa de 78%.



**21**

Como citado anteriormente a atribuição dos sinais de RMN<sup>1</sup>H deste composto estavam incompletos e de RMN<sup>13</sup>C inexistentes. Para a atribuição dos sinais de RMN<sup>1</sup>H e <sup>13</sup>C analisou-se minuciosamente os espectros de uma e duas dimensões H,H (COSY) e H,C (HETCOR e COLOC) e o espectro bidimensional de correlação heteronuclear H,C à longa distância foi obtido utilizando um tempo de evolução  $\tau=0,083\text{s}$  o qual corresponde a  $\tau=1/J$  onde  $J=12\text{Hz}$ . Adotou-se uma sequência de análise dos dados espectrais para facilitar a interpretação. Inicialmente determinamos os carbonos primários, secundários e terciários a partir do espectro de RMN<sup>13</sup>C-DEPT 90° e 135° e os carbonos quaternários foram determinados por comparação do espectro de RMN<sup>13</sup>C com os dados observados no espectro de RMN<sup>13</sup>C-DEPT. A correlação entre os sinais de <sup>13</sup>C e <sup>1</sup>H no espectro bidimensional do tipo HETCOR permitiu determinar a atribuição dos <sup>1</sup>H. Estes dados foram tabulados segundo o tipo de carbonos (Tabela 6) conjuntamente com as informações obtidas nos espectros.

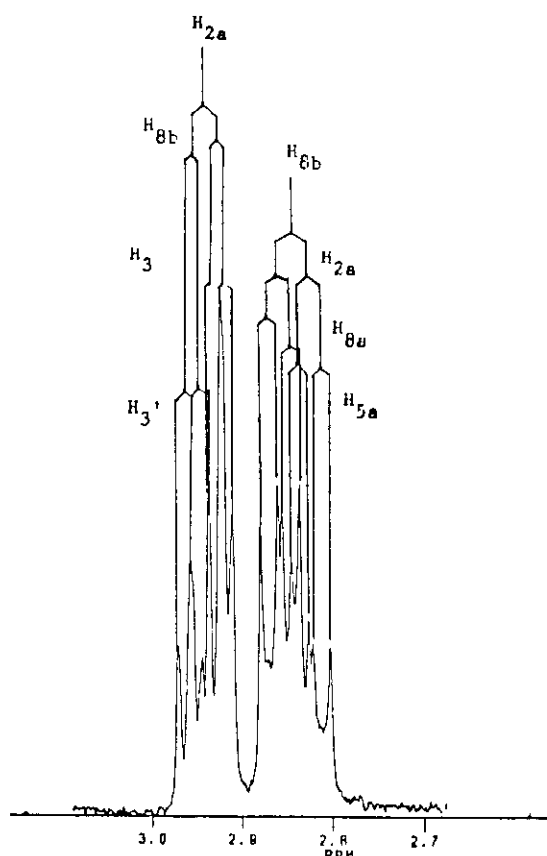
**Tabela 6:** Correlação dos átomos de carbono aos átomos de hidrogênio do composto **21**

Carbono	$\delta^{13}\text{C}$ (ppm)	$\delta^1\text{H}$ (ppm)	J (Hz)	COLOC	#C
C <sup>a</sup>	179,5	-	-	179,5/1,70 (C <sub>2</sub> /H <sub>3</sub> )	2
C <sup>a</sup>	131,1	-	-	131/1,86 (C <sub>8</sub> /H <sub>10</sub> ); 131/2,20 (C <sub>8</sub> /H <sub>6</sub> )	8
CH	124,8	5,65	dd,J(7,6) = 6,5; J(7,6') ≈ 3	124,8/5,65 (C <sub>7</sub> /H <sub>7</sub> ); 124,8/2,20 (C <sub>7</sub> /H <sub>6</sub> ); 124,8/1,86 (C <sub>7</sub> /H <sub>10</sub> )	7
CH	77,4	4,67	d <sub>largo</sub> , J(8a,8b) = 7,2	77,4/1,86 (C <sub>8a</sub> /H <sub>10</sub> ); 77,4/4,67 (C <sub>8a</sub> /H <sub>8a</sub> ); 77,4/5,65 (C <sub>8a</sub> /H <sub>7</sub> )	8a
CH	39,1	2,96	ddd,J(8b,2a) = 10,2; J(2a,3),J(2a,3')≈4	39,1/2,96 (C <sub>2a</sub> /H <sub>2a</sub> )	2a
CH	37,0	2,85	ddd,J(8b,2a) = 10,2; J(8a,8b) = 7,2; J(5a,8b) = 5,7	37,0/2,20 (C <sub>8b</sub> /H <sub>6</sub> )	8b
CH	32,8	1,54	multiplo	32,8/0,78 (C <sub>5a</sub> /H <sub>5</sub> )	5a
CH	25,2	1,54	-	25,2/0,78 (C <sub>5</sub> /H <sub>5</sub> )	5
CH <sub>2</sub>	27,2	1,10 e 1,80	-	27,2/0,78 (C <sub>4</sub> /H <sub>9</sub> )	4
CH <sub>2</sub>	25,1	2,00 e 2,20	dddlargo; J(6 <sub>a</sub> ,6 <sub>e</sub> ) = 17; J(6 <sub>e</sub> ,7) = 3; J(5a,6 <sub>e</sub> ) = 2-3; J(5a,6 <sub>a</sub> ) = 5,8	25,1/2,00 (C <sub>6</sub> /H <sub>6</sub> ) 25,1/2,20 (C <sub>6</sub> /H <sub>6</sub> )	6
CH <sub>2</sub>	18,5	1,70 e 2,00	-	-	3
CH <sub>3</sub>	20,4	1,86	-	20,4/1,86 (C <sub>10</sub> /H <sub>10</sub> )	10
CH <sub>3</sub>	19,8	0,78	-	19,8/0,78 (C <sub>9</sub> /H <sub>9</sub> )	9

Assim os sinais em 179,5 ppm, 131,1 ppm, 124,8 e 77,4 do espectro de RMN<sup>13</sup>C foram atribuídos a C<sub>2</sub>, C<sub>8</sub>, C<sub>7</sub>, C<sub>8a</sub> respectivamente. Para a atribuição dos sinais em 20,4 ppm e 19,8 ppm correspondentes às duas metilas, levamos em consideração a correlação entre o sinal 20,4 ppm e o sinal simples em 1,86 ppm, correspondente a uma metila ligada a uma olefina (C<sub>10</sub>) e a correlação entre o sinal em 19,8 estáva correlacionado com um dubbleto em 0,78 ppm atribuído assim a C<sub>9</sub> (E21-HETCOR). Para atribuição dos três CH e três CH<sub>2</sub> aliarmos os dados observados no experimento de RMN bidimensional H,H (E21-COSY) e C,H (E21-COLOC).

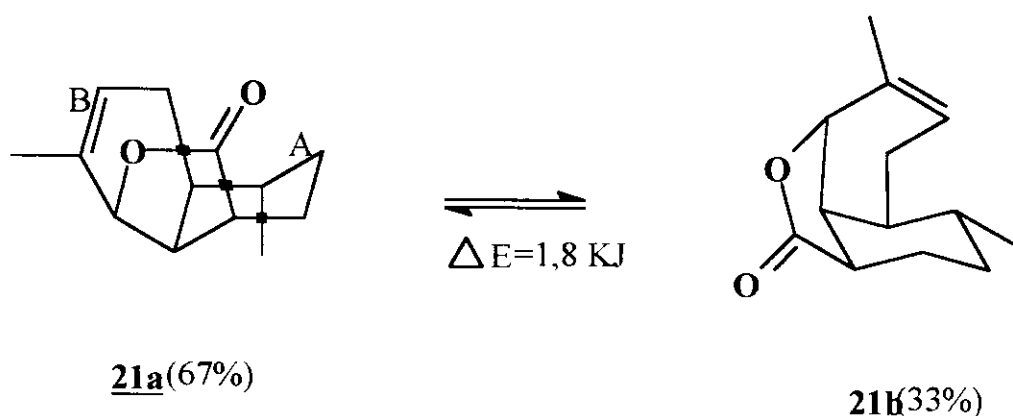
Pela teoria dos deslocamentos químicos os sinais em 2,85 e 2,96 ppm poderiam ser atribuídos a H<sub>2a</sub>. Observamos que o sinal em 2,96 ppm se correlacionava com os sinais em 1,70 e 2,00 ppm correspondente ao CH<sub>2</sub> da posição 3 (RMN 2D H,H; E21-COSY) sendo portanto este o sinal correspondente a H<sub>2a</sub> e o sinal em 2,85 ppm correspondente a H<sub>8b</sub>. Assim o sinal de hidrogênio do CH que aparece em 1,54 ppm foi atribuído ao H<sub>5a</sub>. A atribuição de H<sub>8b</sub> foi corroborada pela correlação a longa distância C<sub>8b</sub>/H<sub>6</sub> no espectro de E21-COLOC (Tabela 6). Foi possível atribuir os CH<sub>2</sub> restantes pela observação no espectro de correlação H,H (COSY), que o H<sub>7</sub> alílico em 5,65 ppm se correlacionava com os hidrogênios em 2,00 e 2,20 ppm atribuídos ao H<sub>6</sub> e H<sub>6'</sub>. O CH<sub>2</sub> em 1,80 e 1,10 ppm foi atribuído à posição 4 por exclusão. No espectro E21-COLOC confirmamos essa dedução pela correlação existente entre C<sub>4</sub>/H<sub>9</sub> (27,2/0,78 ppm)

A partir de modelos moleculares ficou evidente que o composto **21** apresenta uma estrutura conformacionalmente flexível podendo existir como **21a** e **21b**. Esta flexibilidade se deve a existência do sistema *cis* decalinico, dificultando pois a determinação de sua conformação preferencial em solução, a qual poderia ser obtida a partir dos conhecimentos adquiridos na análise anterior e através de uma minuciosa investigação das constantes de acoplamento no espectro de RMN<sup>1</sup>H. A partir da conformação **21a** esperar-se-ia que H<sub>8b</sub> (2,85 ppm) se apresentasse sob a forma de um duplo-duplo-dubleto com constantes de acoplamento J<sub>8b,8a</sub>=6,8; J<sub>8b,2a</sub>=5,2; J<sub>8b,5a</sub>=5,6, enquanto que para conformação **21b** as constantes deveriam ser J<sub>8b,8a</sub>=7,4; J<sub>8b,2a</sub>=6,6; J<sub>8b,5a</sub>=6,2. As medidas experimentais revelaram constantes de acoplamento com valores intermediários aos previstos para as conformações **21a** e **21b**, evidenciando a presença de um equilíbrio conformacional rápido para a escala de tempo do RMN (**21a** ↔ **21b**) (Figura 13). Também foram determinadas as constantes de acoplamento para os outros hidrogênios da molécula e comparadas aos valores teóricos esperados (Tabela 7).



**Figura 13 :** Duplo-duplo-dubleto observado para  $H_{8b}$

A partir de cálculos de mecânica moleculares de várias conformações alternativas para **21** obtivemos duas conformações de menor energia, ou seja **21a** e **21b** com uma diferença de energia de 1,8 KJ entre elas /46-48/.



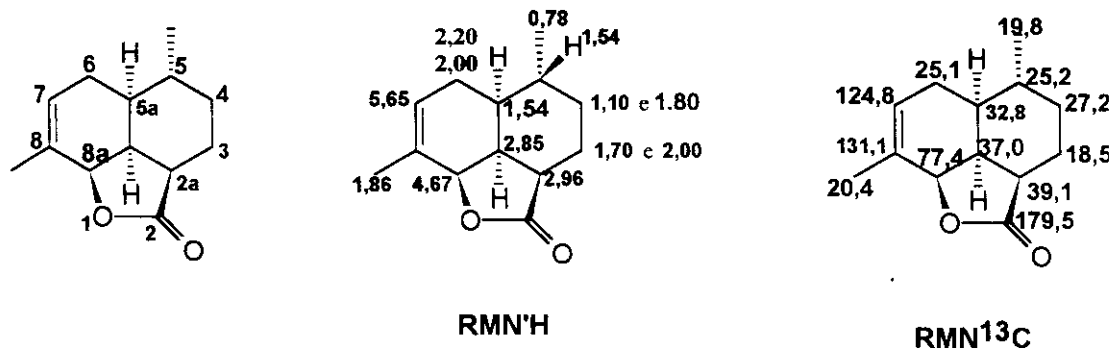
**Figura 14:** Conformações de menor energia do composto **21** previsto por cálculos de mecânica molecular ( $MM_2$ )

As geometrias otimizadas revelaram que em ambas conformações o anel B do sistema *cis* decalínico possuía forma bote e o anel A forma cadeira. Caso a barreira energética entre as duas conformações fosse pequena ocorreria uma interconversão dinâmica, e esperar-se-ia uma razão de 2,1:1 entre as populações de **21a** (67%) e **21b** (33%) a 298K. As constantes de acoplamento esperadas para  $^3J(H,H)$  foram calculadas utilizando a razão **21a/21b** citada e a equação  $J=8,5 \cos^2 \phi - 0,3$  para  $0^\circ \leq \phi \leq 90^\circ$  e  $J=9,5 \cos^2 \phi - 0,3$  se  $90^\circ \leq \phi \leq 180^\circ$ . Deste modo as constantes de acoplamento esperadas seria  $J_{\text{calculada}} = 0,66 J_{21a \text{ calculada}} + 0,33 J_{21b \text{ calculada}}$ . As constantes de acoplamento assim calculadas foram comparadas às constantes de acoplamento experimentais observadas no espectro de RMN<sup>1</sup>H (tabela 7). Estes resultados estavam de acordo com a existência de um equilíbrio conformacional rápido entre **21a** e **21b** em solução.

**Tabela 7:**  $^3J(H,H)$  calculados e experimentais para o composto **21**

Ângulo	21a (67%) ( $^\circ$ )	21b (33%) ( $^\circ$ )	$J_{\text{calculado}}(\text{Hz})$	$J_{\text{experimental}}(\text{Hz})$
H-C <sub>7</sub> -C <sub>6</sub> -H	-18,1 (7,4)	-104,9 (0,3)	5,0	6,5
H-C <sub>7</sub> -C <sub>6</sub> -H'	99,5 (0,0)	11,7 (7,9)	2,6	3,0
H-C <sub>6</sub> -C <sub>5a</sub> -H	-59,6 (1,9)	56,0 (2,4)	2,1	2,3
H-C <sub>6</sub> -C <sub>5a</sub> -H'	-179,7 (9,2)	-62,8 (1,5)	6,6	5,8
H-C <sub>5a</sub> -C <sub>8b</sub> -H	33,4 (5,6)	-29,1 (6,2)	5,8	5,7
H-C <sub>8a</sub> -C <sub>8b</sub> -H	24,3 (6,8)	-18,2 (7,4)	7,0	7,7
H-C <sub>8b</sub> -C <sub>2a</sub> -H	36,1 (5,2)	25,4 (6,6)	5,7	10,2
H-C <sub>2a</sub> -C <sub>3</sub> -H	-70,8 (0,6)	-163,0 (8,4)	3,2	4,0
H-C <sub>2a</sub> -C <sub>3</sub> -H	44,8 (4,0)	-45,4 (3,9)	4,0	4,0

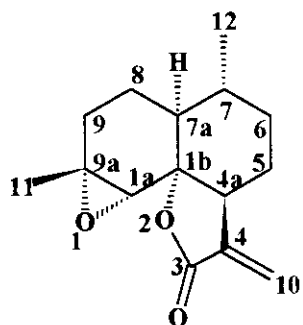
Na Figura 15 visualizamos a molécula do composto **21** com seus deslocamentos químicos de hidrogênio e carbono treze.



**Figura 15:** Atribuição espectroscópica por RMN<sup>1</sup>H e <sup>13</sup>C do composto 21

### Qinghaosu II (22)

A partir de folhas secas (0,03% de rendimento) obtivemos o composto 22 conforme o procedimento descrito no fluxograma da Figura 11a, como um cristal branco com um ponto de fusão de 154°C . No seu espectro de infra-vermelho constatamos a banda da carbonila em 1770 cm<sup>-1</sup> e uma banda de estiramento C=C em 1665 cm<sup>-1</sup>. A partir do espectro de massas confirmamos, íon molecular em m/z 248.



22

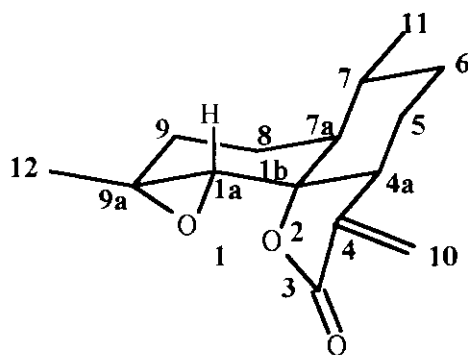
Valendo-se da filosofia utilizada para o composto 21 fizemos a atribuição dos deslocamentos químicos dos átomos de hidrogênio e átomos de carbono do composto 22 por análise das correlações em uma e duas dimensões H,H e H,C. As correlações a longa distância foram determinadas a partir de experimentos RMN<sup>13</sup>C- COLOC utilizando tempos de evolução  $\tau=0,083\text{s}$  e  $\tau=0,05\text{s}$  correspondentes a  $\tau=1/J$  onde J é igual a 12 e 20 Hz respectivamente.

Dos espectros unidimensionais de RMN<sup>13</sup>C e RMN<sup>13</sup>C-DEPT 90° e 135° determinamos os tipos de carbonos e seus deslocamentos químicos. Alijamos estes dados as correlações entre os sinais de <sup>1</sup>H,<sup>13</sup>C nos espectros bidimensionais do tipo HETCOR determinando os deslocamentos químicos dos hidrogênios (Tabela 8).

**Tabela 8:** Correlações observadas por RMN<sup>1</sup>H e RMN<sup>13</sup>C do composto 22

Carbono	$\delta$ 13C ( $\delta$ ppm)	$\delta$ 1H(ppm)	J (Hz)	COLOC	#C
C#	170,2	-	-	170,2/5,43 (C <sub>3</sub> /H <sub>10</sub> ) 170,2/6,16 (C <sub>3</sub> /H <sub>10</sub> )	3
C#	138,8	-	-	138,8/2,74 (C <sub>4</sub> /H <sub>4a</sub> )	4
C#	81,2	-	-	81,2/1,48 (C <sub>1b</sub> /H <sub>5axial</sub> ) 81,2/2,74 (C <sub>1b</sub> /H <sub>4a</sub> )	1b
C#	58,4	-	-	58,4/1,34 (C <sub>9a</sub> /H <sub>12</sub> ) 58,4/1,56 (C <sub>9a</sub> /H <sub>9</sub> ) 58,4/1,93 (C <sub>9a</sub> /H <sub>8</sub> )	9a
CH	58,7	2,68	slargo	58,7/1,34 (C <sub>1a</sub> /H <sub>12</sub> ) 58,7/1,48 (C <sub>1a</sub> /H <sub>7a</sub> )	1a
CH	52,8	2,74	dddd, J(4a,5 <sub>a</sub> )=15J(4a,5 <sub>e</sub> ) $\equiv$ J(4a, 10a) $\cong$ J(4a,10b) $\cong$ 3	52,8/2,74 (C <sub>4a</sub> /H <sub>4a</sub> ) 52,8/6,16 (C <sub>4a</sub> /H <sub>10</sub> )	4a
CH	43,7	1,48	-	43,7/0,99 (C <sub>7a</sub> /H <sub>11</sub> ) 43,7/1,90 (C <sub>7a</sub> /H <sub>6</sub> )	7a
CH	30,7	1,48	-	30,7/1,26 (C <sub>7</sub> /H <sub>6</sub> ) 30,7/1,48 (C <sub>7</sub> /H <sub>7</sub> )	7
CH <sub>2</sub>	117,8	5,43 e 6,16	d, J(10a,4a)=J10b,4a) $\cong$ 3,2	-	10
CH <sub>2</sub>	33,9	1,26 e 1,90	-	33,9/0,99 (C <sub>6</sub> /H <sub>11</sub> )	6
CH <sub>2</sub>	24,3	1,76 e 1,93	-	24,3/1,76 (C <sub>9</sub> /H <sub>9</sub> )	9
CH <sub>2</sub>	21,7	1,40 e 2,06	J(5 <sub>a</sub> ,5 <sub>e</sub> )=14;J(5 <sub>e</sub> ,6 <sub>a</sub> ) $\cong$ J(5 <sub>e</sub> ,6 <sub>e</sub> ) $\cong$ J(5 <sub>e</sub> ,4a) $\cong$ 3	21,7/2,06 (C <sub>5</sub> /H <sub>5</sub> ) 21,7/1,26 (C <sub>5</sub> /H <sub>6</sub> )	5 <sub>c</sub> 5 <sub>a</sub>
CH <sub>2</sub>	16,3	1,56	-	16,3/1,76 (C <sub>8</sub> /H <sub>9</sub> ) 16,3/1,56 (C <sub>8</sub> /H <sub>8</sub> )	8
CH <sub>3</sub>	22,8	1,34	s	22,8/1,34 (C <sub>11</sub> /H <sub>11</sub> )	11
CH <sub>3</sub>	18,6	0,99	d,J(11,7)=6	18,5/0,99 (C <sub>12</sub> /H <sub>12</sub> )	12

Com base na teoria dos deslocamentos químicos, os sinais em 170,2; 138,8; 117,8 ppm foram atribuídos a C<sub>3</sub>, C<sub>4</sub>, e C<sub>10</sub> respectivamente. As duas metilas foram facilmente distinguidas no seu espectro de RMN<sup>1</sup>H pois a metila na posição-12 apresenta-se como um singuleto desblindado em 1,34 ppm por estar adjacente a um heteroátomo enquanto a metila na posição-11 apresenta-se como um dubbleto em 0,99 ppm pois se encontra acoplado ao H<sub>7</sub>. O H<sub>1a</sub> poderia ser atribuído tanto aos sinais em 2,68 ou 2,74 ppm por estar no carbono do epóxido. Como no espectro bidimensional de correlação H,H (COSY) observou-se que os hidrogênios da olefina em 5,43 e 6,16 ppm se correlacionam com o sinal em 2,74 ppm, conclui-se que o H<sub>1a</sub> corresponde ao deslocamento químico em 2,68 ppm e o H<sub>4a</sub> foi atribuído a 2,74 ppm. Por exclusão o H<sub>7a</sub> foi atribuído a 1,48 ppm.



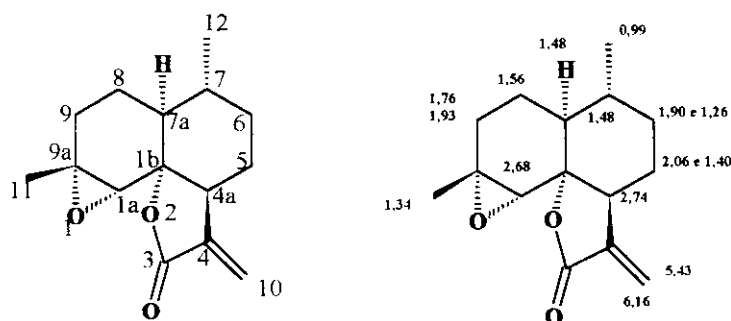
## 22

**Figura 16:** Vista estereoquímica do composto 22

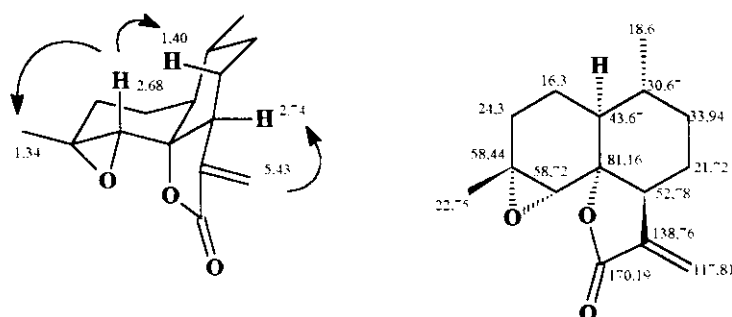
Foi observado também que H<sub>4a</sub> (2,74 ppm) se correlacionava com o CH<sub>2</sub> em 1,40 e 2,06 ppm atribuindo este assim, a posição-5. Por sua vez constatamos a existência de correlação entre os deslocamentos químicos de 1,40 ppm com 1,26 e 1,90 ppm atribuindo estes hidrogênios a posição-6. Esta atribuição foi corroborada pela correlação a longa distância (E22-COLOC) onde verificou-se uma correlação entre C<sub>5</sub>/H<sub>6</sub> (21,7/1,26 ppm) e C<sub>6</sub>/H<sub>11</sub> (33,9/0,99 ppm). Restaram portanto atribuir os dois CH<sub>2</sub> em 16,3 e 24,3 ppm. Tanto as correlações bidimensionais H,H (E22-COSY) e H,C a longa distância (E22-COLOC) não foram suficientes para distinguir claramente entre estas duas posições. Para atribuirmos os dois hidrogênios H<sub>8</sub> e H<sub>9</sub> recorremos ao experimento bidimensional do tipo NOESY (“Nuclear Overhauser Effect Spectroscopy”) que permitiu estudar as correlações espaciais da molécula

/49/. A partir deste constatamos uma correlação entre H<sub>12</sub> e 1,56 ppm que verificamos assim corresponder à posição-8. O deslocamento químico de C<sub>8</sub>, 16,3 ppm ( $\Delta\delta=11$  ppm), é pouco usual comparado a outros amorfanos (exemplos: 21 e 12) e pode ser atribuído ao efeito  $\gamma$ -gauche adicional introduzido pelo oxigênio em C<sub>1b</sub>. A proteção deste tipo com valores altos são conhecidos para substituintes norbornanos endo-substituídos /50/.

Para confirmar a configuração relativa recorremos ao experimento de RMN<sup>1</sup>H-NOESY que permitiu observar uma correlação do H<sub>1a</sub> com os deslocamentos químicos em 1,40 ppm correspondente ao átomo de hidrogênio axial do carbono C<sub>5</sub> e em 1,34 ppm com os átomos de hidrogênio da metila em C<sub>12</sub>. Também observou-se que o átomo de hidrogênio da dupla ligação com sinal em 5,43 ppm se correlacionava com o átomo de hidrogênio em 2,74 ppm possibilitando destá maneira confirmar a estereoquímica relativa da molécula. O valor da constante de acoplamento entre H<sub>4a</sub> e H<sub>5</sub> ( 15 Hz ) foi concordante com o valor teórico de um acoplamento H<sub>axial</sub>-H<sub>axial</sub> assim sendo o composto 22 não apresenta interconversão conformacional em solução.



RMN<sup>1</sup>H

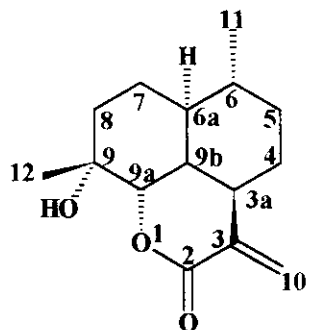


RMN<sup>13</sup>C

**Figura 17:** Dados de RMN<sup>1</sup>H e <sup>13</sup>C do composto 22

## **Qinghaosu V (12)**

A partir das folhas secas como indicado no fluxograma da Figura 11a, isolamos o composto **12** (0,01% de rendimento) com um ponto de fusão de 145-146°C. Confirmamos também a estrutura do composto **12** por comparação de seus dados experimentais de infravermelho, massas e RMN<sup>1</sup>H com aqueles dados descritos na literatura /51/. Foi observada uma banda de hidroxila no espectro de infravermelho em 3470 cm<sup>-1</sup> e outra correspondente a carbonila da lactona em 1722 cm<sup>-1</sup>. O espectro de massas esta de acordo com a formula molecular da amostra pela presença do íon molecular em m/z 250.



**12**

Para atribuição dos átomos de hidrogênio e carbono da molécula **12**, utilizamos procedimentos análogos aos descritos para à análise dos espectros 1D e 2D homo e heteronucleares descritos para os compostos **21** e **22**. Para determinar as correlações a longa distancia recorremos ao experimento de RMN<sup>13</sup>C-COLOC no qual utilizamos tempos de evolução de  $\tau=0,083\text{s}$  e  $\tau=0,05\text{s}$  os quais correspondem a  $\tau=1/J$  onde os valores de  $J$  são 12 e 20 Hz respectivamente. Na tabela 9 relacionamos os tipos de carbonos que foram determinados a partir dos dados fornecidos do espectro de RMN<sup>13</sup>C-DEPT 90° e 135°. A correlação entre os sinais de H e C foram definidos pela análise do espectro de correlação bidimensional <sup>1</sup>H, <sup>13</sup>C do tipo HETCOR

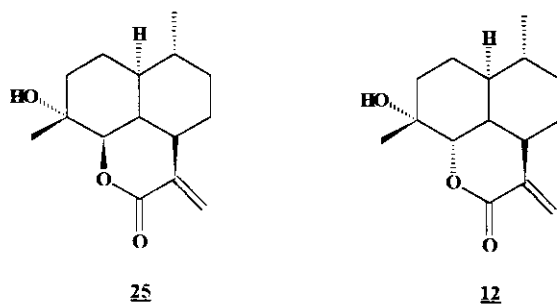
**Tabela 9 : Dados de RMN<sup>1</sup>H e RMN<sup>13</sup>C do composto 12**

TIPO C	$\delta$ <sup>13</sup> C (ppm)	$\delta$ <sup>1</sup> H (ppm)	J (Hz)	COLOC	#C
C <sup>a</sup>	166,2	-	-	166,2/5,62(C <sub>2</sub> /H <sub>10</sub> ) 166,2/6,51(C <sub>2</sub> /H <sub>10</sub> )	2
C <sup>b</sup>	139,4	-	-	139,4/5,62(C <sub>3</sub> /H <sub>10</sub> ) 139,4/6,5(C <sub>3</sub> /H <sub>10b</sub> )	3
C <sup>c</sup>	70,3	-	-	70,3/1,36 (C <sub>9</sub> /H <sub>12</sub> )	9
CH	80,1	4,37	d, J(9b,9a)=11,6	80,1/1,36 (C <sub>9a</sub> /H <sub>12</sub> )	9a
CH	42,3	1,43	-	42,3/1,66 (C <sub>6a</sub> /H <sub>7</sub> ou C <sub>6a</sub> /H <sub>8</sub> )	6a
CH	39,6	2,66	ddd, J(3a,4 <sub>a</sub> )=11,9; J(3a,9b)≈J(3a,4 <sub>e</sub> ) ≈4,4	39,6/6,51 (C <sub>3a</sub> /H <sub>10</sub> )	3a
CH	35,9	2,36	ddd, J(9b,9a)=11,6; J(9b,3a) ≈J(9b,6a) ≈4,4	35,9/1,66 (C <sub>9b</sub> /H <sub>4</sub> ) 35,9/2,36 (C <sub>9b</sub> /H <sub>9b</sub> )	9b
CH	27,5	1,48	-	27,5/1,66(C <sub>6</sub> /H <sub>4</sub> ) 27,5/1,80 (C <sub>6</sub> /H <sub>4</sub> )	6
CH <sub>2</sub>	129,6	5,62	dd, J(10,10')=J(10,4a)=1,5	129,6/2,66(C <sub>10</sub> /H <sub>1</sub> )	10
CH <sub>2</sub>	34,9	1,80 <sub>e</sub> e 1,14 <sub>a</sub>	dddd,J(5 <sub>e</sub> ,5 <sub>a</sub> )=13,2;J(5 <sub>e</sub> ,6a) =J(5 <sub>e</sub> ,4 <sub>e</sub> )=J(5 <sub>e</sub> ,4 <sub>a</sub> )=3,5	34,8/0,88 (C <sub>5</sub> /H <sub>11</sub> )	5
CH <sub>2</sub>	32,2	1,47 e 1,66	-	32,2/1,36 (C <sub>8</sub> /H <sub>12</sub> )	8
CH <sub>2</sub>	30,8	1,37 e 1,66	-	30,8/1,66 (C <sub>7</sub> /H <sub>7</sub> )	7
CH <sub>2</sub>	21,9	1,66 e 1,86	-	21,9/1,66 (C <sub>4</sub> /H <sub>4</sub> )	4
CH <sub>3</sub>	27,4	1,36	s	27,4/1,36 (C <sub>12</sub> /H <sub>12</sub> )	12
CH <sub>3</sub>	20,0	0,88	d, J(11,7)=6	20,0/0,88 (C <sub>11</sub> /H <sub>11</sub> )	11

A análise destes primeiros dados permitiu atribuir os carbonos C<sub>2</sub>, C<sub>3</sub>, C<sub>9</sub> e C<sub>10</sub> como sendo os sinais em 166,2; 239,4; 70,3 e 129,6 ppm respectivamente. O sinal em 80,1 ppm foi atribuído ao C<sub>9a</sub> pois este deslocamento químico está de acordo com um CH adjacente a um heteroátomo ficando desblindado em relação aos outros átomos de CH. A distinção entre as metilas foi facilitada pois o sinal em 27,4 ppm que corresponde ao sinal simples em 1,36 ppm no espectro HETCOR estava mais desblindado que o sinal em 0,88 ppm , está diferença se

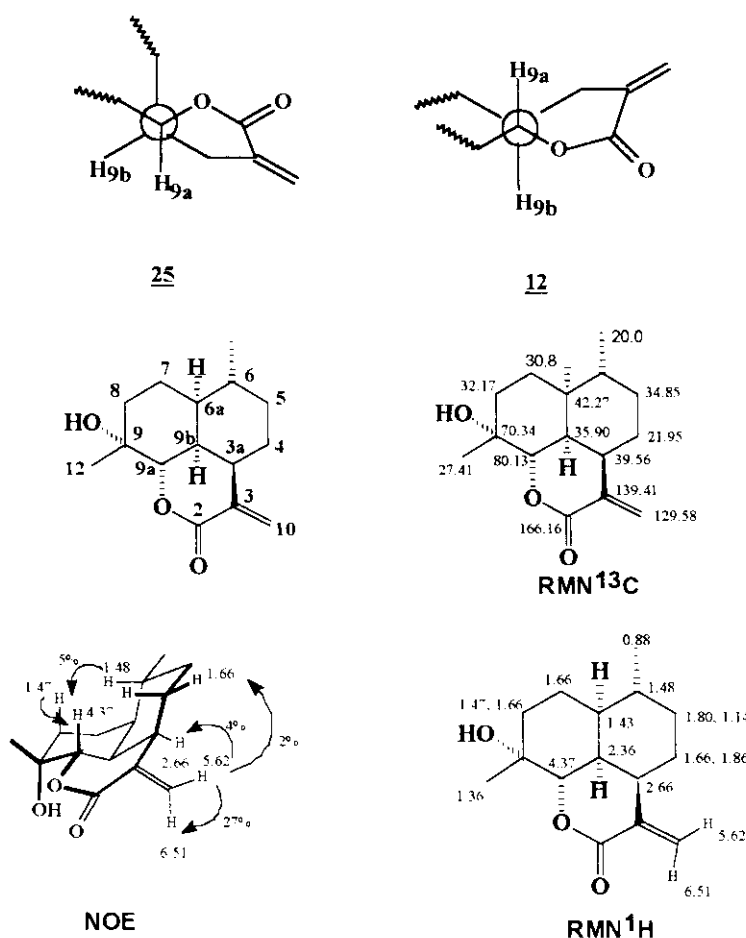
justifica pelo C<sub>12</sub> encontrar-se adjacente a uma hidroxila. Como o sinal em 1,48 ppm se correlacionava com os hidrogênios da metila na posição-11 atribuímos este sinal a H<sub>6</sub>. No espectro de correlação H,H (E12-COSY) observamos uma correlação do H<sub>9a</sub> (4,36 ppm) com um hidrogênio em 2,36 ppm que por sua vez se correlacionava com o sinal em 2,66 ppm. Evidenciando assim a sequência, H<sub>9a</sub>-H<sub>9b</sub>-H<sub>3a</sub> ou alternativamente H<sub>9a</sub>-H<sub>9b</sub>-H<sub>6a</sub>. Para podermos atribuir corretamente os deslocamentos químicos de H<sub>3a</sub> e H<sub>6a</sub> foi necessário recorrer a análise do espectro de correlação a longa distância C,H (E12-COLOC) que permitiu determinar que o C<sub>6a</sub> se correlacionava com o sinal em 1,66 ppm enquanto que o sinal em 39,6 ppm se correlacionava com o sinal em 6,51 ppm correspondente a olefina e portanto o sinal em 39,6 ppm foi atribuído a C<sub>3a</sub>. Por exclusão atribui-se ao H<sub>6a</sub> o deslocamento químico em 1,43 ppm. De forma análoga foram atribuídos os CH<sub>2</sub>. Como no espectro de correlação C,H (E12-HETCOR) constatamos que tanto os sinais em 32,2; 30,8 e 21,9 ppm se correlacionavam em 1,66 ppm foi necessário recorrer a análise das correlações C,H a longa distância (E12-COLOC) para diferenciar entre eles. Constatamos que a metila na posição-12 se correlacionava com 32,2 ppm portanto este sinal foi atribuído ao C<sub>8</sub> (1,47 e 1,66 ppm) portanto o deslocamento químico em 1,66 ppm que se correlacionou com 2,65 e 1,86 ppm seria correspondente a H<sub>4</sub>. A partir do espectro de correlação C,H (HETCOR) temos que o sinal em 21,9 ppm corresponde aos hidrogênios 1,66 e 1,86 ppm portanto podemos concluir que o hidrogênio em 2,66 se correlaciona com a posição-4 que corresponde aos deslocamentos químicos de hidrogênios de 1,66 e 1,86 ppm. Por exclusão o carbono em 30,8 ppm (1,37 e 1,66 ppm) seria atribuído a posição-7.

Segundo Jeremic e col. /51/ a lactona 12 coexiste na *Artemisia annua* L. com a artenuína E 25. O ponto de fusão de 144-145°C observado já nos forneceu uma primeira indicação que tínhamos isolado o composto 12 pois para o composto 25 a literatura cita um ponto de fusão de 125-126°C. A configuração relativa de 12 foi confirmada por experimento de diferença de NOE (“Nuclear Overhauser Effect”) que permitiu verificar as relações espaciais da molécula. A partir desse espectro tivemos as evidências que H<sub>9a</sub> (4,37 ppm) se correlacionava espacialmente com o sinal em H<sub>8</sub> (1,47 ppm), H<sub>6</sub> (1,48 ppm). Também foi constatado que o H<sub>4</sub> se correlacionava espacialmente com os hidrogênios da olefina. Estes resultados permitiram confirmar que o diasteroisômero isolado por nos tratava-se do composto 12.



**Figura 18:** Composto **12** e composto **25**

Através da análise das constantes de acoplamento no espectro unidimensional de hidrogênio de  $H_{9a}$  e  $H_{9b}$  observou-se uma constante de acoplamento de 11,6 Hz. No caso do composto **12** isto seria coerente pois os átomos de hidrogênio  $H_{9a}$  e  $H_{9b}$  estão numa relação *trans*  $H_a$ - $H_a$  (normalmente varia de 8-14 Hz). Para o diasteroisômero **25** os hidrogênios vicinais apresentariam um ângulo aproximado de  $60^\circ$  com uma constante de acoplamento previsto de 2-3 Hz (Figura 19).



**Figura 19:** Projeção de Newman para o composto **12** e **25** e atribuição espetroscópica do composto **12**

### **III. Óleo essencial de *Artemisia annua* L.**

#### **III.1. Considerações gerais e determinação dos componentes principais**

Nesta parte de nosso trabalho nos nós propusemos avaliar os componentes voláteis da *Artemisia annua* L. cultivada no Brasil a partir de um híbrido SII/FII originário da clonagem de sementes Chinesas e Vietnamitas, fornecidas pela MEDIPLANT (CENTRE DE RECHERCHES SUR LES PLANTES MÉDICINALES ET AROMATIQUES - Suíça), assim como verificar a variação sazonal dos mesmos.

O óleo essencial foi obtido por hidrodestilação da planta fresca, sendo analisados por GC/MS. Esta é uma das técnicas analíticas mais difundidas atualmente para a análise de misturas voláteis que resulta da cromatografia gasosa acoplada à espectrometria de massas.

A biblioteca de espectros de massas Wiley /52/ instalada no GC/MS (HP 5890/HP 5970) foi tomada como referência do tipo de esqueleto carbônico dos componentes presentes no óleo. No entanto a identificação somente pela fragmentação observada não é suficiente para a caracterização dos diversos componentes encontrados no óleo essencial pois o padrão de fragmentação de vários sesquiterpenos são similares sem diferenças significativas nas suas abundâncias relativas. Podemos ilustrar esta afirmação com os compostos 106 e 107 respectivamente (Figura 20). Notamos que apesar das suas diferenças estruturais os seus espectros de massas são semelhantes. Para contornar esta problemática recorreu-se à utilização de índices de retenção dos componentes do óleo essencial e à utilização de padrões autênticos para serem co-injetados. O uso de índices de retenção associados à comparação de espectros de massas tem-se demonstrado muito eficaz na elucidação dos componentes de óleos essenciais.

Apesar de existir vários sistemas propostos para determinação dos índices de retenção /53/ o mais citado em livros textos é o índice de Kovats no qual o comportamento do composto é relacionado a um hidrocarboneto de cadeia longa utilizando uma escala logarítmica, assim Índice de retenção (IK), determinado em condições isotérmicas, é definido como:

$$IK = 100N + 100n [\log t'R(A) - \log t'R(N)] / [\log t'R(N-n) - \log t'R(N)]$$

onde:

N: # de carbonos do hidrocarboneto com tempo de retenção maior do que o composto sendo analisado

n: # de carbonos do hidrocarboneto com tempo de retenção menor do que o composto sendo analisado

t'R(A): tempo de retenção do composto sendo analisado

t'R(N): tempo de retenção do hidrocarboneto de cadeia maior

t'R(n): tempo de retenção do hidrocarboneto de cadeia menor

Alguns fatores que podem desviar os valores obtidos experimentalmente à aqueles da literatura podem ser atribuídos a:

- Variação da polaridade da fase líquida da coluna decorrente do uso prolongado da mesma.
- Colunas provenientes de diferentes fornecedores, havendo variações no grau de interação do material da fase líquida com a amostra.
- Variação da temperatura de determinação do índice de retenção daquele descrito na literatura.

Como utilizamos uma programação com variação de temperatura optamos pela aplicação do índice de retenção de Van den Dool e Kratz /54/ onde:

$$IR = [(T_s - T_{cn-1}) / (T_{cn} - T_{cn-1})] \times 100 + 100_{cn-1}$$

T<sub>s</sub>: tempo de retenção da substância analisada

T<sub>cn</sub>: tempo de retenção do n-alcano que elui após a substância analisada

T<sub>cn-1</sub>: tempo de retenção do n-alcano que elui antes a substância analisada

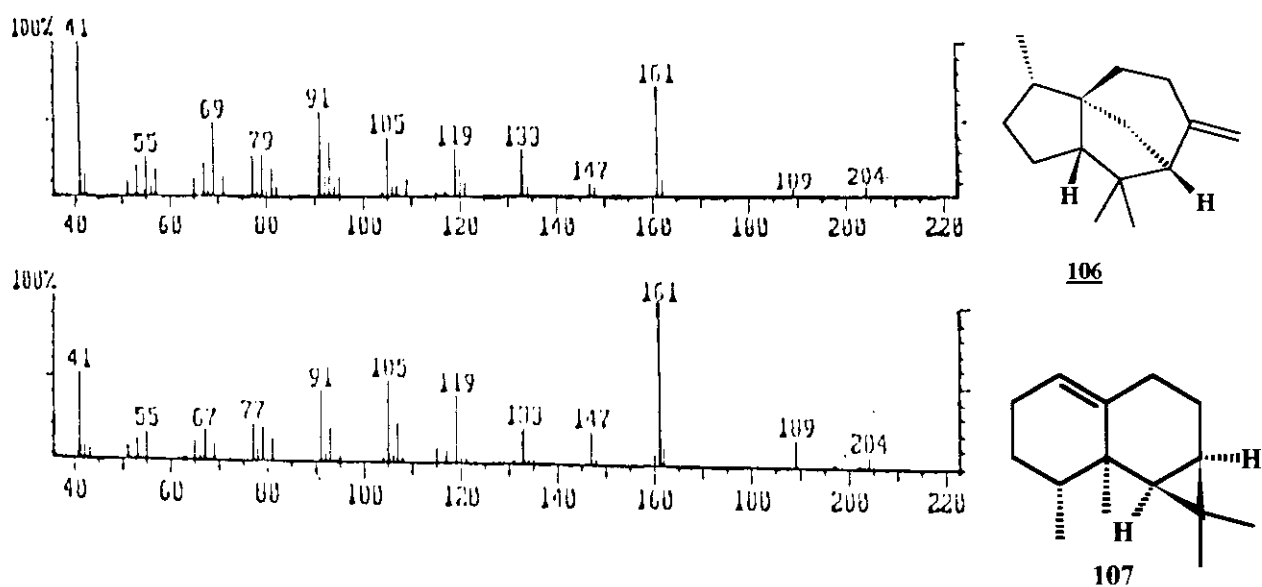
C<sub>n-1</sub>: n-alcano que elui antes da substância analisada

Mesmo apresentando variações com os índices de retenção da literatura estes valores são muito úteis. Os valores experimentais observados podem ser corrigidos pois a sequência de eluição se mantém constante independente da temperatura em que são efetuadas as determinações. Como existem várias referências que citam diversos terpenos com seus respectivos índices de retenção fica fácil extrapolar estes dados para o valor experimental obtido, tendo assim uma indicação com uma alta probabilidade de identificar corretamente o composto.

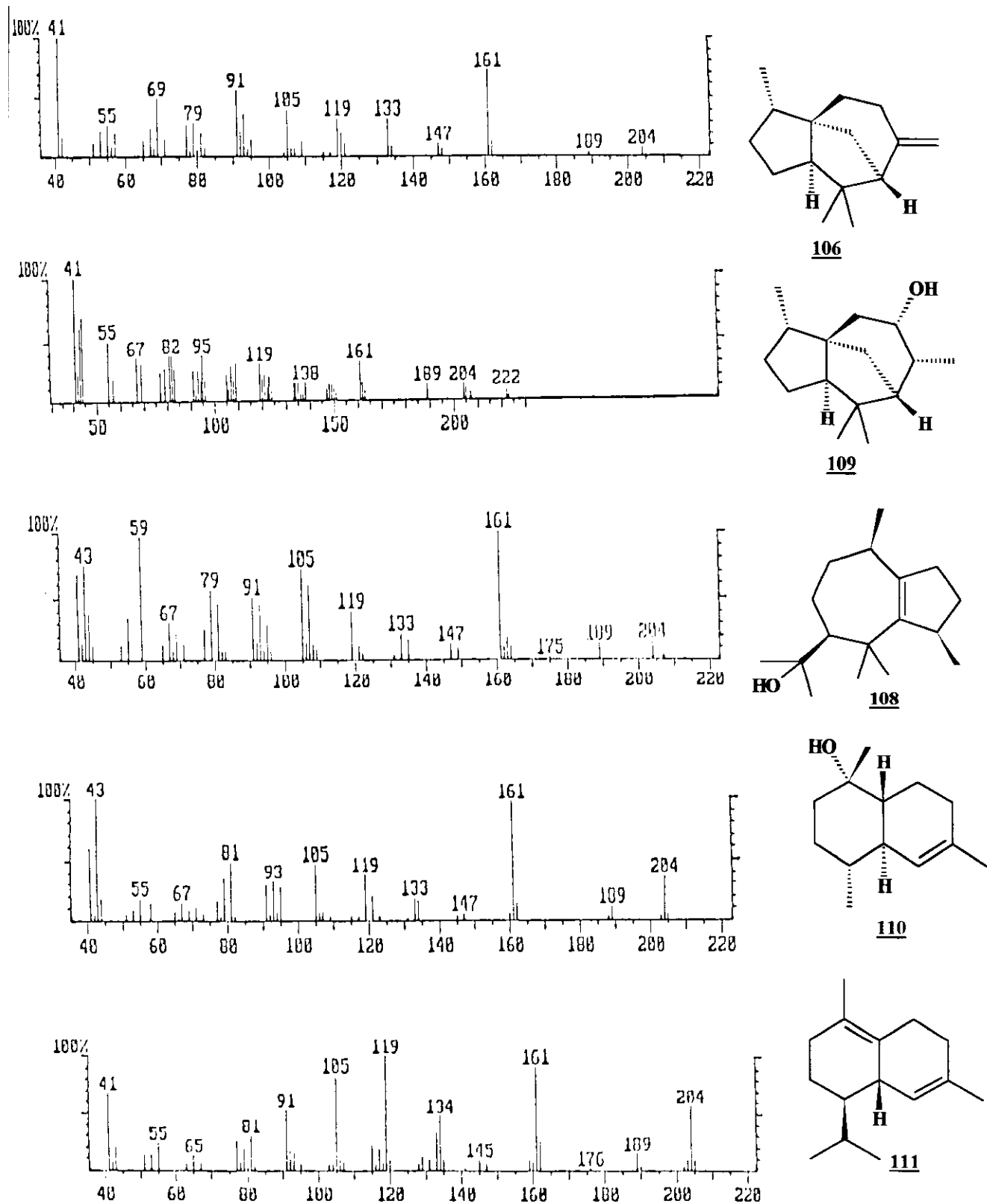
Neste estudo foram identificados vários compostos por comparação de seus índices de retenção, espectros de massas com os da literatura e co-injeção com padrões autênticos. À avaliação destes parâmetros se fez necessário para não incorrer em interpretações

equivocadas dos dados analisados. Por exemplo podemos citar os espectros de álcoois sesquiterpênicos terciários os quais não apresentam íon molecular facilmente visível, podendo ser confundidos com outros sesquiterpenos sem o grupo hidroxila na molécula (106 e 108). Também ao comparar os espectros de massas de alguns sesquiterpenos e seus álcoois análogos (106 e 109; 110 e 111; Figura 21) observou-se diferenças sutis nos espectros correspondentes aos álcoois os quais apresentavam aparentemente duas sequências de fragmentação quando comparada ao seus hidrocarbonetos análogos. No caso dos compostos 110 e 111 verificamos que o cadinol 110 apresentava uma sequência de fragmentação em m/z 164, 149, 137, 121, 109, 95, 81, 71, 57 e 43 peculiar a ele e outros em m/z 204, 189, 161, 119, 93, 91, 77 e 41 comum ao composto 111, a partir desta constatação sugerem-se dois mecanismos de fragmentação viáveis para o álcool, um por decomposição direta e outro por decomposição indireta acompanhada de desidratação do álcool /55/.

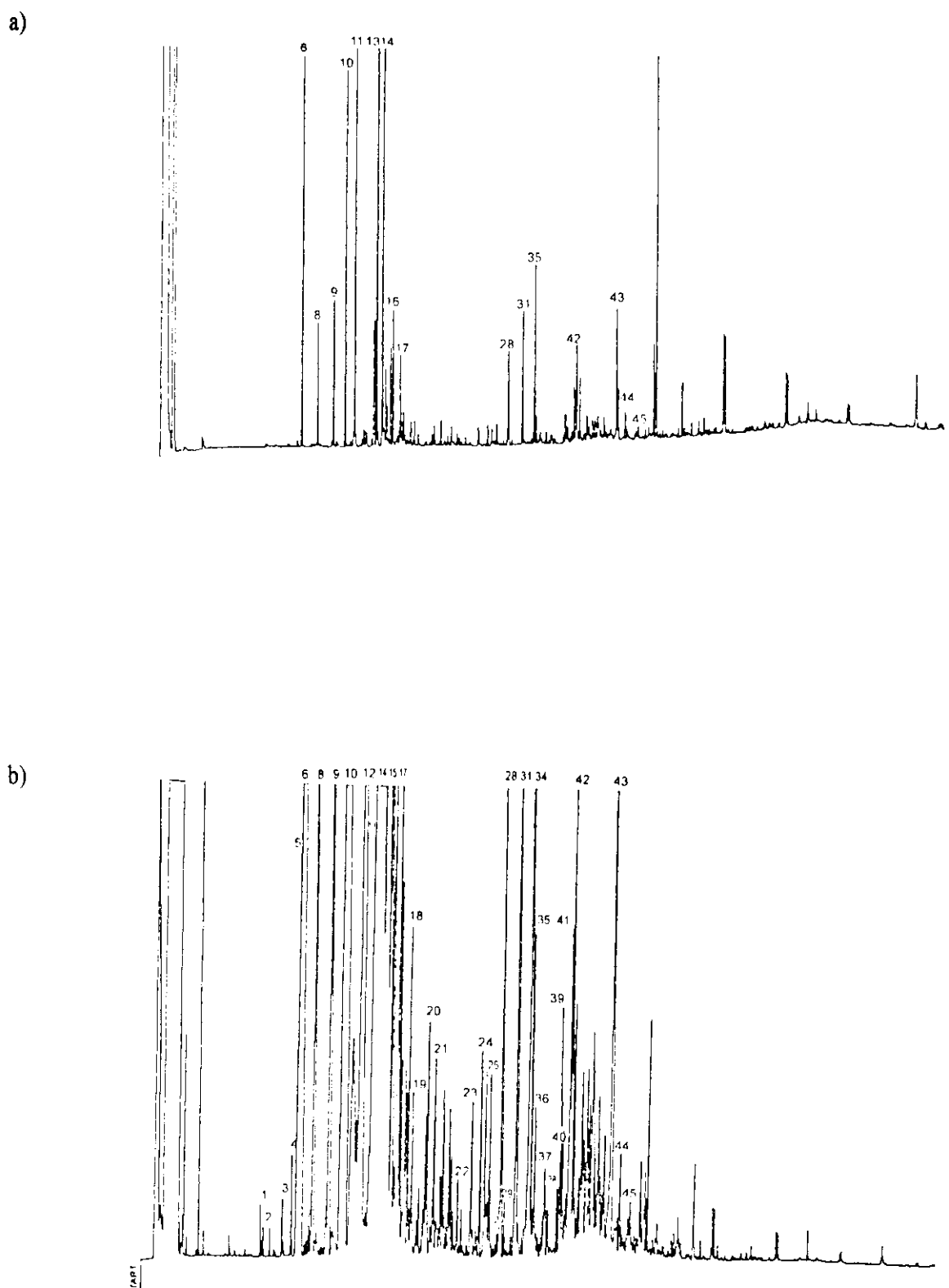
A grande similaridade observada nos perfis dos espectros de massa corroborou a necessidade de se fazer uso de padrões autênticos para confirmar a presença dos diversos componentes no óleo essencial como também determinar seus índices de retenção. Através desta metodologia foi possível confirmar vários componentes do óleo essencial. A utilização de padrões comerciais permitiu ao co-injetá-los, confirmar a presença de quarenta e três compostos no óleo essencial (Tabela 10). Nos cromatogramas da figura 21 foram indicados os componentes descritos na tabela.



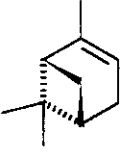
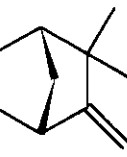
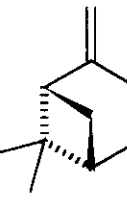
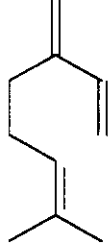
**Figura 20:** Espectros de massas dos compostos 106 e 107



**Figura 21 :** Sesquiterpenos e seus álcoois análogos (**106** e **109**; **110** e **111**) e comparação dos espectros de massas de **106** e **108**



**Tabela 10:** Compostos identificados no óleo essencial de *Artemisia annua* L.

# Composto	Índice de Retenção	Estrutura	Fragmentação m/z	%
1 α-pineno	945,06		136 121 93 77 51 43	8 15 100 20 6 10
2 canfeno	962,66		136 121 107 93 79 41	31 68 34 100 28 26
3 β-pineno	972,30		136 121 103 93 69 43	8 14 5 100 20 10
4 sabineno	1007,27		136 121 93 91 53 41	75 98 100 40 10 22
5 mirceno	1010,38		136 121 115 93 65 41	5 7 2 82 65 100

continua

continuação Tabela 10

# Composto	Índice de Retenção	Estrutura	Fragmentação m/z	%
6	1018,61		136 121 93 91 43 41	41 77 100 50 20 35
7	1021,61		136 121 93 91 43	20 3 100 30 3
8	1031,62		154 139 121 111 96 93 43	43 63 6 36 36 29 100
9	1055,27		152 83 55 39	- 100 30 8
10	1073,37		136 79 77 53 43 41	50 100 20 15 10 20

continua

continuação Tabela 10

# Composto	Índice de Retenção	Estrutura	Fragmentação m/z	%
11 isopulegol	1091,52		154 136 121 95 93 69 41	23 51 63 63 60 100 91
12 cânfora	1174,77		152 126 108 95 81 41	18 2 40 100 75 60
13 citronelal	1183,68		154 121 95 69 41	7 25 63 100 100
14 borneol	1188,97		154 139 121 110 95 41	- 5 18 18 100 35
15 isoborneol	1214,29		154 139 136 121 110 95	1 8 10 16 17 100

continua

continuação Tabela 10

# Composto	Índice de Retenção	Estrutura	Fragmentação m/z	%
16 estrágol	1224,18		148 121 117 98	100 50 55 25
17 1-terpineol	1232,37		154 136 121 93 71 43	- 40 30 60 100 80
18 citral	1241,58		152 137 123 94 69 41	- 4 4 9 73 100
19 carvona	1252,89		150 108 93 82 54	17 37 34 100 40
20 citral	1266,28		152 137 123 94 69 41	- 4 4 9 73 100
21 acetato de isobornila	1300,81		196 136 93 43	1 82 100 75

continua

continuação Tabela 10

# Composto	Índice de Retenção	Estrutura	Fragmentação m/z	%
22 eugenol	1312,92		164 149 126 77	100 35 25 25
23 $\alpha$ -cubebeno	1338,11		204 161 119 105 41	18 71 80 100 57
24 $\alpha$ -copaeno	1353,15		204 161 119 105 41	14 79 93 100 66
25 longiciclene	1389,76		204 189 161 133 119 94 41	20 20 25 32 55 98 100
26 $\alpha$ -gurjuneno	1401,14		204 189 161 119 105 93 41	100 85 94 74 98 30 40

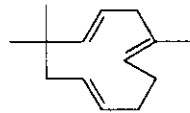
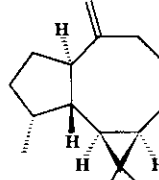
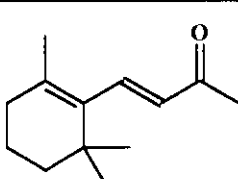
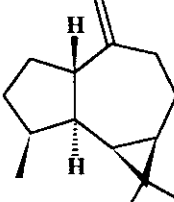
continua

continuação Tabela 10

# Composto	Índice de Retenção	Estrutura	Fragmentação	
			m/z	%
27 β-cedreno	1417,62		204	34
			189	3
			161	100
			119	33
			93	43
			91	57
			43	78
			41	98
28 longifoleno	1426,53		204	27
			189	36
			161	68
			135	39
			109	63
			94	57
			91	95
			41	100
29 calareno	1429,56		204	18
			189	20
			161	100
			121	6
			93	30
			41	35
30 α-neocloveno	1442,28		204	23
			189	71
			161	86
			105	96
			77	46
			55	45
			41	100

continua

continuação Tabela 10

# Composto	Índice de Retenção	Estrutura	Fragmentação	
			m/z	%
31 humuleno	1447,39		204 189 121 93 81 41	3 2 22 100 35 25
32 aromadendrano	1458,09		204 189 161 93 91 69 41	60 40 98 83 80 70 100
33 $\beta$ -ionona	1464,42		192 177 135 123 119 95	8 100 13 20 12 10
34 alloaromandreno	1476,72		204 189 161 133 105 93 91 81 43	17 10 33 31 50 53 52 45 100

continua

continuação Tabela 10

# Composto	Índice de Retenção	Estrutura	Fragmentação	
			m/z	%
35 guaiol	1481,26		222	7
			204	16
			189	19
			161	100
			107	48
			91	40
			59	76
36 ledeno	1503,29		204	12
			189	12
			161	26
			105	63
			91	63
			79	44
			41	100
37 nerolidol (Z)	1519,12		222	-
			189	4
			136	21
			93	80
			69	100
			43	100
38 nerolidol (E)	1525,16		222	-
			189	4
			136	21
			93	80
			69	82
			43	100

continua

continuação Tabela 10

# Composto	Índice de Retenção	Estrutura	Fragmentação m/z	%
39 epiglobulol	1551,72		222 204 161 109 81 43	- 17 32 39 39 100
40 oxido cariofileno	1567,10		220 205 187 161 107 91 79 41	- 3 3 3 19 41 58 100
41 globulol	1573,35		222 204 161 109 81 43	- 17 32 39 39 100
42 viriflorol	1579,66		222 204 189 161 109 69 43	- 18 18 30 43 43 100

continua

continuação Tabela 10

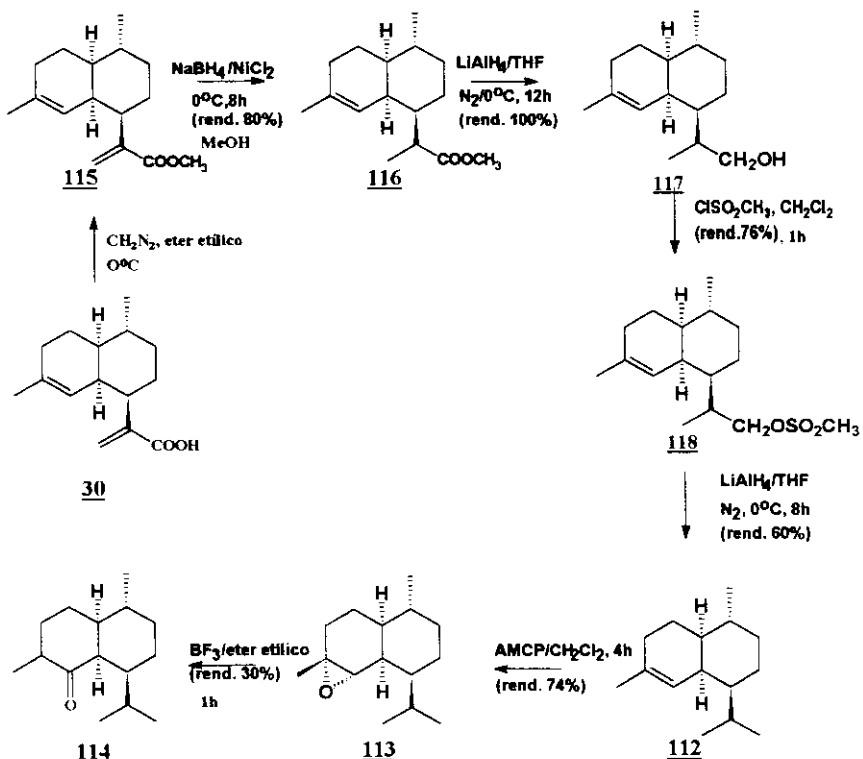
# Composto	Índice de Retenção	Estrutura	Fragmentação	
			m/z	%
43	1608.96		222	-
farnesol			204	3
			189	3
			161	4
			93	20
			81	30
			69	100
			41	98
44	1715,98		220	-
2-cyclonenen-1-one-2{2,2-dimetil-3(3-butanona)cyclononan-1-yl}			205	15
			202	14
			187	14
			163	14
			121	19
			96	33
			91	43
			43	100
45	1732,84		220	-
2-cyclonenen-1-one-2{2,2-dimetil-3(3-butanona)cyclononan-1-yl}			205	15
			202	14
			187	14
			163	14
			121	19
			96	33
			91	43
			43	100

\* Todas as estereoquímicas aqui indicadas se referem a configurações relativas

### III.2. Obtenção de Padrões

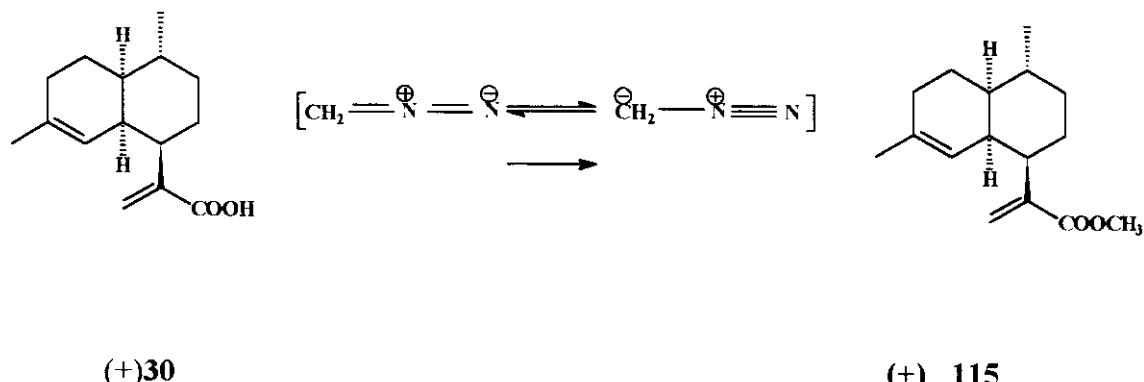
Para podermos determinar os componentes voláteis minoritários desta planta ponderamos inicialmente sobre o método mais conveniente de proceder. O fracionamento de uma grande quantidade do óleo essencial ( $\approx 100\text{g}$  de óleo) resultaria numa fração enriquecida com os compostos de interesse possibilitando estuda-los por GC/MS. O inconveniente desta metodologia decorre da grande quantidade de planta necessária para se conseguir óleo essencial suficiente para os estudos. Na época em que se iniciou este trabalho não tínhamos instalações adequadas para processos em escala semi-piloto. Alternativamente optamos pela preparação de padrões os quais poderiam ser co-injetados ao óleo para constatar a presença ou não de estruturas iguais ou análogas.

Isto nos motivou a procurar algum dos possíveis intermediários biossintéticos de artemisinina 13 no óleo essencial de *Artemisia annua* L.. Visualizamos pois utilizar o ácido artemisinínico 30 como precursor quiral dos padrões 112, 113, 114 uma vez que o ácido 30 possui um esqueleto carbônico análogo a artemisinina 13 além de ser comprovadamente um intermediário biossintético da mesma /33-35/. Estes fatos, aliado a seu alto teor na planta(1,2%) nos forneceu um bom material de partida para os padrões. O ácido artemisinínico 30 foi isolado conforme descrito anteriormente no fluxograma da Figura 11b.



Esquema 4: Rota para obtenção dos padrões 112, 113, 114

Apesar de utilizarmos um substrato quiral para preparação dos padrões não foi avaliado a pureza ótica dos mesmos, visto que todo o trabalho de GC/MS foi feito numa coluna aquiral. Os padrões 112, 113, 114 foram preparados conforme descrito no Esquema 4 através de conversões de grupos funcionais. Iniciou-se com a esterificação de ácido artemisinínico 30 utilizando diazometano em éter etílico a 0°C. O agente alquilante, “o íon metildiazonium” se formou através de um rearranjo 1,3 nitrogênio-oxigênio seguida de uma reação de eliminação em meio básico onde ocorreu desprotonação no carbono  $\alpha$ . Um dos métodos mais convenientes é o que envolve tratamento básico do N-nitroso-N-metil-p-toluenossulfoamida /56/.

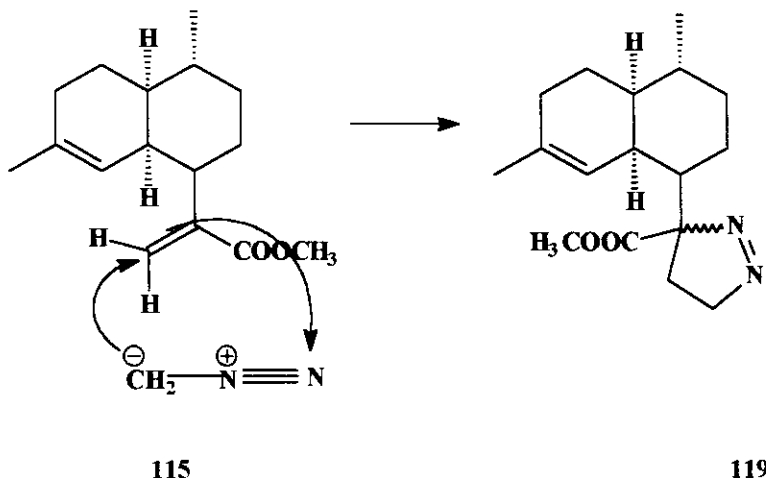


**Esquema 5:** Adição de diazometano no ácido artemisinínico 30

O diazometano reagiu instantaneamente com o ácido 30 formando o composto 115. O produto de reação não precisou ser purificado uma vez que a reação de esterificação com diazometano foi rápida e limpa. Constatou-se a formação do éster 115 pelo íon molecular m/z 248 no espectro de massas, que correspondeu a uma diferença de 15 u.m.a. do íon molecular do ácido artemisinínico 30. No espectro de RMN<sup>1</sup>H de 115, observou-se o aparecimento de um singlet em 3,60 ppm correspondente aos átomos de hidrogênios da metoxila.

Apesar da simplicidade desta etapa observamos que excessos de diazometano levavam a formação de um composto que no espectro de RMN<sup>1</sup>H não apresentava os deslocamentos relativos aos átomos de hidrogênio da dupla ligação exocíclica em 5,4 e 6,3 ppm, como também apresentava um íon molecular m/z 290 no seu espectro de massas. Essa diferença de 42 u.m.a. correspondeu a massa de  $\text{CH}_2\text{N}_2$ . Aparentemente o excesso de diazometano ou a

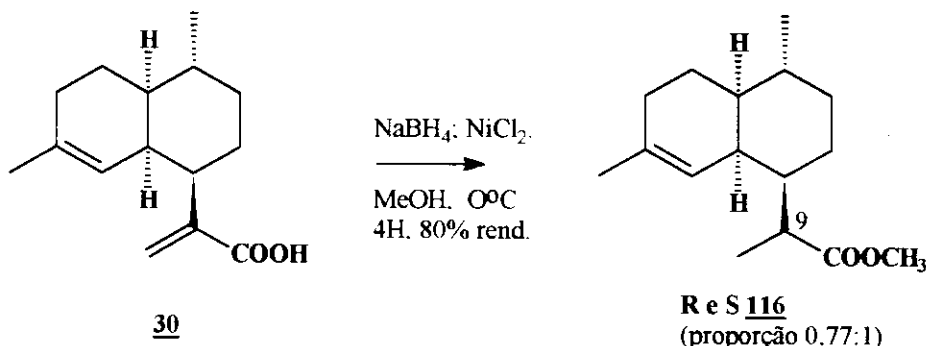
elevação da temperatura do meio reacional levaram a uma cicloadição 1,3 dipolar à dupla ligação exocíclica, levando à formação do composto **119**. A estrutura de **119** foi confirmada pelo relato recente de Kim e Choi /57/.



**Esquema 6:** Adição de excesso de diazometano no ácido artemisinínico **30**

Para reduzir a dupla ligação conjugada ao éster **115** foi necessário, considerar a presença da dupla ligação endocíclica, uma vez que esta pode ser facilmente hidrogenada na presença de catalisadores de Pt e Pd. Desta maneira escolhemos um catalisador que permitisse uma redução suave e regiosseletiva da dupla ligação conjugada ao éster. O catalisador de escolha foi o de níquel-boro que foi preparado a partir de cloreto de níquel e boroidreto de sódio/58/. Constatou-se no espectro de RMN<sup>1</sup>H o desaparecimento dos dois sinais correspondente aos átomos de hidrogênio da dupla ligação exocíclica em 5,4 e 6,3 ppm com aparecimento de um doubleto correspondente aos hidrogênios da metila C<sub>12</sub> em 1,1 ppm.

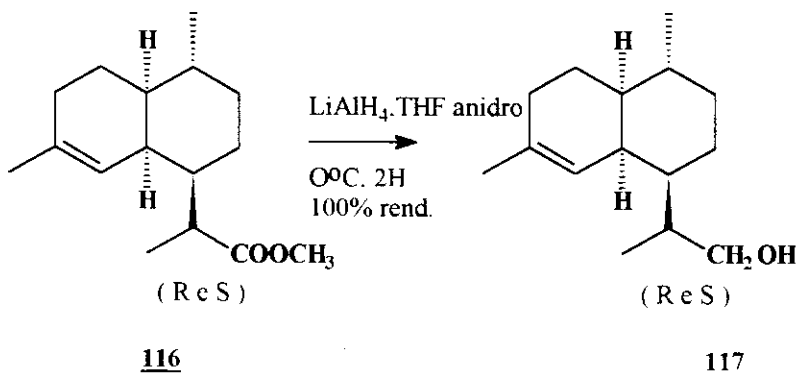
Ao injetar à amostra no GC/MS observou-se dois picos com tempos de retenção 15,4 e 16,3 min numa proporção de 0,77:1. Através da análise de seus espectros de massas verificou-se que ambos apresentavam o mesmo íon molecular m/z 250 e mesmo padrão de fragmentação demonstrando tratar-se dos diastereoisômeros R e S no átomo de carbono C<sub>9</sub>.



**Esquema 7:** Diastereoisômeros do composto 116

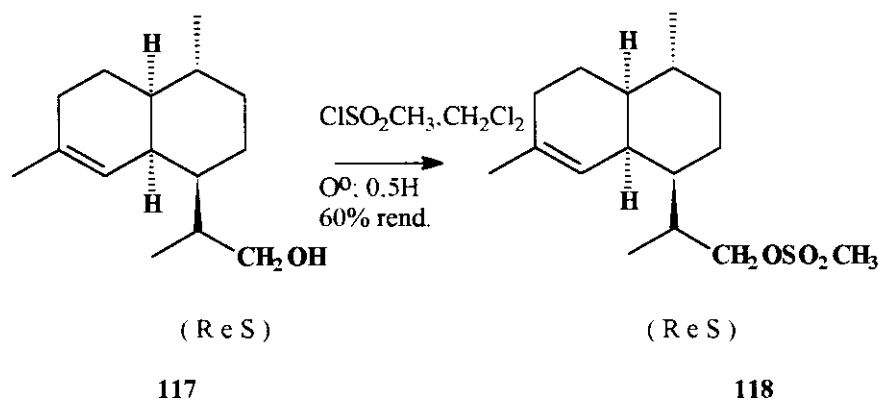
Não nos ativemos em distinguir entre o isômero R e S uma vez que durante as reações subsequentes (derivados **112**, **113**, **114**) perderíamos a assimetria do carbono C<sub>6</sub>.

Para reduzir o grupo éster de 116 ao álcool 117 utilizou-se LiAlH<sub>4</sub> em quantidades equimolares em THF anidro a 0°C. O produto de reação foi purificado por cromatográfica em coluna de sílica obtendo-se o composto 117 em 100% de rendimento. No infra-vermelho observou-se um banda em 3360 cm<sup>-1</sup> e o desaparecimento do estiramento da carbonila em 1736,3 cm<sup>-1</sup> evidenciando a formação da hidroxila. No espectro de RMN<sup>1</sup>H constatou-se o desaparecimento do deslocamento relativo à metila da metoxila em 3,6 ppm. No espectro de massas confirmou-se a formação do álcool 117 pelo ion molecular em m/z 222, como também pela perda de 31 u.m.a. correspondentes à perda de CH<sub>2</sub>OH e pelo pico base em m/z 163 que se atribui a perda de C<sub>3</sub>H<sub>8</sub>O.



**Esquema 8:** Formação do composto 117

A reação de proteção do álcool **117** com cloreto de mesila se fez necessária para conseguir um bom grupo abandonador que poderia ser facilmente substituído pelo íon hidreto, levando a formação do hidrocarboneto **112**. O álcool **117** foi submetido as condições de mesilação utilizando-se cloreto de mesila em  $\text{CH}_2\text{Cl}_2$  a  $0^\circ\text{C}$ . Acompanhou-se a reação por CCD, onde se observou após meia hora a formação de um produto menos polar. Nesta etapa não se purificou o produto da reação. O composto **118** teve sua estrutura confirmada através da análise no espectro de infravermelho onde observamos o desaparecimento da banda de álcool em  $3360 \text{ cm}^{-1}$  apresentando absorções em  $1355$  e  $1177 \text{ cm}^{-1}$  características para o grupo  $\text{S}=\text{O}$ . No espectro de RMN $^1\text{H}$  foi possível detectar um singuleto correspondente aos átomos de hidrogênios da metila do grupo mesila em  $3,0 \text{ ppm}$ .

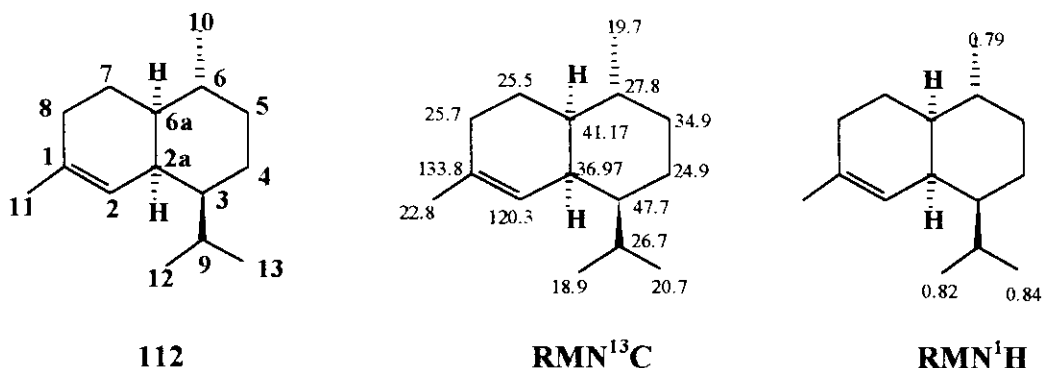


**Esquema 9:** Formação do composto 118

A reação de 118 com LiAlH<sub>4</sub> em THF a 0°C resultou no composto 112 em 60% de rendimento. Após 8 horas de reação purificou-se o produto numa coluna de sílica impregnada com AgNO<sub>3</sub> 10%. Os compostos insaturados se complexam com Ag<sup>+</sup> possibilitando a separação destes, dos compostos saturados /59/.

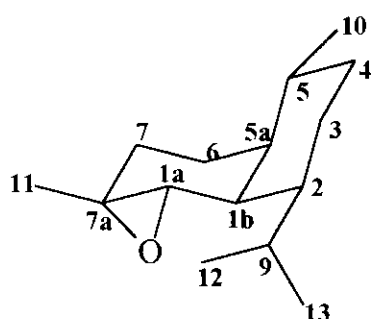
A identificação do composto 112 foi feita pela análise do espectro de massas observando-se o ion molecular em m/z 206 e pelo pico base em m/z 163 correspondente a perda do grupo isopropil. Apesar de utilizarmos a sílica impregnada com AgNO<sub>3</sub> 10% tivemos grande dificuldade em separar o composto 112 das graxas que apresentavam uma polaridade bem próxima a este composto. Assim não foi possível obter-se um espectro de RMN<sup>1</sup>H nítido. Muito embora o composto 112 se encontrava contaminado por graxas foi possível no espectro de RMN<sup>13</sup>C diferenciar os sinais correspondentes ao hidrocarboneto 112.

devido as diferenças de intensidade daquelas da graxa. Também por comparação com os dados de RMN<sup>13</sup>C para o ácido artemisinínico **30**, que possui um esqueleto análogo com exceção da posição C<sub>3</sub>, foi possível confirmar a atribuição do composto **112**.



**Figura 23:** Atribuição por RMN<sup>1</sup>H e <sup>13</sup>C do composto **112**

A reação de epoxidação do composto **112** foi feita utilizando-se como oxidante o ácido meta-cloro-perbenzóico em diclorometano a temperatura ambiente durante 4 horas. Análise dos espectros de RMN<sup>1</sup>H, <sup>13</sup>C e massas permitiu confirmar a formação do epóxido **113** em 74% de rendimento.



**Figura 24 :** Composto **113**

No espectro de RMN<sup>1</sup>H observou-se o desaparecimento do deslocamento em δ 3,65 ppm referente a dupla ligação. No espectro de massas constatou-se um íon molecular em m/z 222 correspondente à introdução de 16 u.m.a. no composto **112**.

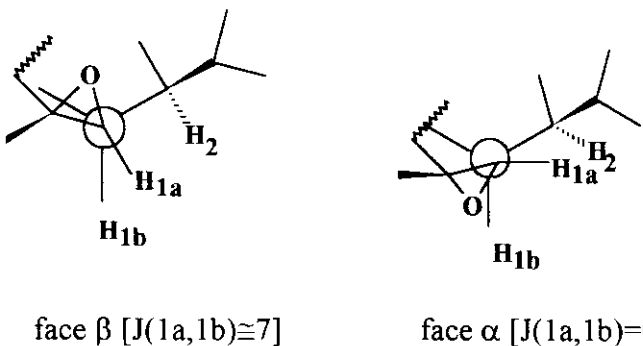
**Tabela 11 :Dados espectroscópicos do composto 113**

#C	$\delta$ 13C(ppm)	$\delta$ 1H(ppm)	J (Hz)	COLOC
1	-	-	-	-
1a	59.6	2.63	-	59.6/0.91 (C <sub>1a</sub> /H <sub>5a</sub> ) 59.6/1.98 (C <sub>1a</sub> /H <sub>1b</sub> )
1b	39.4	1.98	J(1b,5a)≥J(1b,2) ≥4	39.4/2.63 (C <sub>1b</sub> /H <sub>1a</sub> ) 39.4/1.60 e 1.84 (C <sub>1b</sub> /H <sub>3</sub> )
2	47.4	0.95	J(2,1b) ≥4*	47.4/0.89 (C <sub>2</sub> /H <sub>13</sub> )
3	27.7	1.72 e 1.78	J(3 <sub>a</sub> , 3 <sub>e</sub> ) ≥11.7; J(3 <sub>a</sub> ,2) ≥6; J(3 <sub>e</sub> ,2) ≥J(3 <sub>e</sub> ,4 <sub>a</sub> ) ≥J(3 <sub>e</sub> ,4 <sub>e</sub> ) ≥3	27.7/1.98 (C <sub>3</sub> /H <sub>1b</sub> )
4	35.4	0.87 e 1.66	-	35.4/1.60 (C <sub>4</sub> /H <sub>3</sub> ); 35.4/1.84 (C <sub>4</sub> /H <sub>3</sub> ); 35.4/0.78 (C <sub>4</sub> /H <sub>10</sub> )
5	29.5	1.18	-	29.5/0.87 (C <sub>5</sub> /H <sub>4</sub> ); 29.5/1.66 (C <sub>5</sub> /H <sub>4</sub> ); 29.5/1.60 (C <sub>5</sub> /H <sub>3</sub> ); 29.5/1.84 (C <sub>5</sub> /H <sub>3</sub> )
5a	40.5	0.91	-	40.5/0.78(C <sub>5a</sub> /H <sub>10</sub> ); 40.5/2.63( C <sub>5a</sub> /H <sub>1a</sub> ); 40.5/0.87(C <sub>5a</sub> /H <sub>4</sub> ); 40.5/1.66(C <sub>5a</sub> /H <sub>4</sub> )
6	22.3	1.53 e 1.26	-	22.3/1.53 (C <sub>6</sub> /H <sub>6</sub> ); 22.3/1.26 (C <sub>6</sub> /H <sub>6</sub> )
7	24.9	1.60 e 1.84	J(7 <sub>a</sub> ,7 <sub>e</sub> )≥11.7; J(7 <sub>a</sub> ,6 <sub>a</sub> ) ≥6; J(7 <sub>a</sub> ,6 <sub>e</sub> ) ≥3	24.9/1.18 (C <sub>7</sub> /H <sub>5</sub> )
7a	57.5	-	-	57.5/1.24 (C <sub>7a</sub> /H <sub>11</sub> )
9	29.0	1.60	-	29.0/0.95 (C <sub>9</sub> /H <sub>2</sub> )
10	19.1	0.78	J(10,5) ≥7	19.1/0.91 (C <sub>10</sub> /H <sub>5a</sub> )
11	23.6	1.24	s	23.6/2.68 (C <sub>11</sub> /H <sub>1a</sub> ); 23.6/1.98 (C <sub>11</sub> /H <sub>1b</sub> )
12	20.9	0.93	J(12,9) ≥7	20.9/0.89 (C <sub>12</sub> /H <sub>13</sub> )
13	21.5	0.89	J(13,9) ≥7	21.5/0.93 (C <sub>13</sub> /H=12,

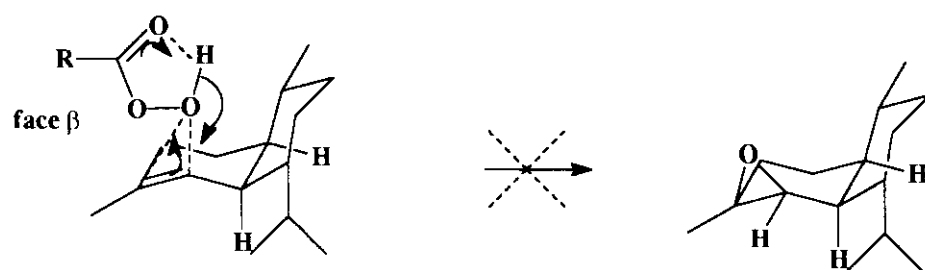
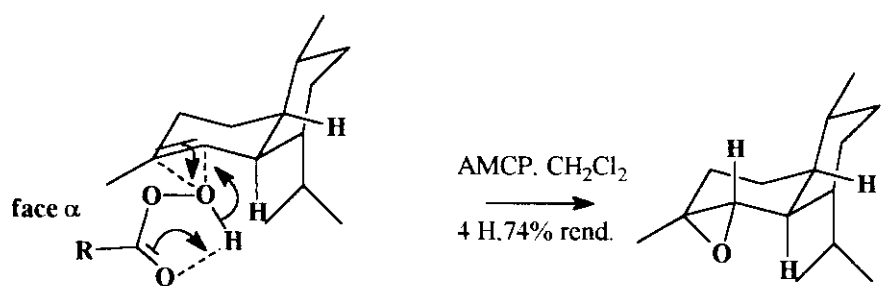
\* outras constantes de acoplamento não puderam ser definidas

Observamos adicionalmente um pico em m/z 204 correspondente à perda de H<sub>2</sub>O, em m/z 179 a perda do grupo isopropil e em m/z 161 que corresponde a perda simultânea do grupo isopropil e água. Uma análise da constante de acoplamento no espectro de RMN<sup>1</sup>H entre H<sub>1a</sub> e H<sub>1b</sub> permitiu determinar que estes hidrogênios formavam um ângulo diedrico de

90° entre si, que nos levou a supor que a reação de epoxidação tinha ocorrido pela face  $\alpha$  da molécula. Chegou-se a esta conclusão pois não observou-se uma constante de acoplamento entre  $H_{1a}$  e  $H_{1b}$  ( $J \geq 0$ ). Caso tivesse ocorrido a reação de epoxidação pela face  $\beta$  da molécula teríamos observado um  $J \geq 7$  Hz.

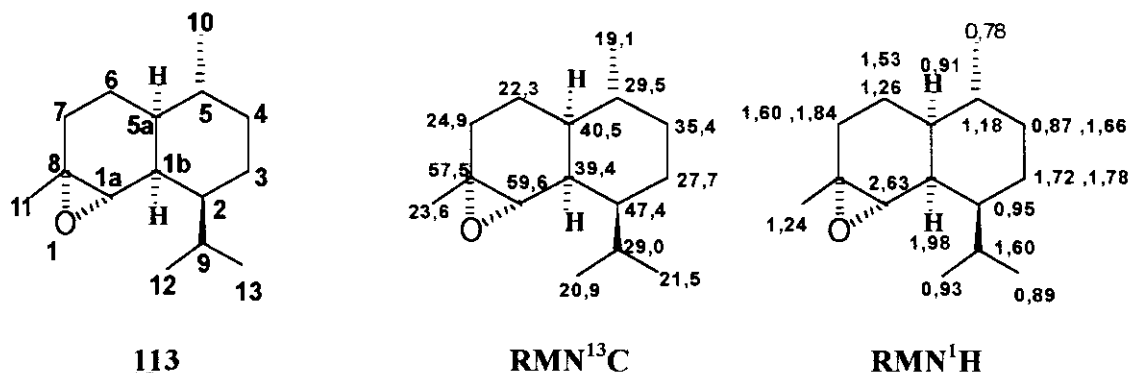


**Figura 25 :** Projeção de Newman C<sub>1a</sub>-C<sub>1b</sub> dos epóxidos formados pela adição de perácido à face  $\alpha$  e  $\beta$  de **112**

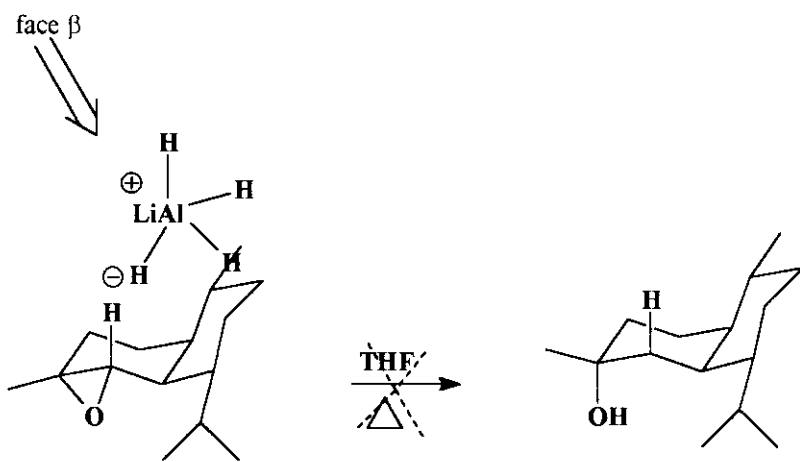


**Esquema 10:** Adição do perácido pela face  $\alpha$  e face  $\beta$  do composto 112

Na Figura 26 temos à atribuição espectroscópica de RMN<sup>1</sup>H e <sup>13</sup>C do composto 113.

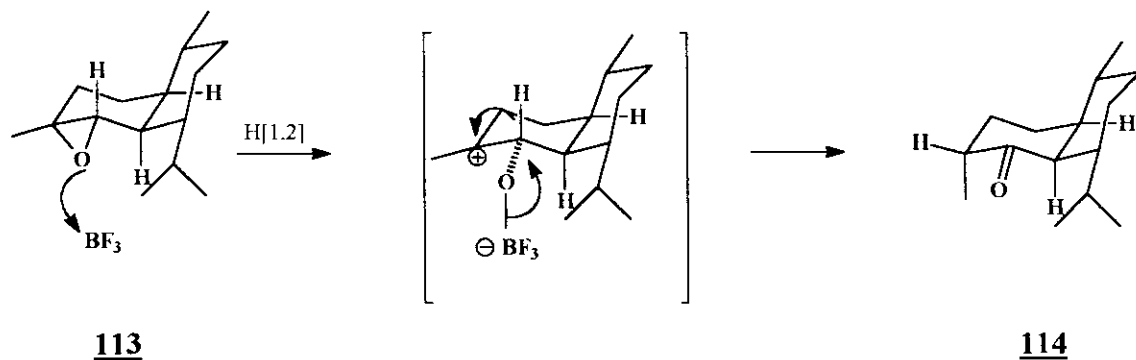


A partir do composto 113 tentou-se obter o álcool 120, através da reação de abertura do epóxido com um agente redutor nucleofílico, neste caso LiAlH<sub>4</sub>. O hidreto se adiciona preferencialmente no átomo de carbono menos substituído e com uma abertura *anti-peri*-planar. Algumas tentativas de abertura do epóxido 113 com LiAlH<sub>4</sub> mostraram-se infrutíferas mesmo utilizando-se condições bem drásticas (temperaturas reacionais elevadas), observava-se sempre a recuperação do material de partida 113. Os resultados obtidos mostraram que a fusão *cis* dos anéis torna a face  $\beta$  da molécula impedita estericamente dificultando assim a entrada do hidreto.



**Esquema 11:** Tentativa de formação do composto 120

Por outro lado, tratamento do epóxido 113 com  $\text{BF}_3$  em éter etílico a  $0^\circ\text{C}$ , forneceu após purificação em coluna cromatográfica a cetona 114 em 30% de rendimento. Este tipo de reação de rearranjo é comum quando epóxidos são tratados com reagentes ácidos como por exemplo éterato de  $\text{BF}_3$ . Inicialmente o  $\text{BF}_3$  se complexa ao oxigênio levando a formação de um intermediário contendo um ion carbônio, que através do rearranjo de H leva a formação da cetona 114. Também pode se formar a cetona por aquecimento do epóxido /60/.

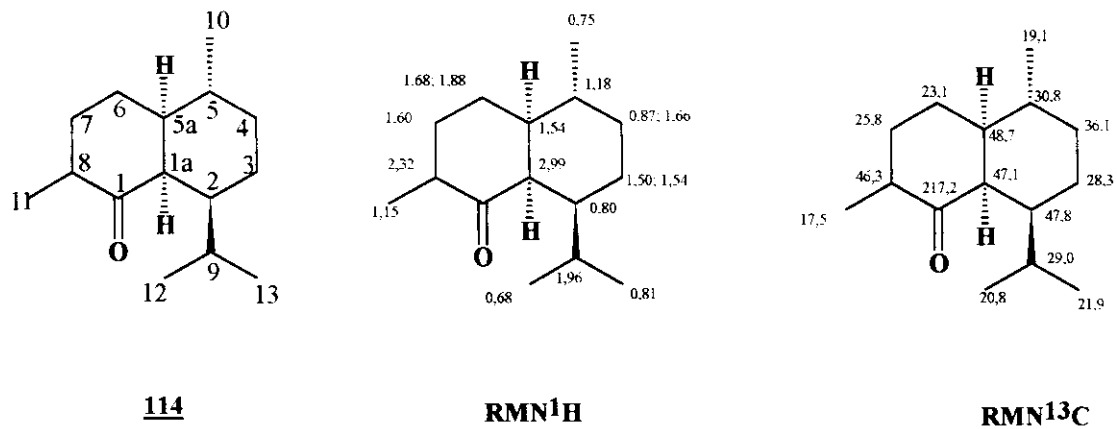


**Esquema 12:** Formação do composto 114

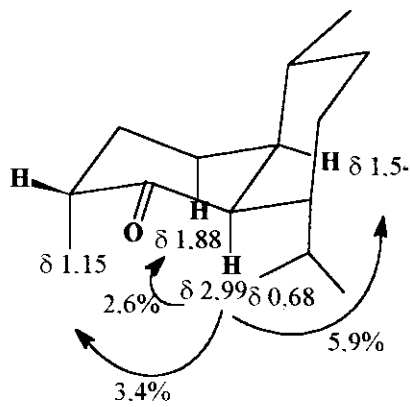
O rearranjo do epóxido à cetona 114 foi confirmado pelo espectro de RMN<sup>13</sup>C onde observou-se o aparecimento de um sinal em 217,2 ppm característico do átomo de carbono da carbonila. A metila do C<sub>8</sub> em  $\delta$  17,5 ppm sofreu uma proteção em relação a mesma metila do epóxido que aparecia em  $\delta$  23,6 ppm. A fim de confirmar a configuração relativa da cetona 114 formada tentamos determinar as constantes de acoplamento entre os átomos de hidrogênio H<sub>8</sub> e H<sub>7a</sub>, H<sub>7e</sub>, esta tentativa foi malograda pois este sistema de três spins (visualizado ao irradiar o hidrogênio da metila em 1,15 ppm) apresentou-se como um duplo díbleto com distorções de segunda ordem. A configuração relativa da metila C<sub>8</sub> foi possível de ser determinada através do experimento de diferença de NOE no qual irradiou-se o hidrogênio em 2,99 ppm observando-se um aumento de 3,4% da intensidade do sinal correspondente aos átomos de hidrogênios da metila C<sub>11</sub> ( 1,15 ppm) como também em 5,9% (1,54 ppm) o átomo de hidrogênio H<sub>5a</sub>, em 2,6% ( 1,88 ppm) a intensidade do átomo de hidrogênio H<sub>6</sub> confirmando deste modo que o grupo metila em 17,5 ppm encontrava-se na posição axial

**Tabela 12 :** Dados espectroscópicos do composto **114**

#C	$\delta$ <sup>13</sup> C(ppm)	$\delta$ <sup>1</sup> H(ppm)	J(Hz)	COLOC
1	217.2	-	-	-
1a	47.1	2.99	dd, J(1a,5a)=J(1a,2)≥4	-
2	47.8	0.80	dddd J(2,1a)=J(2,3)≥4; J(2,9)=11	47.8/0.68 (C <sub>2</sub> /H <sub>12</sub> ) 47.8/0.81 (C <sub>2</sub> /H <sub>13</sub> )
3	28.3	1,50 e 1.54	-	28.3/1.54 (C <sub>3</sub> /H <sub>3</sub> ) 28.3/1.50 (C <sub>3</sub> /H <sub>3</sub> )
4	36.1	0.87 e 1.66	-	36.1/0.87 (C <sub>4</sub> /H <sub>4</sub> ) 36.1/1.66 (C <sub>4</sub> /H <sub>4</sub> )
5	30.8	1.18	-	30.8/0.75 (C <sub>5</sub> /H <sub>10</sub> )
5a	48.7	1.54	dddd, J(5a,1a)=J(5a,5)=J(5a,6)=4	48.7/1.54 (C <sub>5a</sub> /H <sub>5a</sub> =)
6	23.1	1.68 e 1.88	-	23.1/1.68 (C <sub>6</sub> /H <sub>6</sub> ) 23.1/1.88 (C <sub>6</sub> /H <sub>6</sub> )
7	25.8	1.60		25.8/1.60 (C <sub>7</sub> /H <sub>7</sub> )
8	46.3	2.32	J(8,11)≥7; J(8,7 <sub>a</sub> )=J(8,7 <sub>c</sub> ) ≥3	46.3/1.15 (C <sub>8</sub> /H <sub>11</sub> )
9	29.0	1.96	J(9,2)≥11; J(9,13) ≥J(9,12) ≥3	29.0/1.96 (C <sub>9</sub> /H <sub>9</sub> ) 29.0/0.81 (C <sub>9</sub> /H <sub>13</sub> ) 29.0/0.68 (C <sub>9</sub> /H <sub>12</sub> )
10	19.1	0.75	d, J(10,5) ≥7	19.1/0.75 (C <sub>10</sub> /H <sub>10</sub> )
11	17.5	1.15	d J(11,8) ≥7	17.5/2.32 (C <sub>11</sub> /H <sub>8</sub> ) 17.5/1.15 (C <sub>11</sub> /H <sub>11</sub> )
12	20.8	0.68	d, J(12,9) ≥7	20.8/0.68 (C <sub>12</sub> /H <sub>12</sub> ) 20.8/1.96 (C <sub>12</sub> /H <sub>9</sub> ) 20.8/0.81 (C <sub>12</sub> /H <sub>13</sub> )
13	21.9	0.81	J(13,9) ≥7	21.9/0.81 (C <sub>13</sub> /H <sub>13</sub> ) 21.9/0.68 (C <sub>13</sub> /H <sub>12</sub> ) 21.9/1.96 (C <sub>13</sub> /H <sub>9</sub> )



**Figura 29:** Atribuição por RMN<sup>1</sup>H e <sup>13</sup>C do composto **114**

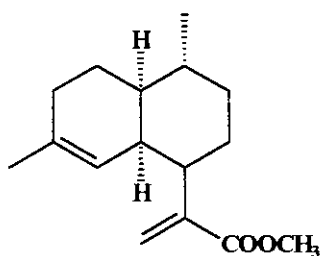


**Figura 30:** Átomos de hidrogênio que apresentaram alteração na intensidade do sinal ao irradiar o H<sub>1a</sub>

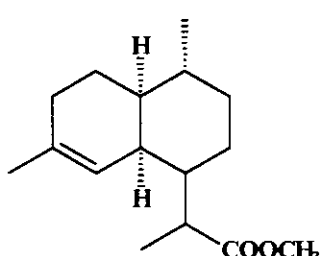
### II.3. Co-injeção dos padrões 112, 113, 114, 115, 116 e 117

Os padrões uma vez preparados foram injetados no GC/MS (HP 5890/HP 5970) para determinarmos o seu comportamento cromatográfico (Programação I). Constatou-se que na região do cromatograma correspondente aos padrões não havia nenhum pico com espectro de massas semelhante aos dos padrões 112, 113, 114 e 117 ou esqueletos análogos. Uma análise do cromatograma do óleo essencial tratado com diazometano permitiu detectar, por

comparação com os padrões, a presença dos compostos 115 e 116. Concluímos portanto que o óleo essencial continha tanto o ácido artemisinínico 30 como também sua forma reduzida 31. Estes compostos foram co-injetados numa amostra de óleo essencial sem tratamento de diazometano permitindo determinar seus índices de retenção (31 foi gentilmente cedido por Noronha /61/). Foram detectados assim os diastereoisômeros R e S com índices de retenção 2025,99 e 2059,91. Estes diastereoisômeros foram determinados numa proporção de 5:1 respectivamente. sem ter determinado qual isômero elui primeiro na coluna.

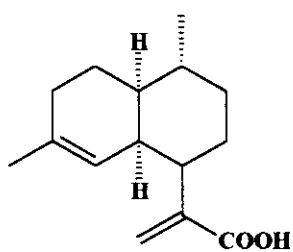


115

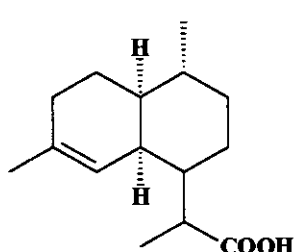


116

**Figura 31:** Composto 115 e 116

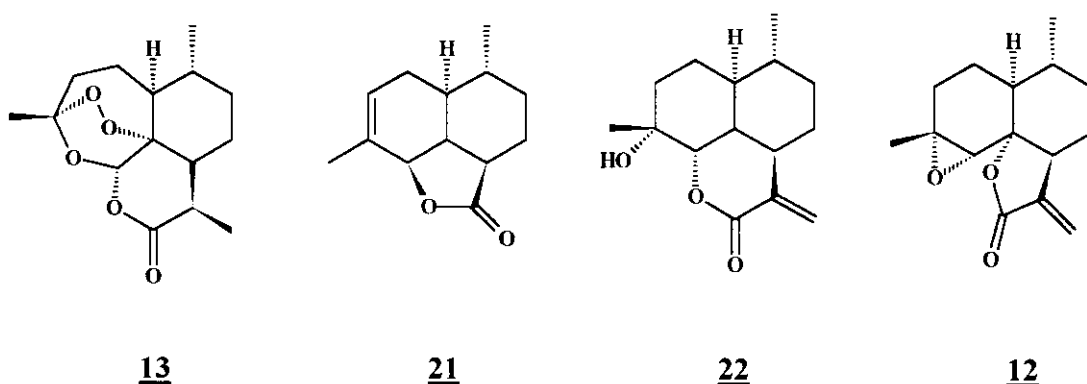


30



31

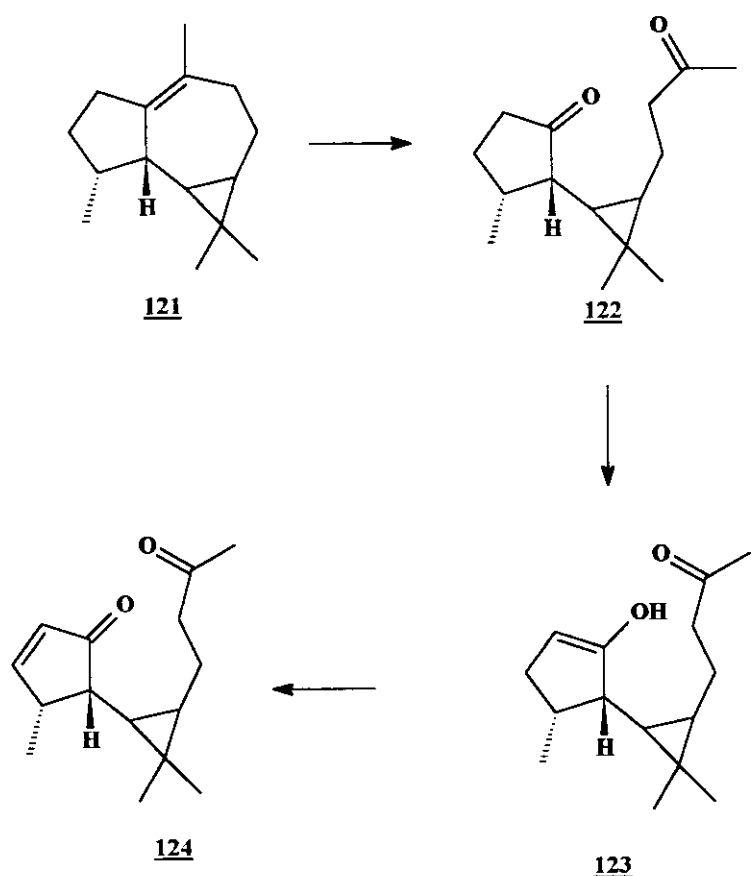
**Figura 32:** Composto 30 e 31



**Figura 33:** Compostos 13, 21, 22 e 12

Os compostos com índices de retenção 1956,7; 1957,0; 2239,3 e 2396,8 apresentaram perfis análogos aos compostos 13, 21, 12 e 22 respectivamente. A co-injeção destes no óleo essencial permitiu confirmar a presença deles. Como estes compostos fazem parte dos constituintes fixos da planta constatamos que a hidrodestilação arrasta traços destes componentes.

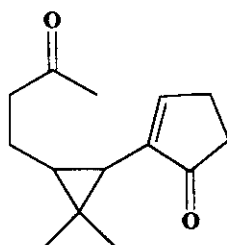
A análise dos resultados obtidos com os padrões 112, 113, 114, 115, 116 e 117 levou-nos a considerar que o sistema enzimático da *Artemisia annua* L. não leva à formação preferencial de sesquiterpenos na forma de álcoois e sim a componentes oxidados resultantes de clivagens oxidativas das duplas ligações, fato não muito comum. Uma evidência disto é a própria formação da artemisinina 13 /33-35/. Por analogia com o processo de biossíntese da artemisinina 13, imaginamos que outros componentes da planta poderiam ser resultantes de clivagens oxidativas de componentes insaturados encontrados no óleo essencial, como exemplo, o ledeno 121 no qual a oxidação poderia levar à formação do produto 122, e posteriormente ao de 124. Este raciocínio nos levou a procurar no óleo esqueletos carbônicos análogos ao composto 124 (Esquema 13).



**Esquema 13:** Clivagem oxidativa do Iedeno 121

A análise da região do cromatograma de íon totais (índice de retenção de 1608 a 1972) revelou uma série de compostos com íon molecular em  $m/z$  220 e fragmentos em  $m/z$  205; 202; 187; 177; 163, 105; com pico base em  $m/z$  43.

Uma análise detalhada dos compostos com índice de retenção 1715,53 e 1732,84 demonstrou tratar-se de compostos análogos a 125.



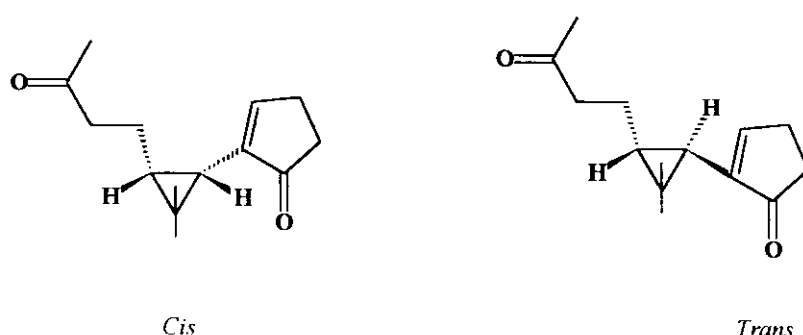
125

**Figura 34:** Composto 125

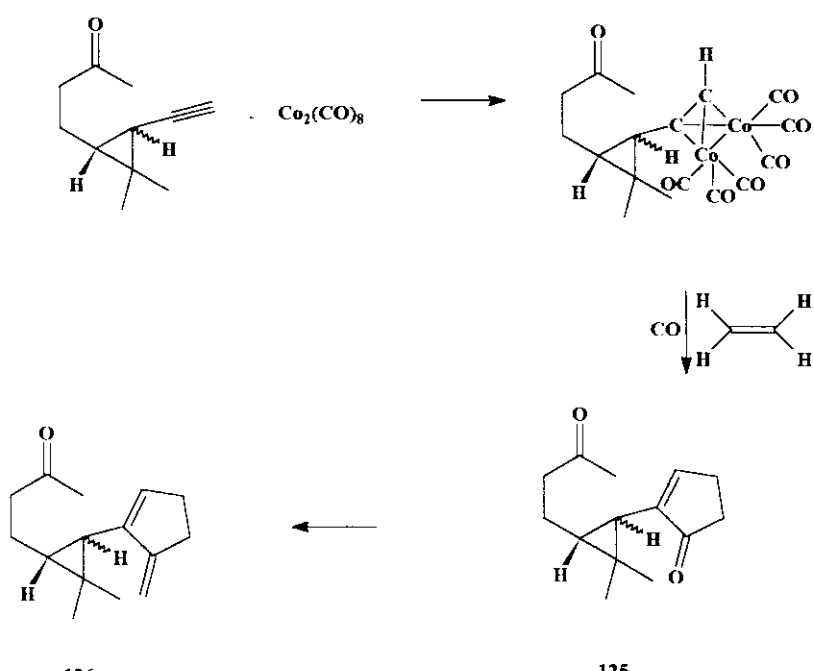
O composto 125 foi obtido através da reação intramolecular de cicloadição de Pauson-Khand /62/, onde o complexo hexacarboniladicobalto de um alcino reage com uma olefina, produzindo uma ciclização intramolecular com formação sequencial da ciclopentanonas (Esquema 19). Este padrão foi preparado e devidamente caracterizado na tese da Dra. Vera Lúcia Ferracini /62a/.

Ao co-injetar o padrão 125 no óleo essencial de *Artemisia annua* L. constatamos que ele eluía juntamente com os picos em 16,76 e 17,39 min. (Programação II). A análise dos seus espectros de massas demonstraram serem praticamente idênticos com pequenas diferenças que poderiam ser atribuídas a impurezas da linha de base (Figura 35).

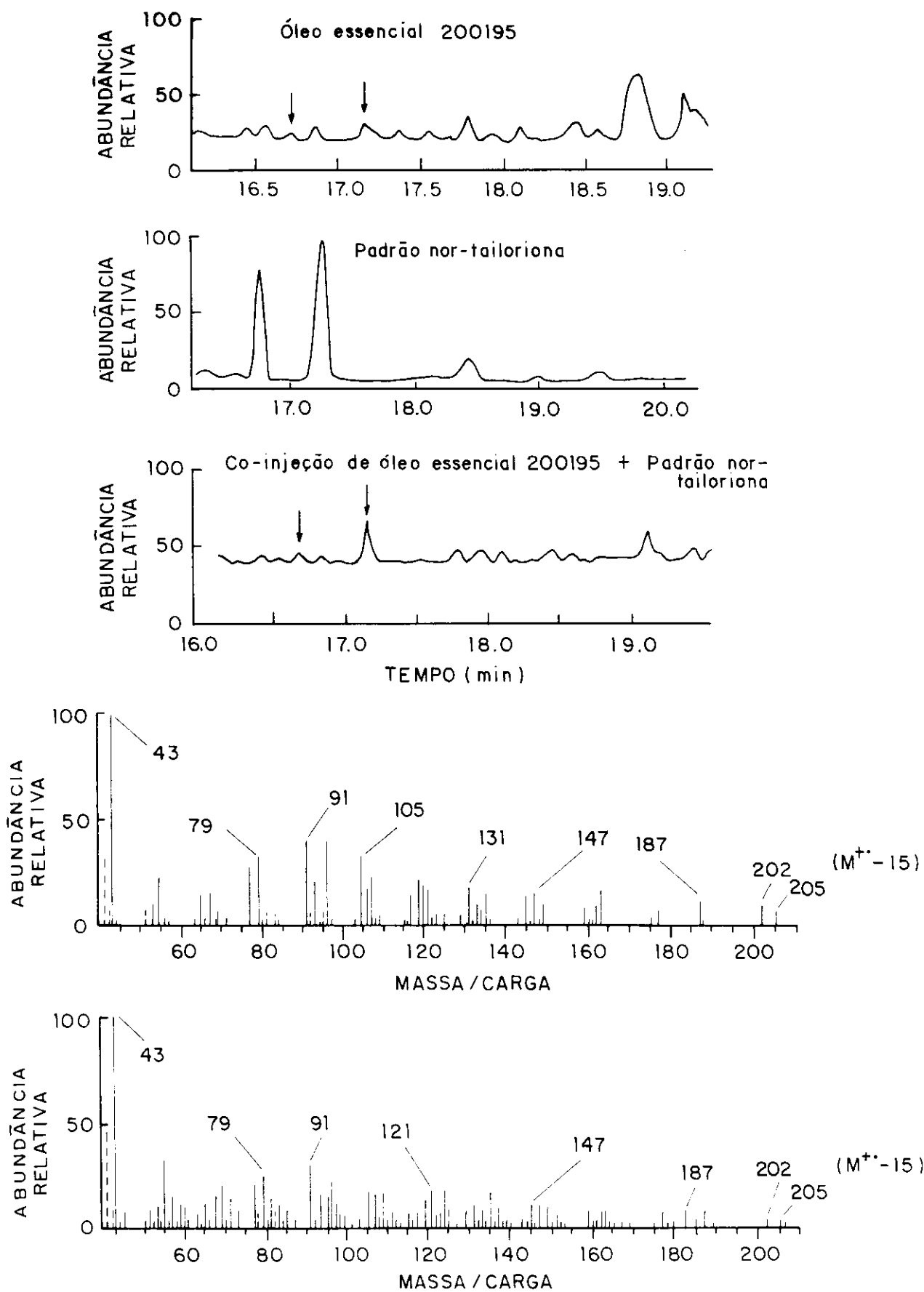
A partir destes dados sugerimos que o composto em questão tratava-se das formas *cis* e *trans* do composto 125.



**Figura 36:** Formas *cis* e *trans* do composto 125



**Esquema 14:** Transformações para obtenção da tailorina 126



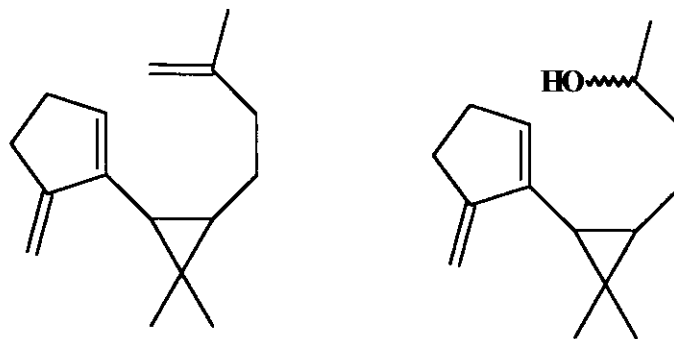
**Figura 35:** Cromatograma do óleo essencial, padrão 125 e co-injeção de 125 os respectivos espectros de massas para os tempos de retenção 16,76 e 17,39 min.

Uma pesquisa no Chemical Abstract , até o presente momento, revelou que o composto 125 ainda não foi descrito na literatura sendo, portanto inédito com a revelação de um novo esqueleto carbônico.

Foram analisados os espectros de massa dos componentes com índice de retenção próximos ao composto 125. O composto com índice de retenção 1691,74 apresentou uma fragmentação em m/z 216(75%); 201 (42%); 173 (76%); 145 (83%); 135 (61%); 105 (100%); 41 (100%). Por comparação com dados de fragmentação encontrados na literatura sugerimos que poderia tratar-se do composto 127 /55/.

Também foi observado um composto com índice de retenção 1809,42 que apresentou uma fragmentação com padrão análogo ao do composto 125. Este por sua vez apresentou um íon molecular em m/z 220 (7%) e fragmentos em m/z 202 (3%); 177 (5%); 162 (12%); 147 (15%); 105 (100%); 91 (68%); 55 (34%) e em m/z 43 (100%). Por comparação com compostos análogos encontrados na literatura sugerimos que pudesse tratar-se do composto 128.

Como não tínhamos estes padrões para fazer as co-injeções não foi possível confirmar a presença deles no óleo essencial. Oportunamente estes compostos poderão ser preparados podendo assim confirmar estas estruturas no óleo essencial.



127

128

### III.4. Comportamento Sazonal

O estudo sazonal da *Artemisia annua* L. foi realizado durante um ciclo completo da planta que neste experimento compreendeu cinco meses após o transplante das mudas para o campo experimental do CPQBA-UNICAMP. Foram feitas coleta semanais (dia e horário fixos) de amostras das plantas. O óleo essencial foi obtido por hidrodestilação da planta fresca. A cada amostragem foi determinado o teor de óleo essencial, teor de artemisinina e a razão monoterpenos/sesquiterpenos (chamado % de terpenos, Tabela 13).

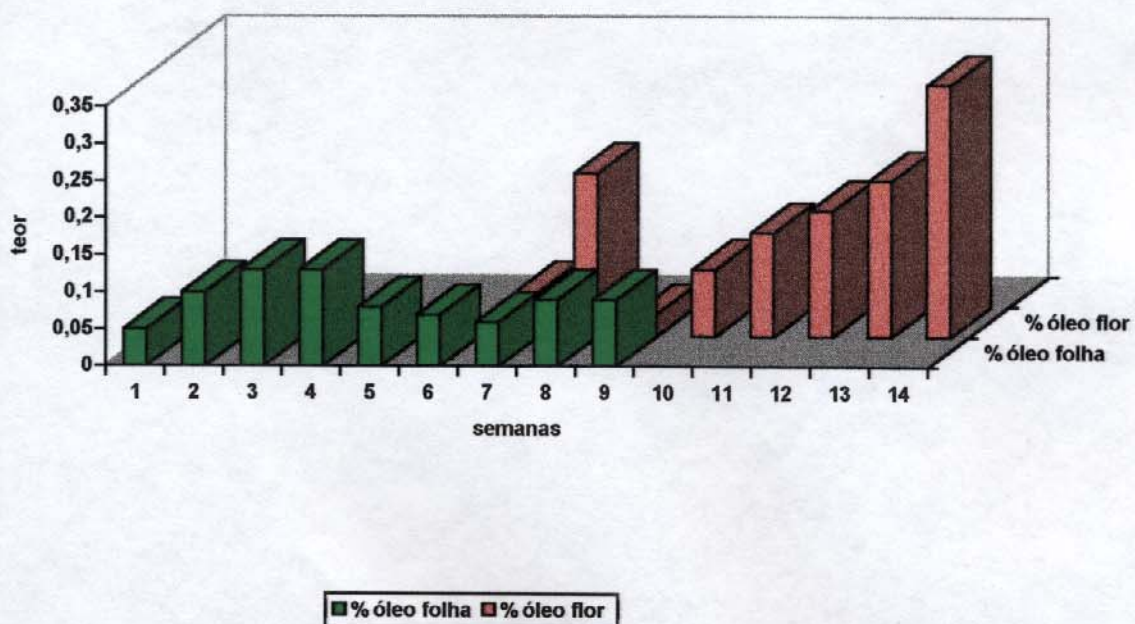
**Tabela 13:** Comportamento sazonal da *Artemisia annua* L. cultivada no Brasil

Semana	Data	Parte planta	% óleo essencial	% artemisinina	% terpenos
1	14/10/94	folha	0,05	0,24	4,69
2	21/10/94	folha	0,10	0,16	1,22
3	28/10/94	folha	0,13	0,32	1,22
4	31/10/94	folha	0,13	0,40	2,21
5	05/11/94	folha	0,08	0,40	3,29
6	11/11/94	folha	0,07	0,39	0,96
7	25/11/94	folha	0,06	0,40	0,43
		inflorescência	0,06	0,20	4,34
8	02/12/94	folha	0,09	0,40	2,1
		inflorescência	0,22	0,20	1,37
9	09/12/94	folha	0,09	0,40	1,22
		inflorescência	0,03	0,20	0,17
10	12/12/94	inflorescência	0,09	0,08	1,72
11	20/12/94	inflorescência	0,14	0,08	2,83
12	06/01/95	inflorescência	0,17	0,03	5,12
13	20/02/95	inflorescência	0,21	0,03	5,81
14	23/02/95	inflorescência	0,34	0,02	6,15

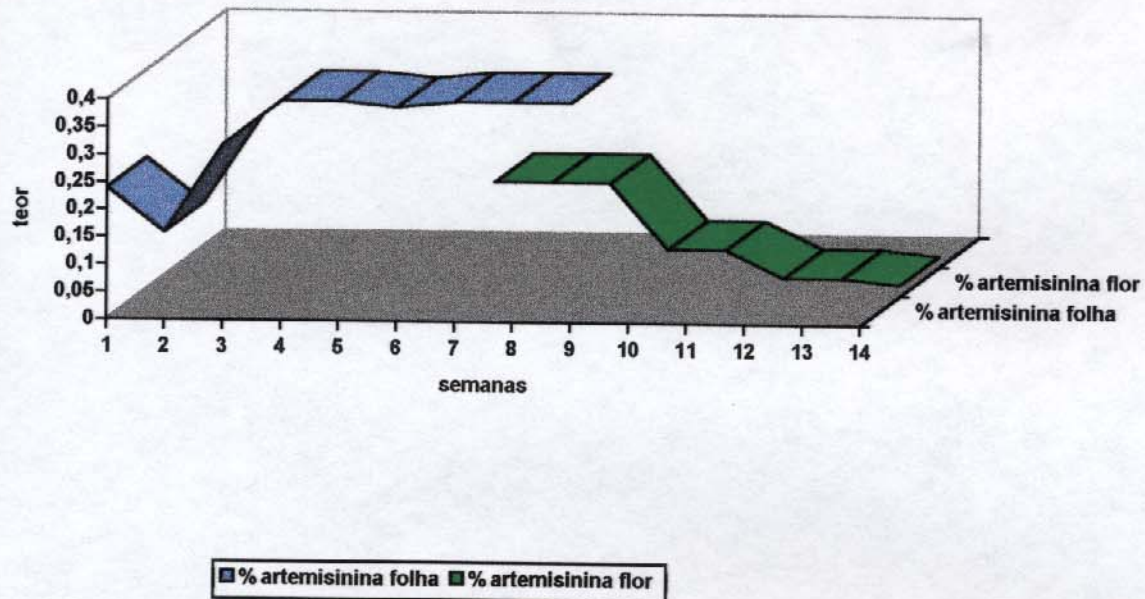
Os dados da tabela 13 foram colocados em gráficos permitindo visualizar o comportamento sazonal dos três fatores analisados: Teor do óleo na planta, teor de artemisinina e teor da razão monoterpenos/sesquiterpenos (Figuras 37, 38, 39).

A partir da Figura 37 observamos que o teor máximo de óleo essencial na planta foi alcançado na 8<sup>a</sup> semana (0,22%) e na 14<sup>a</sup> semana (0,34%) provenientes das inflorescências. A diferença que se constatou nestes óleos é a qualidade dos mesmos. Enquanto no óleo essencial obtido na 8<sup>a</sup> semana se observou uma razão monoterpenos/sesquiterpenos baixa

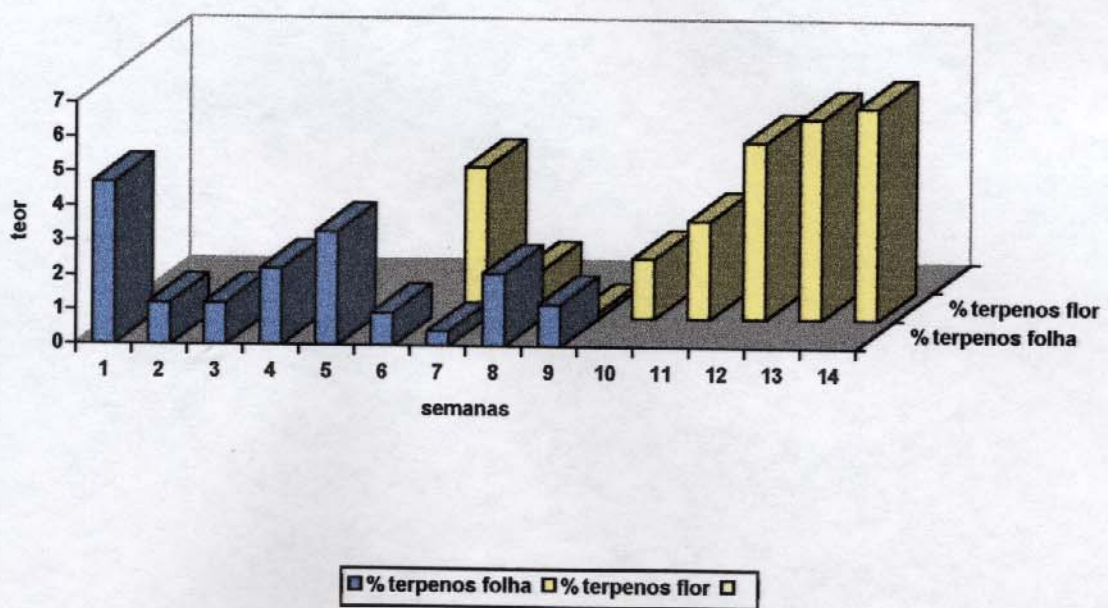
(1,37) na 14<sup>a</sup> semana obtivemos um valor maior para esta razão (6,15; Figura 39). O aroma do óleo com uma razão mono/sesquiterpênica alta apresenta um buquê muito agradável pois é rico em compostos monoterpênicos. Já o outro óleo apresentou uma razão terpênica baixa indicando que predominam os sesquiterpenos levando a características aromáticas distintas. Portanto constatamos que ao decorrer do ciclo da planta a qualidade, como também o teor do óleo essencial tem um comportamento cíclico que varia de 0,01% a 0,13% na folha e até 0,34% na inflorescência (figura 37). Nas folhas a produção de artemisinina cresceu até atingir um teor máximo (0,4%). Ao ocorrer o florescimento da planta observou-se que a produção do óleo aumentou linearmente em detrimento do teor de artemisinina 13 (figura 40).



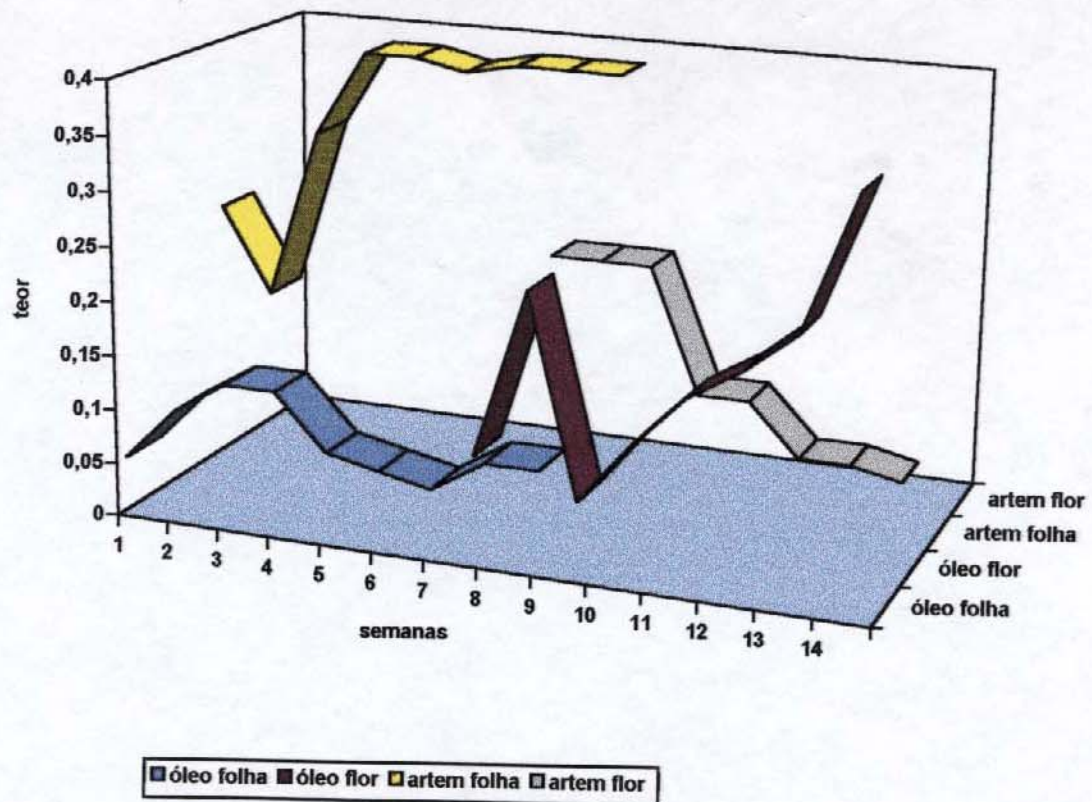
**Figura 37:** Comportamento sazonal do óleo essencial de *Artemisia annua* L. cultivada no Brasil



**Figura 38:** Variação sazonal da artemisinina 13



**Figura 39:** Variação sazonal da relação de terpenos



**Figura 40:** Comportamento sazonal de *Artemisia annua* L. cultivada no Brasil

Este estudo revelou que o perfil cromatográfico do óleo essencial da *Artemisia annua* L. adaptada ao clima do Brasil se assemelha a composição da variedade Vietnamita descrita na literatura /36/. Concomitantemente confirmamos que a melhor época de colheita de *Artemisia annua* L. para fins de produção do princípio ativo 13 é o período que antecede a floração (Figura 40). Uma vez florida, a *Artemisia annua* L. produz um óleo essencial no qual predominam os aromas de monoterpenos demonstrando que a planta tem viabilidade econômica em ambas as fases da planta.

Foram determinados no óleo essencial a presença de 49 componentes pelo uso de padrões comerciais e padrões obtidos através de transformações químicas. Detectou-se um novo esqueleto carbônico no óleo essencial que ainda não foi descrito na literatura (composto 125). Também tivemos indicação da presença de mais dois compostos (127 e 128) com este esqueleto carbônico que deverão ser confirmados oportunamente.

## *Conclusões*

Os objetivos propostos no estudo da *Artemisia annua* L. aclimatada no Brasil permitiram fornecer uma melhor compreensão do comportamento desta *Asteracea*.

A caracterização espectroscópica dos amorfanos 12, 21, 22, 30, 112, 113 e 114 contribuiu com dados para a literatura especializada, possibilitando a elucidação de novas estruturas análogas.

O estudo dos constituintes voláteis da planta permitiu determinar quarenta e nove componentes no óleo essencial. Determinou-se um componente minoritário no óleo essencial, o composto 2 - ciclopente-1-nona, 2-[2,2-dimetil-3-(3-butanona)ciclopropil)]. Este esqueleto carbônico revelou ser inédito, não tendo sido descrito anteriormente em plantas. A partir deste trabalho constatamos que a constituição dos voláteis da *Artemisia annua* L. adaptada ao clima do Brasil se assemelha àquela descrita para a variedade vietnamita.

Constatamos que a planta pode ser aproveitada tanto para produção de artemisinina 13, como para obtenção de óleo essencial com um aroma de monoterpenos. Conseguiu-se, até o momento, produzir o princípio ativo 13, num custo global de onze dólares e cinquenta centavos por grama de composto.

*Parte Experimental*

*Material e Métodos*

Utilizou-se reagentes e solventes das marcas Aldrich, Carlo Erba, Fischer, Fluka e Merck, todos P.A. Quando necessário, os solventes foram destilados e tratados segundo técnicas descritas por Perrin et al. /63/.

As cromatografias em camada delgada (CCD) foram efetuadas em sílica gel G e PF<sub>254</sub> da Merck (na proporção 1:1), sobre suporte de vidro (espessura 0,25 m) ou em cromatofolhas prontas da Merck artigo 5554. A detecção dos compostos foi feita por irradiação com lâmpada UV a 254 nm e pulverizada com solução ácido acético: ácido sulfúrico: anisaldeído (50:1:0,5) seguido de aquecimento /64/.

Nas cromatografias em camada espessa preparativa (CCEP), foram utilizadas placas de vidro 20 x 20 cm com uma camada de sílica gel PF<sub>254</sub> ou GF<sub>254</sub> (espessura 1 mm) da Merck. A detecção foi feita por irradiação com lâmpada ultravioleta a 254 nm.

As cromatografias em coluna foram realizadas em sílica gel 60 (0,06-0,02 mm) da Merck. A proporção de sílica gel utilizada foi aproximadamente 50 vezes o peso do produto bruto que foi purificado. As colunas de filtração prévias que se fizeram necessárias foram realizadas utilizando sílica precipitada (Zeozil 175 Rhodia).

Os espectros de absorção no infravermelho foram registrados em espectrofotômetro Perkin-Elmer, modelo 399B, em pastilhas de KBr para sólidos (1-2% da amostra) ou em filmes sobre cela de KBr para líquidos, utilizando como referência a absorção em 1601 cm<sup>-1</sup> de um filme de poliestireno.

O material vegetal utilizado foi seco a uma temperatura de 40°C em estufa marca Fabbe, modelo 170.

O material vegetal seco foi moido em um triturador de facas marca Stephen, modelo UM 40.

Para separar as graxas dos extratos vegetais utilizou-se uma centrífuga de baixa temperatura modelo Sorvall RC-5B da DuPont Instruments.

Os espectros de ressonância magnética nuclear de próton foram registrados em espetrômetro Varian Gemini (300 MHz) ou Brucker modelo AC 300P, utilizando-se clorofórmio deuterado como solvente, tendo como referência interna o tetrametilsilano (TMS). Os deslocamentos químicos ( $\delta$ ) são indicados em ppm, e as constantes de acoplamento ( $J$ ) em hertz (Hz).

Os espectros de ressonância magnética nuclear de carbono-treze foram registrados em espetrômetro Varian Gemini 300 (75,5 MHz) ou Brucker modelo AC 300 (75,5 MHz),

utilizando-se clorofórmio deuterado como solvente, tendo como referência interna o tetrametilsilano (TMS). Os deslocamentos químicos ( $\delta$ ) são indicados em ppm.

A interpretação dos dados de RMN<sup>13</sup>C foi realizada com ajuda da técnica DEPT 135° (Distortionless Enhancement by Polarization Transfer), onde: CH<sub>3</sub>/CH = sinal positivo (+), CH<sub>2</sub> = sinal negativo (-), C (não ligado ao H) = sinal de C<sub>quart.</sub> = sinal ausente, intensidade zero; e DEPT 90° que indicou os CH.

Os espectros de ultra-violeta (UV) foram registrados em um espectrômetro DU-70 Beckman.

As análises por GC/MS foram realizados num cromatógrafo HP 5890 com detetor de massas HP 5970. A coluna utilizada foi uma de fase ligada de 25m de comprimento x 0,2 mm de diâmetro x 0,33  $\mu$ m de espessura de marca Hp ultra-2 (5% difenilpolisiloxano e 95% dimetilpolisiloxano). Para analise dos óleos foi utilizado como gás de arraste He (1 ml/min.) com uma velocidade linear de 30 cm/s. A injeção foi da ordem de 1  $\mu$ l de solução etérea da amostra com “split ratio” de 10:1. Nas cromatografias que se utilizou detetor de ionização de chama (FID) utilizou-se como gás de arraste He, e para a queima ar sintético, H<sub>2</sub> e N<sub>2</sub>. Os programas de temperatura utilizados foram dois:

Os indices de retenção (IR) foram obtidos através da co-injeção do óleo essencial com uma mistura padrão de hidrocarbonetos C11-C30, Coluna capilar HP ultra-2 com a programação 1 descrita a seguir e aplicação da equação de Van den Dool e Kratz /54/.

$$IR = [(T_s - T_{C_{n-1}}) / (T_{C_n} - T_{C_{n-1}}) \times 100] + 100 \times C_{n-1}$$

onde:

T<sub>s</sub>: tempo de retenção da substância analisada

T<sub>C<sub>n</sub></sub>: tempo de retenção do n-alcano que elui após a substância analisada

T<sub>C<sub>n-1</sub></sub>: tempo de retenção do n-alcano que elui antes da substância analisada

C<sub>n-1</sub>: n-alcano que elui antes da substância analisada

### **Programação 1:**

- temperatura do injetor e do detetor -250°C. Forno 400°C (2 min)-2°C/min - 240°C (10 min)

## **Programação 2:**

- temperatura do injetor e do detetor -250°C. Forno 110°C (2 min) - 5°C/min - 240°C (10 min)

Para o cálculo dos índices de retenção utilizou-se como padrão uma mistura de hidrocarbonetos C<sub>9</sub>-C<sub>22</sub>, coluna HP Ultra-2 e programa de temperatura 1. Para analisar os óleos essenciais foi utilizado o Programa 1. Para analisar os produtos das reações de interconversão foi utilizado o Programa 2.

Os valores de rotação ótica  $[\alpha]_D$  foram determinados num polarímetro Polarmat A - Polarímetro Automático de Rutina Carl Zeiss com lâmpada de mercúrio com precisão de 0,05°, utilizando CHCl<sub>3</sub> como solvente.

O cálculo da rotação ótica específica em função do comprimento de onda de sódio, foi obtido segundo as relações abaixo recomendadas pelo fabricante.

$$[\alpha]^{20}_{Hg} = 1,17543 [\alpha]_{Na}$$

$$[\alpha]_D = [\alpha]_{Na} / c(g/ml) \times l(dm)$$

$$[\alpha]_D = [\alpha]^{20}_{Hg} / 1,17543 c \times l$$

onde:

$[\alpha]_D$  = rotação específica

$[\alpha]^{20}_{Hg}$  = rotação lida no aparelho

c(g/ml) = concentração da amostra

l(dm) = comprimento da cela (0,5)

Os pontos de fusão foram determinados num aparelho digital marca Eletrothermal. Os pontos de fusão não foram corrigidos.

Os solventes empregados na preparação dos extratos foram de grau técnico.

O material botânico empregado provem do campo experimental do CPQBA cultivada pela Divisão de Agrotecnologia. Foram empregadas as partes aéreas de *Artemisia annua* L. colhidas na fase que antecede a floração.

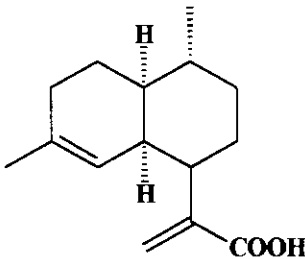
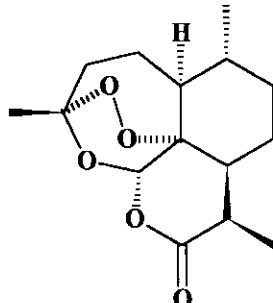
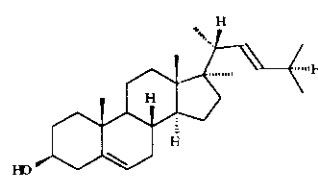
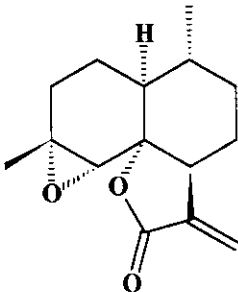
As sementes utilizadas para o cultivo da *Artemisia annua* L. utilizada na obtenção dos amorfanos foram fornecidas pelo Prof. Dr. James McChesney (Mississippi-EUA) sementes

provenientes da China. As sementes utilizadas no cultivo da *Artemisia annua* L. para utilizar no processo de otimização da extração da artemisinina 13 como no estudo sazonal do óleo essencial foram originárias de clonagens de sementes Chinesas e Vietnamitas (SI/FI e SII/FII) , as quais foram fornecidas pela MEDIPLANT (CENTRE DE RECHERCHES SUR LES PLANTES MÉDICINALES ET AROMATIQUES - Suíça) responsável pelo trabalho de melhoramento das sementes.

### **Obtenção de amorfano a partir da *Artemisia annua* L.**

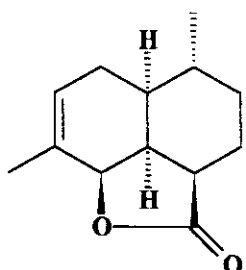
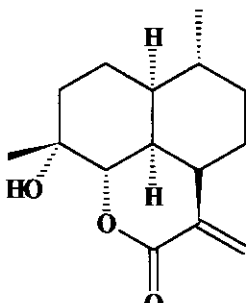
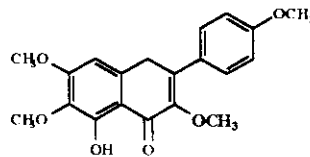
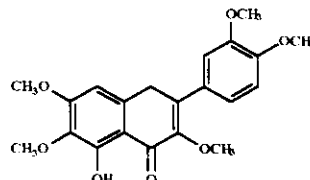
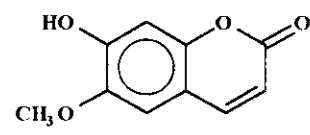
A extração da *Artemisia annua* L. foi realizada como esquematizado no fluxograma da Figura 11. Foi preparado um extrato etanólico de *Artemisia annua* L. a partir de 90 Kg de folhas secas sob maceração dinâmica com etanol 96° G.L. durante 24 horas ( foram realizadas 3 bateladas de 30 Kg cada). Obteve-se 1575L de extrato que foram concentrados sob vácuo num concentrador vertical, em vidro, tendo capacidade média sob vácuo de 20 L/h para o álcool etílico 96° G.L. resultando em 11,1 Kg de extrato seco. Fez-se uma coluna filtrante com 20 Kg de Zeozil 125 ® eluindo com hexano e depois um gradiente crescente de hexano/acetato de etila totalizando um total de 120 L de hexano e 68 L de acetato de etila. As frações hexânicas puras enriquecidas com ácido artemisinínico 30 foram separadas e processadas conforme descrito no fluxograma da Figura 11 através de uma extração básica. A artemisinina 13 saiu nas frações eluídas com hexano/acetato de etila 2% com impurezas. Esta fração foi concentrada e ressuspendida em 22,2 L de éter de petróleo faixa 40-60° onde cristalizou a artemisinina 13. A recristalização do composto 13 foi feita dissolvendo os cristais em 0,5 L de metanol resultando em 135g do produto puro. Quando verificou-se que não saia mais artemisinina 13 da coluna lavou-se a coluna com acetato de etila e concentrou-se o extrato obtendo-se 8,4 Kg de resíduo. Tomou-se 30 g deste resíduo para passar em coluna cromatográfica conforme descrito no fluxograma da Figura 11 para obtenção dos componentes utilizados neste trabalho. Para esta coluna cromatográfica utilizou-se 1,5 Kg de sílica-gel 60 (0,06 - 0,02 mm) marca Merck e eluiu-se com gradientes crescentes de hexano /acetato de etila. Deste fracionamento foram separadas 30 frações que foram agrupadas em sete frações conforme as polaridades de seus componentes e repurificadas conforme descrito na Tabela 14.

**Tabela 14:** Compostos isolados da *Artemisia annua* L. cultivada no Brasil

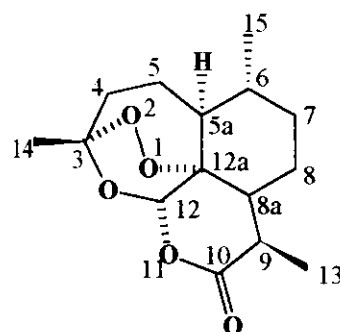
Frações	Massa (g)	Procedimento	Identificação	Composto
1-5	23,60	recristalização em 30 ml de metanol	TLC, GC/MS	 <b>30</b> (1,7g)
6-9	0,16	filtração em sílica	TLC, GC/MS RMN <sup>1</sup> H e <sup>13</sup> C, IR	 <b>13</b> (0,12g)
10-14	2,60	recristalização em metanol	TLC, IR, RMN <sup>1</sup> H	 <b>81</b> (1,9g)
15-20	0,97	recristalização em pentano	TLC, GC/MS, RMN <sup>1</sup> H e <sup>13</sup> C, IR	 <b>22</b> (0,68g)

continua

continuação Tabela 14

Frações	Massa (g)	Procedimento	Identificação	Composto
21-23	0,58	coluna cromatográfica e recristalização em metanol	TLC, GC/MS, RMN <sup>1</sup> H e <sup>13</sup> C, IR	 <b>21</b> (0,40g)
24-27	0,47	coluna cromatográfica e recristalização em pentano	TLC, GC/MS, RMN <sup>1</sup> H e <sup>13</sup> C, IR	 <b>12</b> (0,33g)
28-30	1,60	coluna cromatográfica e recristalização em pentano	TLC, IR, RMN <sup>1</sup> H	 <b>80</b> (0,36g)
				 <b>48</b> (0,35g)
				 <b>87</b> (0,19g)

**Composto 13: Artemisinina - *Qinghaosu-* octahidro-3,6,9-trimetil-[3R-(3 $\alpha$ , 5 $\alpha\beta$ , 6 $\beta$ , 8 $\alpha\beta$ , 9 $\alpha$ , 12 $\beta$ , 12 $\alpha$ R\*)]-3,2-Epoxi-12H-pirano[4,3-j]-1,2 benzodioxepin-10(3H)-ona /39/**



Rf 0,65 (eluente CHCl<sub>3</sub> / MeOH 1,5%)

IR 1956,7 (programação I)

pf. 154-155 (MeOH); lit./39/ 153-154

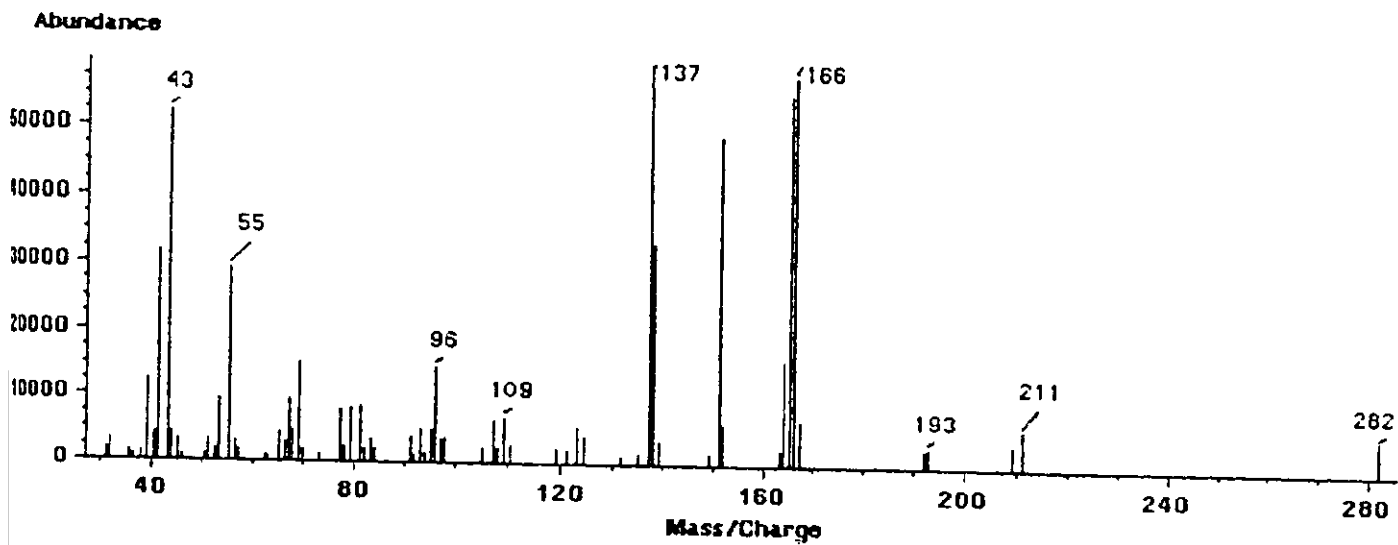
[\mathbf{\alpha}]\_D = 80,93 (c.0,025g/ml,CHCl<sub>3</sub>); lit/39/.  $\alpha^{17}$  66,3 (0,02g/ml,CHCl<sub>3</sub>)

**EM(70eV):m/z(%)** 282(M<sup>+</sup>, 10), 165(100), 152(79), 137(93), 96(24), 81(14), 69(240, 55(38), 43(69)

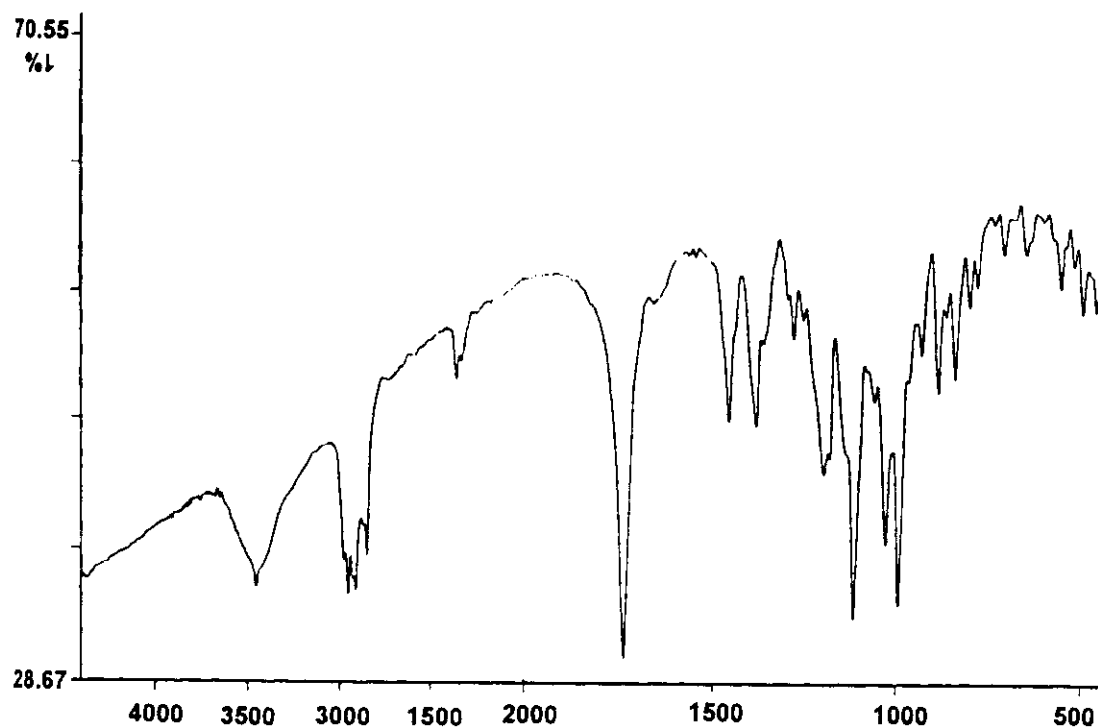
**IVTF(KBr):v(cm<sup>-1</sup>)** 1745(C=O)

**RMN<sup>1</sup>H(300MHz, CDCl<sub>3</sub>):** δ 0,99(d,H<sub>15</sub>,J=6Hz), 1,21(d,H<sub>13</sub>,J=3Hz), 1,44(s, H<sub>14</sub>), 1,42(d,H<sub>6</sub>,J=6Hz), 3,40(d, H<sub>9</sub>, J=3Hz), 1,37(m,H<sub>5a</sub>), 1,75(m,H<sub>8a</sub>), 1,87(m.H<sub>8</sub>), 1,12(m,H<sub>8</sub>), 1,08(m, H<sub>7</sub>), 1,79(m,H<sub>7</sub>), 1,47(m,H<sub>5</sub>), 2,01(m,H<sub>5</sub>), 2,05(m,H<sub>4</sub>), 2,43(m,H<sub>4</sub>), 5,87(s,H<sub>12</sub>)

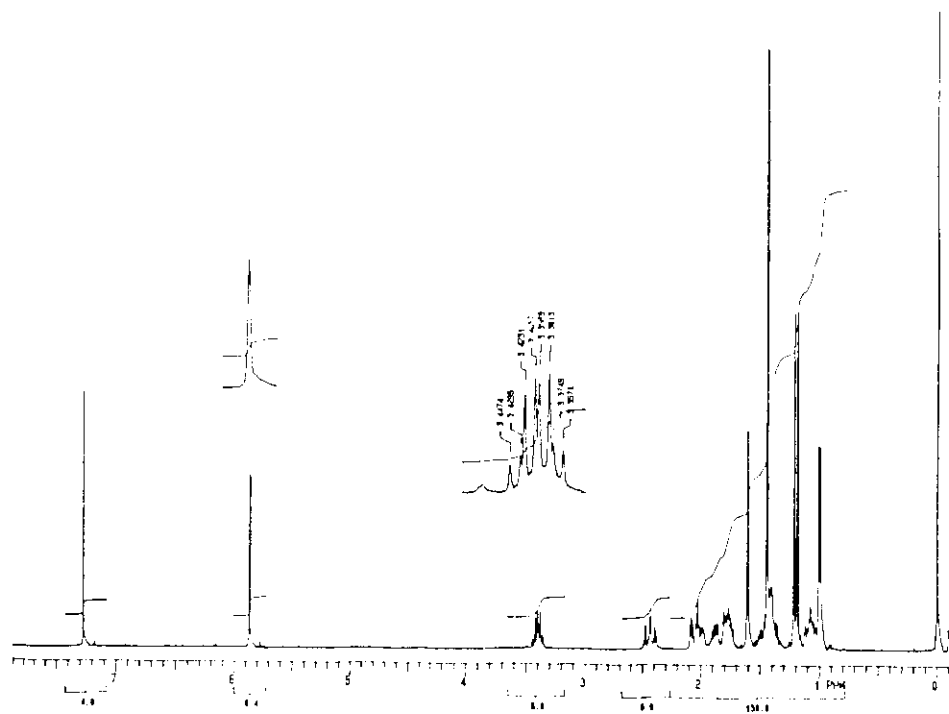
**RMN<sup>13</sup>C(75,5MHz,CDCl<sub>3</sub>):** δ12,47(C<sub>13</sub>), 19,74(C<sub>15</sub>), 23,32(C<sub>8</sub>), 24,79(C<sub>5</sub>), 25,10(C<sub>14</sub>), 32,78(C<sub>9</sub>), 33,45(C<sub>7</sub>), 35,77(C<sub>4</sub>), 37,42(C<sub>6</sub>), 44,80(C<sub>8a</sub>), 49,90(C<sub>5a</sub>), 79,38(C<sub>12a</sub>), 93,62(C<sub>12</sub>), 105,22(C<sub>3</sub>), 171,92(C<sub>10</sub>)



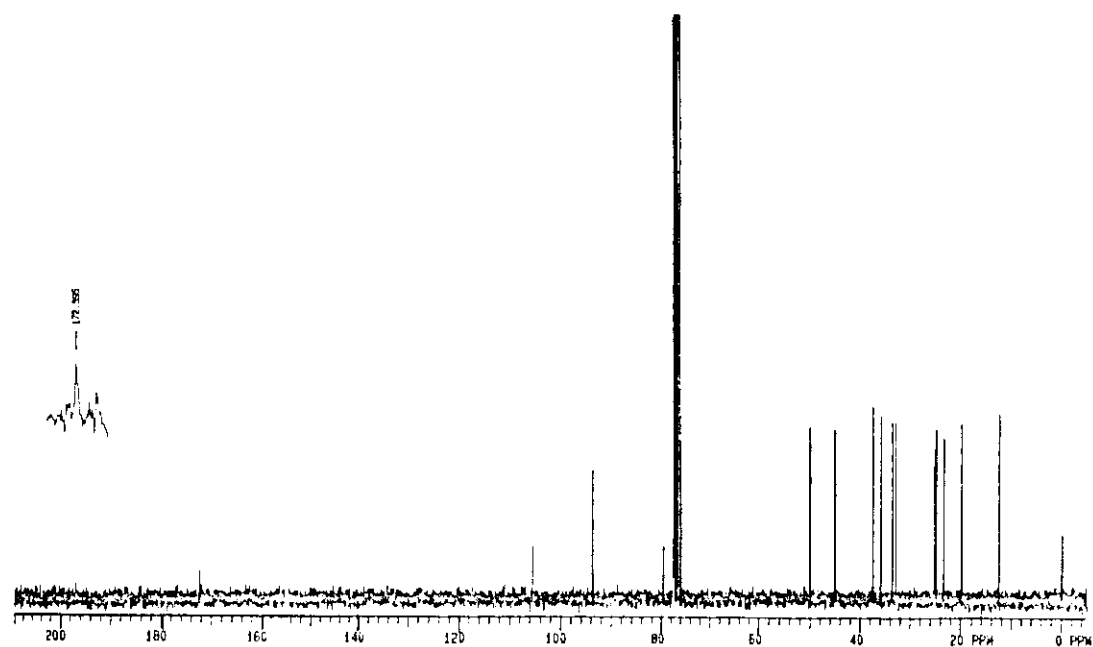
E-13.1: ESPECTRO DE MASSAS DA ARTEMISININA 13



E-13.2: ESPECTRO NO INFRA-VERMELHO DO COMPOSTO 13

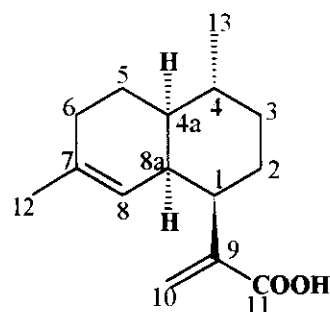


E-13.3: ESPECTRO DE RMN<sup>1</sup>H (300MHz,CDCl<sub>3</sub>) DO COMPOSTO 13



E-13.4: ESPECTRO DE RMN<sup>13</sup>C (75,5MHz,CDCl<sub>3</sub>) DO COMPOSTO 13

**Composto 30:** Ácido artemisinínico - *Qinghaosu acid*- Ácido 1,2,3,4,4a,5,6,8a- octahidro-4,7-dimetil- $\alpha$ - metileno[1R-(1 $\alpha$ ,4 $\beta$ ,4a $\beta$ ,8a $\beta$ )]-1- Naphthaleno acético /39/



pf. 129,5-130 (MeOH); lit/40/ 131

Rf 0,33 (eluente CHCl<sub>3</sub>/MeOH 1,5%)

IR 1918,6 (programação I)

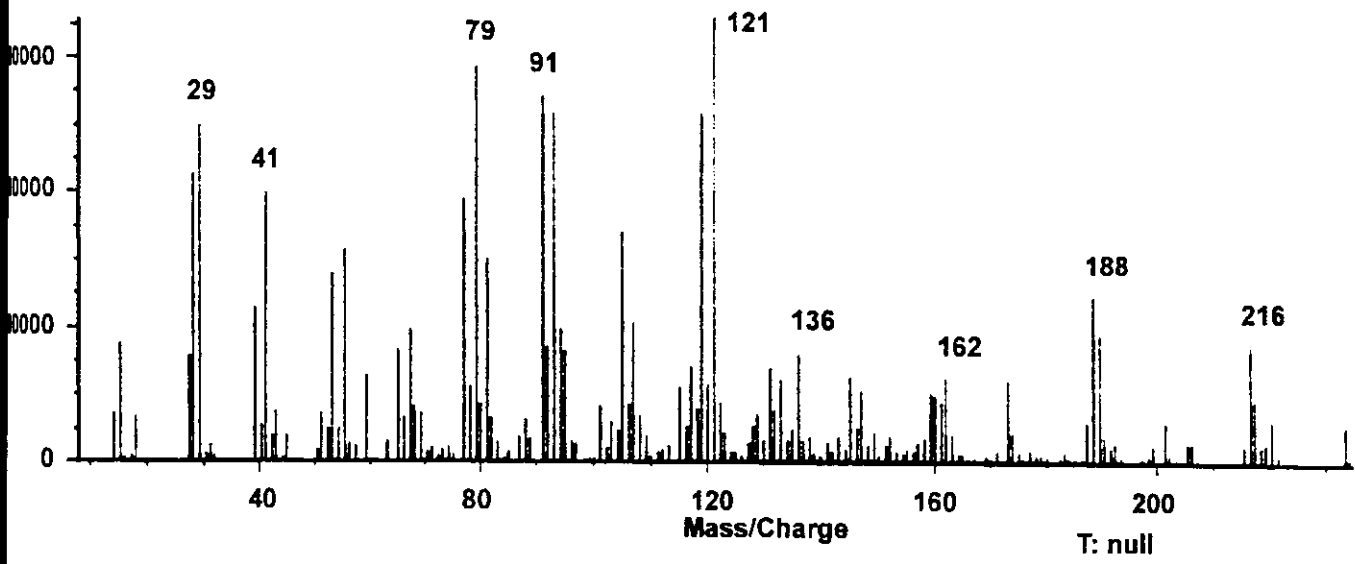
[ $\alpha$ ]<sub>D</sub> = 29,39 (c.0,052g/ml, CHCl<sub>3</sub>)

EM(70eV):m/z 234 (M<sup>+</sup>, 7), 216(21), 188(31), 162(16), 121(100), 91(79), 79(83), 41(69)

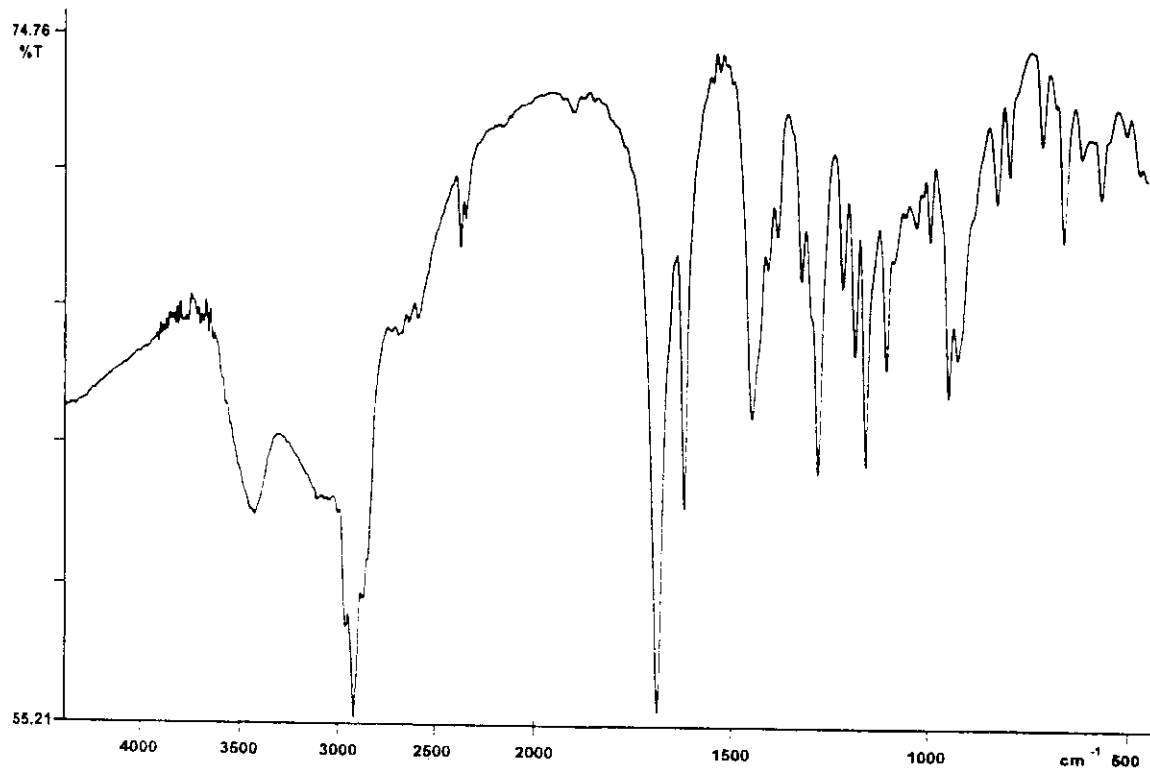
IVTF(KBr):v(cm<sup>-1</sup>) 3500(OH), 1680(C=O)

RMN<sup>1</sup>H(300MHz, CDCl<sub>3</sub>): δ 0,90(d,H<sub>13</sub>, J=6Hz), 1,59(s,H<sub>12</sub>), 1,30 e 1,45(m,H<sub>6</sub>), 1,40(m,H<sub>2</sub>), 1,55(m,H<sub>4</sub>), 1,59(s,H<sub>12</sub>), 1,87 e 1,45(m,H<sub>5</sub>), 1,70 e 1,80(m,H<sub>3</sub>, 2,60(sl,H<sub>11</sub>), 2,69(m,H<sub>1</sub>), 4,98(sl,H<sub>8</sub>), 5,56(s,H<sub>10</sub>), 6,47(s,H<sub>10</sub>)

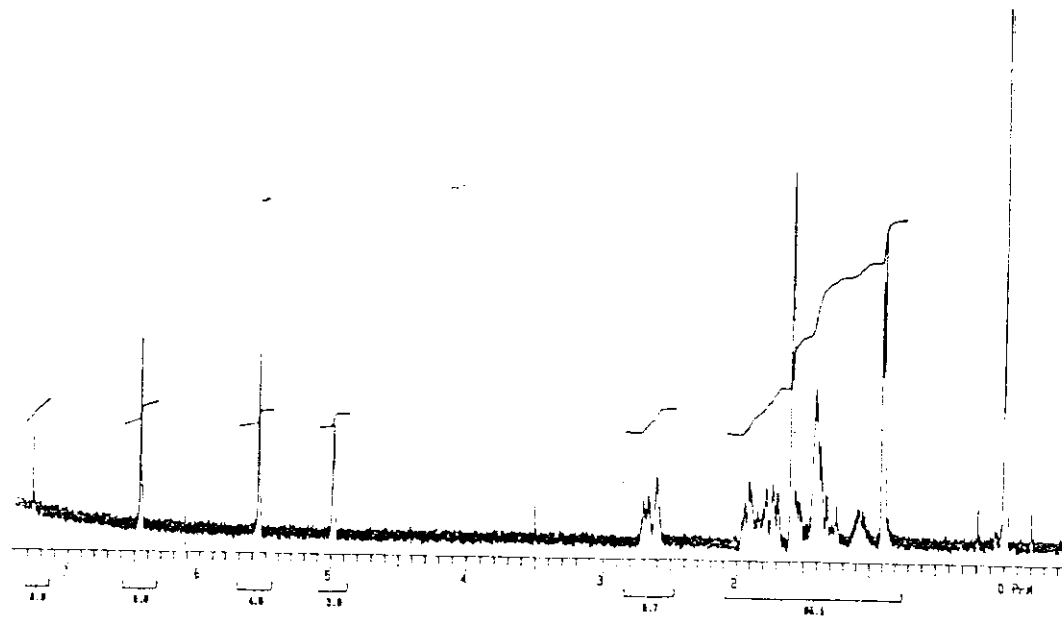
RMN<sup>13</sup>C(75,5MHz,CDCl<sub>3</sub>): δ 19,9(C<sub>13</sub>), 23,7(C<sub>12</sub>), 25,5(C<sub>5</sub>), 25,9(C<sub>2</sub>), 26,3(C<sub>6</sub>), 27,5(C<sub>4</sub>), 35,2(C<sub>3</sub>), 37,8(C<sub>8a</sub>), 41,3(C<sub>4a</sub>), 42,0(C<sub>1</sub>), 120,1(C<sub>8</sub>), 126,6(C<sub>10</sub>), 134,9(C<sub>7</sub>), 142,5(C<sub>9</sub>), 172,3(C<sub>11</sub>)



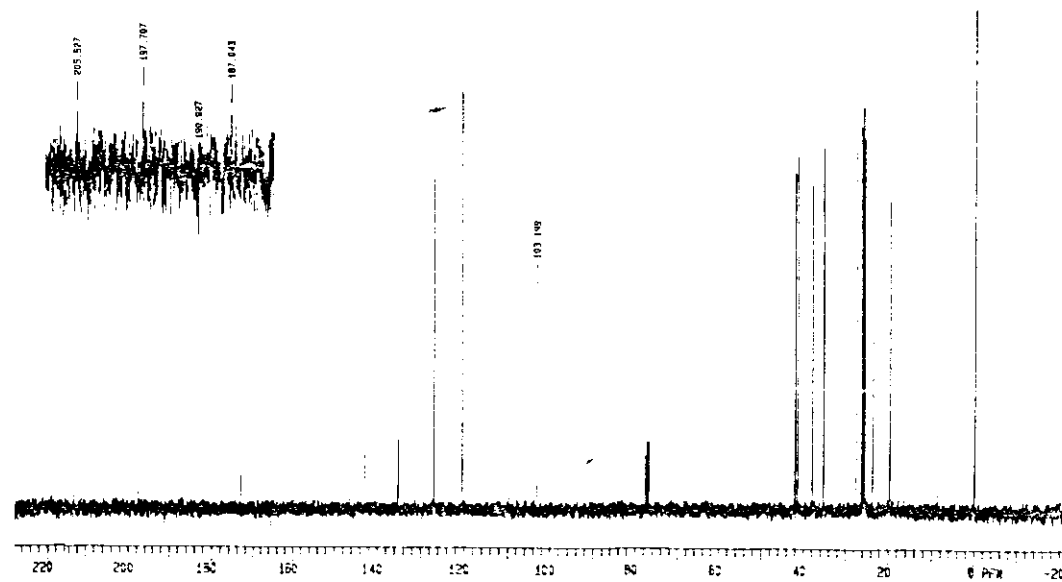
E-30.1: ESPECTRO DE MASSAS DO ÁCIDO ARTEMISINÍNICO 30



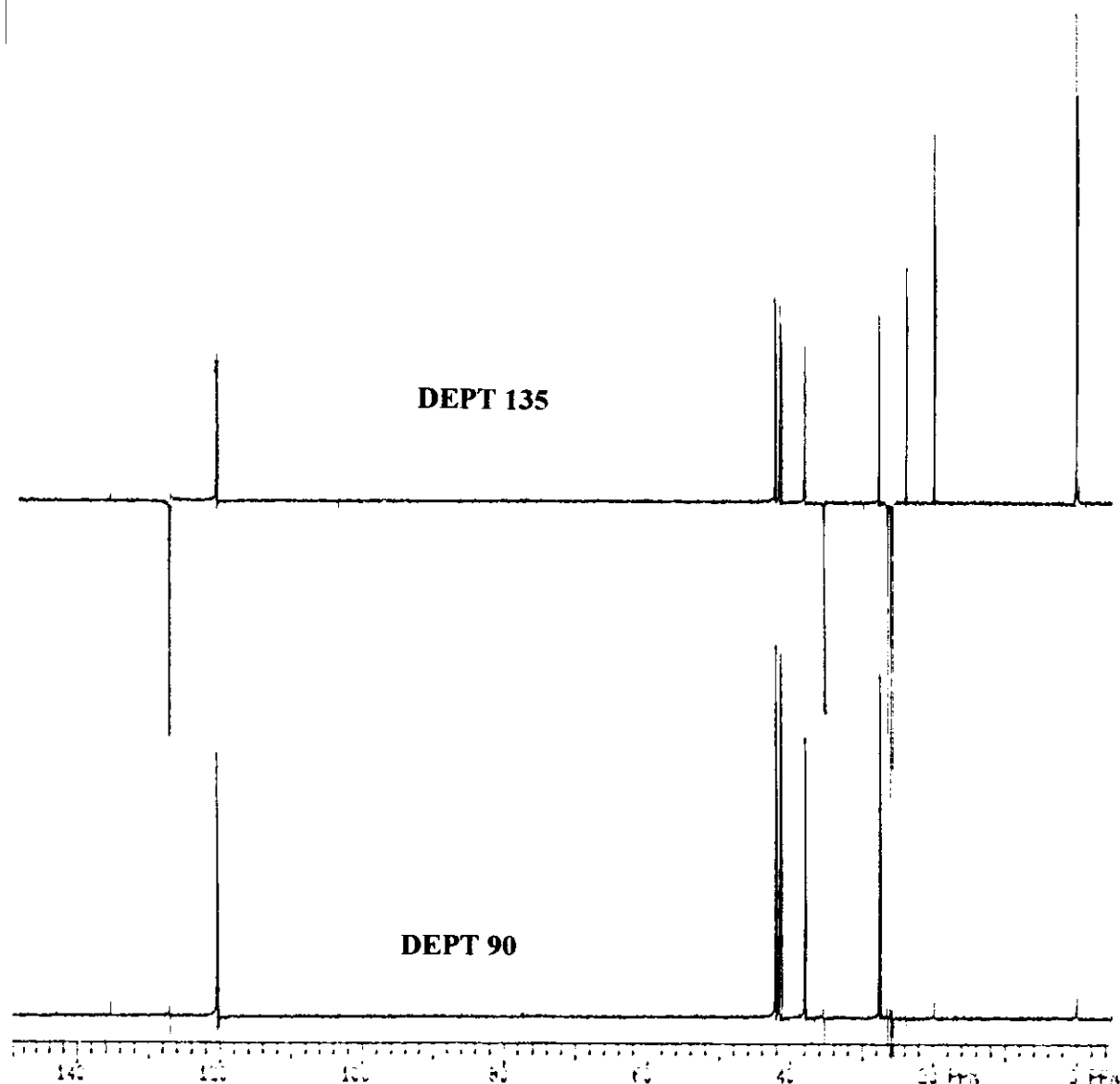
E-30.2: ESPECTRO NO INFRA-VERMELHO DO COMPOSTO 30



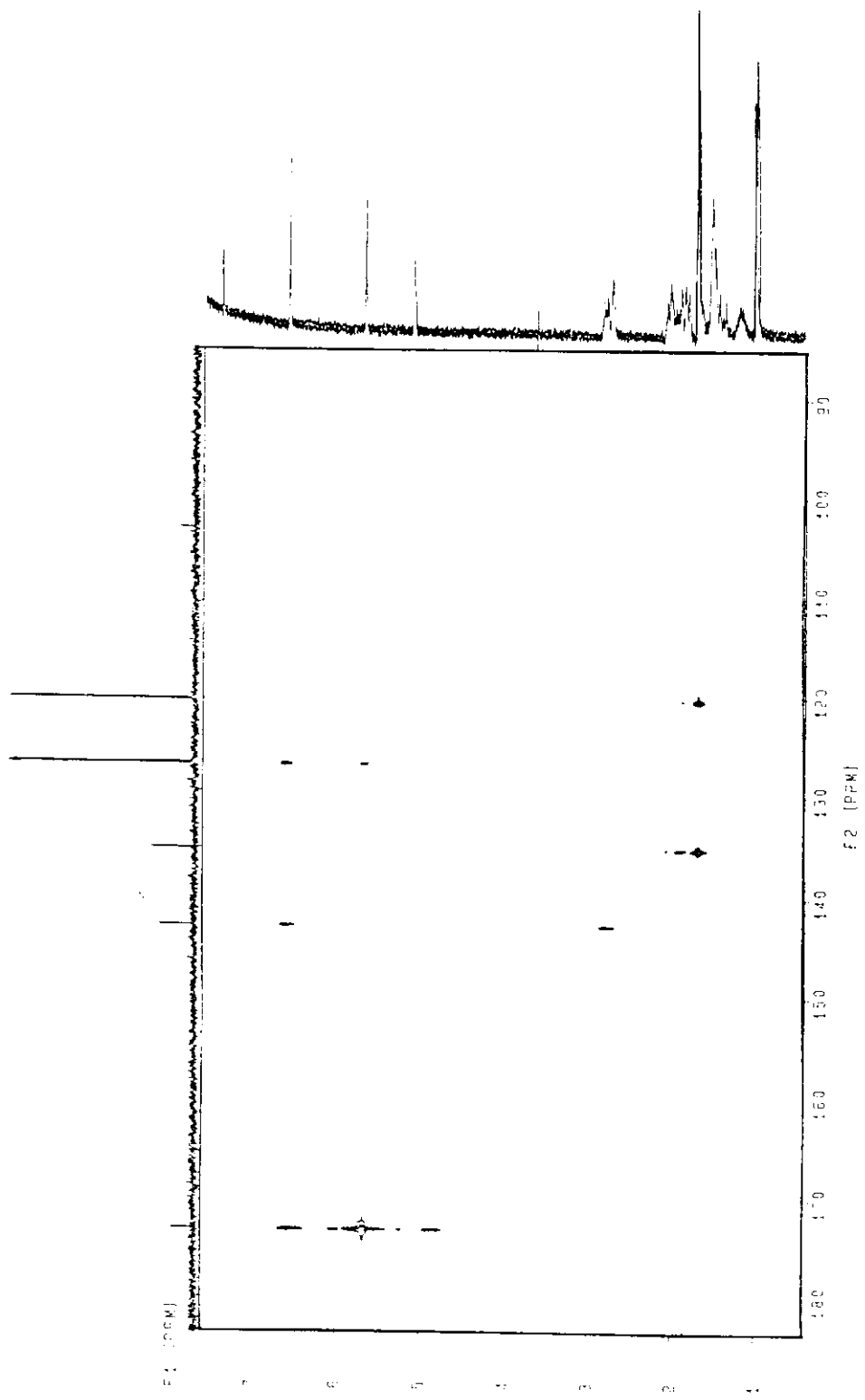
E-30.2: ESPECTRO DE RMN $^1\text{H}$ (300MHz,CDCl $_3$ ) DO COMPOSTO **30**



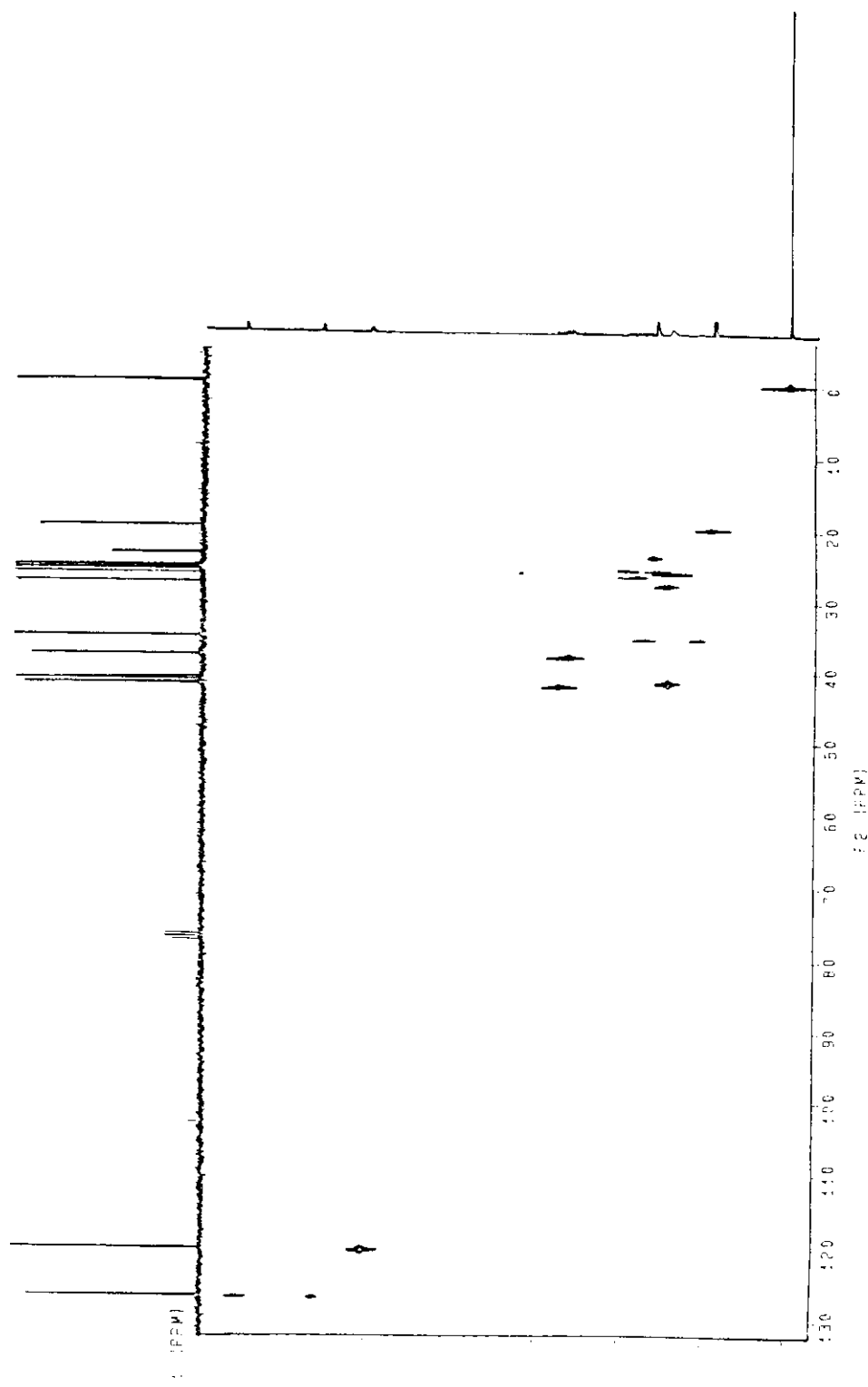
E-30.4: ESPECTRO DE RMN $^{13}\text{C}$  (75.5 MHz,CDCl $_3$ ) DO COMPOSTO **30**



E-30.5: ESPECTRO DEPT DO COMPOSTO 30

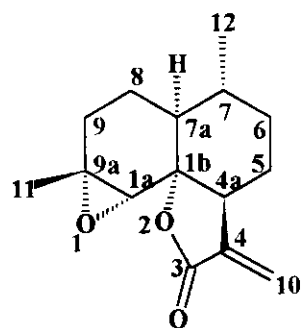


E-30.7: ESPECTRO COLOC DO COMPOSTO 30



E-30.6: ESPECTRO HETCOR DO COMPOSTO **30**

**Composto 22: Artenuína b- Quinghaosu II- decahydro-7,9a-dimethyl-4-metileno[1aR-(1 $\alpha$ ,1bR\*,4a $\beta$ ,7 $\beta$ ,7a $\beta$ ,9a $\alpha$ )] 3H- oxireno [7,8] Nafto [8a,1-b] furan-3-ona, /39/**



pf. 151-153 (pentano); lit/39/ 153

Rf 0,57 (eluente CHCl<sub>3</sub>/MeOH 1,5%)

IR 2396,8 (programação I)

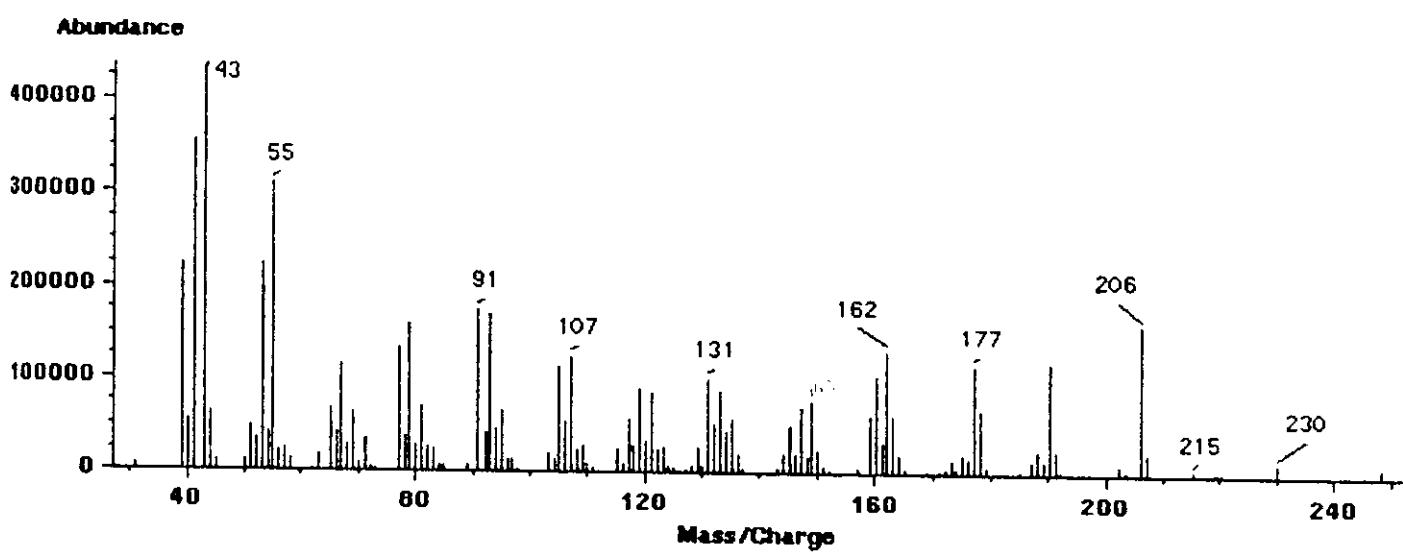
$[\alpha]_D = -73,22$  (c. 0,0056g/ml, CHCl<sub>3</sub>) lit./39/ -73,50 (c. 0,02g/ml, CHCl<sub>3</sub>)

EM(70eV):m/z(%):248 (M<sup>+</sup>, 2), 230(48), 215(17), 188(17), 162(100), 121(31), 91(48), 79(43), 41(48)

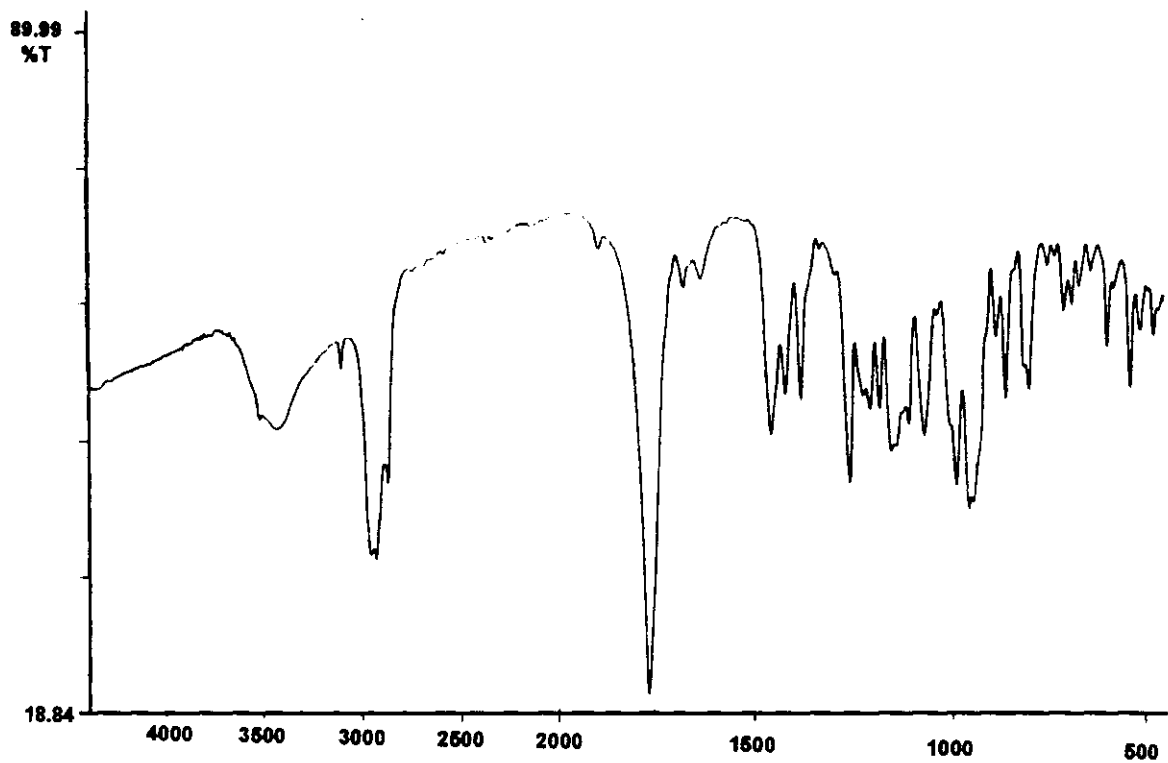
IVTF(KBr):  $\nu$ (cm<sup>-1</sup>)2830(C-H); 1770(C=O)

RMN<sup>1</sup>H(300MHz,CDCl<sub>3</sub>):  $\delta$  0,99(d, H<sub>12</sub>, J=6Hz), 1,34(s,H<sub>11</sub>), 2,68(s,H<sub>1a</sub>), 2,74(m,H<sub>4a</sub>), 5,43(d, H<sub>10</sub>, J=3Hz), 6,16(d, H<sub>10</sub>, J=3Hz), 1,48(m,H<sub>7</sub> e H<sub>7a</sub>), 1,26 e 1,90(m, H<sub>6</sub>), 1,76 e 1,93(m, H<sub>9</sub>), 1,40 e 2,06(m, H<sub>5</sub>), 1,56(m,H<sub>8</sub>)

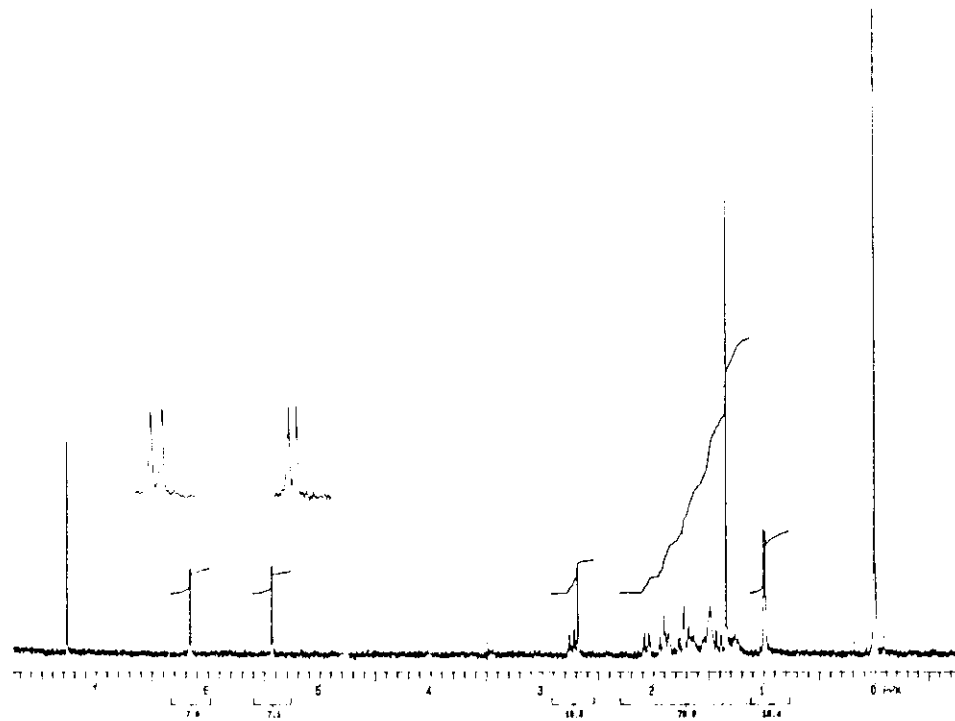
RMN<sup>13</sup>C(75,5MHz,CDCl<sub>3</sub>):  $\delta$  170,2(C<sub>3</sub>), 138,8(C<sub>4</sub>), 81,2(C<sub>1b</sub>), 58,4(C<sub>9a</sub>), 58,7(C<sub>1a</sub>), 52,8(C<sub>4a</sub>), 43,7(C<sub>7a</sub>), 30,7(C<sub>7</sub>), 117,8(C<sub>10</sub>), 33,9(C<sub>6</sub>), 24,3(C<sub>9</sub>), 21,7(C<sub>5</sub>), 16,3(C<sub>8</sub>), 22,8(C<sub>11</sub>), 18,6(C<sub>12</sub>)



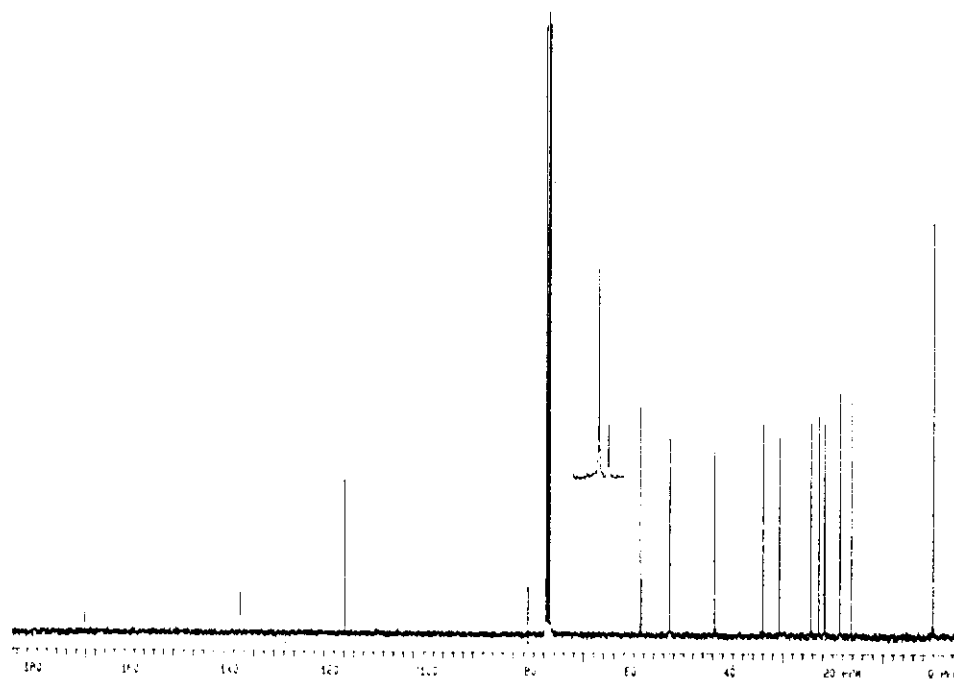
E-22.1: ESPECTRO DE MASSAS DA ARTENUINA B 22



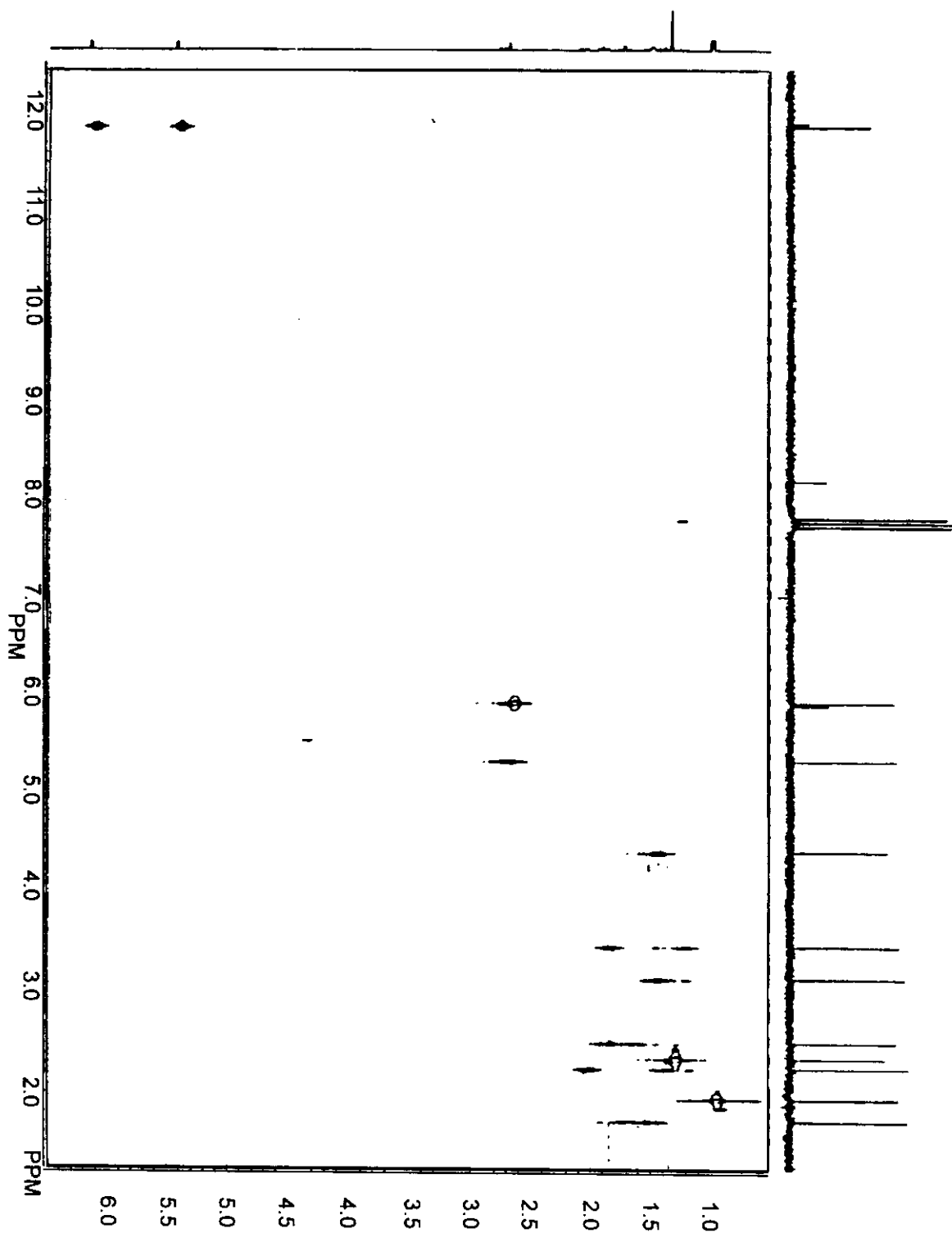
E-22.2: ESPECTRO NO INFRA-VERMELHO DO COMPOSTO 22



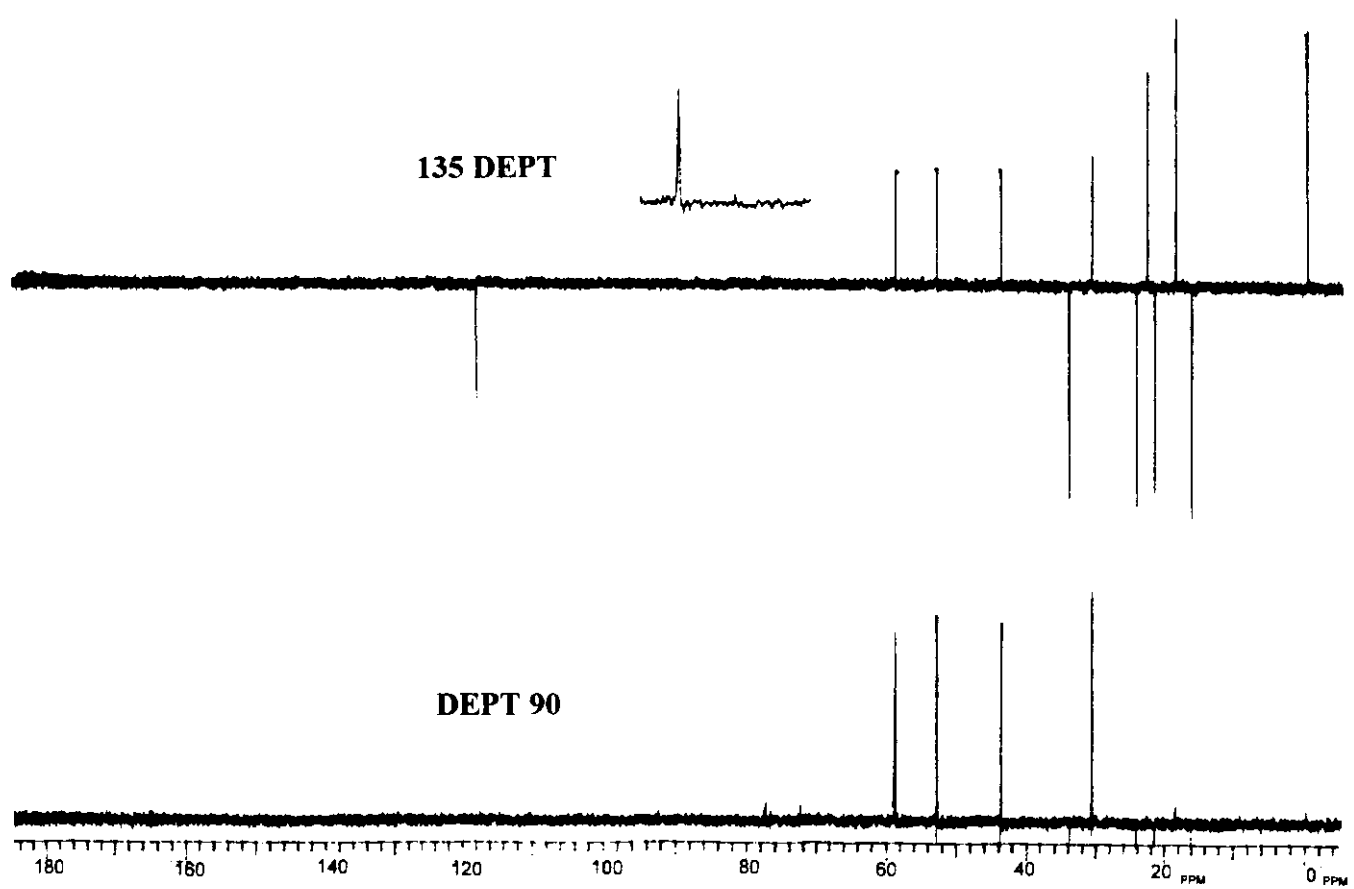
E-22.3: ESPECTRO DE RMN<sup>1</sup>H (300MHz,CDCl<sub>3</sub>) DO COMPOSTO 22



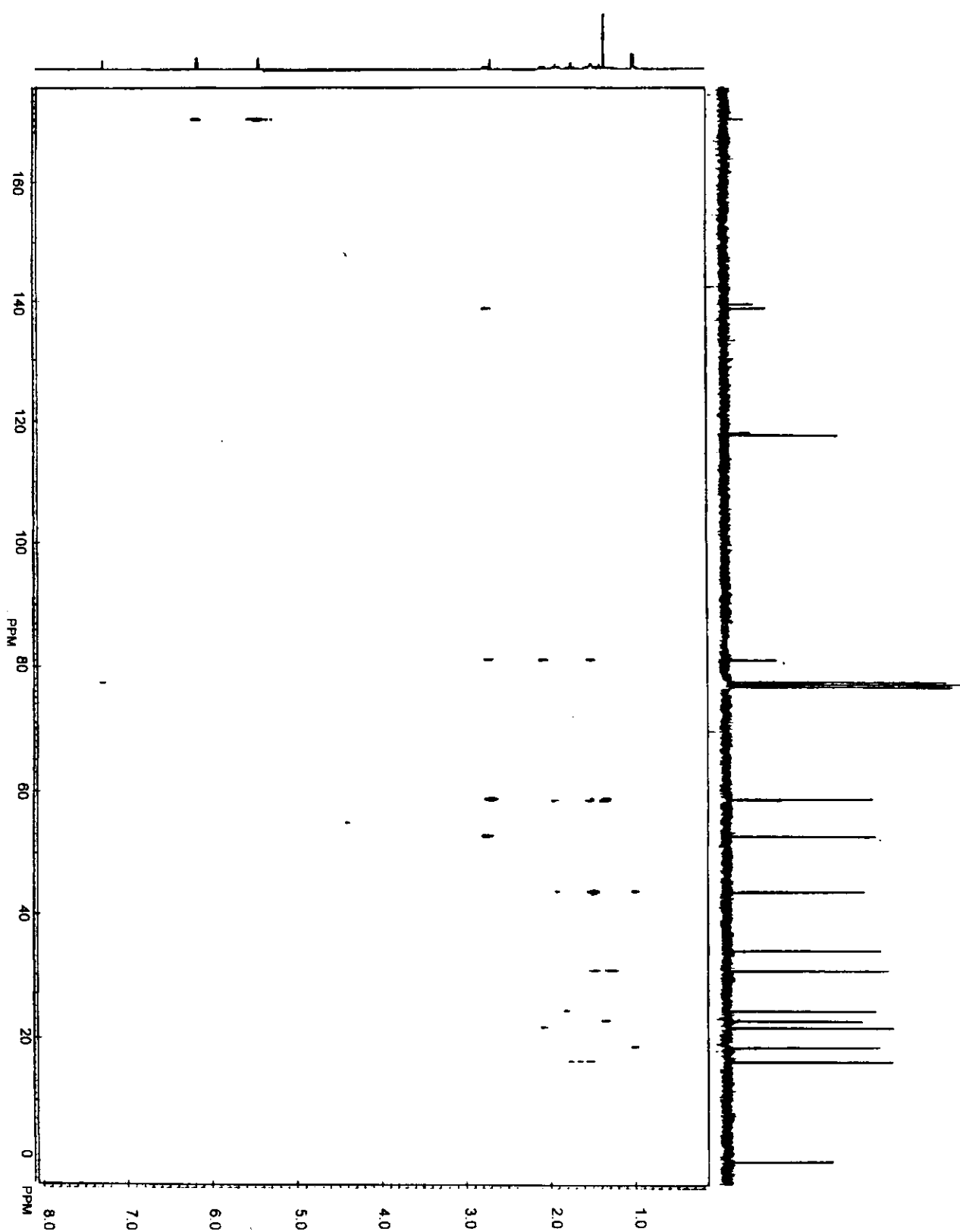
E-22.4: ESPECTRO DE RMN<sup>13</sup>C (75.5MHz,CDCl<sub>3</sub>) DO COMPOSTO 22



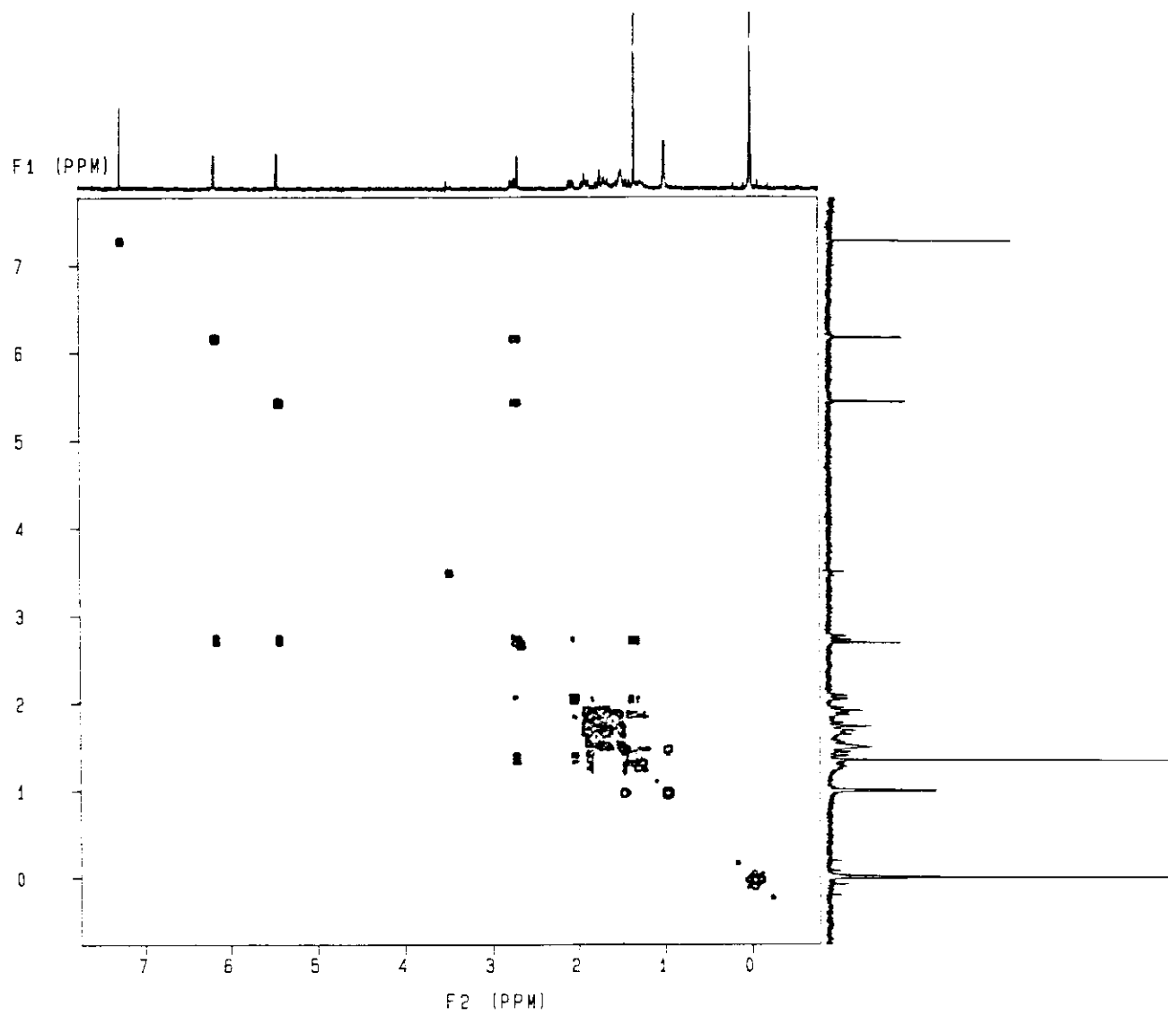
E-22.5: ESPECTRO HETCOR DO COMPOSTO **22**



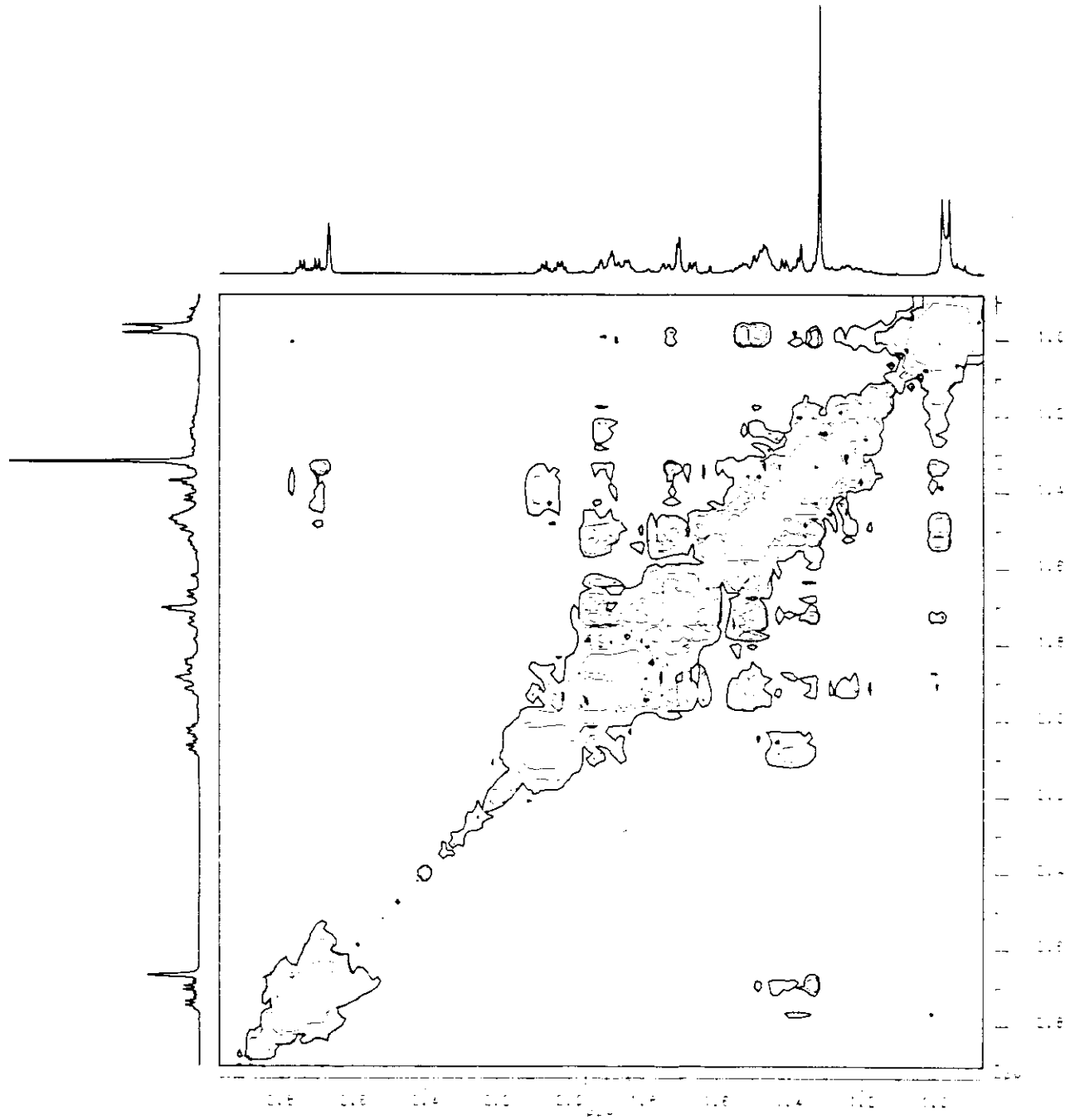
E-22.6: ESPECTRO DEPT DO COMPOSTO 22



E-22.7: ESPECTRO COLOC DO COMPOSTO 22

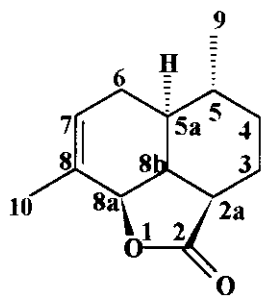


E-22.8: ESPECTRO COSY DO COMPOSTO **22**



E-22.9: ESPECTRO NOESY DO COMPOSTO 22

**Composto 21:** *Quinghaosu I-* 2a,3,4,5,5a,6,8a,8b-octahidro-5,8-dimetil-2H-Nafto [1.8-bc] furan-2-ona, /65/



pf. 190-191(MeOH); lit/65/ 190-191

Rf 0,64 (eluente CHCl<sub>3</sub>/MeOH 1,5%)

IR 1957,0 (programação I)

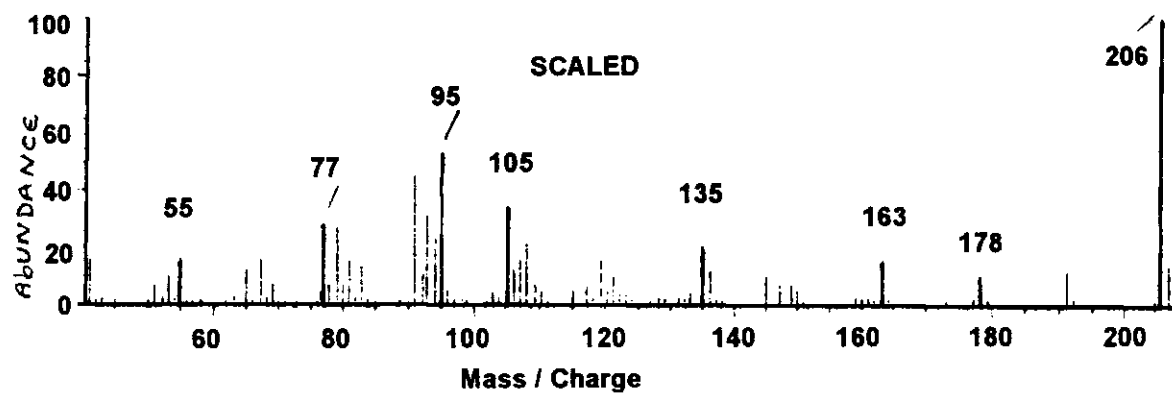
$[\alpha]_D = -50$  (c.0,0051g/ml,CHCl<sub>3</sub>);  $\alpha^{10} -50$  (C. 0,02g/ml,CHCL<sub>3</sub>)

**EM(70eV):** m/z(%) 206 (M<sup>-</sup>, 92), 191(8), 178(8), 163(18), 135(30), 119(30), 105(55), 95(100), 77(55), 55(52), 41(68)

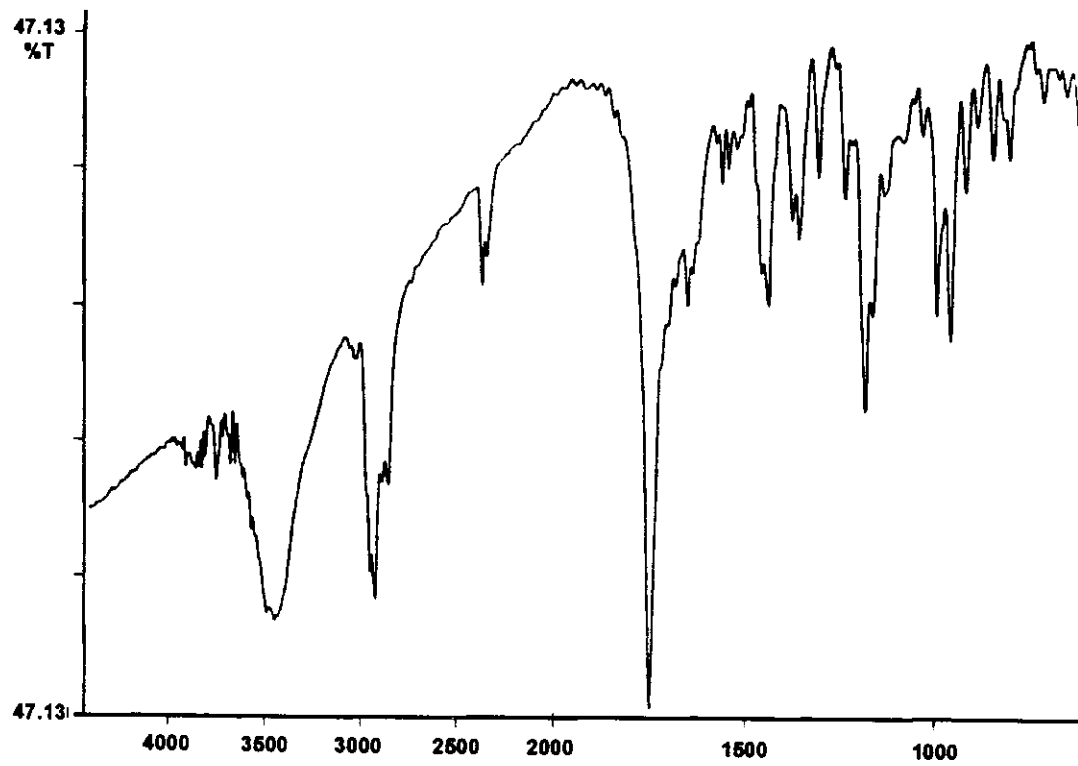
IVTF:ν(cm<sup>-1</sup>) 2990(C-C), 1744(C=O), 1243(C-O)

**RMN<sup>1</sup>H(300MHz, CDCl<sub>3</sub>):** δ 0,78(d, H<sub>9</sub>, J=6Hz); 1,86(s,H<sub>10</sub>), 2,85(ddd, H<sub>8b</sub>, J<sub>8b,2a</sub>=10,2Hz, J<sub>8a,8b</sub>=7,2Hz, J<sub>8b,5a</sub>=5,7Hz)), 2,96(ddd,H<sub>2a</sub>,J<sub>2a,8b</sub>=10,2Hz, J<sub>2a,3</sub>=4Hz), 4,67(dl, H<sub>8a</sub>, J<sub>8a,8b</sub>=7,2Hz), 5,65(dd, H<sub>7</sub>, J<sub>7,6</sub>=6,5Hz,J<sub>7,6</sub>=3Hz), 1,54(m,H<sub>5</sub> e H<sub>5a</sub>), 1,10 e 1,80(m, H<sub>4</sub>), 2,00 e 2,20 (m, H<sub>6</sub>)

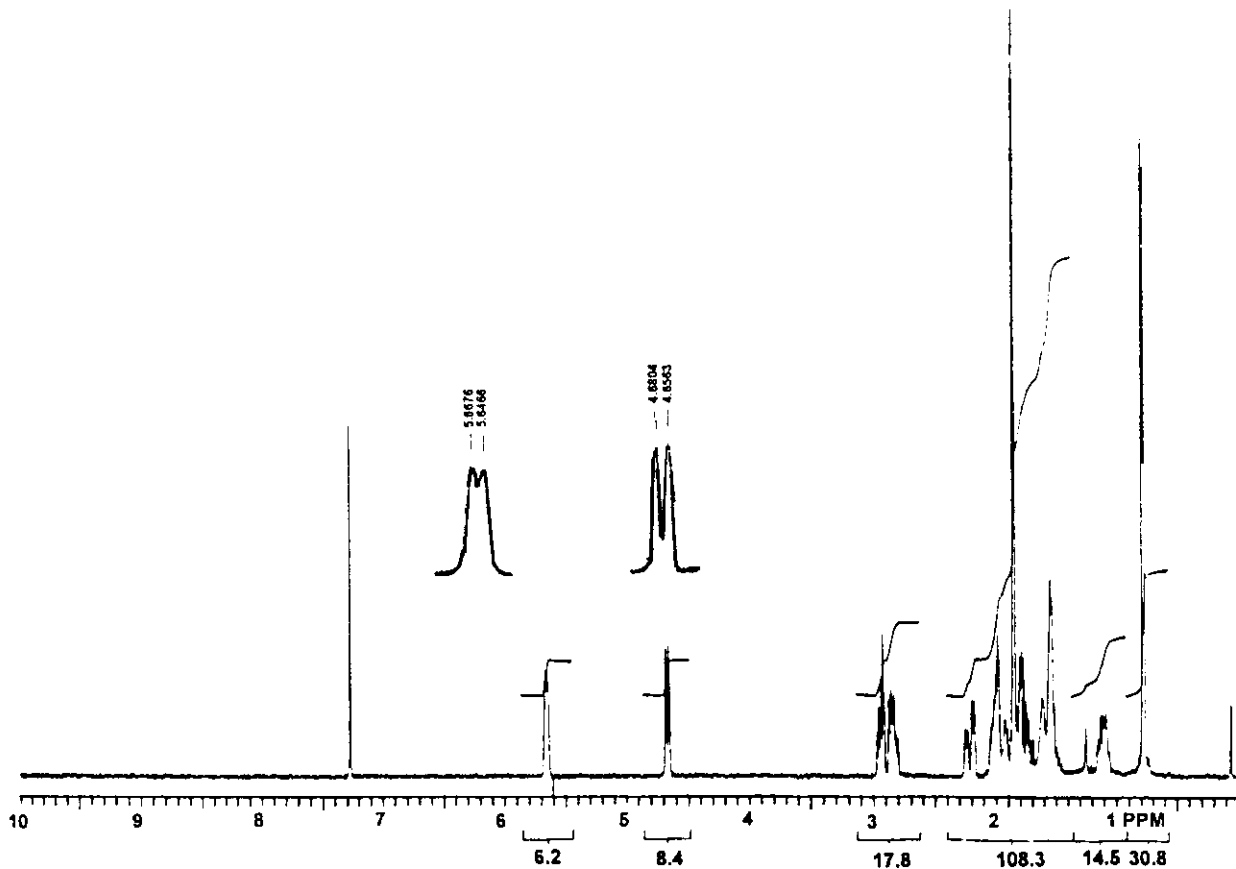
**RMN<sup>13</sup>C(75,5MHz,CDCl<sub>3</sub>):** δ 179,5(C<sub>2</sub>), 131,1(C<sub>8</sub>), 124,8(C<sub>7</sub>), 77,4(C<sub>8a</sub>), 39,1(C<sub>2a</sub>), 37,0(C<sub>8b</sub>), 32,8(C<sub>5a</sub>), 25,2(C<sub>5</sub>), 27,2(C<sub>4</sub>), 25,1(C<sub>6</sub>), 18,5(C<sub>3</sub>), 20,4(C<sub>10</sub>), 19,8(C<sub>9</sub>)



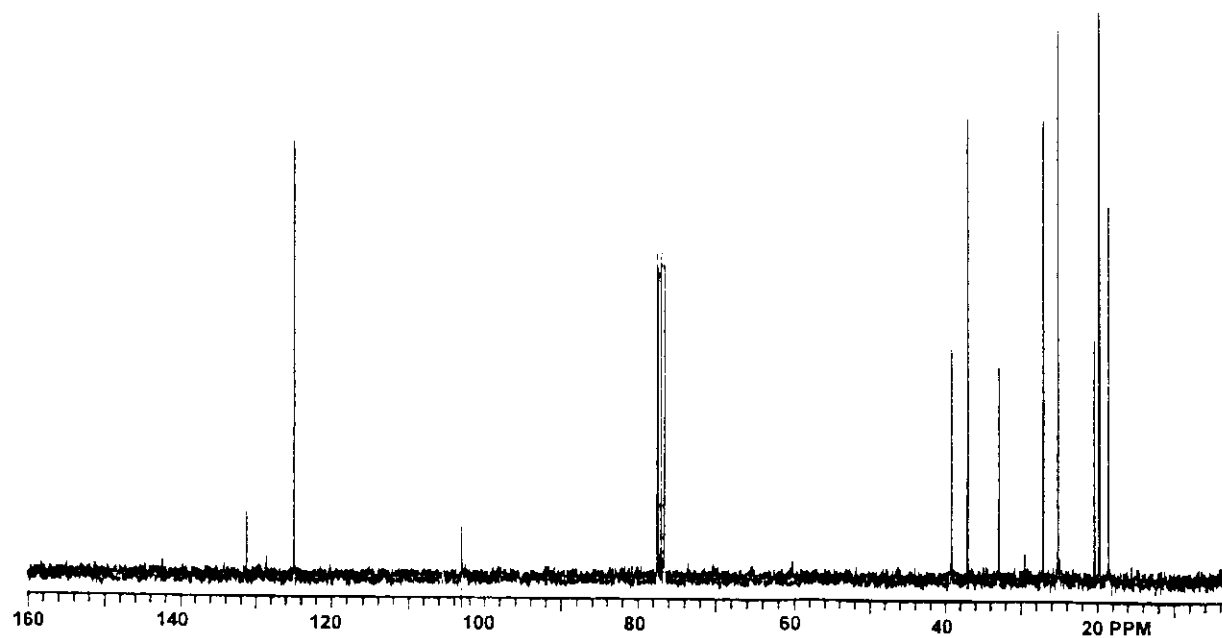
E-21.1: ESPECTRO DE MASSAS DO QUINGHAOSU I 21



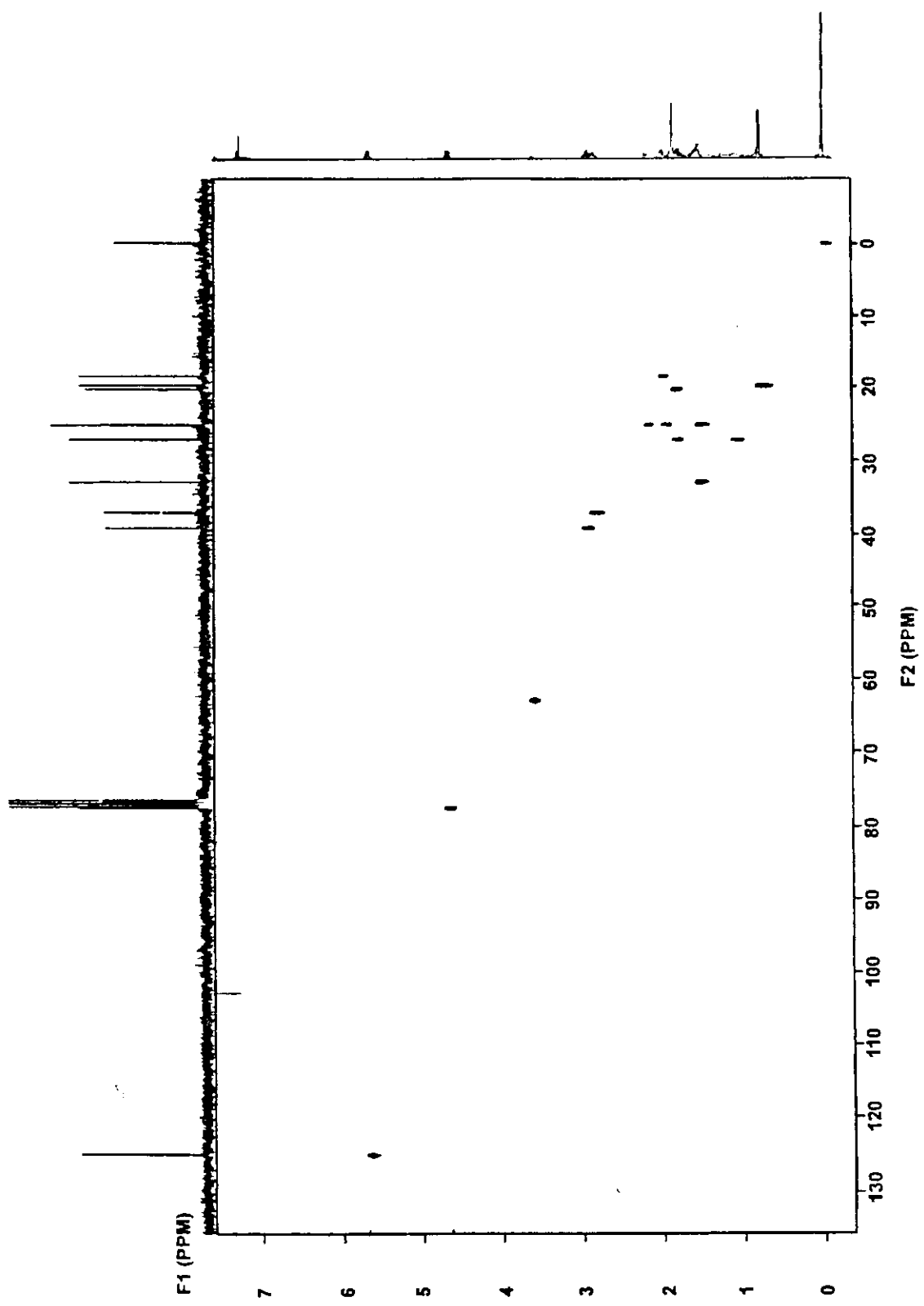
E-21.2: ESPECTRO NO INFRA-VERMELHO DO COMPOSTO 21



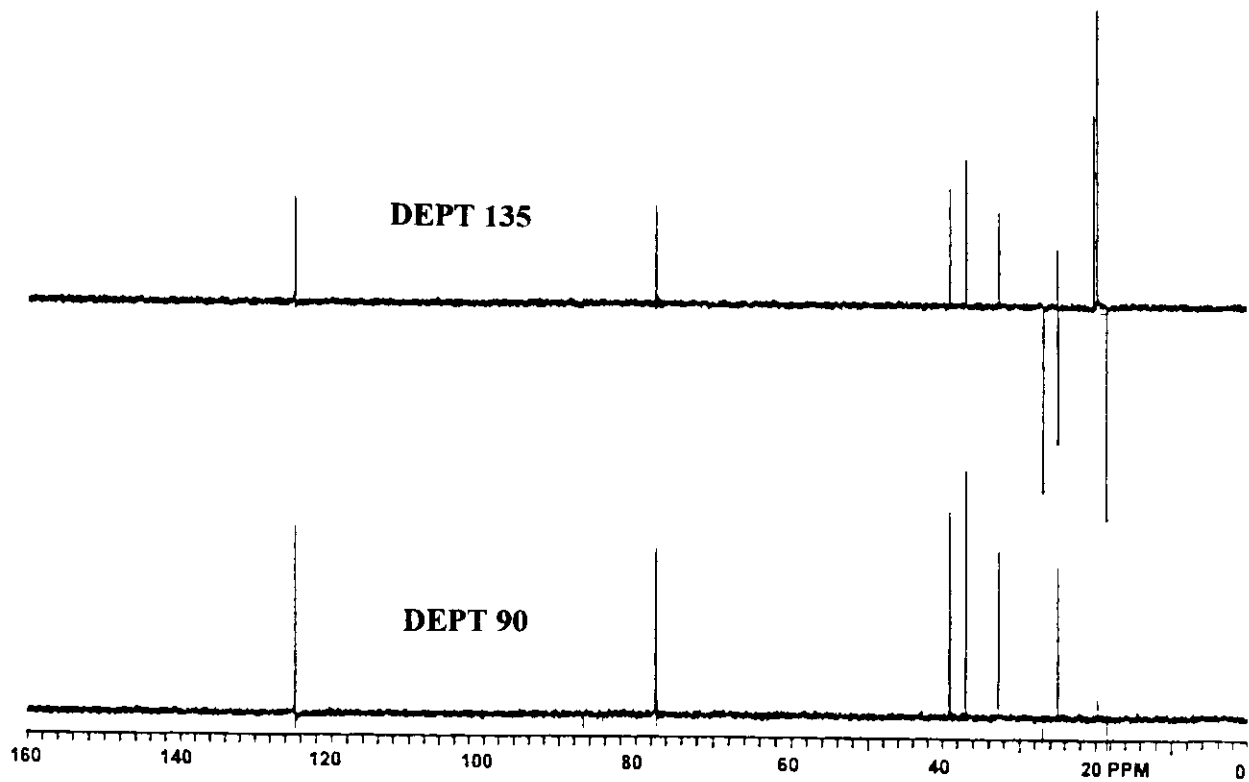
E-21.3: ESPECTRO DE RMN $^1\text{H}$  (300MHz,  $\text{CDCl}_3$ ) DO COMPOSTO **21**



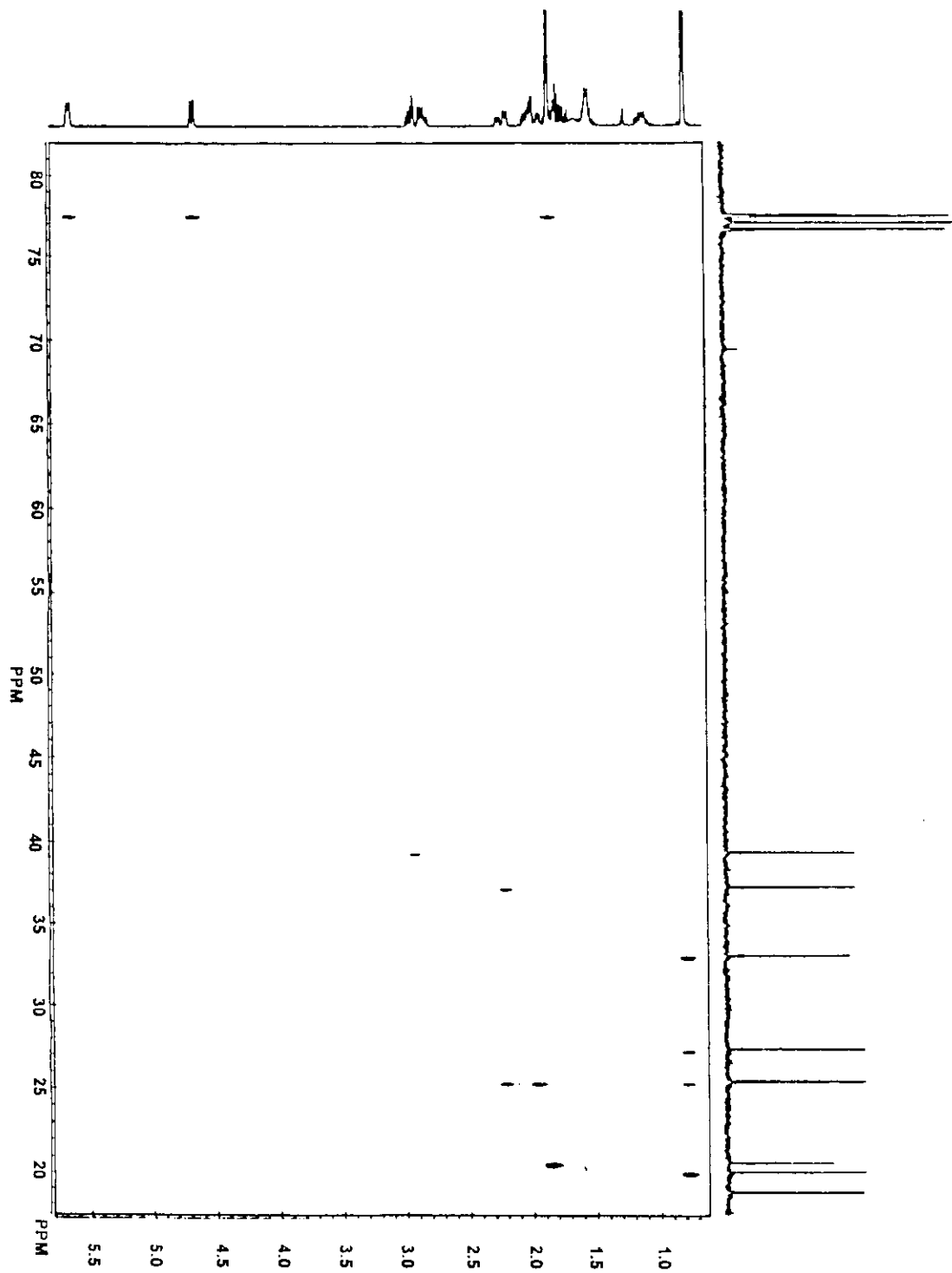
E-21.4: ESPECTRO DE RMN $^{13}\text{C}$  (75,5MHz,  $\text{CDCl}_3$ ) DO COMPOSTO **21**



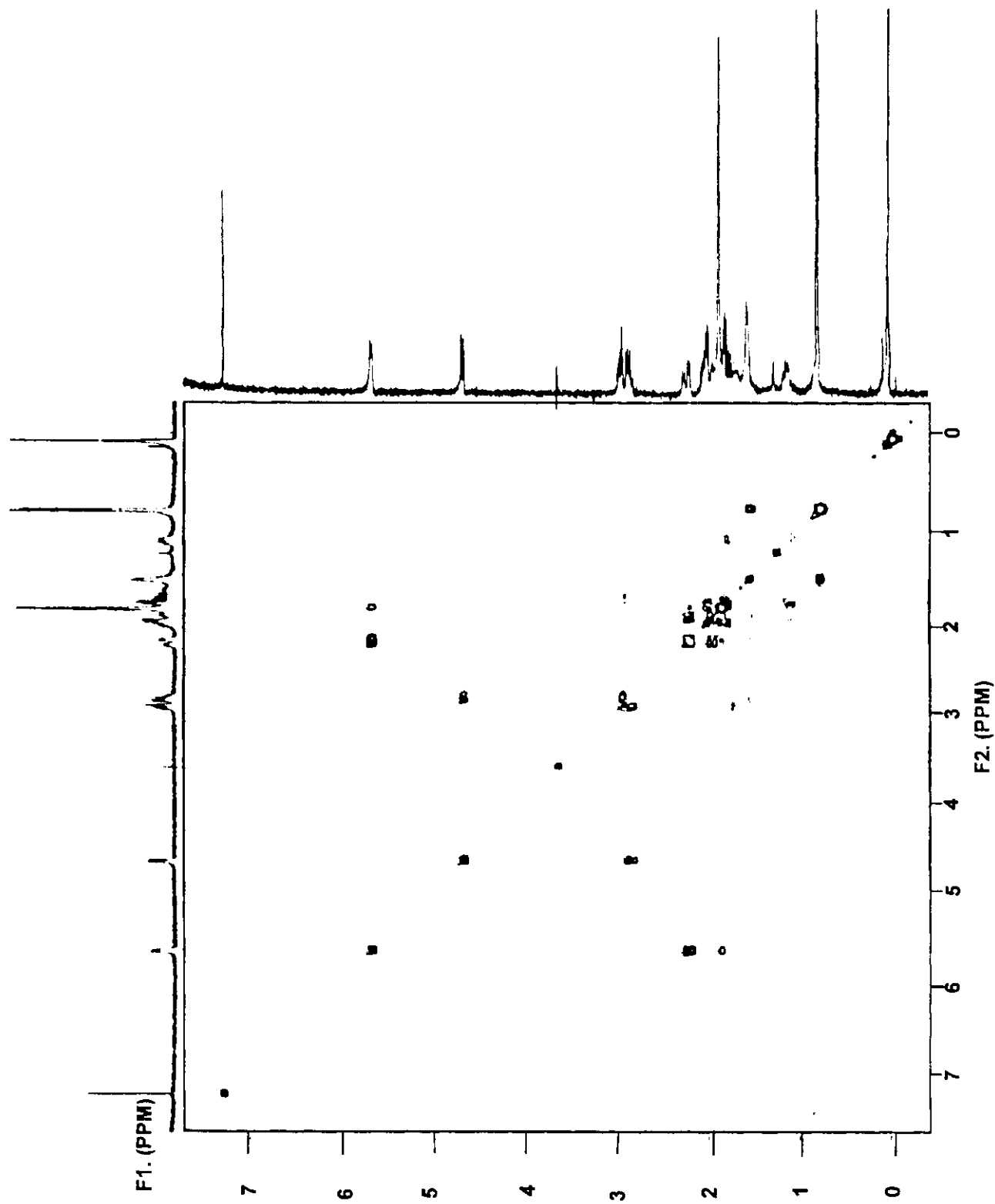
E-21.5: ESPECTRO HETCOR DO COMPOSTO 21



E-21.6: ESPECTRO DEPT DO COMPOSTO 21

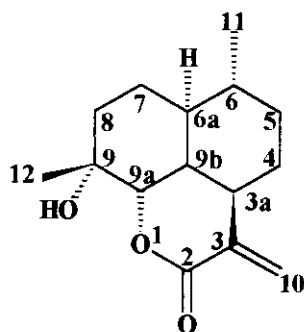


E-21.7: ESPECTRO COLOC DO COMPOSTO 21



E-21.8: ESPECTRO COSY DO COMPOSTO 21

**Composto 12: Artemisinelactone-QuinghaosuV-** decahidro-9-hidroxi-6,9-dimetil-3-metileno [3aR-(3ac $\alpha$ ,6 $\alpha$ , 6 $\alpha$ , 9 $\alpha$ ,9ac $\alpha$ ,9bc $\alpha$ )] Nafto[1.8-bc] pirano-2(3H)- ona, /51/



**pf.** 145-146 (pentano)

**Rf** 0,27 (eluente CHCl<sub>3</sub>/MeOH 1,5%)

**IR** 2239,3 (programação I)

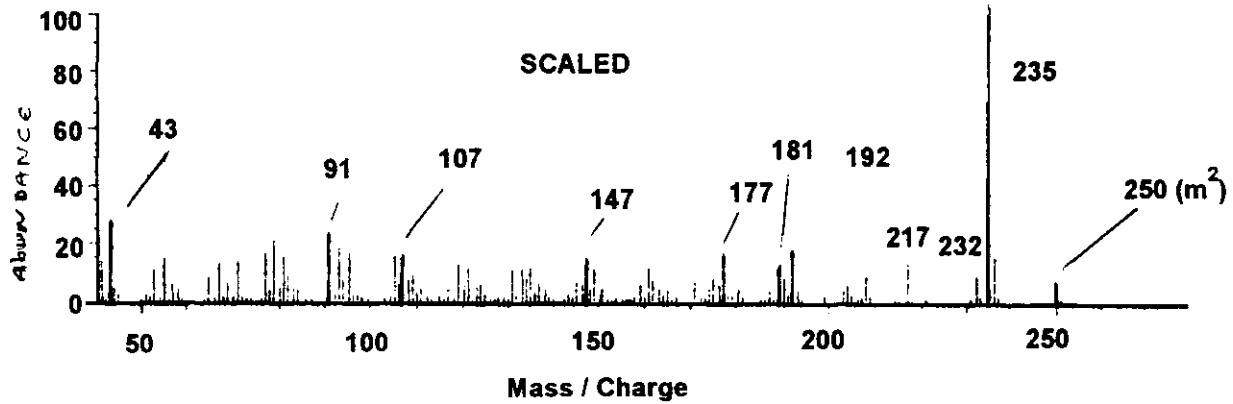
$[\alpha]_D = 11,76$  (c.0,005, CHCl<sub>3</sub>)

**EM(70eV):m/z(%)** 250(M<sup>+</sup>, 3), 217(8), 192(15), 177(15), 161(11), 147(13), 121(11), 91(30), 79(30), 55(34), 43(100)

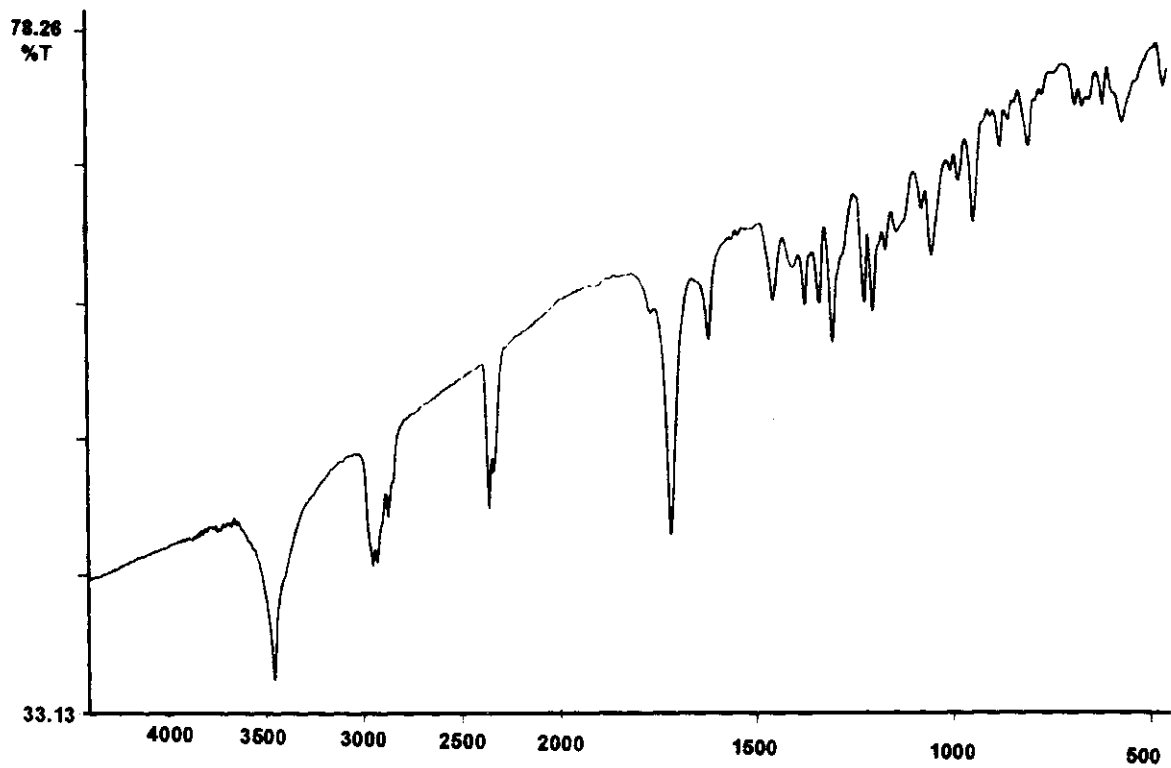
**IVTF(KBr):v(cm<sup>-1</sup>)** 3470(OH), 1722(C=O)

**RMN<sup>1</sup>H(300MHz,CDCl<sub>3</sub>):**  $\delta$  0,88(d, H<sub>11</sub>, J=6Hz), 1,36(s,H<sub>12</sub>), 2,36(ddd,H<sub>9b</sub>, J<sub>9b,9a</sub>=11,6Hz, J<sub>9b,3a</sub>=J<sub>9b,6a</sub>=4,4Hz), 2,66(ddd, H<sub>3a</sub>, J<sub>3a,4ax</sub>=11,9Hz, J<sub>3a,9b</sub>=J<sub>3a,4e</sub>=4,4Hz), 4,37(d, H<sub>9a</sub>, J<sub>9b,9a</sub>=11,6Hz), 1,43(m, H<sub>6a</sub>), 1,48(m, H<sub>6</sub>), 5,62(dd, H<sub>10</sub>, J<sub>10,10'</sub>=J<sub>10,4ax</sub>=1,5Hz), 1,14 e 1,80(dddd, H<sub>5</sub>, J<sub>5a,5e</sub>=13,2Hz, J<sub>5e,6a</sub>=J<sub>5e,4e</sub>=J<sub>5e,4ax</sub>=3,5Hz), 1,47 e 1,66 (m, H<sub>8</sub>), 1,37 e 1,66 (m, H<sub>7</sub>), 1,86 e 1,66 (m, H<sub>4</sub>)

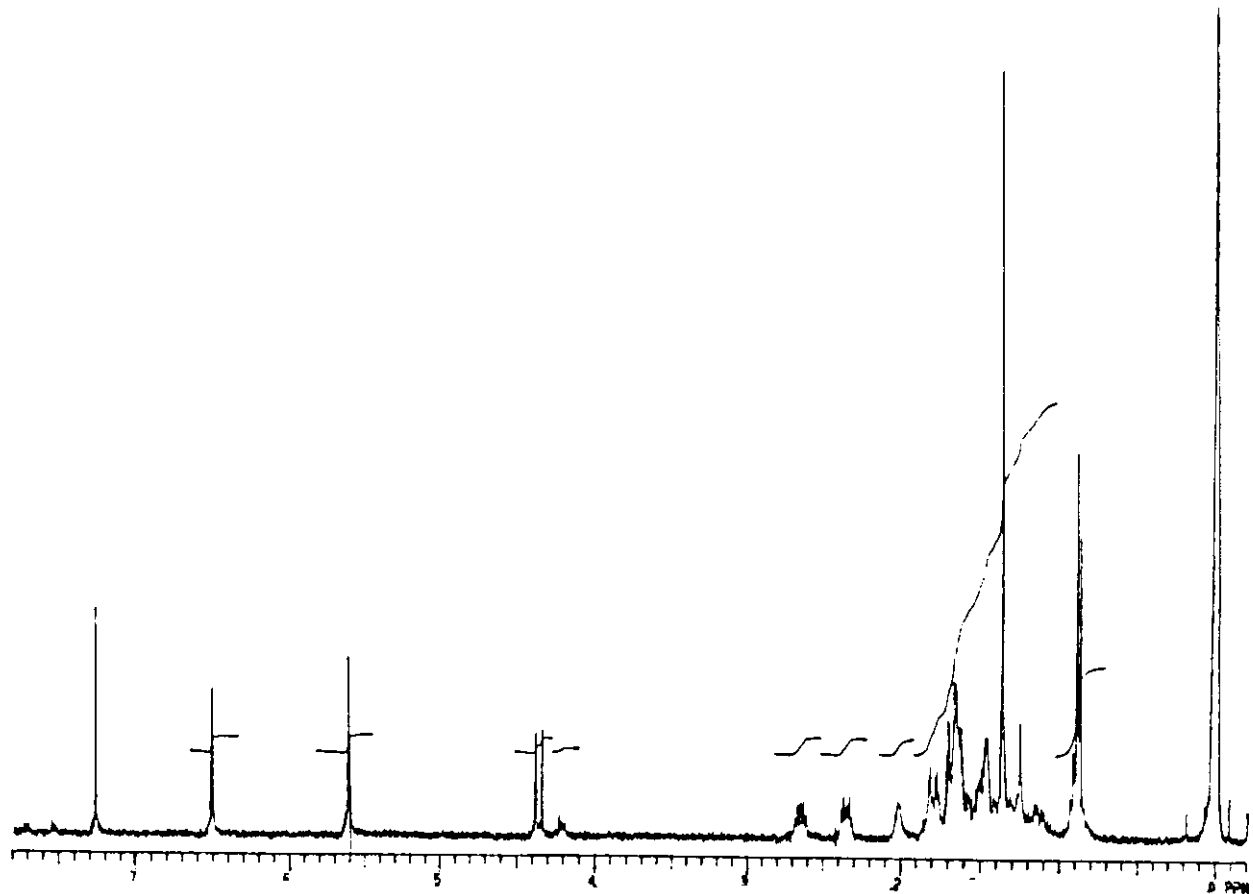
**RMN<sup>13</sup>C(75,5MHz,CDCl<sub>3</sub>):**  $\delta$  166,2 (C<sub>2</sub>), 139,4 (C<sub>3</sub>), 70,3 (C<sub>9</sub>), 80,1 (C<sub>9a</sub>), 42,3(C<sub>6a</sub>), 39,6 (C<sub>3a</sub>), 35,9 (C<sub>9b</sub>), 27,5 (C<sub>6</sub>), 129,6 (C<sub>10</sub>), 34,9 (C<sub>5</sub>), 32,2 (C<sub>8</sub>), 30,8 (C<sub>7</sub>), 21,9 (C<sub>4</sub>), 27,4 (C<sub>12</sub>), 20,0 (C<sub>11</sub>)



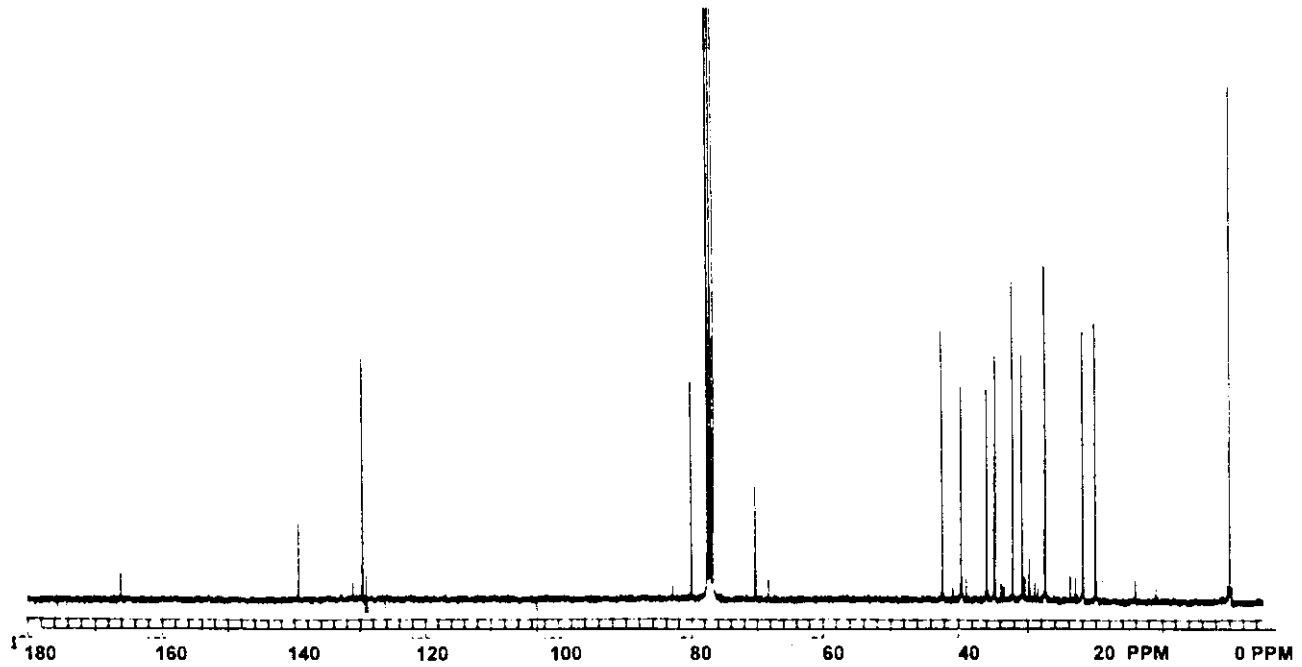
E-12.1: ESPECTRO DE MASSAS DA QUINGHAOSU V 12



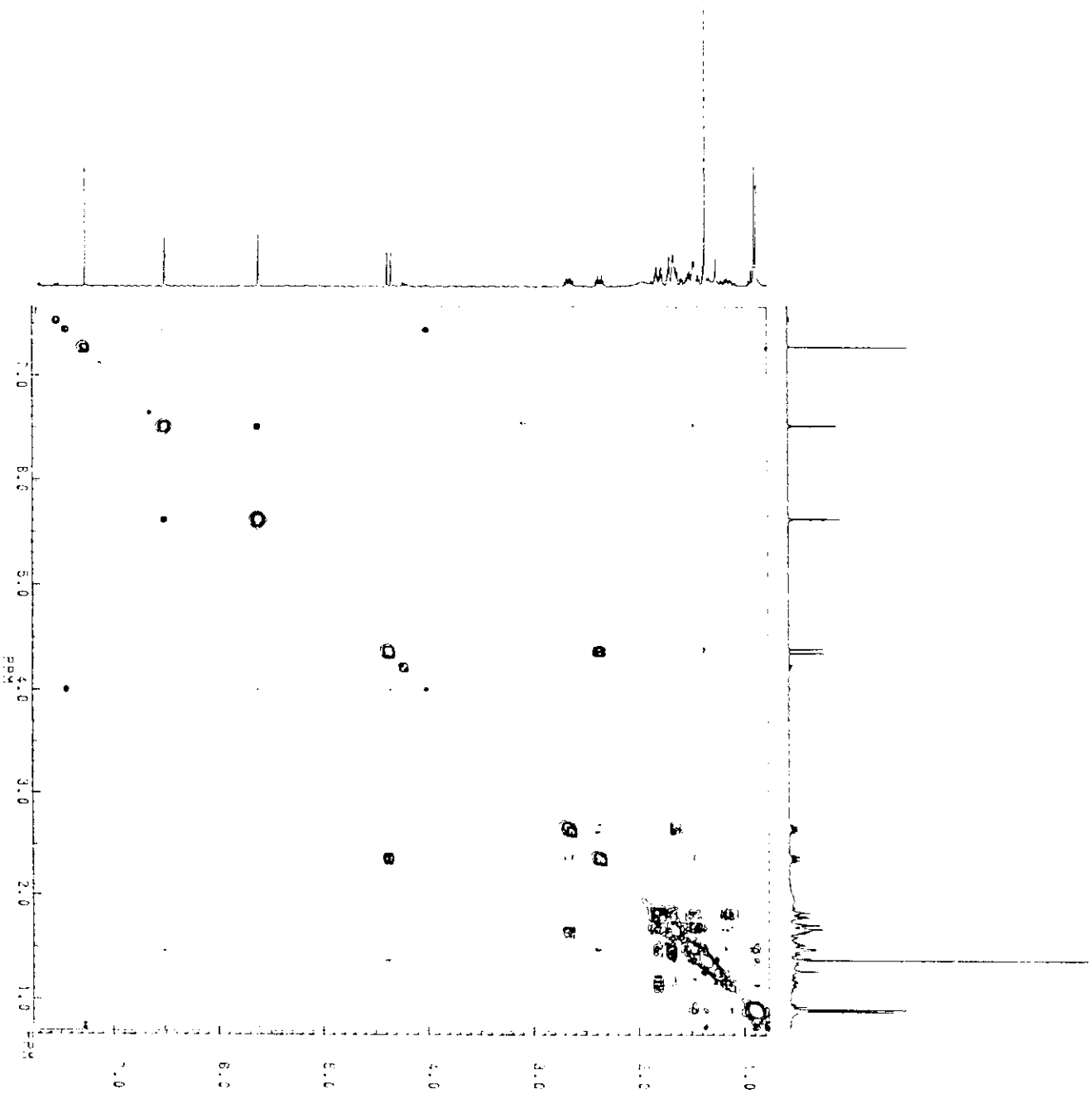
E-12.2: ESPECTRO NO INFRA-VERMELHO DO COMPOSTO 12



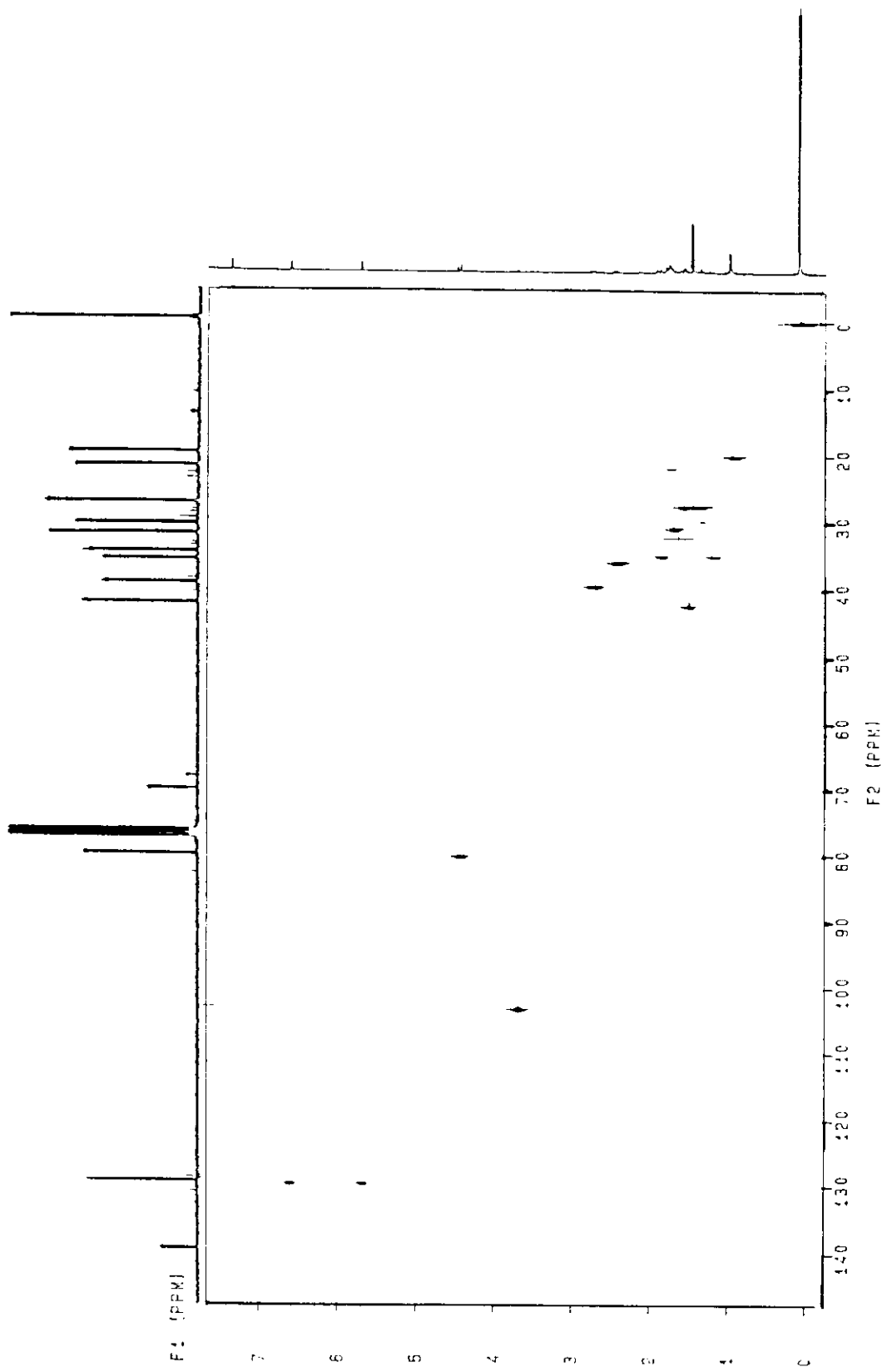
E-12.3: ESPECTRO DE RMN $^1\text{H}$  (300MHz,CDCl<sub>3</sub>) DO COMPOSTO **12**



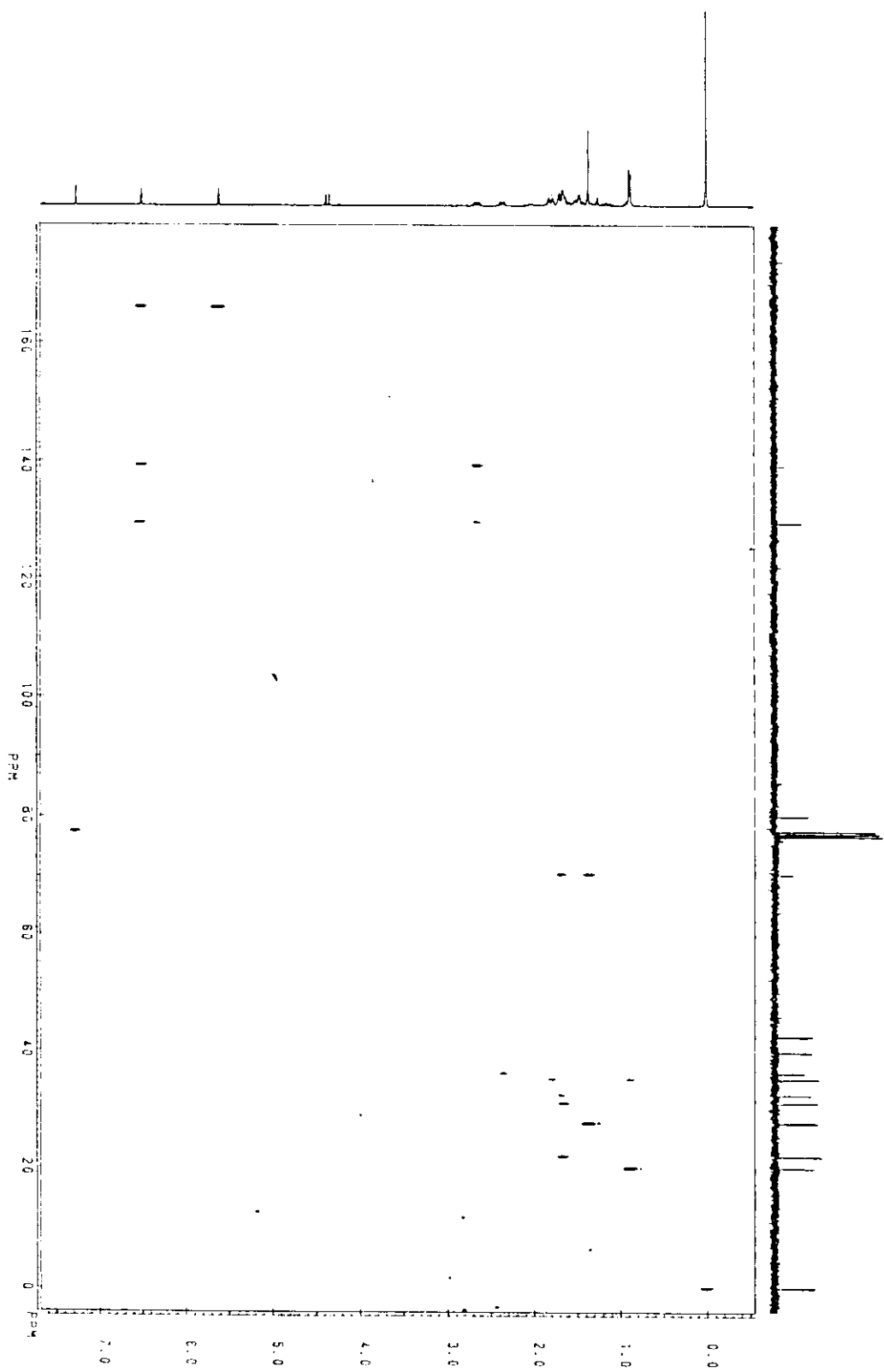
E-12.4: ESPECTRO DE RMN $^{13}\text{C}$  (75,5MHz,CDCl<sub>3</sub>) DO COMPOSTO **12**



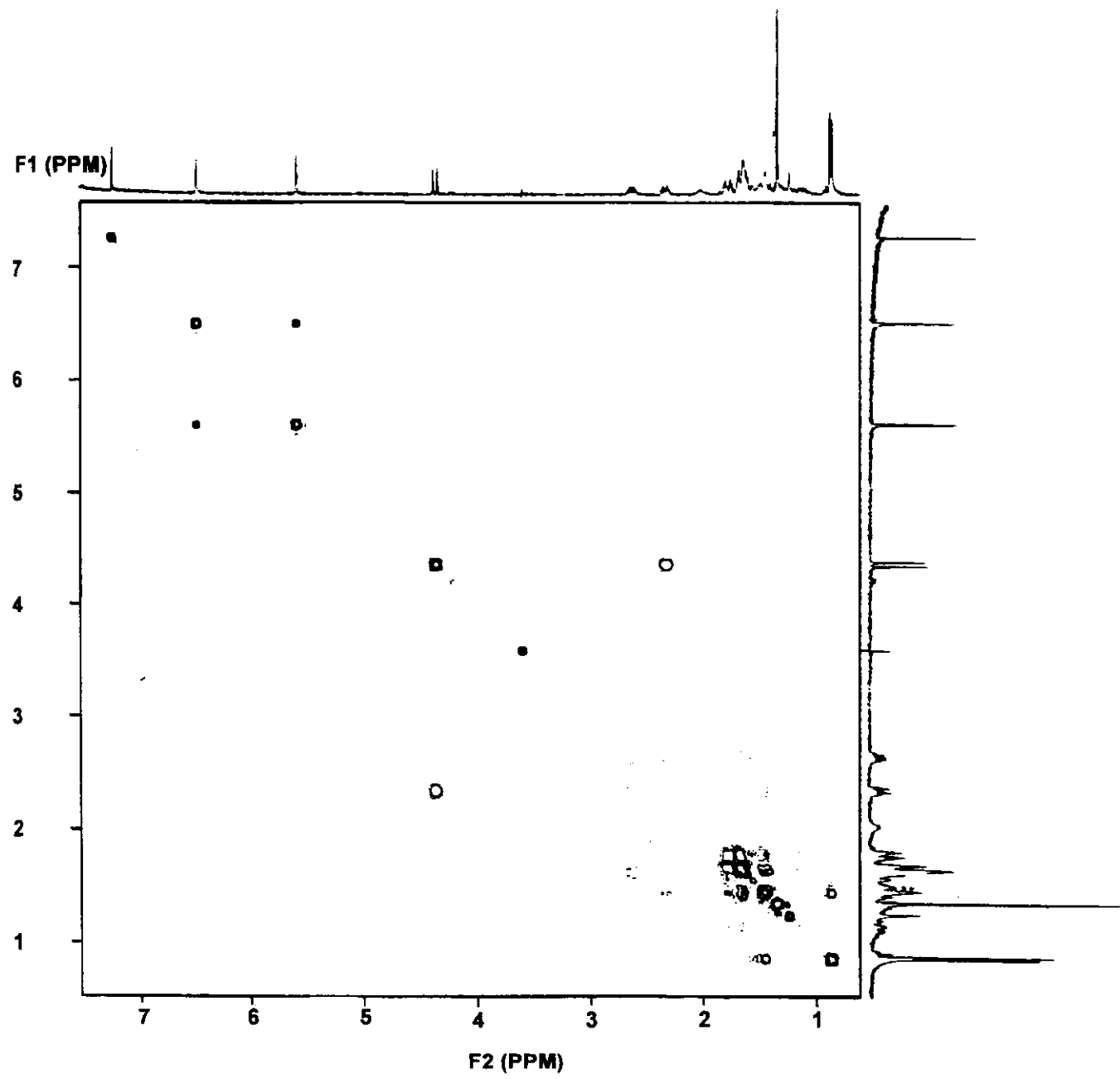
E-12.5: ESPECTRO NOESY DO COMPOSTO 22



E-12.6: ESPECTRO HETCOR DO COMPOSTO 12

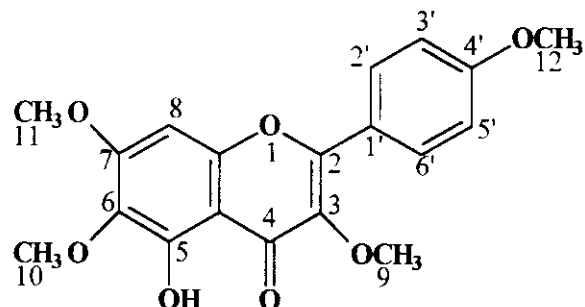


E-12.7: ESPECTRO COLOC DO COMPOSTO **12**



E-12.8: ESPECTRO COSY DO COMPOSTO 12

**Composto 80: 5 - Hydroxy-3,6,7,4'-tetramethoxy flavone /66/**

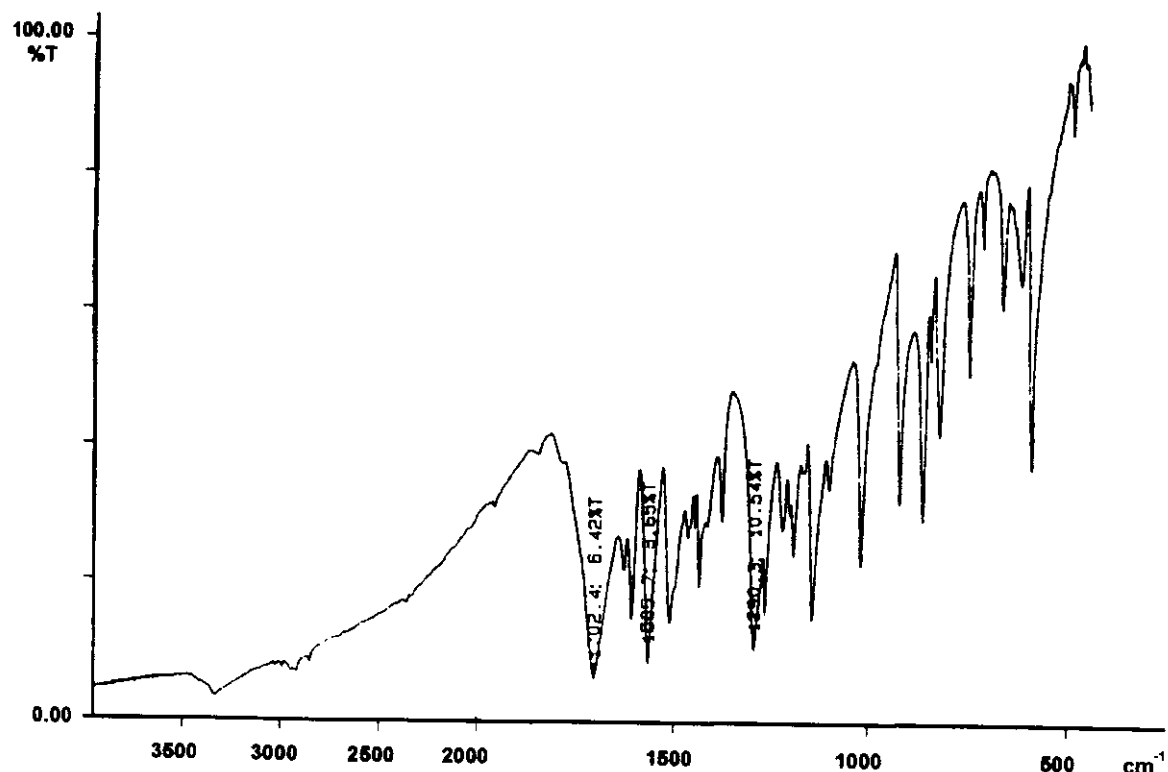


Rf 0,13 (eluente CHCl<sub>3</sub>/MeOH 1,5%)

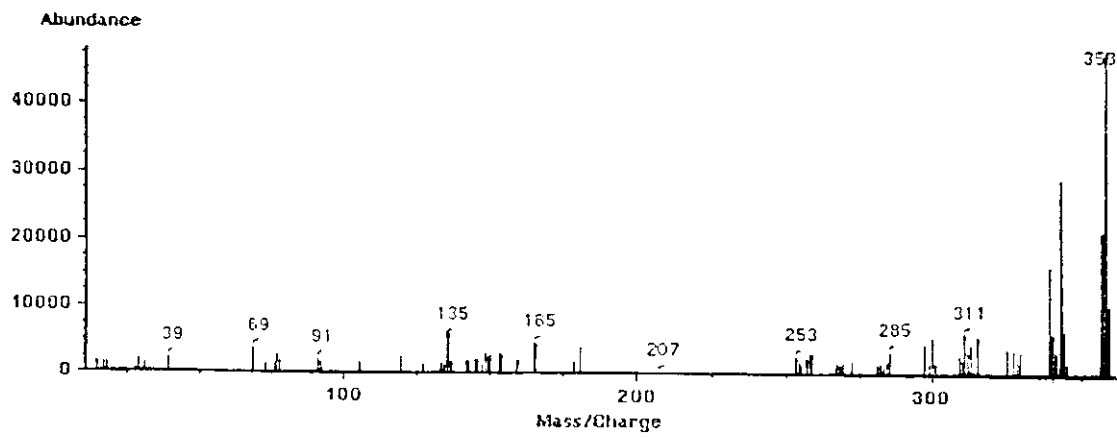
EM(70eV): m/z (%) 358(M<sup>+</sup>,100), 343(60), 311(11), 285(6), 253(6), 165(9)

IVTF (KBr): v(cm<sup>-1</sup>) 3418(OH), 2930(CH), 1681(C=O)

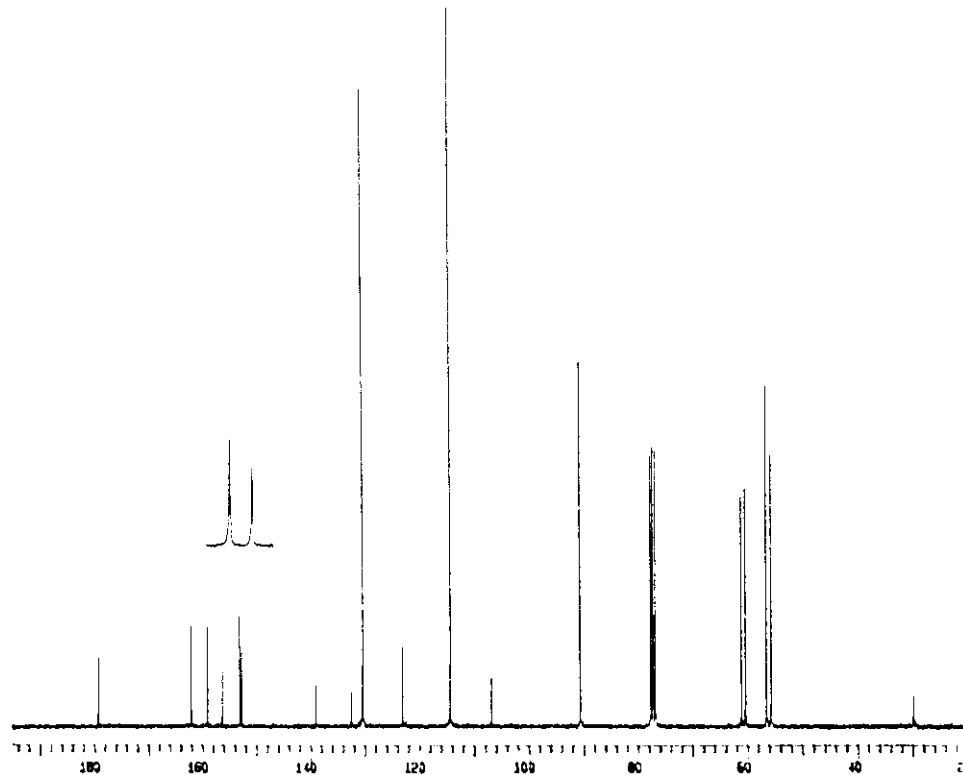
RMN<sup>1</sup>H(300MHz, DMSO): δ 3,71-3,74(4s,H<sub>9,10,11,12</sub>), 6,3(s,H<sub>8</sub>), 6,8(d, H<sub>2',6'</sub>, J=10Hz), 7,8(d, H<sub>3',5'</sub>,J=10Hz)



E-80.1: ESPECTRO NO INFRA-VERMELHO DO COMPOSTO 80

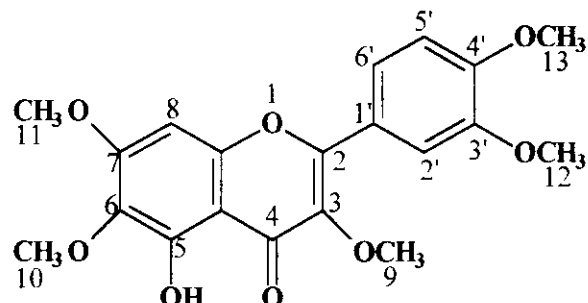


## E-80.2: ESPECTRO DE MASSAS DO COMPOSTO 80



E-80.3: ESPECTRO DE RMN<sup>1</sup>H (300MHz,CDCl<sub>3</sub>) DO COMPOSTO 80

**Composto 48: Artemetina- 5 Hydroxy-3,6,7,3',4'-pentamethoxy flavone /66/**

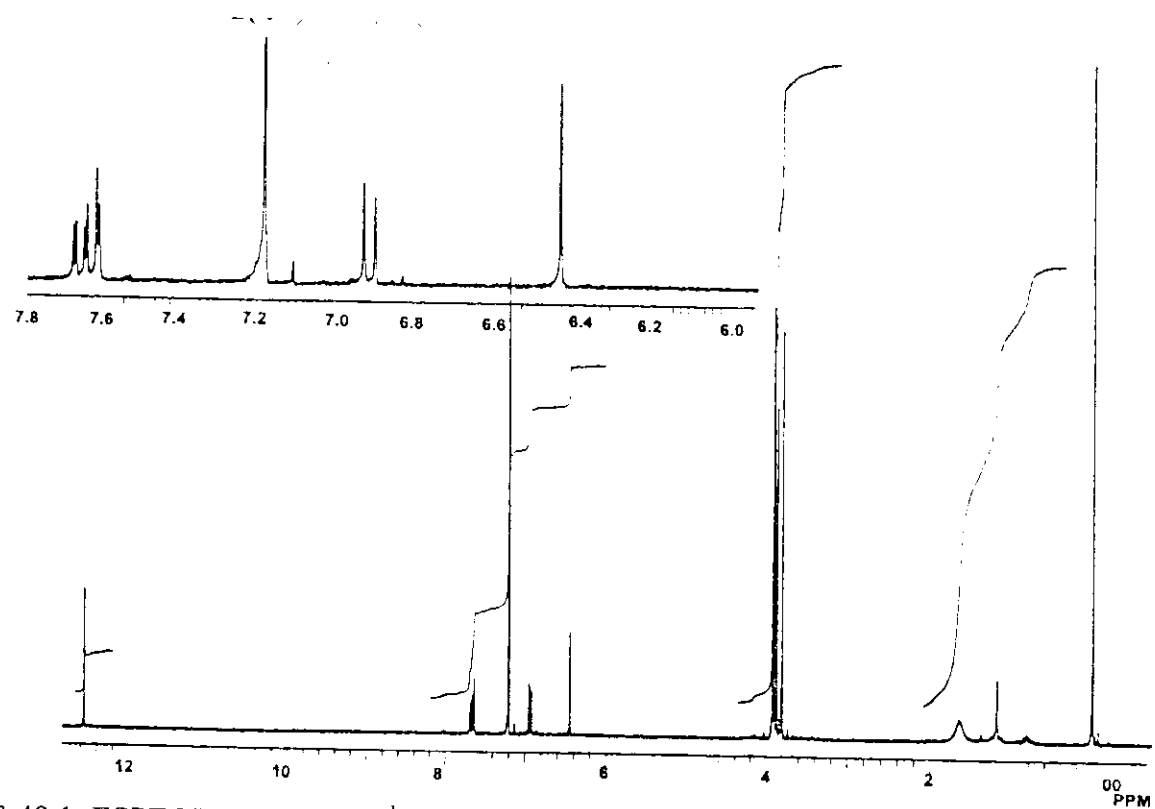


**pf** 154-155 (pentano)

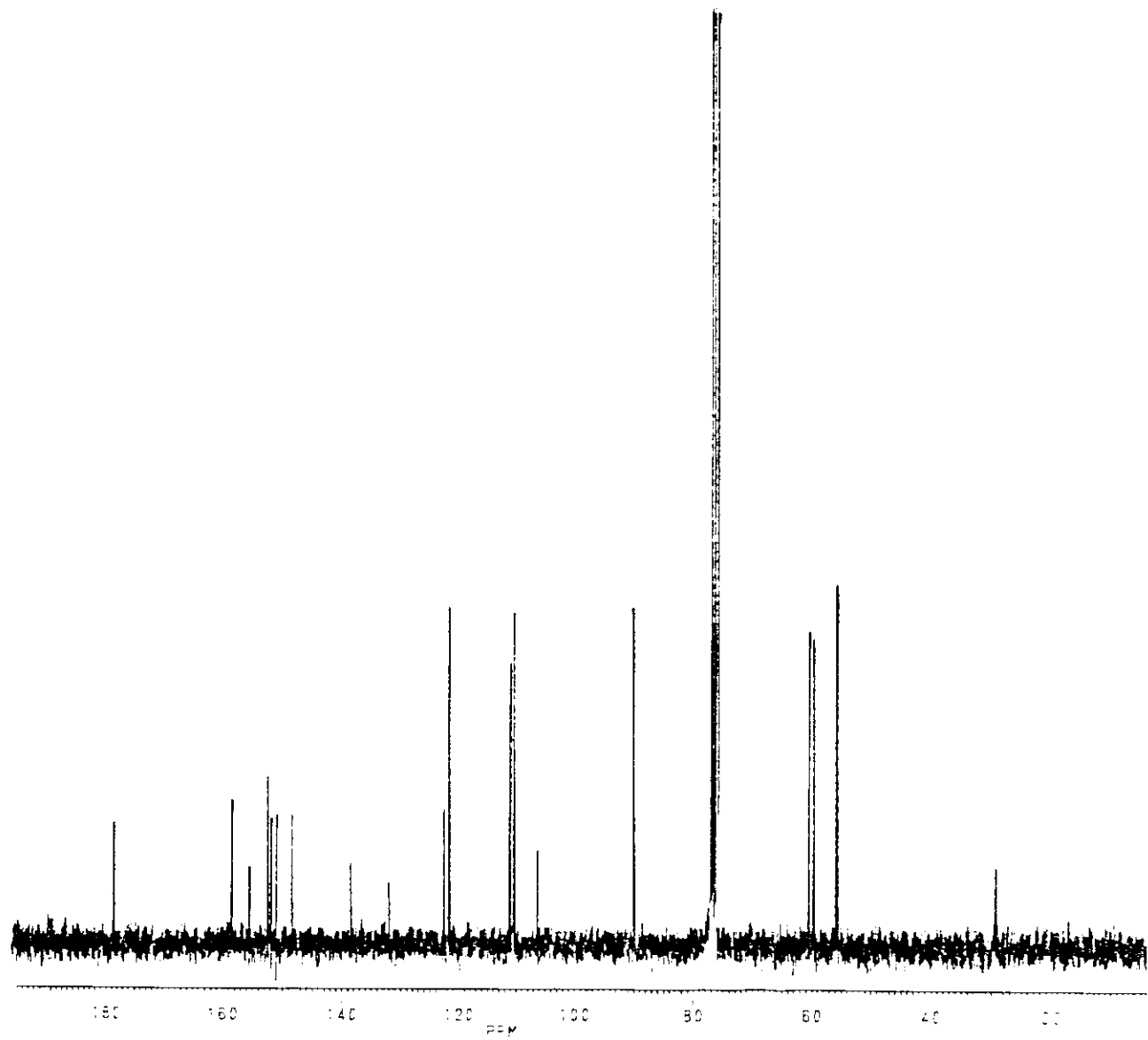
**Rf** 0,12 (eluente CHCl<sub>3</sub>/MeOH 1,5%)

**RMN<sup>1</sup>H(300MHz,CDCl<sub>3</sub>):** δ3,87-3,98(s,H<sub>9,10,11,12,13</sub>); 6,52(s,H<sub>8</sub>); 7,00(d,H<sub>2'</sub>,J=10Hz); 7,73(dd, H<sub>5',6'</sub>,J=10Hz)

**RMN<sup>13</sup>C(75,5MHz,CDCl<sub>3</sub>):** 856,0056,09; 56,33; 60,19; 60,89(C<sub>9,10,11,12,13</sub>); 90,33(C<sub>8</sub>); 110,85(C<sub>5'</sub>); 111,29(C<sub>6'</sub>); 122,14(C<sub>2</sub>); 106,59(C<sub>4a</sub>); 122,90(C<sub>1</sub>); 132,29(C<sub>3</sub>); 148,82(C<sub>8a</sub>); 151,40(C<sub>4'</sub>); 152,76(C<sub>3'</sub>); 155,88(C<sub>6</sub>); 158,76(C<sub>7</sub>); 178,87(C<sub>4</sub>)

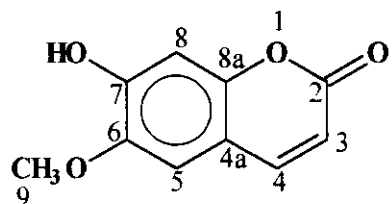


E-48.1: ESPECTRO DE RMN<sup>1</sup>H (300 MHz, CDCl<sub>3</sub>)



E-48.2: ESPECTRO DE RMN $^{13}\text{C}$  (75,5 MHz,  $\text{CDCl}_3$ ) DO COMPOSTO **48**

**Composto 87: Scopoletina- 7 Hidroxi-6-metoxi-2H-1-benzopirano-2-ona /67/**



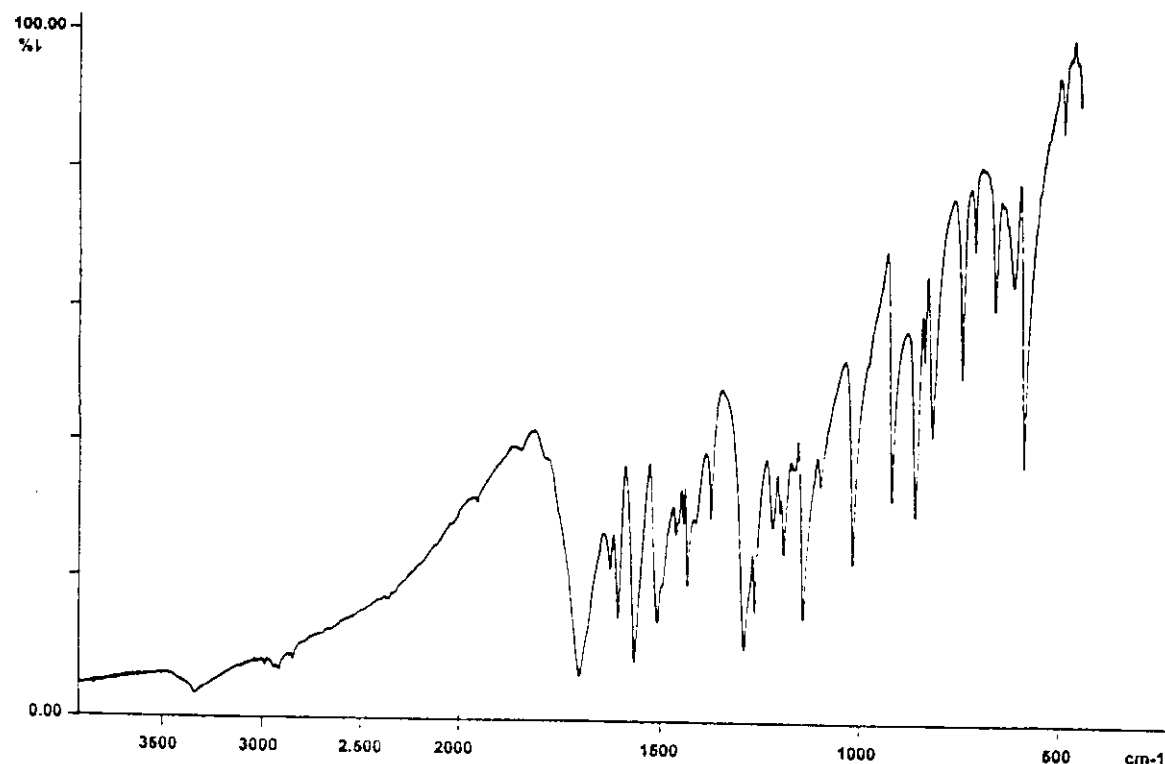
p.f 203-204

Rf 0,17(eluente CHCl<sub>3</sub>/MeOH 1,5%)

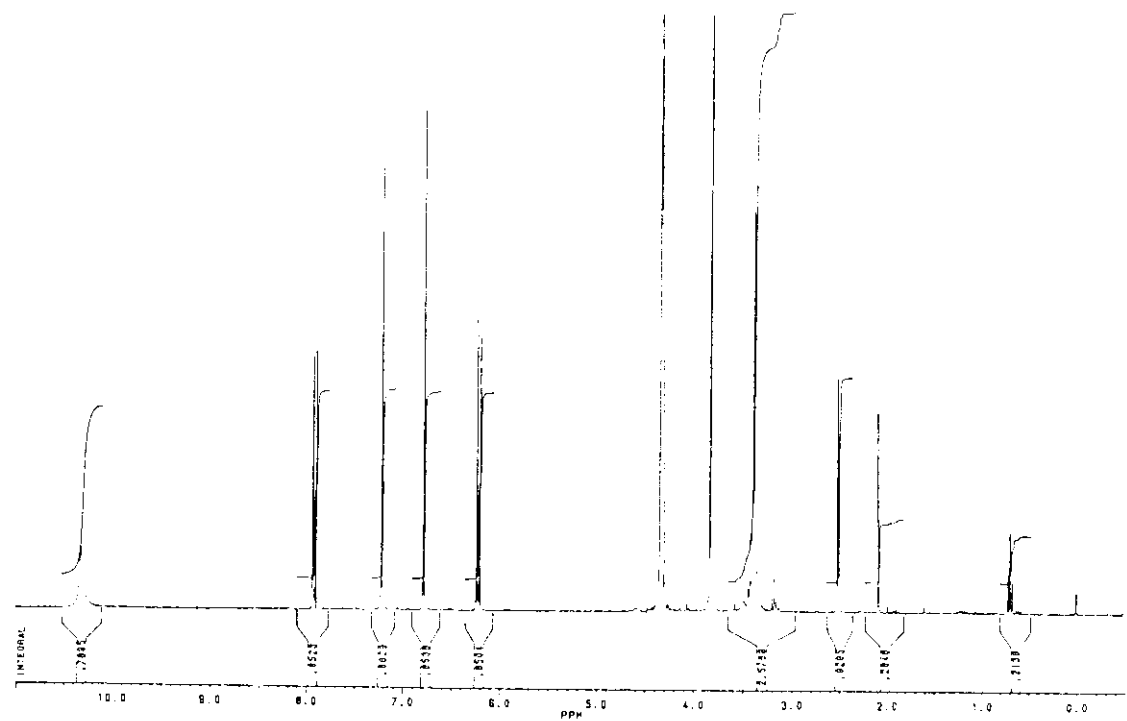
IVTF(KBr):v (cm<sup>-1</sup>) 3300 (OH), 1700 (C=O), 1575 (C=C)

RMN<sup>1</sup>H(300MHz, D<sub>2</sub>O):δ 3,4(s,3H), 6,20(d,H<sub>9</sub>,J=10Hz), 6,77(s,H<sub>5</sub>), 7,2(s,H<sub>8</sub>), 7,9(d,H<sub>3,4</sub>, J=10Hz)

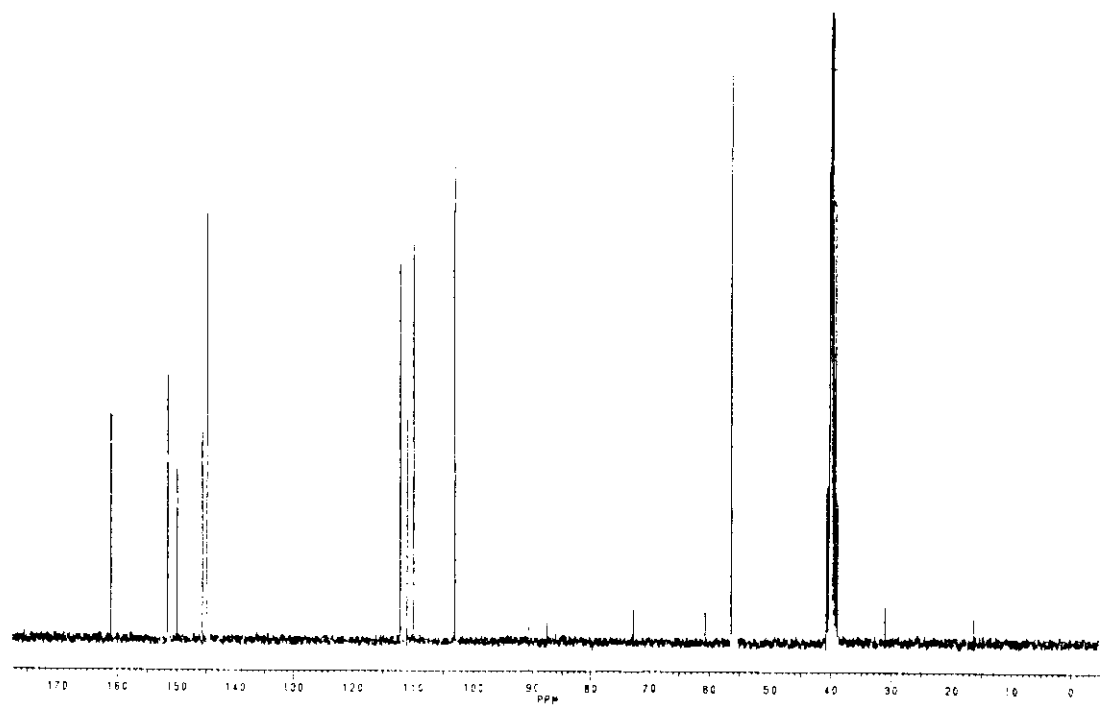
RMN<sup>13</sup>C (75,5MHz, D<sub>2</sub>O):δ 55,98(C<sub>9</sub>), 102,76(C<sub>8</sub>), 109,56(C<sub>5</sub>), 110,53(C<sub>4A</sub>), 111,68(C<sub>3</sub>), 144,47(C<sub>7</sub>), 145,25(C<sub>4</sub>), 149,49(C<sub>8A</sub>), 151,12(C<sub>6</sub>), 160,67(C<sub>2</sub>)



E-87.1: ESPECTRO INFRA-VERMELHO DA SCOPOLETINA 87



## E-87.2: ESPECTRO DE RMN<sup>1</sup>H (300MHz,D2O) DO COMPOSTO 87



### E-87.3: ESPECTRO DE RMN<sup>13</sup>C (75,5MHz,D<sub>2</sub>O) DO COMPOSTO 87

## **Amostras de óleo essencial para estudo sazonal**

As amostras de óleo essencial foram preparadas a partir de folhas frescas coletadas no período diurno no campo experimental do CPQBA, num lote destinado especificamente para este ensaio.

Duzentos gramas de planta fresca foram colocadas em um balão de fundo redondo de 250 ml. Adicionou-se 100 ml de água destilada sobre as folhas e montou-se um sistema de destilação no qual o balão coletor de 100 ml continha 20 ml de acetato de etila. Após uma hora de destilação, lavou-se o material recolhida com três porções de acetato de etila em funil de separação de 250 ml. A fase orgânica foi concentrada sob vácuo até eliminação total do solvente obtendo-se a fração de óleo essencial.

As amostras de óleo essencial foram analisadas por cromatografia (conforme descrito no material e métodos), e avaliado seu teor em relação a planta fresca (Tabela 15). Paralelamente foi determinado o teor de artemisinina em amostras de folhas coletadas no mesmo dia, porém secas em estufa à 40°C, conforme método descrito a seguir(Tabela 15) .

## **Metodologia analítica semi-quantitativa para dosagem de artemisinina /68/**

### **Preparação dos padrões**

#### **a) Soluções**

Solução padrão de artemisinina:

Pesou-se cerca de 10,0 mg de artemisinina e diluiu-se em 50,0 ml de tolueno (1), em balão volumétrico. Retirou-se uma aliquote de 5,0 ml de (1) com pipeta volumétrica e diluiu-se com tolueno em balão volumétrico de 25 ml (0,04 µg/l)

#### **b) Extrato**

Pesou-se 50 mg de planta seca e pipetou-se 2 ml de tolueno, macerou-se em almofariz por 2 min. e recolheu-se o extrato em balão volumétrico de 2 ml utilizando micropipeta com algodão (como filtro ). Fez-se o extrato em duplicata.

### c) Aplicação

Utilizou-se cromatoplaca de sílica-gel 60 F<sub>254</sub> (Merck artigo 5554 ) dividindo ao meio (10 cm de altura).

As aplicações das soluções foram feitas com micro-seringa de 10 µl.

<b>Padrões de artemisinina em µl</b>	<b>Valor correspondente em µg</b>
2	0,08
4	0,16
6	0,24
10	0,4

### Extratos

Aplicou-se 3,0 e 6,0 µl dos extratos ( em duplicata )

As aplicações foram realizadas a 0,8 cm da borda inferior da cromatofolha, espaçadas de 0,7 cm entre elas. O diâmetro das aplicações não ultrapassou 0,5 cm.

### d) Eluição

As cromatografias foram eluídas numa mistura de solventes de diclorometano/metanol 98,5%/1,5% (v/v).

### e) Revelação

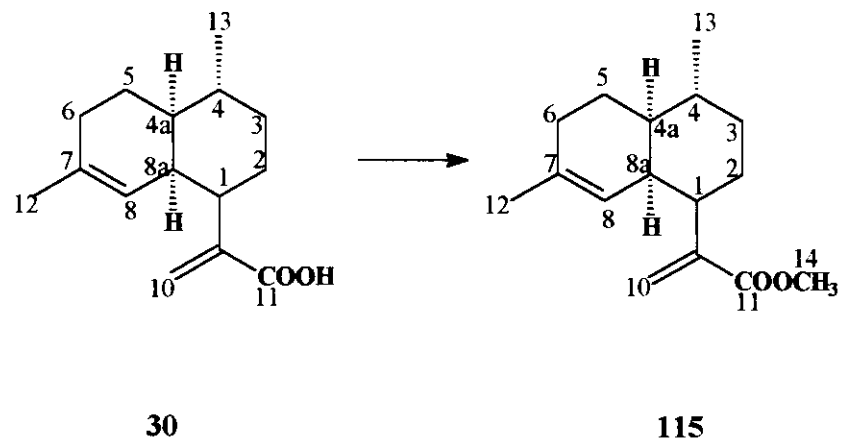
Colocou-se a cromatoplaca em uma placa de Petri contendo revelador de anisaldeído (50 ml de ácido acético glacial; 1 ml de ácido sulfúrico concentrado; 0,5 ml de anisaldeído), por 10s, aqueceu-se em chapa e observou-se a artemisinina com coloração amarela passando a lilás.

**Tabela 15:** Teor de Óleo Essencial e Teor de Artemisinina 13

<b>Amostra</b>	<b>% óleo</b>	<b>% artemisinina <u>13</u></b>
1	0,04	0,24
2	0,10	0,16
3	0,13	0,32
4	0,13	0,40
5	0,08	0,40
6	0,07	0,39
7	0,06	0,40
8	0,06	0,20
9	0,09	0,40
10	0,22	0,20
11	0,09	0,40
12	0,03	0,20
13	0,09	0,08
14	0,14	0,08
15	0,17	0,03
16	0,21	0,03
17	0,34	0,02

## Transformações químicas para obtenção de amorfanos

### 1) Metilação do ácido artemisinínico /69/



30

115

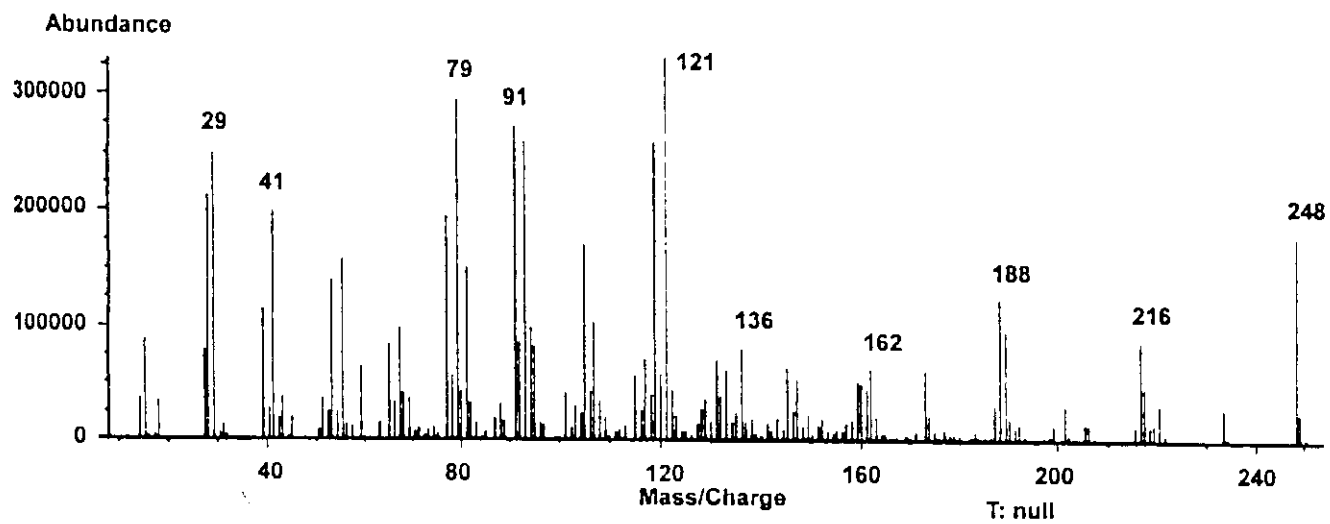
A uma solução de ácido artemisinínico 30 (1g, 4,03 mmol) dissolvido em éter etílico (100 ml) à 0°C adicionou-se uma solução de diazometano gota a gota até o desaparecimento da coloração amarela. Constatou-se a formação do produto por TLC (eluente: hexano/acetato de etila 35%) com Rf = 0,89. Evaporou-se o solvente orgânico obtendo-se 1,06 g (100% rend) de um óleo amarelado. No GC/MS utilizou-se a programação 2 observando-se um pico em 16,20 min.

Rf 0,89 (eluente hexano/acetato de etila 35%)

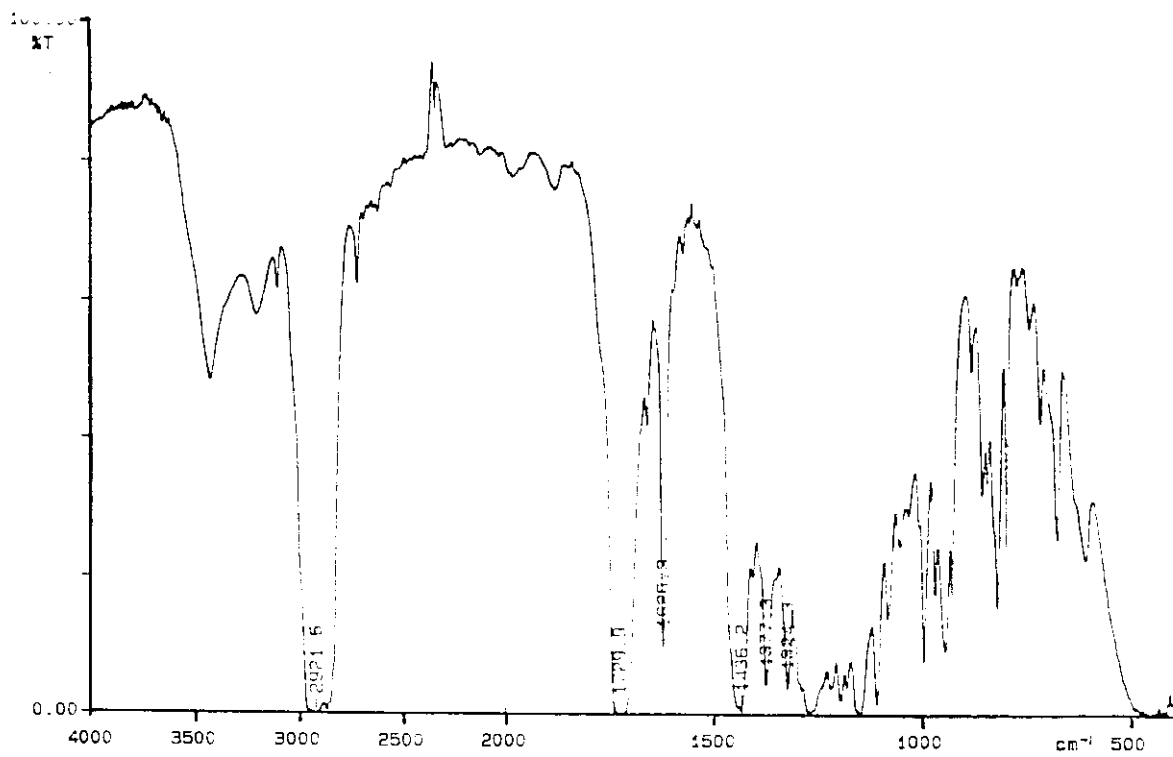
EM(70eV):m/z(%)248(19), 216(14), 188(17,5), 162(16), 136(24), 121(100), 93(63), 79(35).

IVTF(KBr):v(cm<sup>-1</sup>)2921,6(CH);1729,9(C=O);1625,3(C=CH<sub>2</sub>);1436,2(C=C)

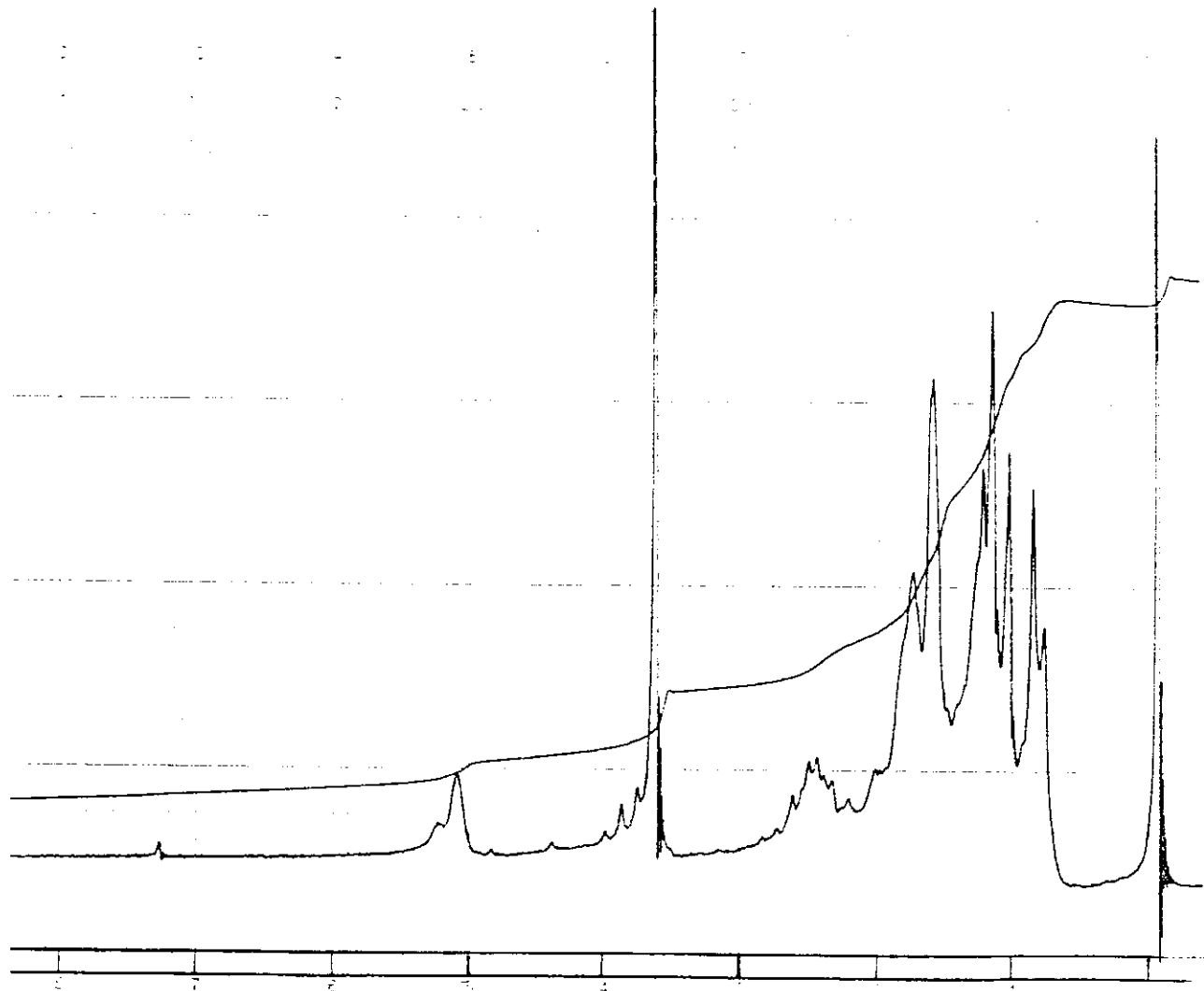
RMN<sup>1</sup>H(300MHz, CDCl<sub>3</sub>): δ 0,82(d, H<sub>13</sub>, J=0,08); 1,62(s, H<sub>12</sub>); 3,7(s, H<sub>14</sub>); 4,92(sl, H<sub>8</sub>); 5,4 e 6,3(s, H<sub>10</sub>)



E-115.1: ESPECTRO DE MASSAS DA COMPOSTO 115

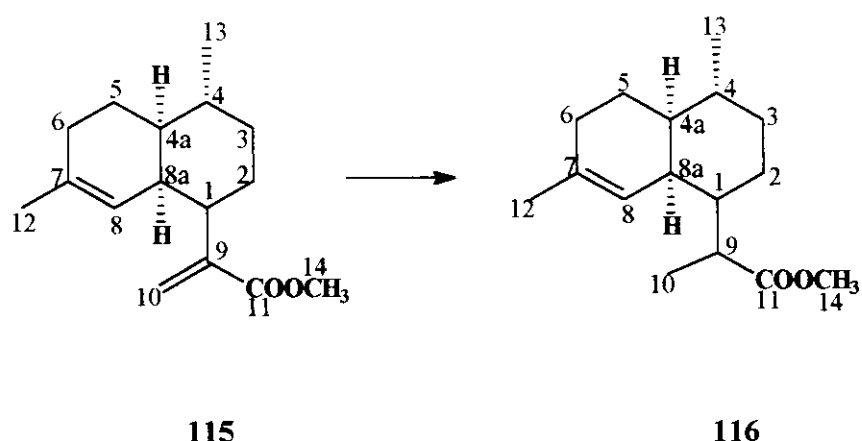


E-115.2: ESPECTRO NO INFRA-VERMELHO DO COMPOSTO 115



E-115.3: ESPECTRO DE RMN $^1\text{H}$  (60MHz,  $\text{CDCl}_3$ ) COMPOSTO 115

**2) Redução da dupla terminal /70/**



Dissolveu-se o composto **115** (1g; 4,0 mmol) em metanol tratado ( 50 ml ). Abaixou-se a temperatura da mistura até 0°C e adicionou-se  $\text{NiCl}_2$  ( 35,4 mg; 2,73 mmol ). Aos poucos adicionou-se  $\text{NaBH}_4$  (478,35 mg; 9,9 mmol) e deixou-se reagindo durante 8 horas a temperatura ambiente. Destruiu-se o meio de reação utilizando HCl 1N (até ficar esbranquiçado) e extraiu-se com éter etílico (3 x 50 ml). A fração orgânica foi seca sobre  $\text{Na}_2\text{SO}_4$  anidro, filtrado e evaporado fornecendo 806 mg de um óleo ( 80% rendimento). A formação do composto **116** foi confirmado por CG/MS, utilizando a programação 2, observou-se dois picos com tempo de retenção 15,4 e 16,3 com a mesma fragmentação (uma proporção de 0,77:1 respectivamente):

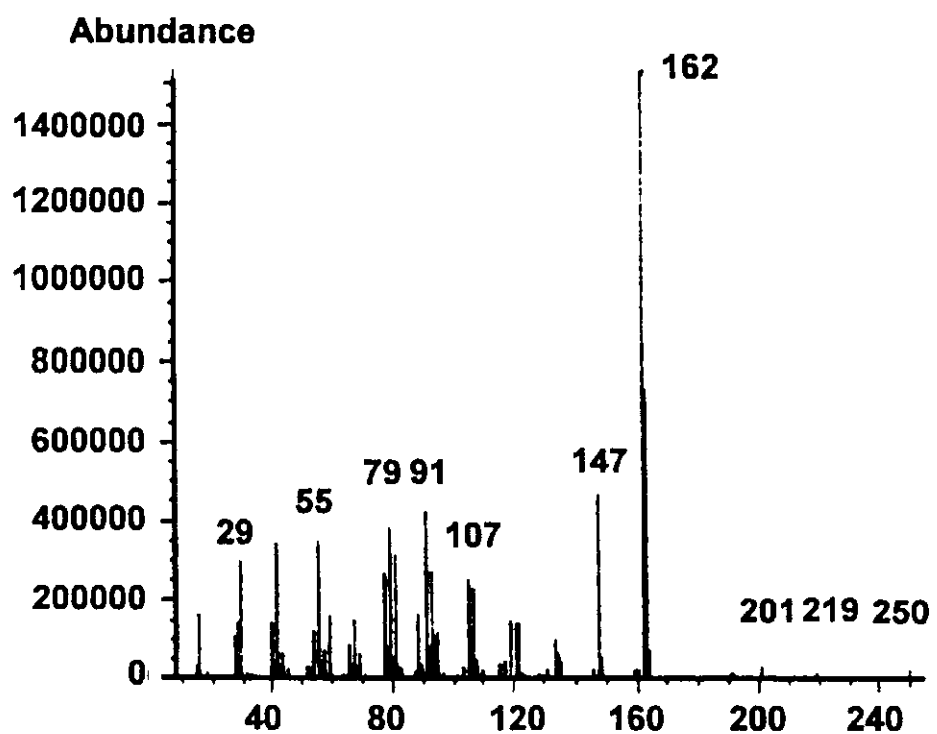
**Rf** 0,87 (eluente Hexano/acetato de etila 35%)

**IR** 2026,0 e 2059,9 ( diasterioisômeros R e S sem o grupo éster)

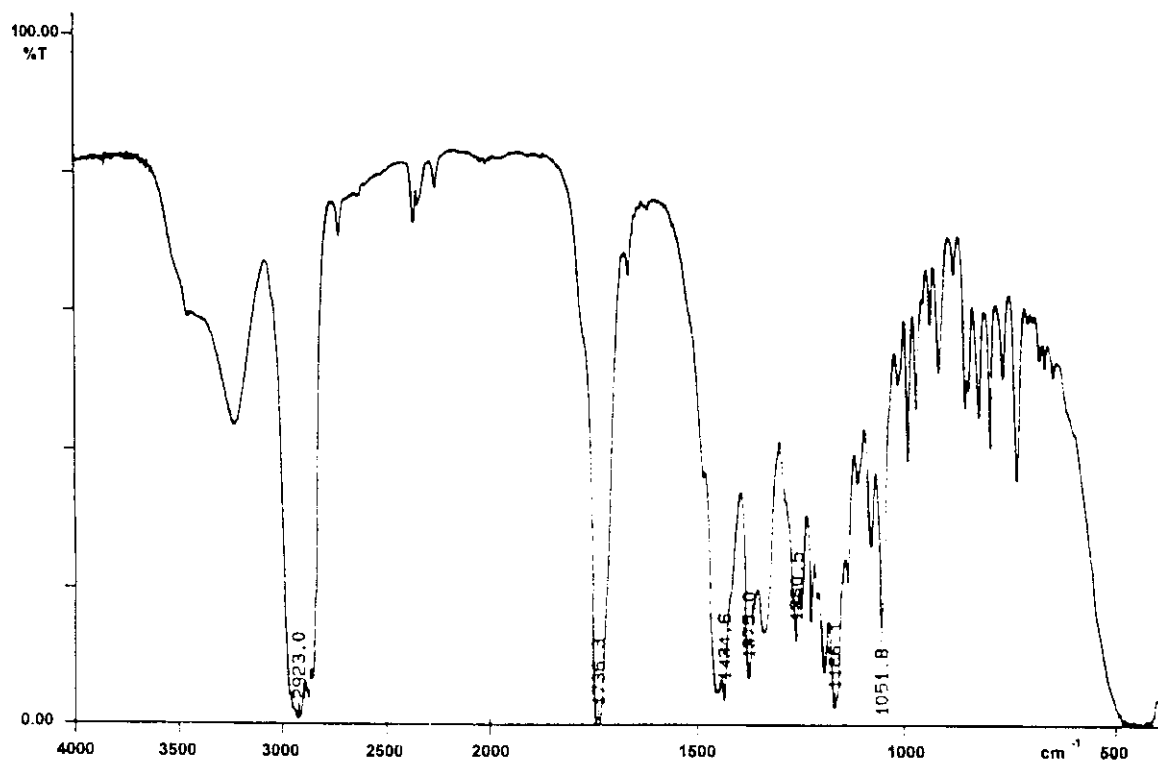
**EM(70eV):m/z(%)** 250(1.5), 162(100), 147(18), 121(18), 91(15), 79(17).

**IVTF(KBr):**  $\nu(\text{cm}^{-1})$  2923(C-H), 1736.3(C=O), 1434,6(C=C); 1375(C-O); 1260(C-O); 1051.8(C-O)

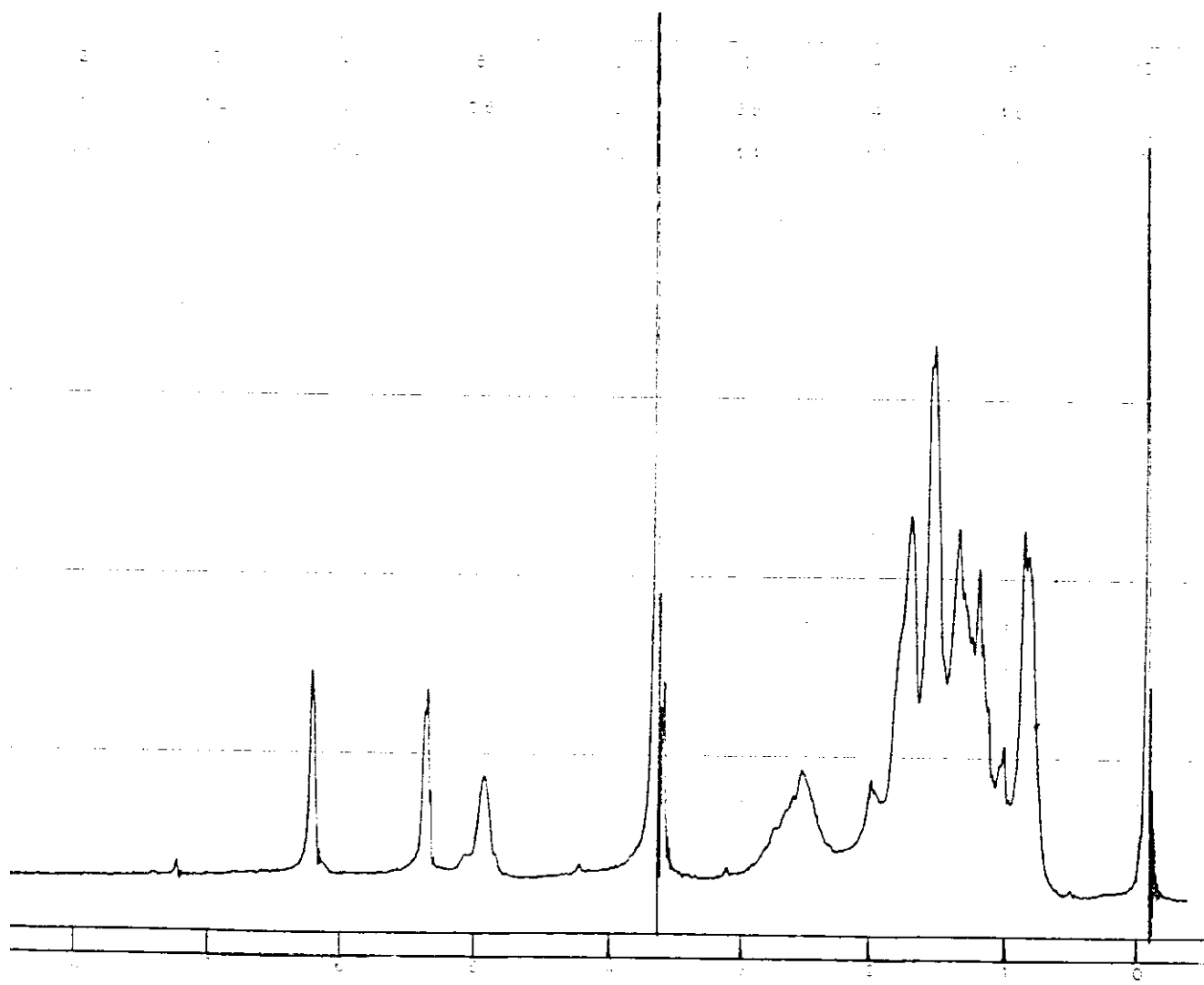
**RMN<sup>1</sup>H(300MHz,CDCl<sub>3</sub>):**  $\delta$  0,82(d, H<sub>13</sub>, J=0,08); 1,1(d, H<sub>110</sub>, J=0,08); 1,62(s, H<sub>12</sub>); 3,6(s, H<sub>14</sub>)



E-116.1: ESPECTRO DE MASSAS DA COMPOSTO 116

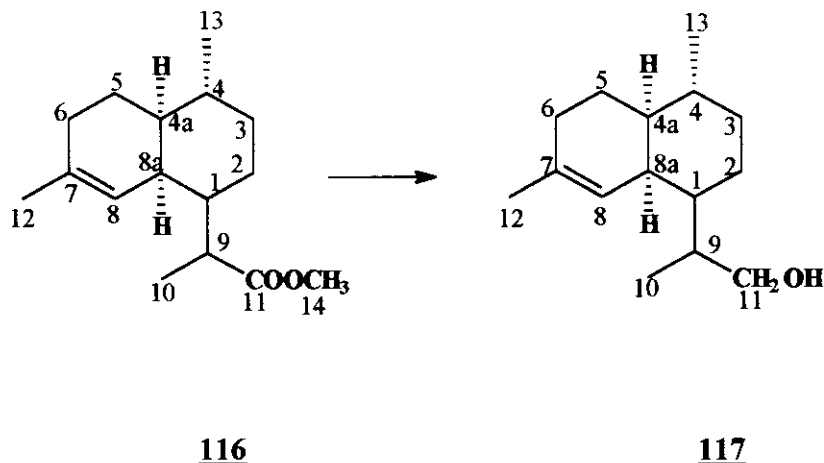


E-116.2: ESPECTRO NO INFRA-VERMELHO DO COMPOSTO 116



E-116.3: ESPECTRO DE RMN $^1\text{H}$  (60MHz,  $\text{CDCl}_3$ ) COMPOSTO **116**

**3) Redução do éster 116 /71/**



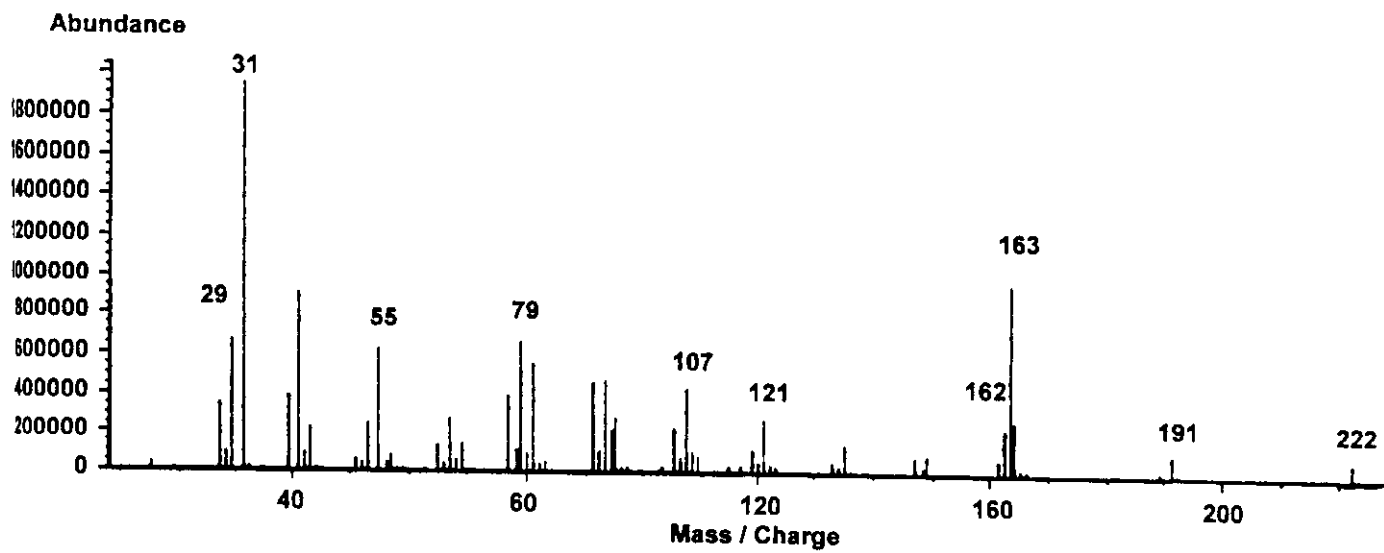
Ao composto 116 (800 mg, 3,2 mmol) dissolvido em THF tratado, sob atmosfera de N<sub>2</sub> a 0°C adicionou-se LiAlH<sub>4</sub> (644 mg; 16,9 mmol) lentamente durante uma hora. Após deixou-se reagindo durante aproximadamente quatro horas a temperatura ambiente. Ao final deste tempo destruiu-se o LiAlH<sub>4</sub> utilizando inicialmente etanol e após água. Extraiu-se a reação com éter etílico, secou-se sobre NaSO<sub>4</sub> anidro e evaporou-se o solvente obtendo-se 710 mg do composto 117 (100% de rendimento) sob forma de óleo. Confirmou-se a formação do produto por CG/MS utilizando a programação 2, observando-se um pico em 16,9 min.

**RF** 0,21 (eluente Hexano/acetato de etila 35%)

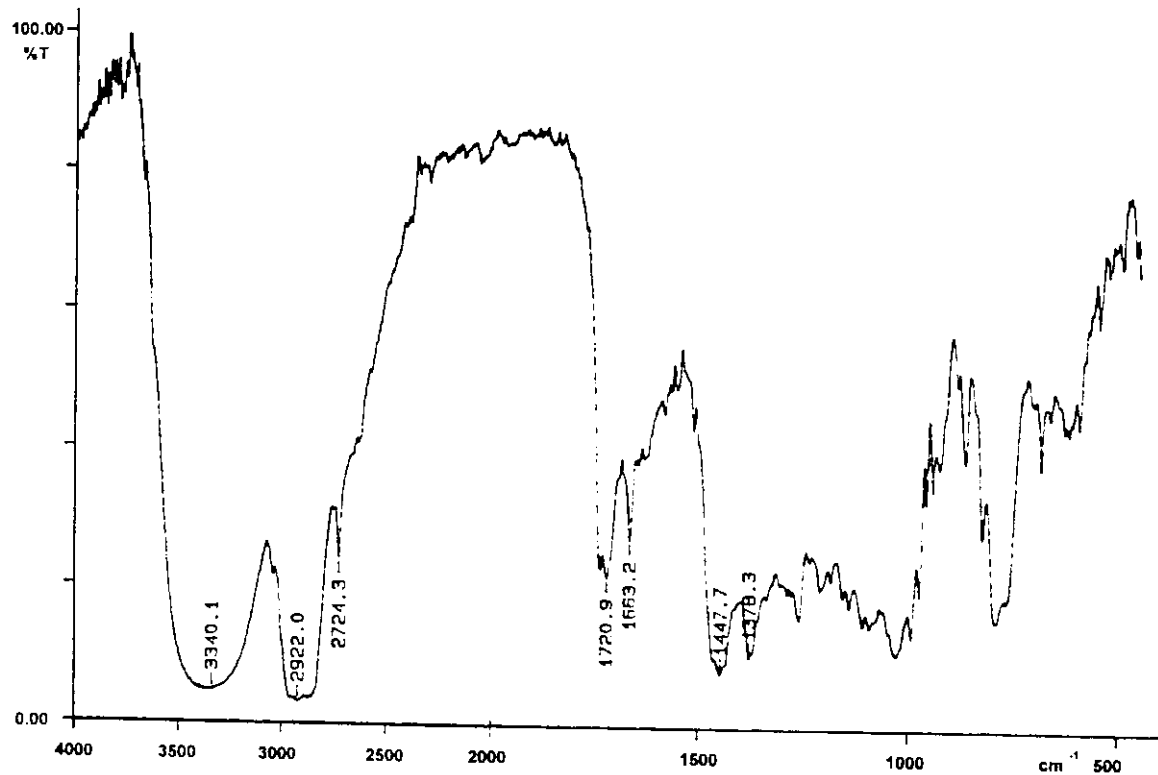
**EM(70eV):m/z(%)**222(6.8), 191(11), 163(100), 149(9), 121(13), 107(45), 79(64).

**IVTF(KBr):v(cm<sup>-1</sup>)**3360,5(OH);2920,2868,4(C-H);1448(C=C);1238(C-O);1027,7(C-O)

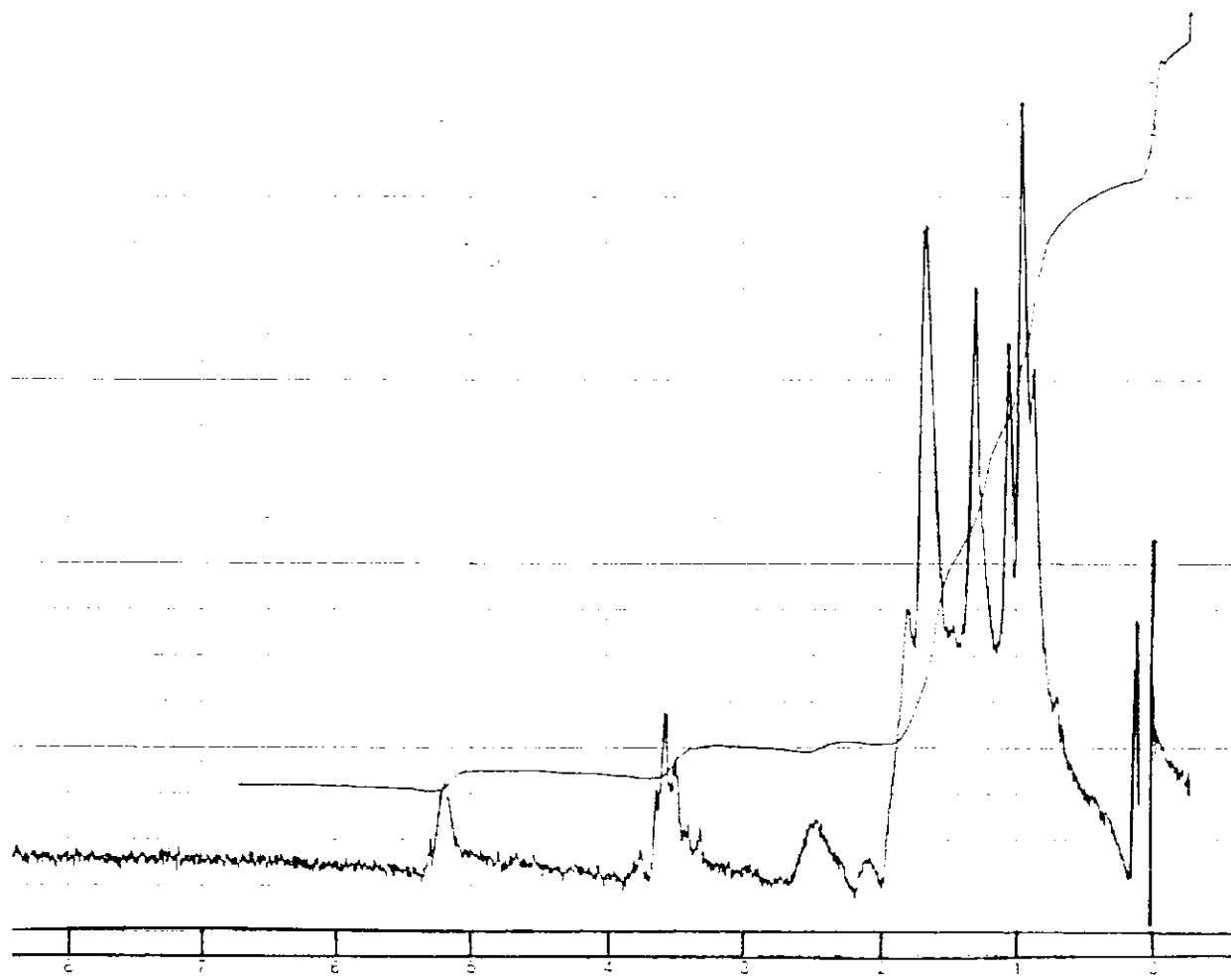
**RMN<sup>1</sup>H(300MHz,CDCl<sub>3</sub>):**δ0,80(d,H<sub>13</sub>,J=0,08);0,98(d,H<sub>10</sub>,J=0,08);1,63(s,H<sub>12</sub>);3,55 e 3,65(m,H<sub>11</sub>)



E-117.1: ESPECTRO DE MASSAS DA COMPOSTO 117

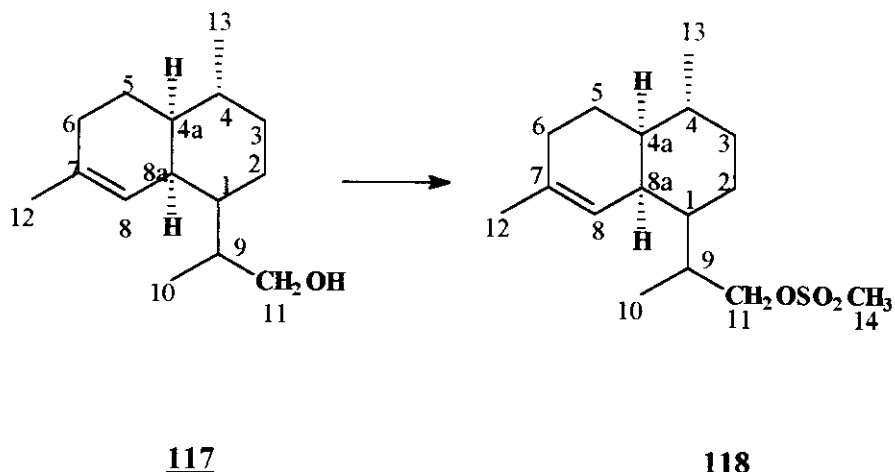


E-117.2: ESPECTRO NO INFRA-VERMELHO DO COMPOSTO 117



E-117.3: ESPECTRO DE RMN $^1\text{H}$  (60MHz,  $\text{CDCl}_3$ ) COMPOSTO 117

**4) Reação de mesilação /72/**



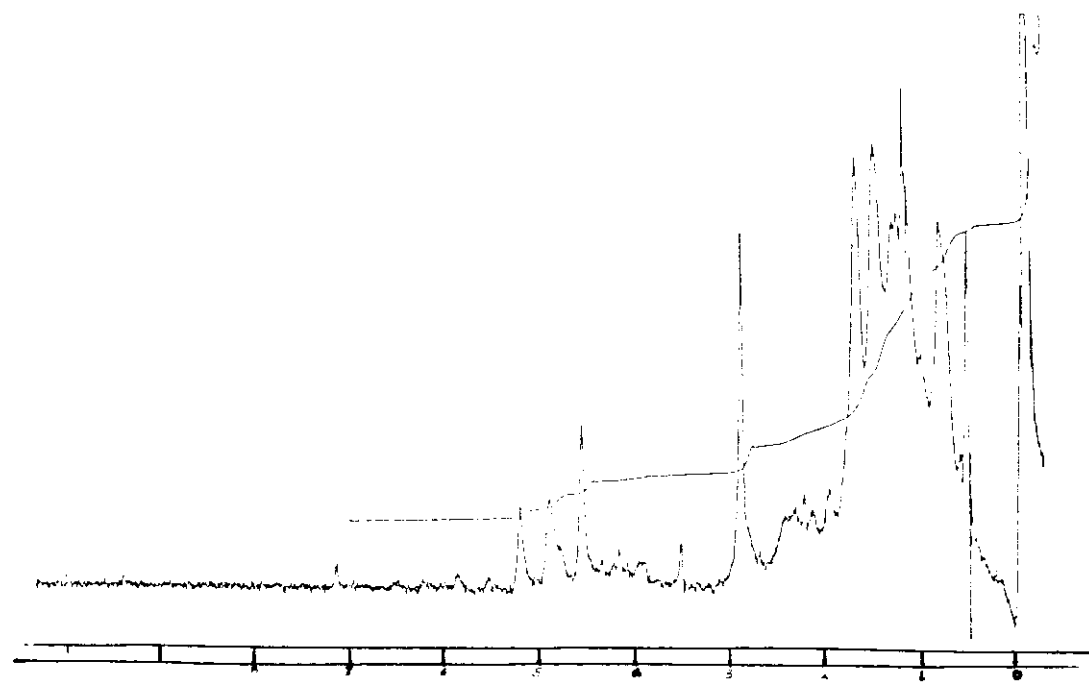
Adicionou-se ao composto 117(710 mg, 3,1 mmol) dissolvido em  $\text{CH}_2\text{Cl}_2$  (31,3 ml) a 0°C trietilamina (27,2 gotas)e em seguida cloreto de mesila (14 gotas) previamente destilados. Deixou-se reagindo 10 min, verteu-se sobre gelo e adicionou-se HCl 10% (30 ml) e extraiu-se, após extraiu-se com solução saturada de bicarbonato de sódio e em seguida com água. Secou-se sobre  $\text{NaSO}_4$  anidro, filtrou-se e evaporou-se o solvente obtendo-se 768 mg (76% de rendimento) do composto 118.

**Rf** 0,20 (eluente Hexano/acetato de etila 35%)

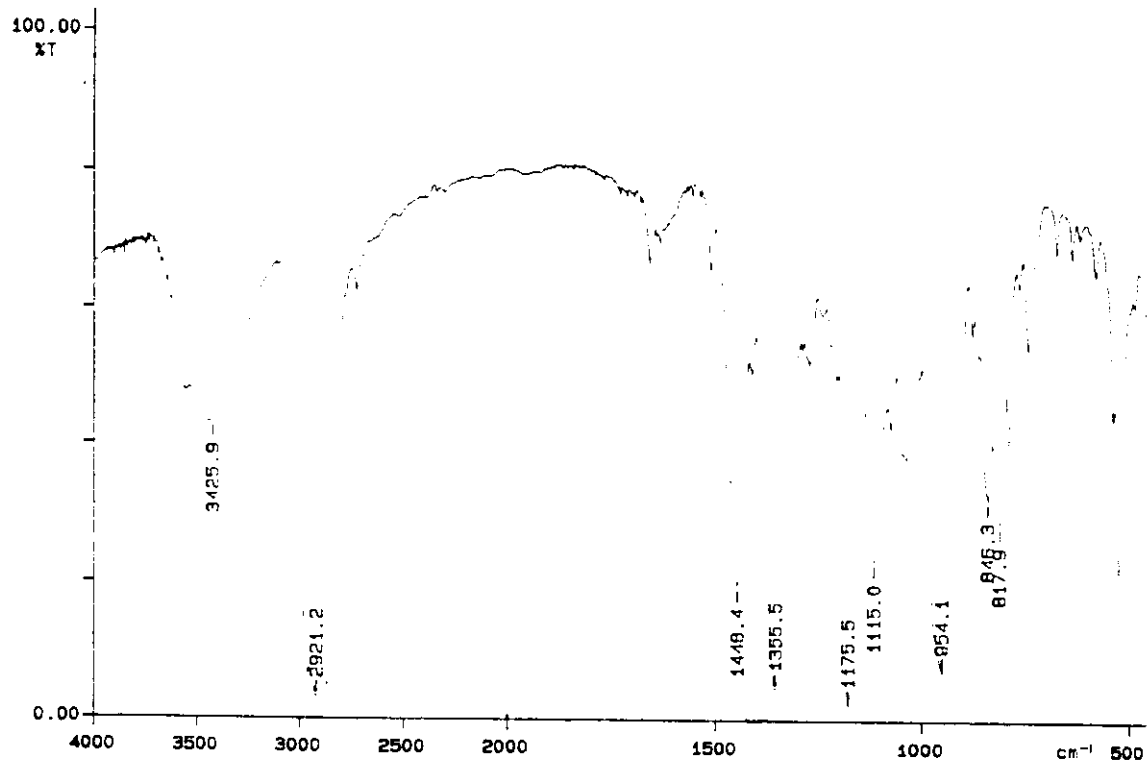
**IVTF(KBr):**  $\nu(\text{cm}^{-1})$  2920,5,2868,6(C-H); 1448,5(C=C);

1355,2(S=O); 1176,6(S=O)

**RMN<sup>1</sup>H(300MHz,CDCl<sub>3</sub>):**  $\delta$  0,82(d,H<sub>13</sub>,J=0,08); 0,98(d,H<sub>10</sub>,J=0,08); 1,64(s,H<sub>12</sub>); 3,0(s, H<sub>14</sub>); 5,3(m,H<sub>8</sub>)

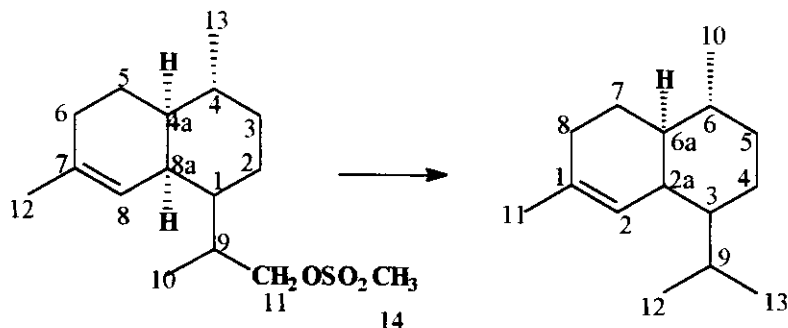


E-118.1: ESPECTRO DE RMN ${}^1\text{H}$  (60MHz,  $\text{CDCl}_3$ ) DA COMPOSTO **118**



E-118.2: ESPECTRO DE INFRA-VERMELHO DO COMPOSTO **118**

**5) Redução do composto 118 /71/**



**118**

**112**

Ao composto **118** (768 mg, 2,4 mmol) previamente preparado, dissolvido em THF e sob atmosfera de N<sub>2</sub> a 0°C, adicionou-se LiAlH<sub>4</sub>(873 mg, 23 mmol) aos poucos e deixou-se reagir a temperatura ambiente durante uma noite. Destruí-se o hidreto utilizando etanol e após água. Extraiu-se a reação com éter etílico (3 x 50 ml). Secou-se sobre Na<sub>2</sub>SO<sub>4</sub> anidro, filtrou-se e evaporou-se o solvente obtendo-se 300 mg de um óleo **112** ( 60% de rendimento) após a purificação em coluna cromatográfica impregnada com AgNO<sub>3</sub> 10% observou-se por CG/MS , utilizando a programação 2, um pico em 9,8 min.

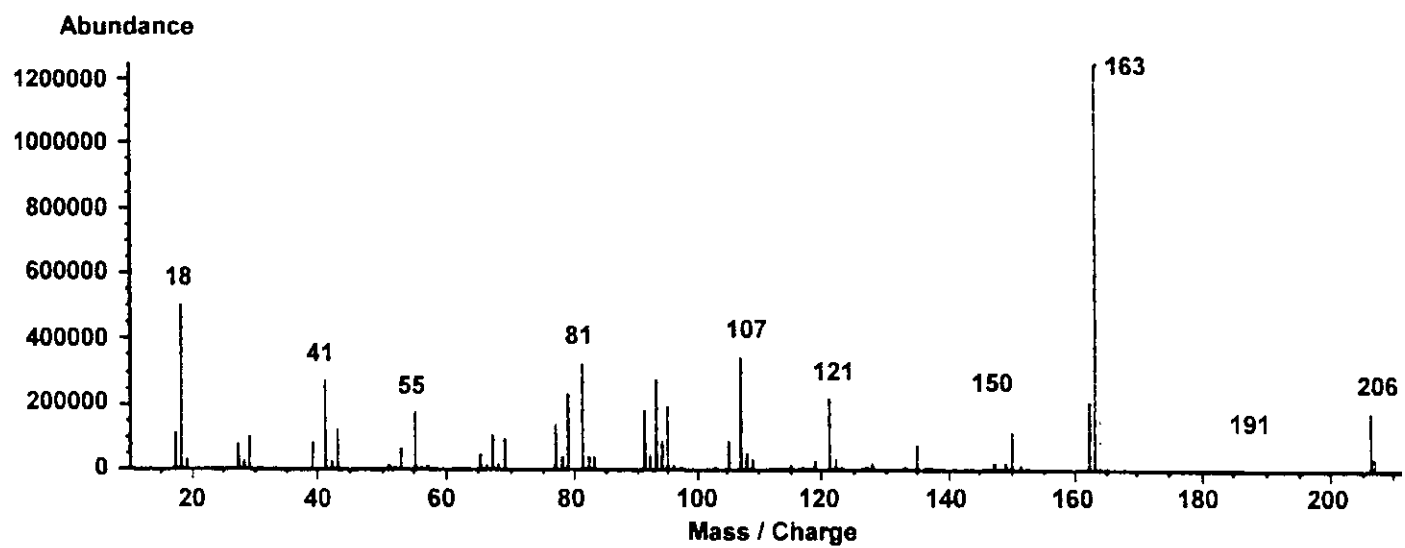
**Rf** 0,84 (eluente Hexano/acetato de etila 20%)

**EM(70eV):m/z(%)** 206(14,3), 163(100), 150(7), 121(16), 107(25), 81(14,3)

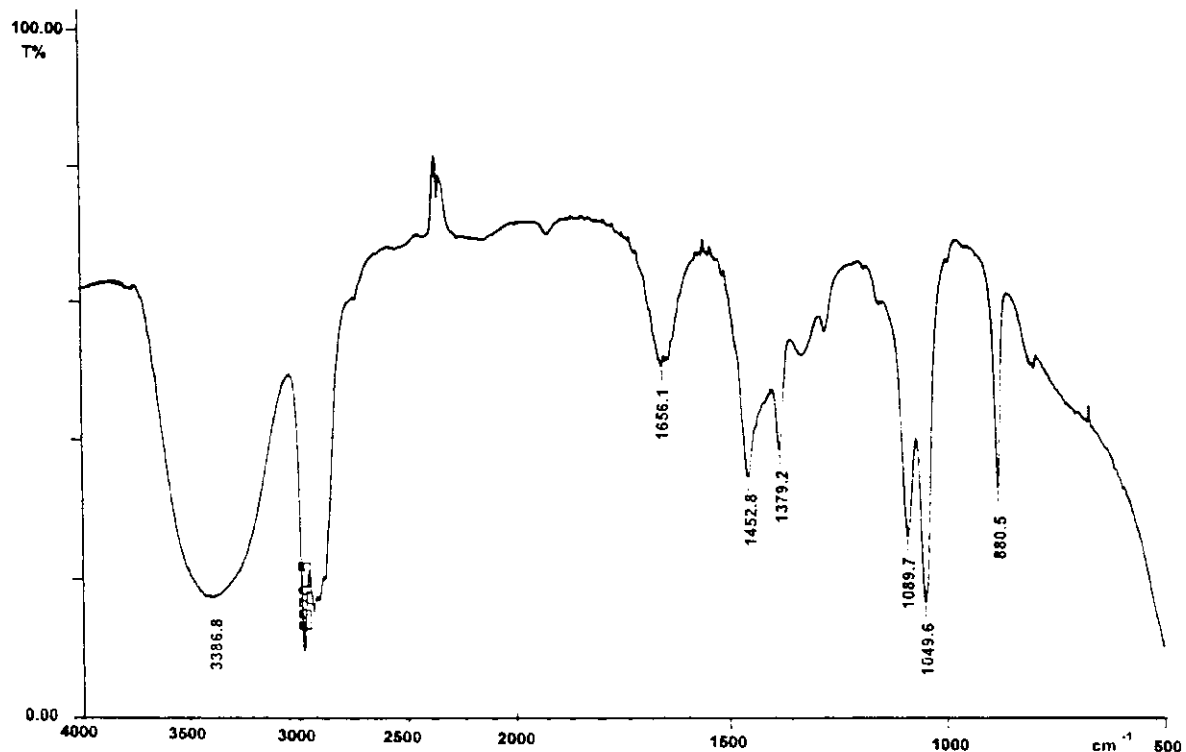
**IVTF(KBr):v(cm<sup>-1</sup>)** 3018,6,2926,4(C-H); 1460,2(C=C)

**RMN<sup>1</sup>H(300MHz,CDCl<sub>3</sub>):** δ 0,79(d,H<sub>10</sub>,J=0,41); 0,82(d,H<sub>12</sub> ou 13,J=0,41); 0,84(d,H<sub>12</sub> ou 13,J=0,41)

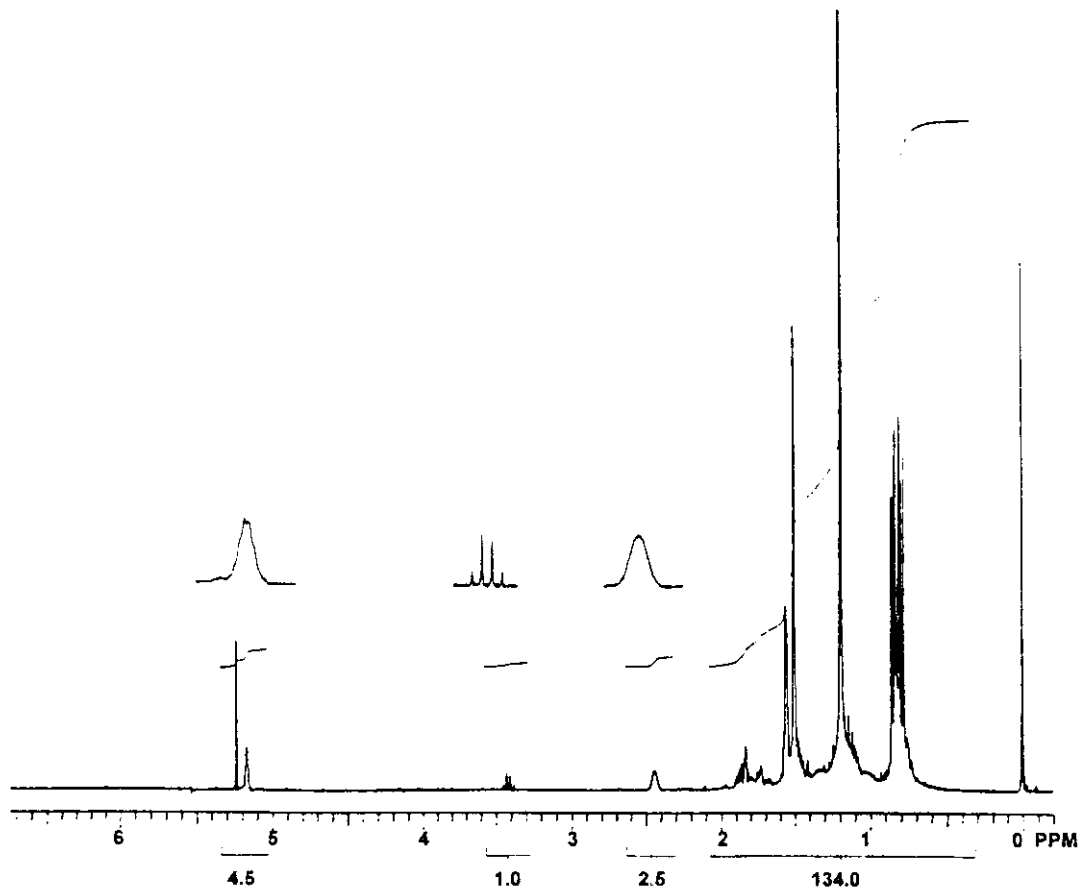
**RMN<sup>13</sup>C (75,5MHz,CDCl<sub>3</sub>):** δ 18,9(C<sub>12</sub>), 20,8(C<sub>13</sub>), 26,7(C<sub>9</sub>), 47,7(C<sub>3</sub>), 24,9(C<sub>4</sub>), 35,0(C<sub>5</sub>), 27,8(C<sub>6</sub>), 19,7(C<sub>10</sub>), 41,2(C<sub>6a</sub>), 25,8(C<sub>7</sub>), 25,5(C<sub>8</sub>), 133,9(C<sub>1</sub>), 120,3(C<sub>2</sub>), 22,9(C<sub>11</sub>)



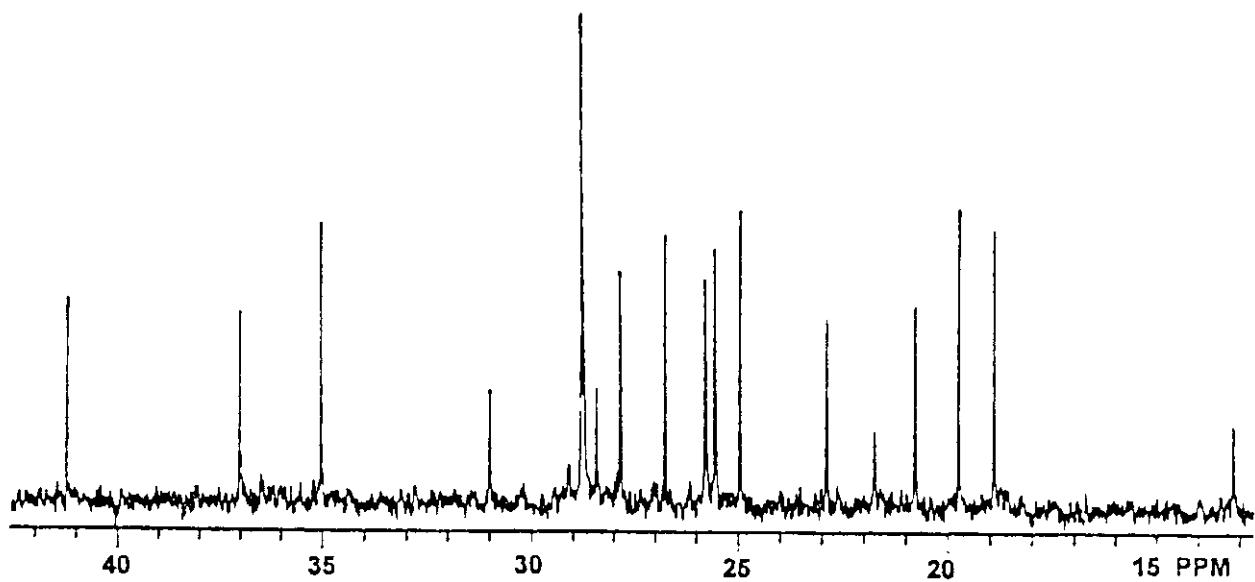
E-112.1: ESPECTRO DE MASSAS DA COMPOSTO 112



E-112.2: ESPECTRO NO INFRA-VERMELHO DO COMPOSTO 112

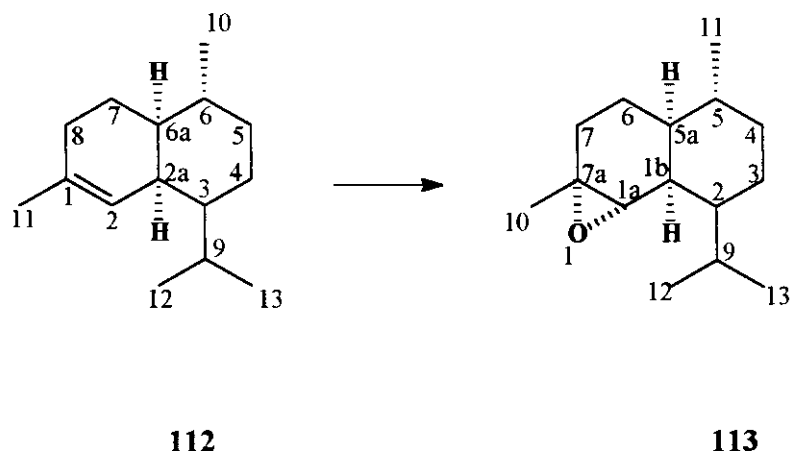


E-112.3: ESPECTRO DE RMN $^1\text{H}$  (300MHz,  $\text{CDCl}_3$ ) DO COMPOSTO 112



E-112.4: ESPECTRO DE RMN $^{13}\text{C}$  (75,5MHz,  $\text{CDCl}_3$ ) DO COMPOSTO 112

**6) Reação de epoxidação do composto 112 /73/**



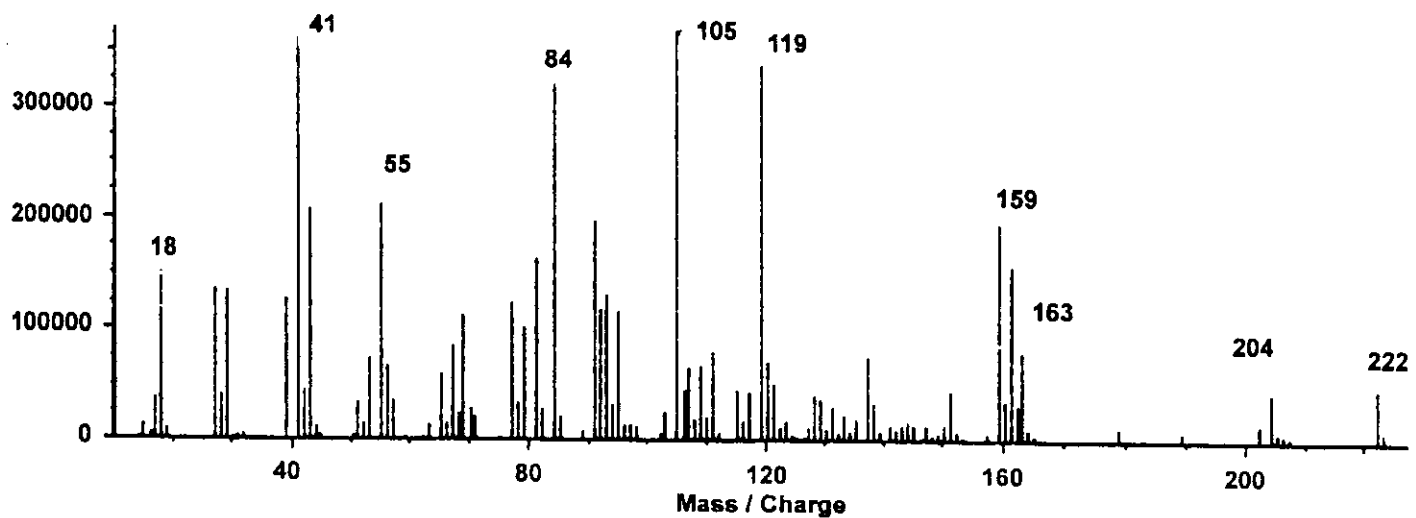
Dissolveu-se o composto **112** (300 mg, 1,45 mmol) em  $\text{CH}_2\text{Cl}_2$  (5 ml). Adicionou-se ácido meta-cloro-perbenzóico (472 mg, 2,73 mmol) e deixou-se reagindo a temperatura ambiente durante 4 horas . Após este tempo lavou-se a fase orgânica com NaOH 1N, água, secou-se sobre  $\text{Na}_2\text{SO}_4$  anidro, filtrou-se e evaporou-se o solvente. O produto resultante foi purificado por cromatografia em coluna de sílica-gel fornecendo 240 mg do composto **113** (74% de rendimento) sob forma de um cristal amorfo. Por CG/MS , utilizando a programação 2, observou-se um pico em 11,57 min.

**Rf** 0,74 (eluente Hexano/acetato de etila 20%)

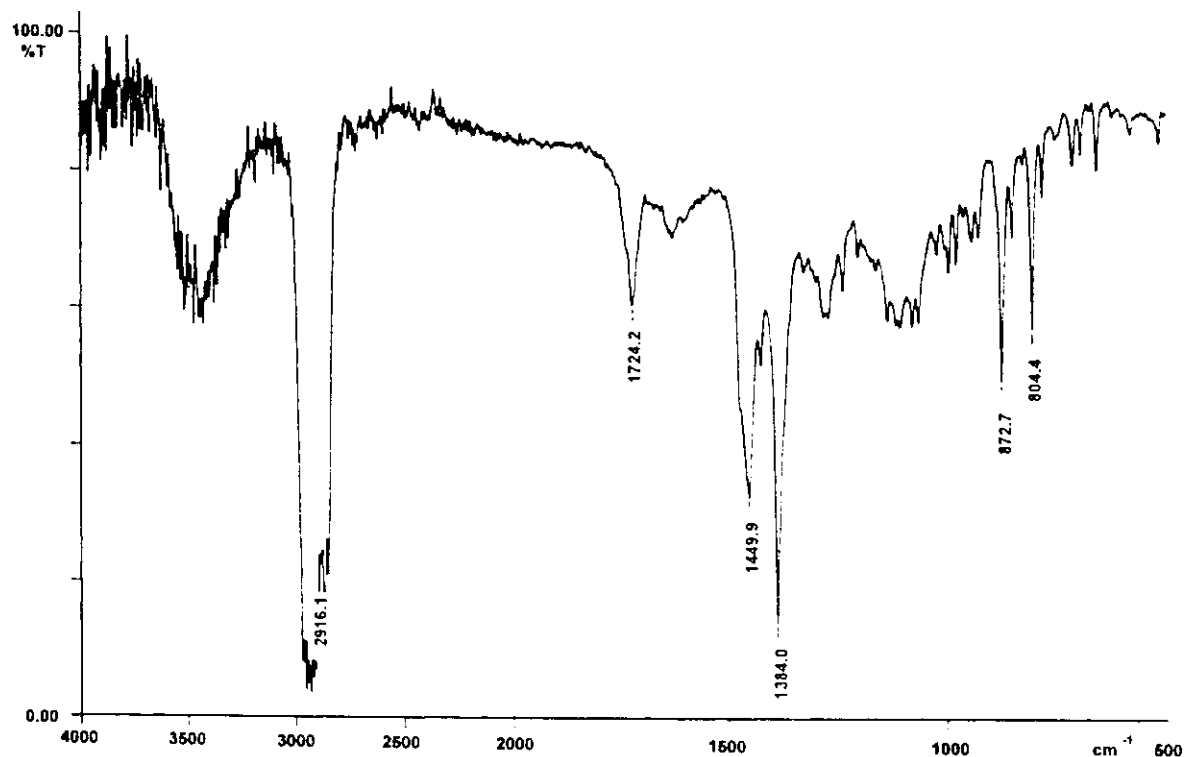
**EM(70eV):m/z(%)** 222(1,8), 179(100), 161(25), 121(19,6), 95(41)

**RMN<sup>1</sup>H(300MHz,CDCl<sub>3</sub>):** δ 0,78(d,H<sub>10</sub>,J=0,57); 0,89(d,H<sub>13</sub>,J=0,57), 0,93(d,H<sub>12</sub>,J=0,57), 0,95 (d,H<sub>2</sub>,J=0,57), 1,60 (m,H<sub>9 e 7</sub>), 1,78 e 1,72 (m,H<sub>3</sub>), 0,87 e 1,66 (m,H<sub>4</sub>), 1,18(m,H<sub>5</sub>), 0,91(m,H<sub>5a</sub>), 1,26 e 1,53 (m,H<sub>6</sub>), 1,60 e 1,84 (m,H<sub>7</sub>), 2,63 (d,H<sub>1a</sub>,J=0,14), 1,24 (s,H<sub>11</sub>)

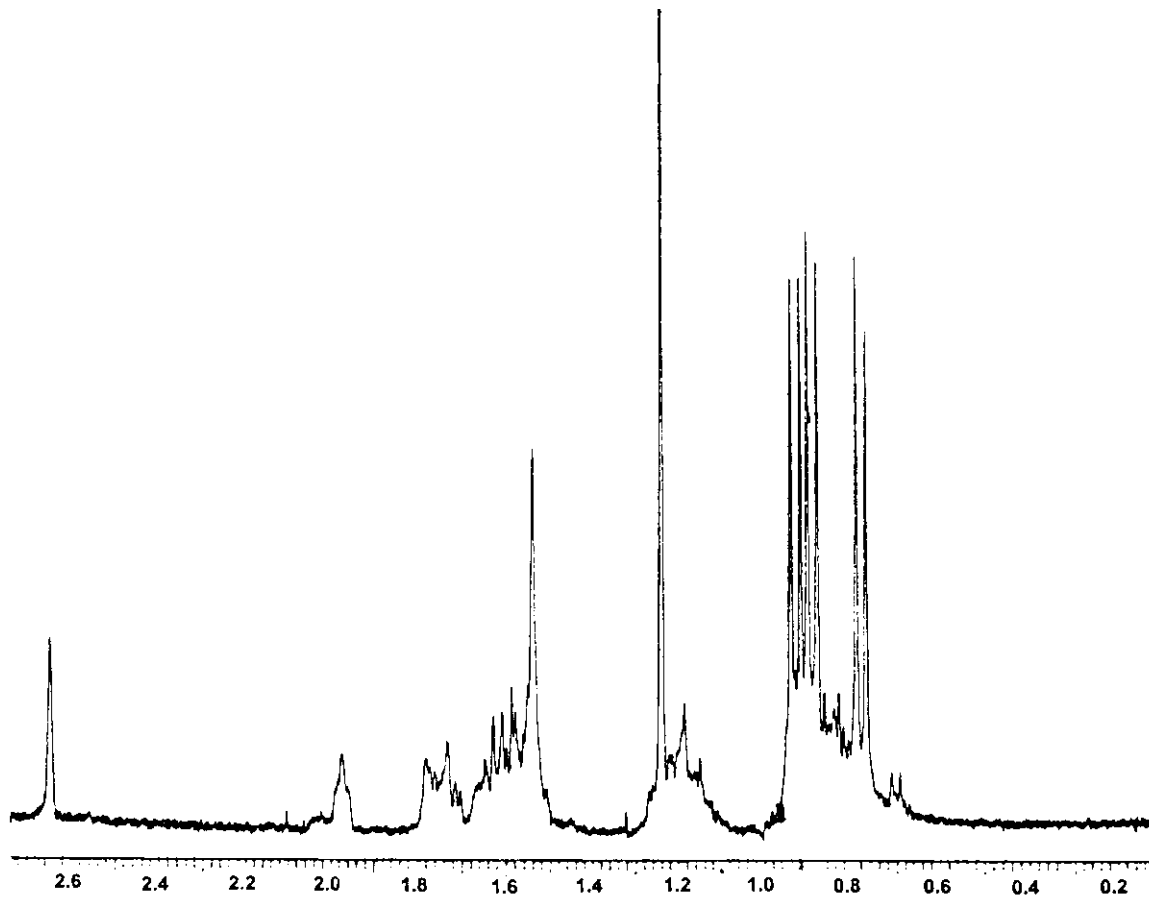
**RMN<sup>13</sup>C (75,5MHz,CDCl<sub>3</sub>):** δ 59,6(C<sub>1a</sub>), 39,4(C<sub>1b</sub>), 47,4(C<sub>2</sub>), 27,7(C<sub>3</sub>), 35,4(C<sub>4</sub>), 29,5(C<sub>5</sub>), 40,5(C<sub>6</sub>), 24,9(C<sub>7</sub>), 57,5(C<sub>7a</sub>), 29,0(C<sub>9</sub>), 19,1(C<sub>10</sub>), 23,6(C<sub>11</sub>), 20,9(C<sub>12</sub>), 21,5(C<sub>13</sub>)



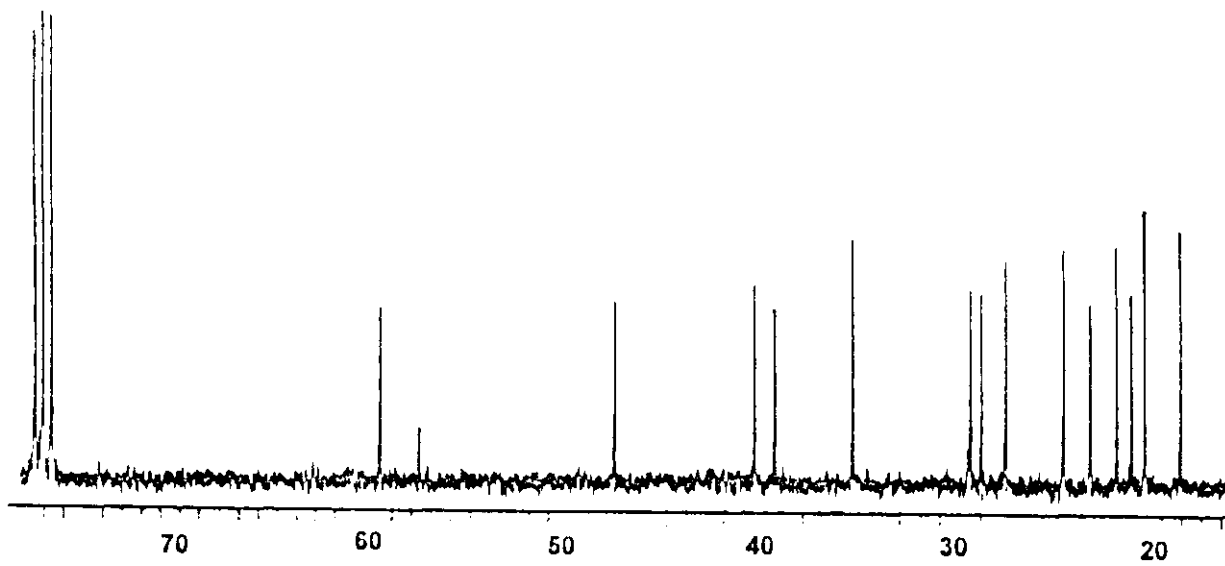
E-113.1: ESPECTRO DE MASSAS DA COMPOSTO 113



E-113.2: ESPECTRO NO INFRA-VERMELHO DO COMPOSTO 113

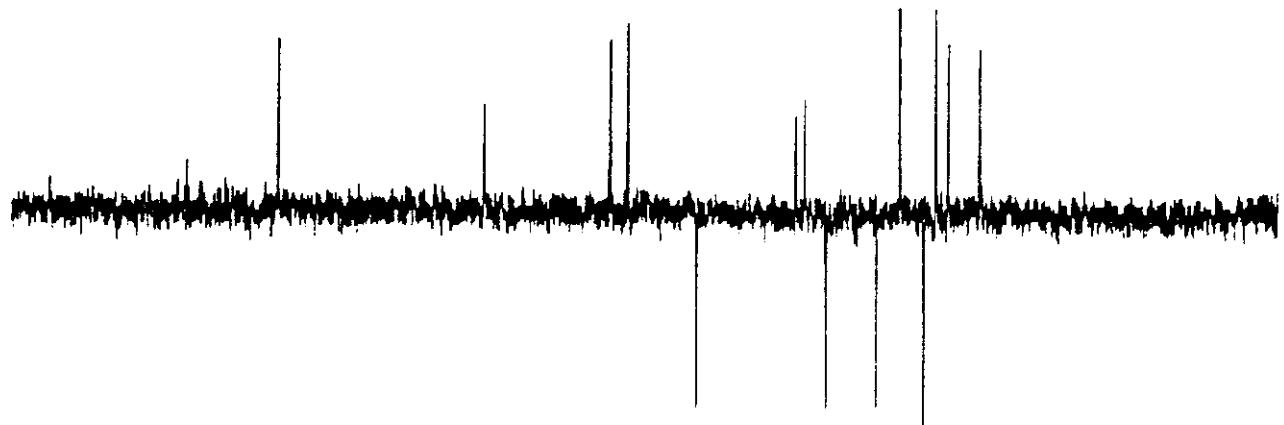


E-113.3: ESPECTRO DE RMN $^1\text{H}$  (300MHz,CDCl<sub>3</sub>) DO COMPOSTO **113**

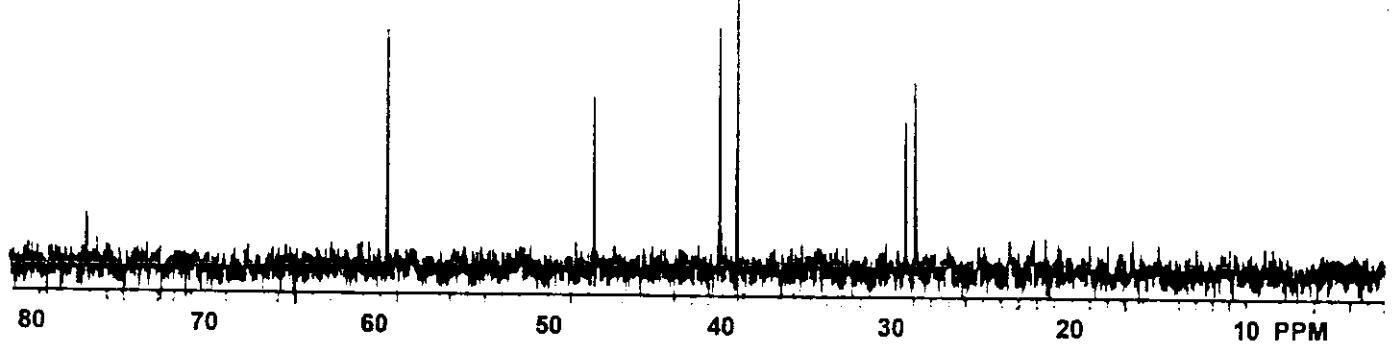


E-113.4: ESPECTRO DE RMN $^{13}\text{C}$  (75,5MHz,CDCl<sub>3</sub>) DO COMPOSTO **113**

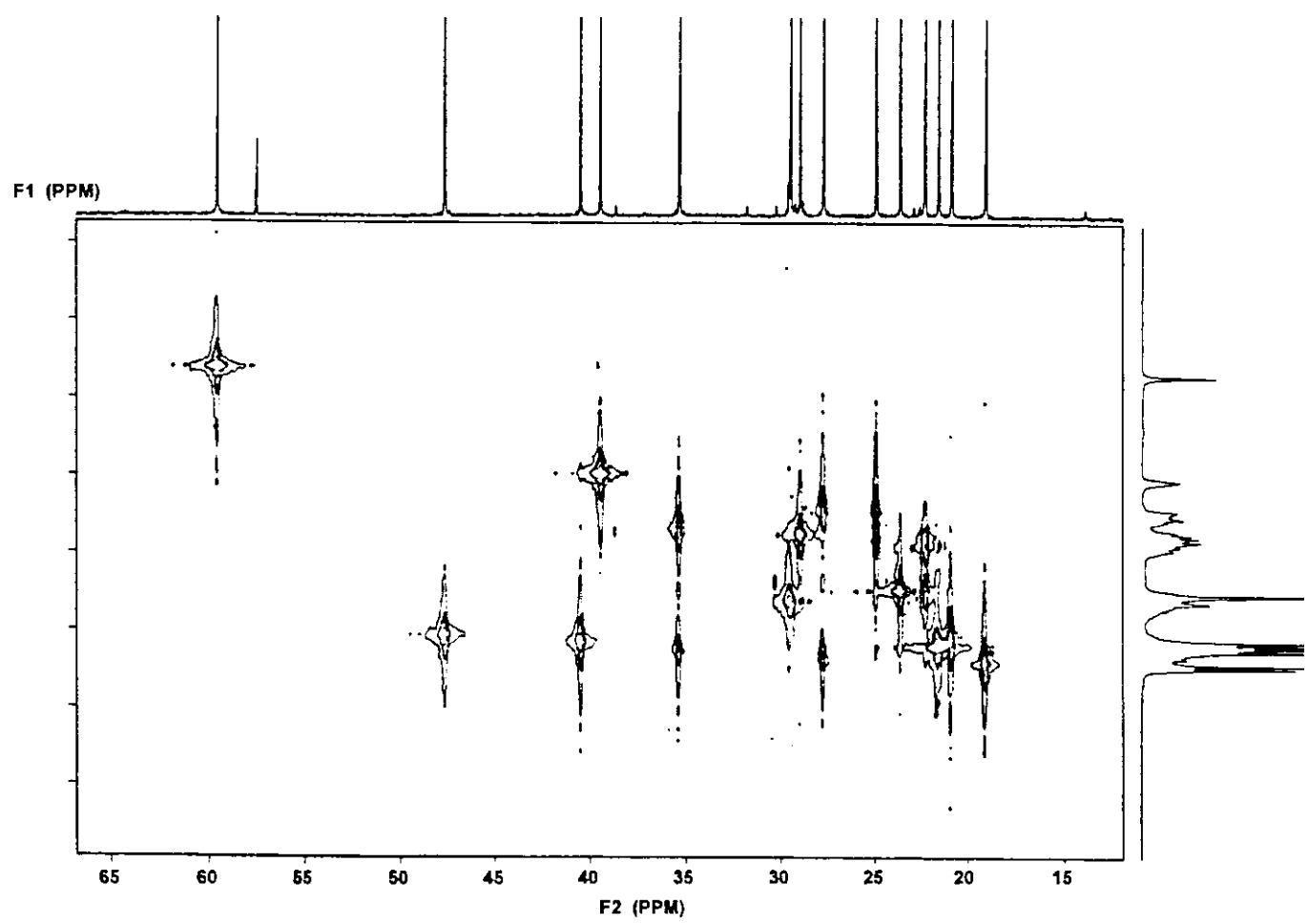
**DEPT 135**



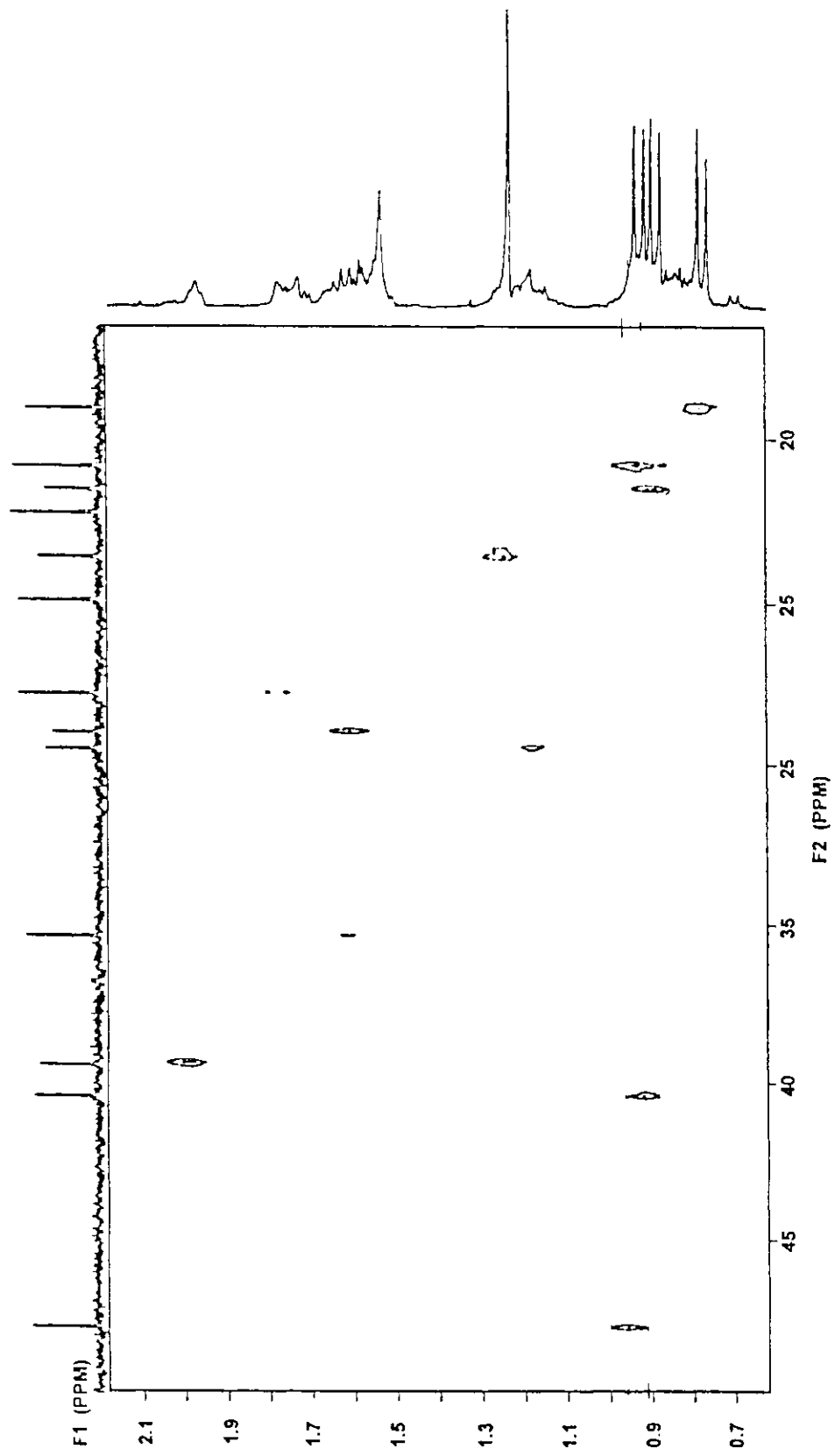
**DEPT 90**



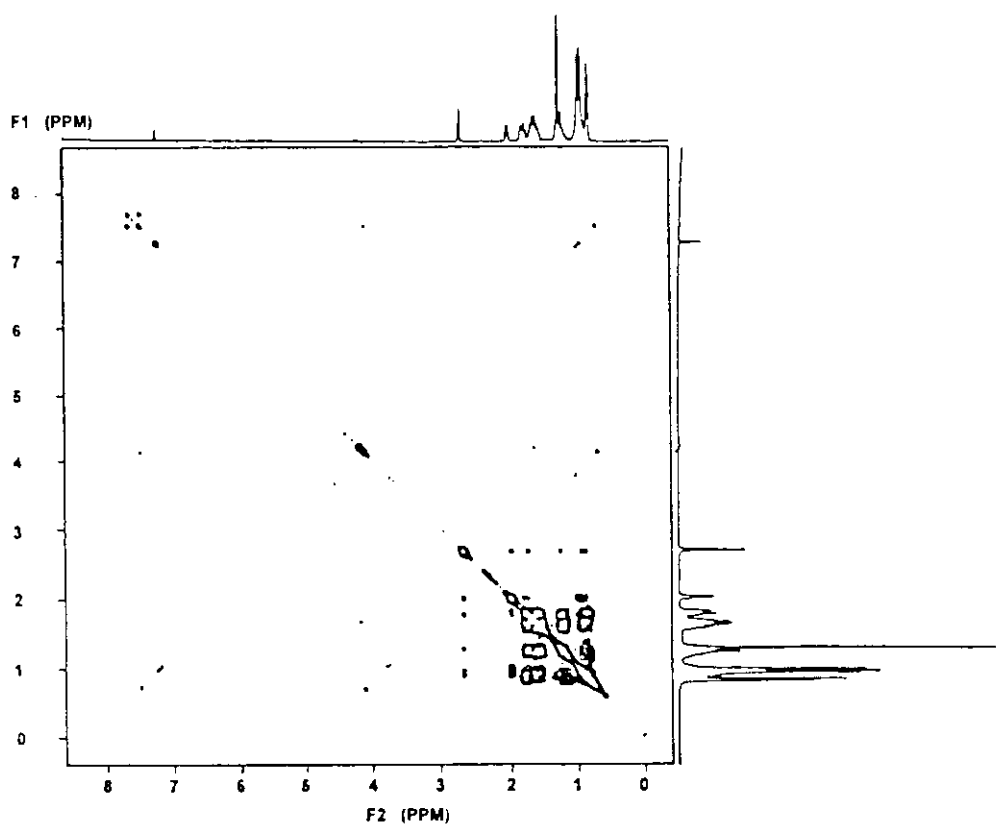
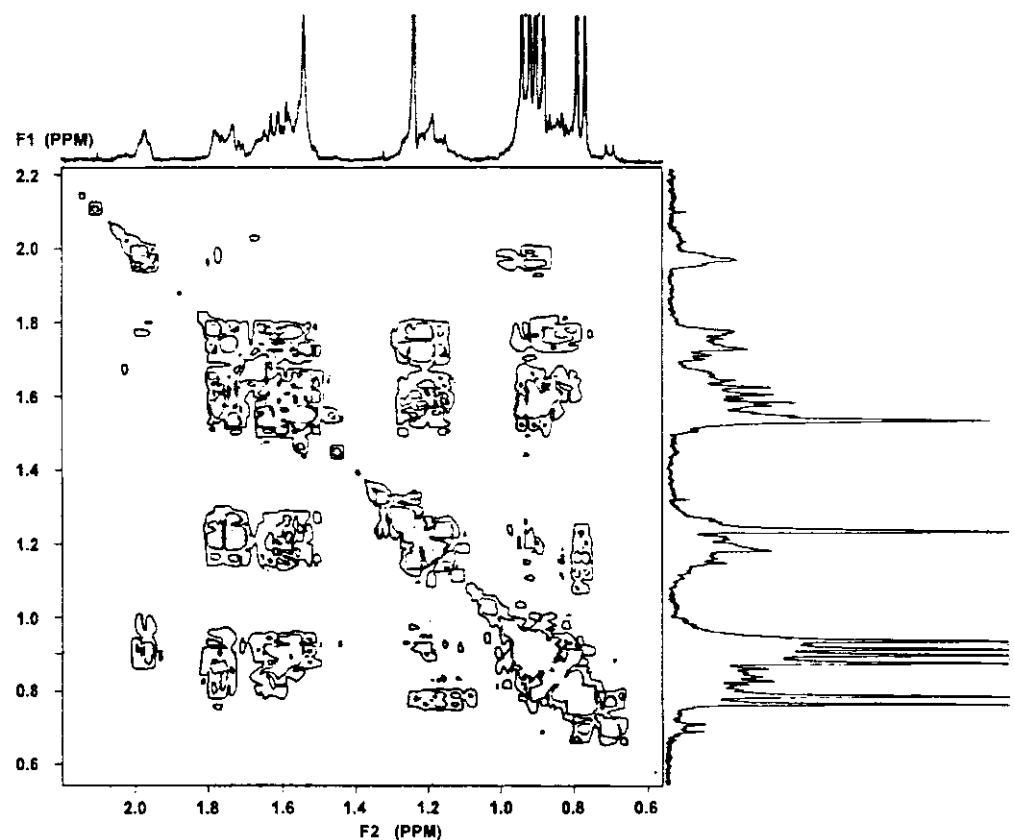
E-113.5: ESPECTRO DEPT DO COMPOSTO 113



E-113.6: ESPECTRO HETCOR DO COMPOSTO 113

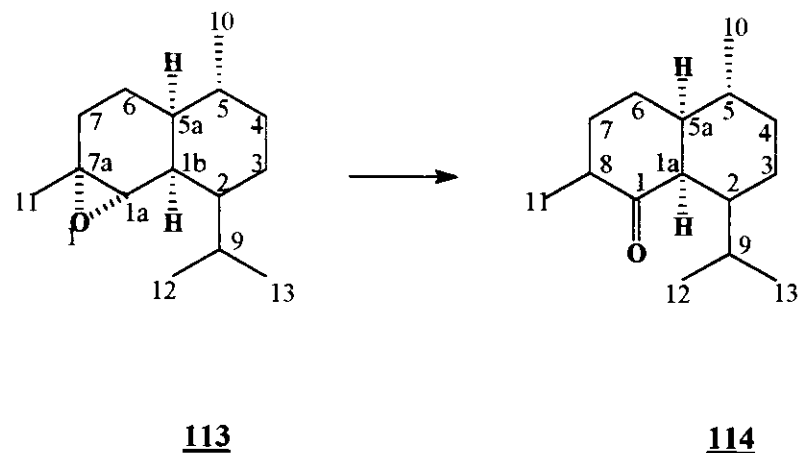


E-113.7: ESPECTRO COLOC DO COMPOSTO 113



E-113.8: ESPECTRO COSY DO COMPOSTO 113

7) Formação da cetona 114 /74/



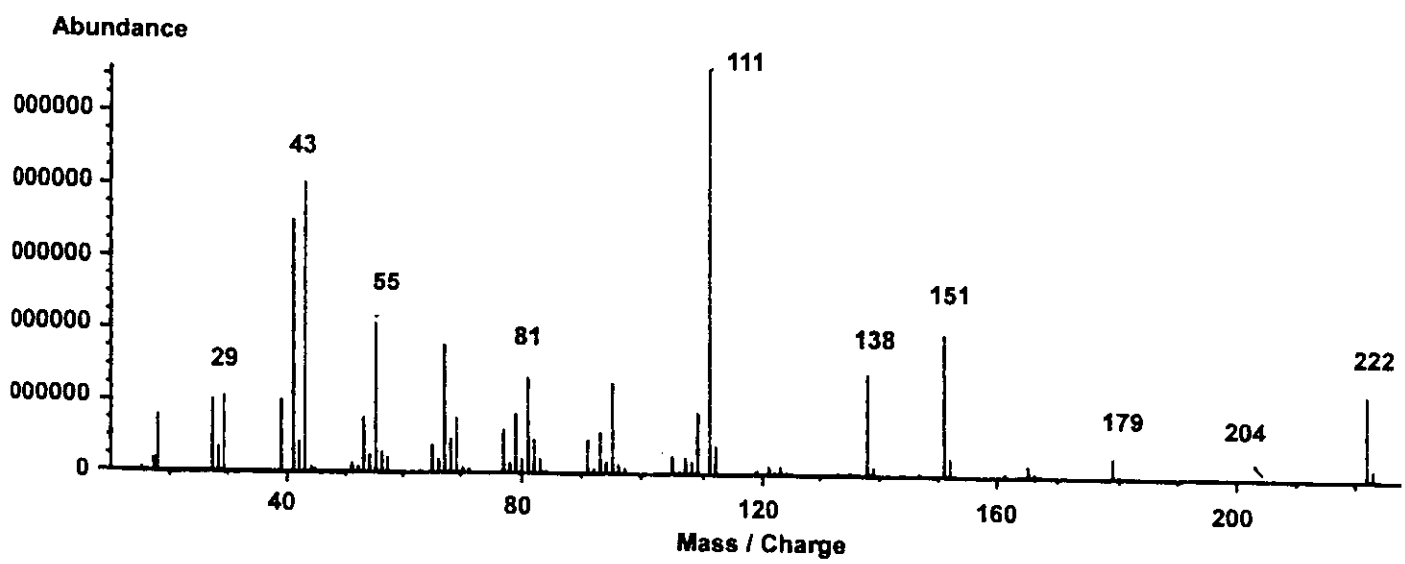
Ao composto 113 (240 mg, 1,08 mmol) dissolvido em éter etílico (20 ml) à 0°C adicionou-se  $\text{BF}_3$  previamente destilado (10 ml) gota a gota. Deixou-se reagindo a temperatura ambiente durante 12 horas. Evaporou-se o solvente e passou-se o bruto da reação numa coluna filtrante de sílica-gel para separar o  $\text{BF}_3$ . Obteve-se 72 mg de um óleo (30%), a cetona 114, a qual foi confirmada por CG/MS, utilizando a programação 2, com um pico em 12,7 min.

**RF** 0,33 (eluente Hexano/acetato de etila 20%)

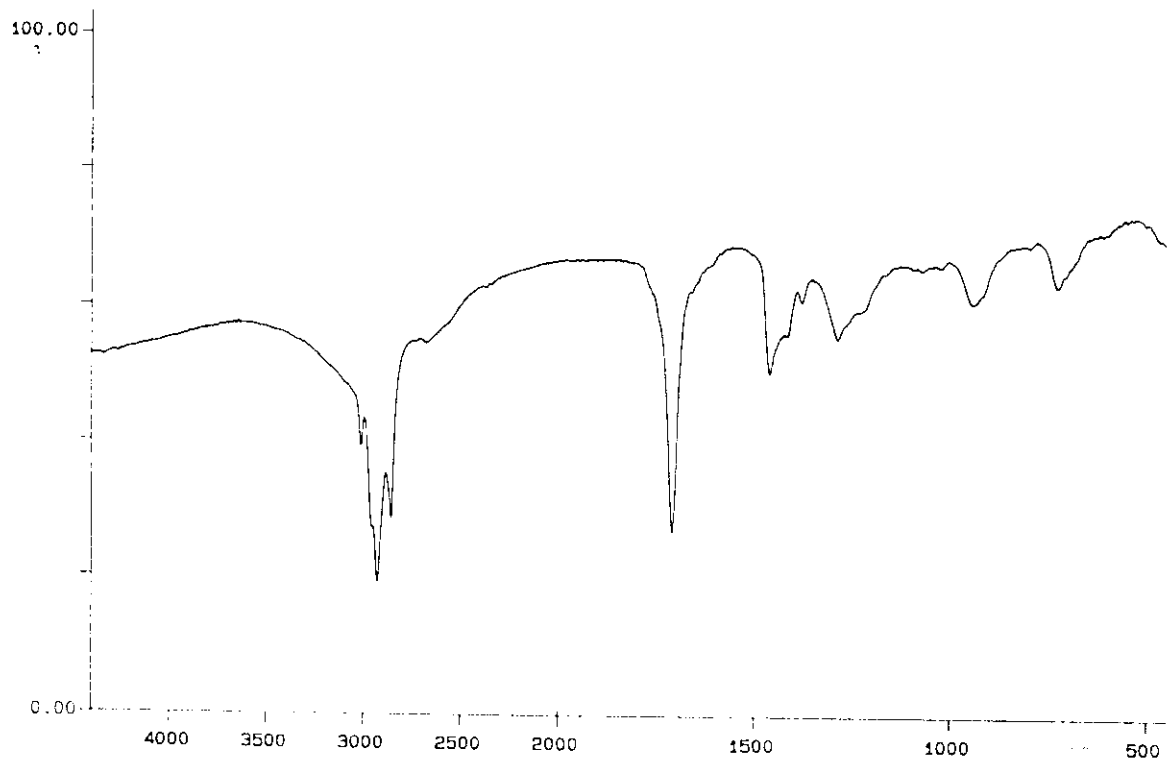
**EM(70eV):m/z(%)** 222(26,8), 179(7,1), 151(41), 138(32), 111(100), 81(23), 43(55)

**RMN<sup>1</sup>H(300MHz,CDCl<sub>3</sub>):** δ 0,68(d,H<sub>12</sub>,J=0,76), 0,81(d,H<sub>13</sub>,J=0,76), 0,80 (ddd,H<sub>2</sub>, J<sub>2,1a</sub>=J<sub>2,3</sub>=4,J<sub>2,9</sub>=11), 0,75(d,H<sub>10</sub>,J=7), 1,96(m,H<sub>9</sub>), 1,54 (m,H<sub>5a</sub>), 0,87(m,H<sub>4</sub>), 1,15(d,H<sub>11</sub>,J<sub>11,8</sub>=7), 1,18(m,H<sub>5</sub>), 1,68(m,H<sub>6</sub>) 1,88(m,H<sub>6</sub>), 1,60(m,H<sub>7</sub>), 2,32(dd,H<sub>8</sub>,J<sub>8,11</sub>=7,J<sub>8,7a</sub>=3), 2,99(dd,H<sub>1a</sub>,J<sub>1a,5a</sub>=J<sub>1a,2</sub>=4)

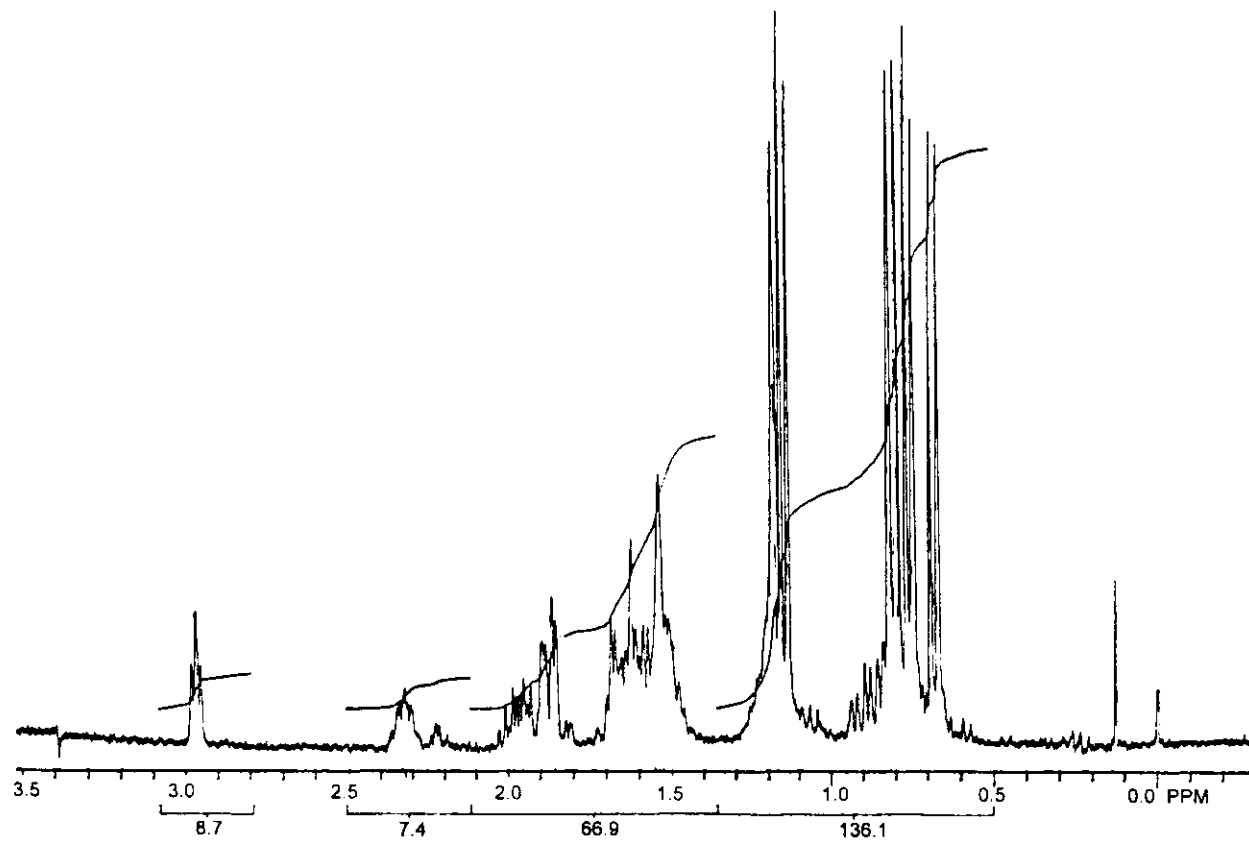
**RMN<sup>13</sup>C (75,5MHz,CDCl<sub>3</sub>):** δ 217,2(C<sub>1</sub>), 47,1(C<sub>1a</sub>), 47,8(C<sub>2</sub>), 28,3(C<sub>3</sub>), 36,1(C<sub>4</sub>), 30,8(C<sub>5</sub>), 48,7(C<sub>5a</sub>), 23,1(C<sub>6</sub>), 25,8(C<sub>7</sub>), 46,3(C<sub>8</sub>), 29,0(C<sub>9</sub>), 19,1(C<sub>10</sub>), 17,5(C<sub>11</sub>), 20,8(C<sub>12</sub>), 21,9(C<sub>13</sub>)



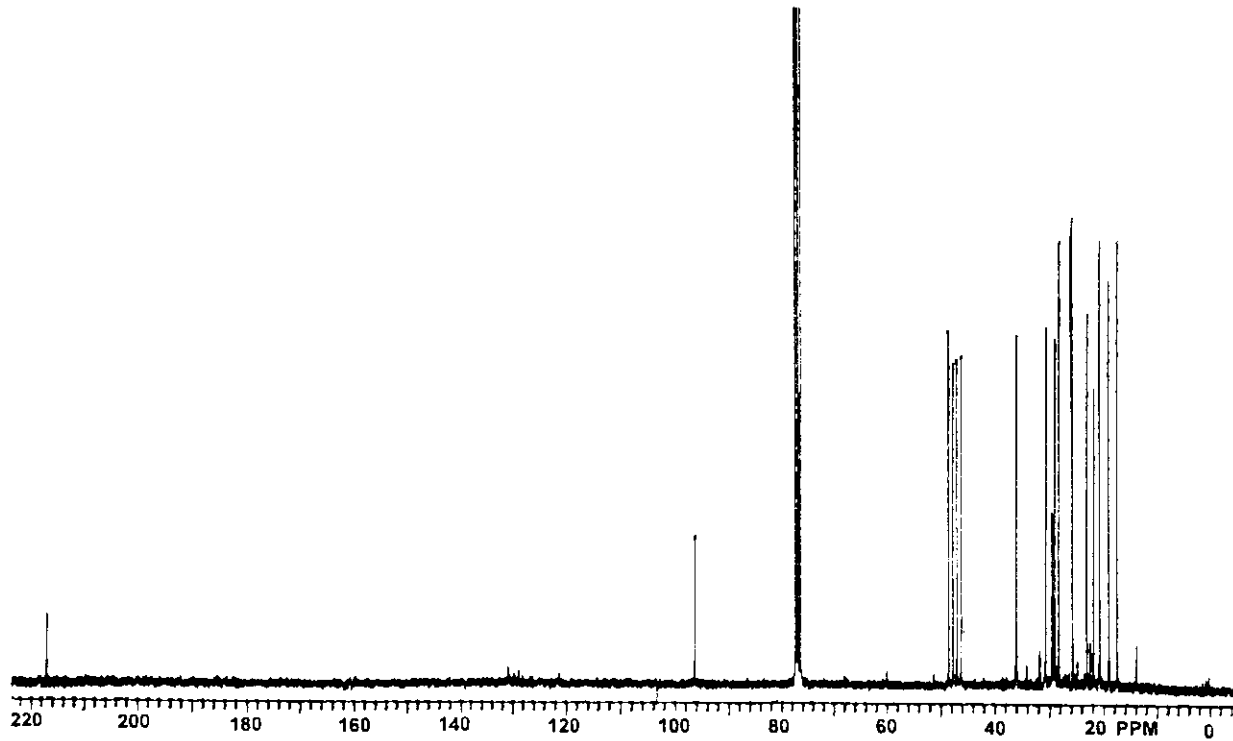
E-114.1: ESPECTRO DE MASSAS DA COMPOSTO 114



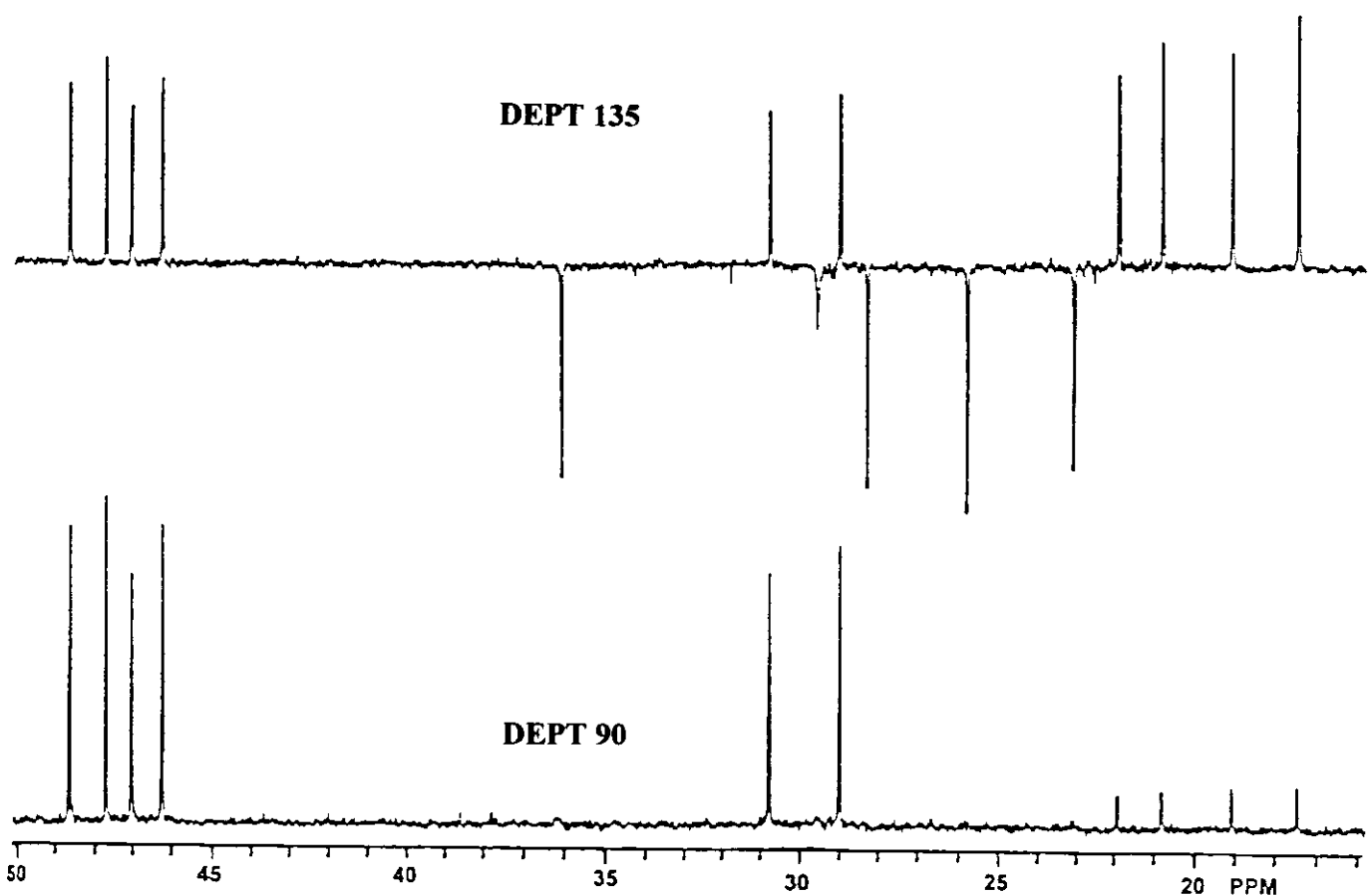
E-114.2: ESPECTRO NO INFRA-VERMELHO DO COMPOSTO 114



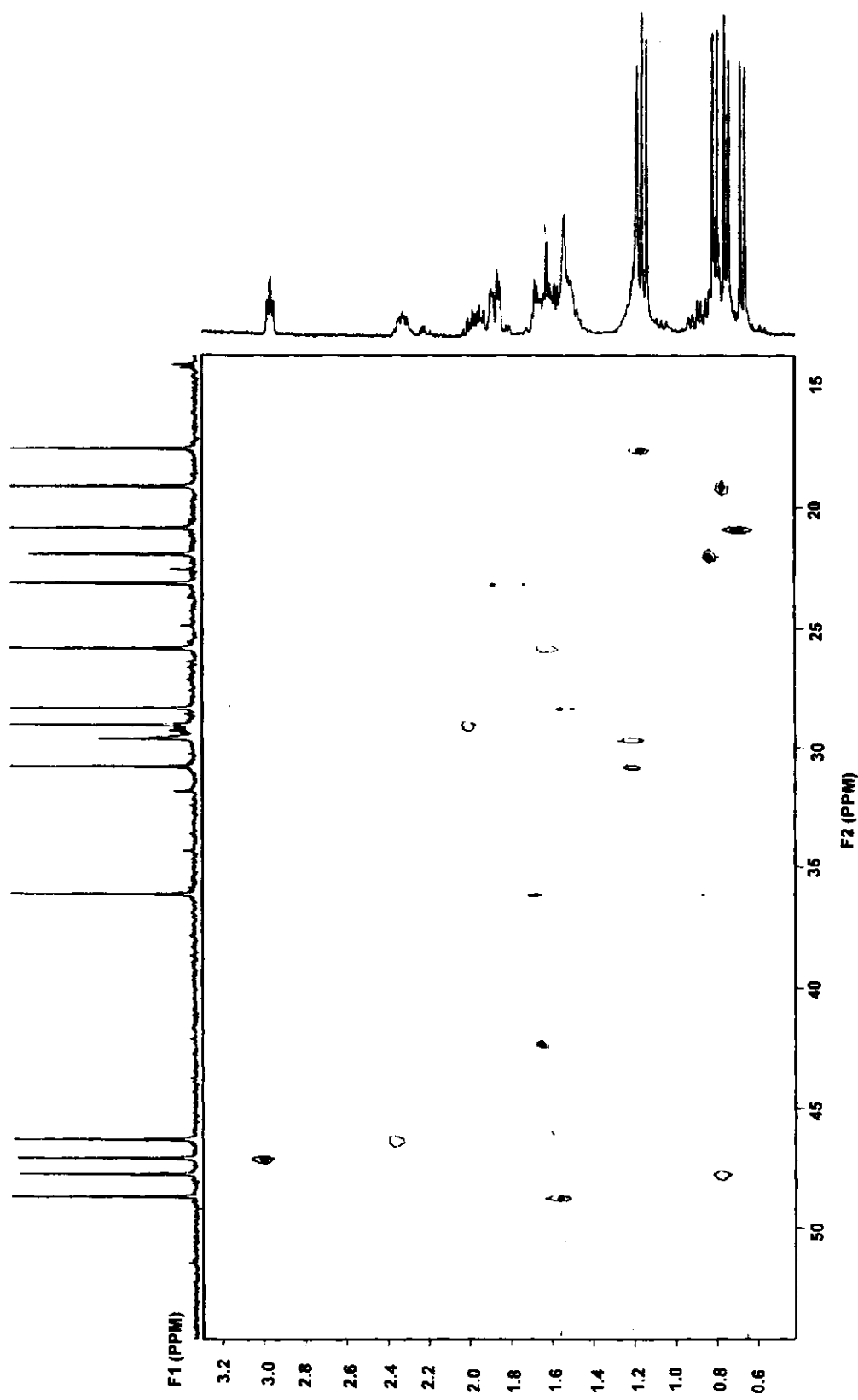
E-114.3: ESPECTRO DE RMN $^1\text{H}$  (300MHz,CDCl<sub>3</sub>) DO COMPOSTO **114**



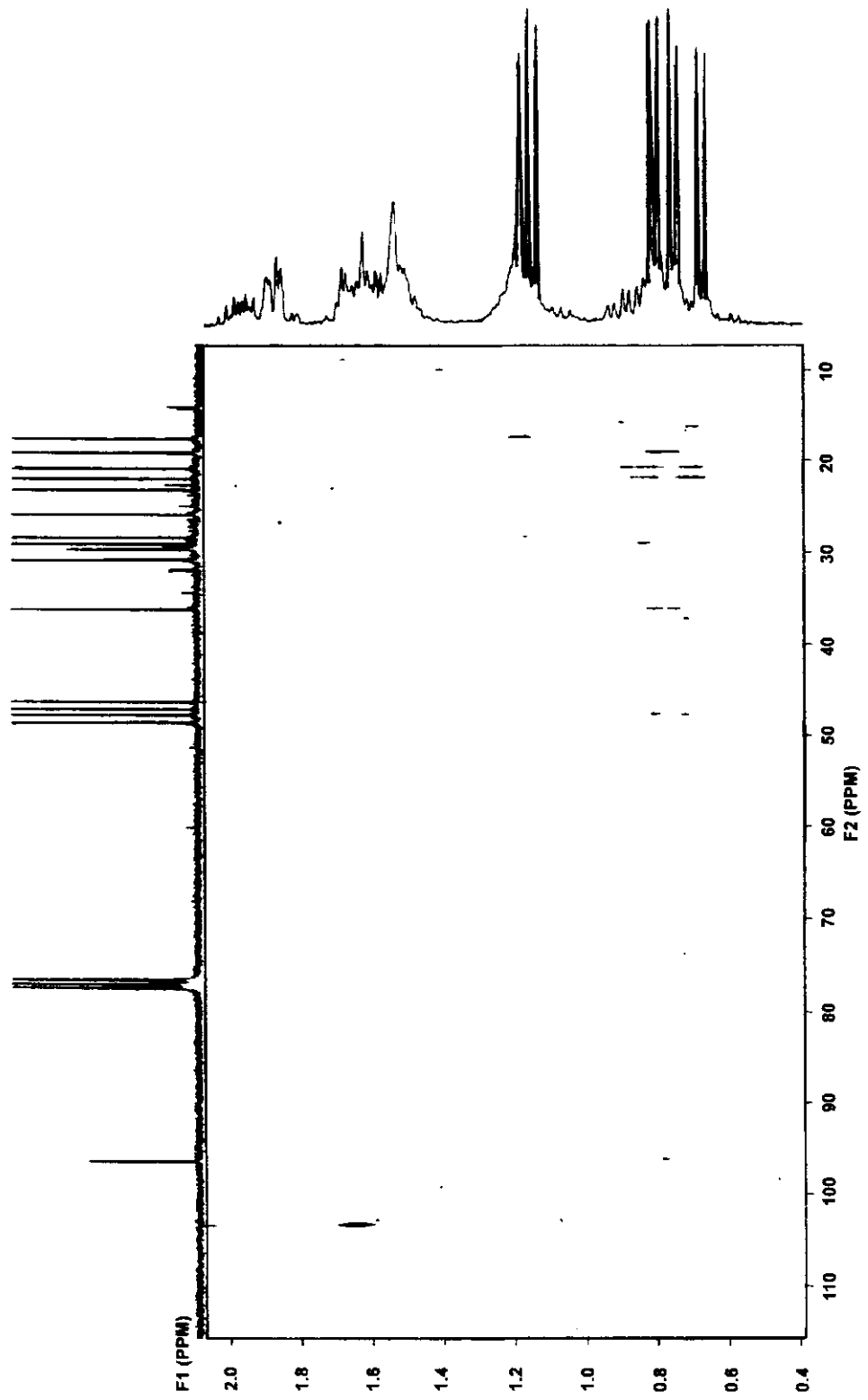
E-114.4: ESPECTRO DE RMN $^{13}\text{C}$  (75,5MHz,CDCl<sub>3</sub>) DO COMPOSTO **114**



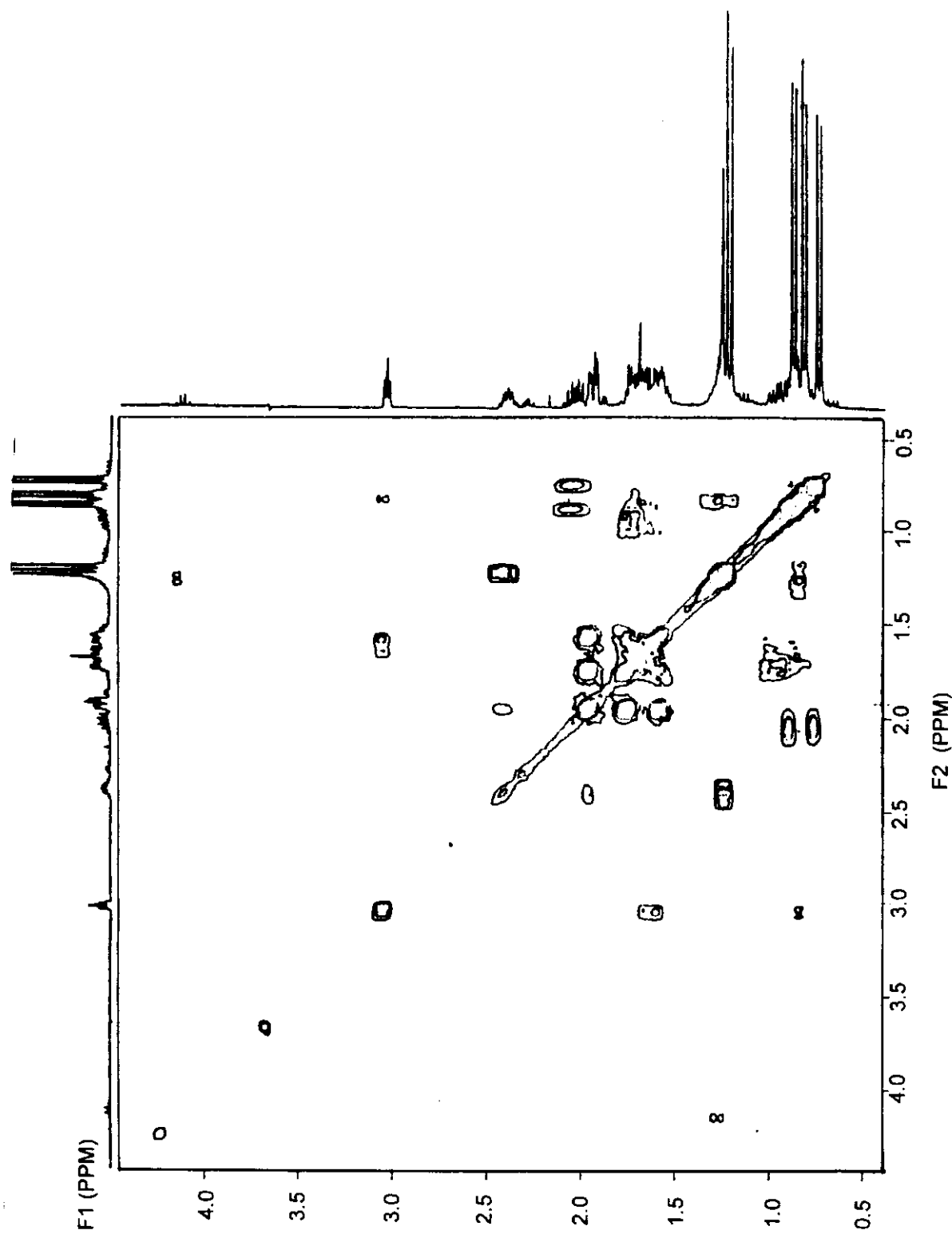
E-114.5: ESPECTRO DEPT DO COMPOSTO 114



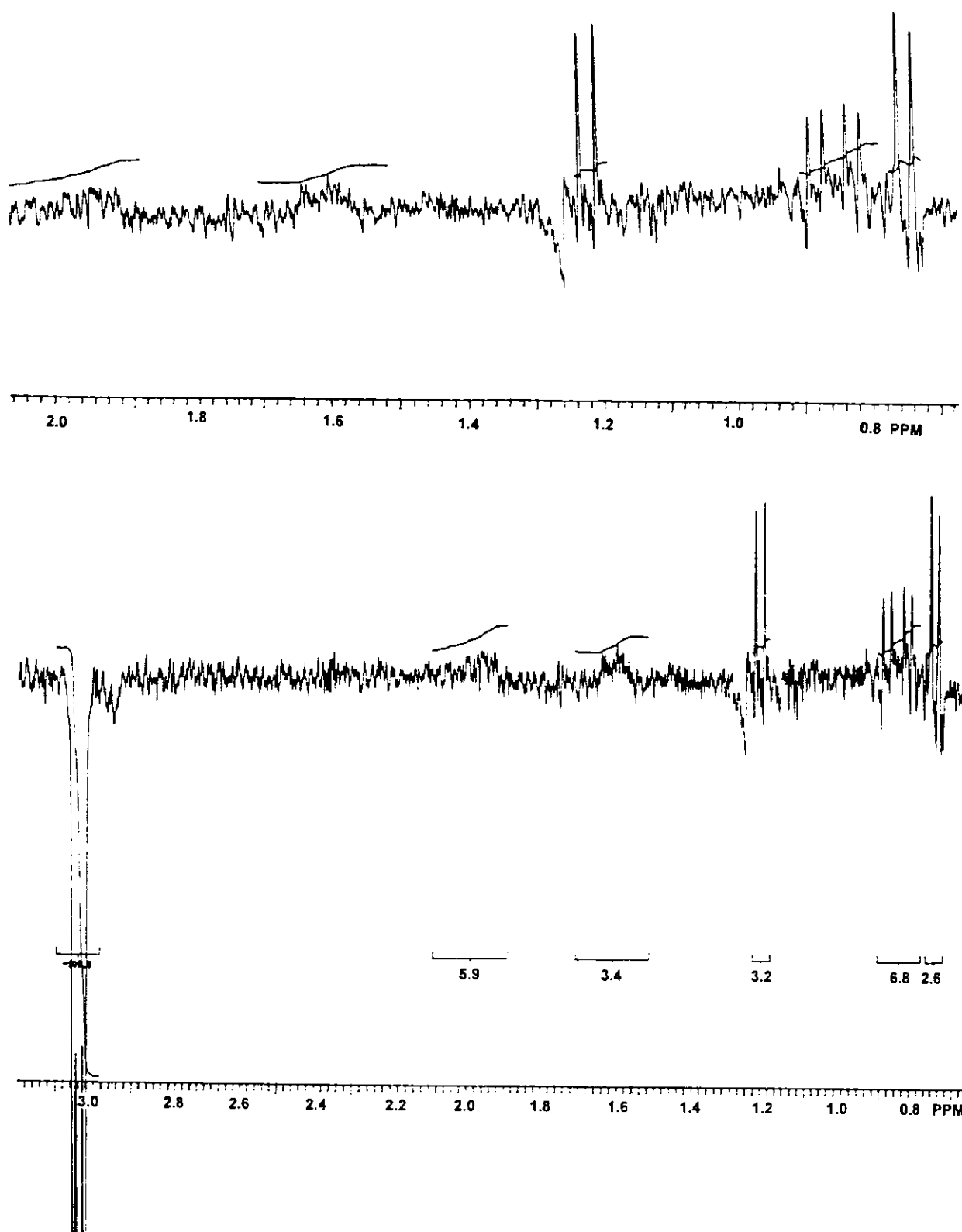
E-114.6: ESPECTRO HETCOR DO COMPOSTO **114**



E-114.7: ESPECTRO COLOC DO COMPOSTO 114



E-114.8: ESPECTRO COSY DO COMPOSTO 114



E-114.9: ESPECTRO "NOE" DO COMPOSTO 114

## *Referências Bibliográficas*

- /1/ Ding, G.S.; **Clinical Therapeutics**; (1987); 9; 345-357
- /2/ Ding, G.S.; **Drugs of Today**; (1987); 23; 467-476
- /3/ Ding, G.S.; **Int. Pharmacy Journal**; (1987); 11; 11-14
- /4/ Xiao, P.G.; **Bull. Chim. Materia Medica**; (1981); 6; 40-46; Wang, Y.Z.; **Chim. Pharm. Bull.**; (1984); 19; 579-582
- /5/ Boulos, M.; **Isto É**; (1991); 36
- /6/ Sanz, J.F.; Merco, J.A.; **Phytochemistry**; (1990); 29(9); 2919
- /7/ kelsey, R.G.; Shafizaleh, F.; **Phytochemistry**; (1979); 18; 1591-1611
- /8/ Klayman, D.L.; **Science**; (1985); 228; 1049-1055
- /9/ Klayman, D.L.; Acton, N.; **J. Nat. Prod.**; (1984); 4; 715
- /10/ Sharma, A.; Bindra, R.L.; Tewari, R.; **CIMAP**; (1991); 46; 46-61
- /11/ China Coorperative Research Group on qinghaosu and Its Deravatives ; **Acta Pharm. Sinica**; (1981); 6; 429-439
- /12/ Hase, Y.; **JCPE News**; 2; (1990); Program P.O 35
- /13/ Jahn, C.A.; Dissertação Tese- Estudo Botânico Da *Artemisia annua* L.; (1988)
- /14/ China Coorpertive Research Group On Qinghasu And Its Derivatives; **J. Trad. Chinese Medicine**; (1982); 2; 9-16
- /15/ Ding, G.S.; **Int. Jou. Exp. Clin. Chem.**; (1988); 1(2); 9-22
- /16/ Meshnick, S.R.; Thomas, A.; Ranz, A.; Xu, C.M.; **Mol. Bio. Par.**; (1991); 49; 181-190
- /17/ Woerdenbag, H.J.; Moskal, T.A.; **J. Nat. Prod.**; (1993); 56(6); 849-856
- /18/ Posner, G.H.; Ho Oh, C.; Wang, D.; **J. AM. CHEM. SOC.**; (1995); 117; 5885-5886
- /19/ Ahmad, A.; Misra, L.N.; **Phytochemistry**; (1994); 37(1); 183-186
- /20/ Posner, G.H.; McGarvey, J.; Ho Oh,C.; Kumar, N.; Meshnick, S. R.; Asawamahasadka, W.; **J. Med. Chem.**; (1995); 38; 607-612
- /21/ Wei, Z.X.; Pan, J.P.; Li, Y.; **Planta Med.**; (1992); 58; 300
- /22/ Brown, G.D.; **J. Nat. Prod.**; (1992); 55; 1756-1760
- /23/ Ranasinghe, A.; Sweatlock, J.D.; Cooks, R.G.; **J. Nat. Prod.**; (1993); 56(4); 552-563

- /24/ Misra, L.N.; Ahmad, A.; Thakur, R.S.; Jakupovic, J.; **Phytochemistry**; (1993); **33(6)**; 1461-146
- /25/ Misra, L.N.; **Phytochemistry**; (1986); **25(12)**; 2892-2893
- /26/ Bordoloi, M.; Shukla, V.S.; Nath, S.C.; Sharma, P.R.; **Phytochemistry**; (1989); **28(8)**; 2007-2037
- /27/ Woerdenbag, H.J.; Lugt, C.B.; Pras, N.; **Phar. Week. Scie. Ed.**; (1990); **12(5)**; 169-181
- /28/ Brown, G.D.; **Phytochemistry**; (1994); **36(6)**; 1553-1554
- /29/ Manns, D.; Hartmann, R.; **J. Nat. Prod.**; (1992); **55(1)**; 29-32
- /30/ Zheng, G.Q.; **Planta Med.**; (1994); **60**; 54-57
- /31/ Yang, S.Y.; Roberts, M.F.; O'Neil, M.J.; Bucar, F.; Phillipson, J.D.; **Phytochemistry**; (1995); **38(1)**; 255-257
- /32/ Akhila,A.; Rani,K.; Thakur,R.; **Phytochemistry**; (1990); **29(4)**; 2129-2132
- /33/ Sangwan,R.S.; Agawal,K.; Luthra,R.; **Phytochemistry**; (1993); **34(5)**; 1301-1302
- /34/ Nair,M.S.R.; Basile,D.V.; **J.Nat.Prod.**; (1993); **56(9)**; 1559-1566
- /35/ Brown,G.O.; **Phytochemistry**; (1994); **36(3)**; 637-641
- /36/ Toleva, P.D.; ognyanov, I.V.; Karova, E.A.; Geogiev, E.V.; **Rivista Italiana EPPOS**; (1975); **57**; 620; Tsankova, E.; Ognyanov, I.V.; **Rivista Italiana EPPOS**; (1976); **58**; 502
- /37/ Woerdenberg, H.J.; **Flavour and Fragrance Journal**; (1993); **8**; 131-137; Lawrence, B.M.; **Perf. Flav.**; (1995); **20**; 52-54
- /38/ Blasko, G.; Cordell, G.A.; **J.Nat.Prod.**; (1988); **51(6)**; 1273-1276
- /39/ Liu, J.M.; Ni, M.Y.; Fan, I.F.; Tu, Y.Y.; Wu, Z.H.; Zhou, W.S.; **Acta Chimica Sinica**; (1979); **37**; 129
- /40/ Misra, L.N.; Ahmad, A.; Thakur, R.S.; **J.Nat.Prod.**; (1993); **56(2)**; 215-219

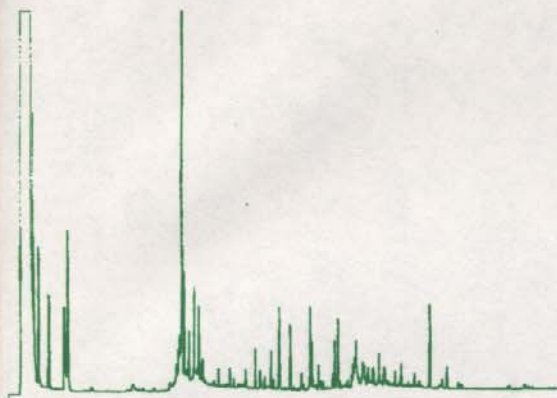
- /41/ Charles, D.J.; Simon, J.E.; Wood, K.V.; Heinstein, P.; **J.Nat.Prod.**; (1990);53(1); 157-160; b) Shishan, Z.; Mei-Yi,Z.; **Anal. Chem.**; (1986); 58; 289-292; c)ElSohly, H.N.; Croom,E.M., ElSohly, M.A.; **Pharm. Research**; (1987); 4(3); 258-260; d) Ferreira, J.F.S.; Charles, D.J.; Wood, K.; Janick, J., Simon, J.E.; **Phytochemical Analysis**; (1994); 5; e) Sipahimalani,A.T.; Fulzele, D.P.; Heble, M.R.; **J. Chrom.**; (1991); 538; 475-476; Jeremic, D.; Jokic, A.; behbud, A.; Stefonovic, M.; **Tetrahedron Lett.**; (1973); 3039; Pras, N.; Visser, J.F.; batterman, H.J.; Woerdenbag, H.J.; Malingré, T.M.; Lugts, C.B.; **Phytochemical Analysis**; (1991); 2; 80-83
- /42/ Rodrigues, R.A.; Foglio, M.A.; Sarkis, R.; Brosshard, R.; Grupo de Fitoquímica CPQBA-UNICAMP; (1994)
- /43/ Elsohly, H.N.; Croom Jr., E.M.; **J.Nat.Prod.**; (1990); 53(6); 1560-1564
- /44/ Roth, R.J.; Acton, N.; **J.Chem. Ed.**; (1989); 66; 349-350
- /45/ Shilin, Y.; Roberts, M.F.; Phillipson, J.D.; **Phytochemistry**; (1989); 28(5); 1509-1511
- /46/ Hase, Y.; **J.C.P.E. News**; (1990); 2; Program P.035
- /47/ Allinger, N.L.; **J. AM. CHEM. SOC.**; (1977); 99; 8127-40; Allinger, N.L.; Yuh, Y.M.; **Q.C.P.E.**; (1980); 11; 395
- /48/ Allinger, N.L.; Kok, R.A.; Iman, M.R.; **J.Comp.Chem.**; (1988); 9; 591
- /49/ Geraldes, C.F.G.C.; "Ressonância Magnética Nuclear, Fundamentos, Métodos e Aplicações"; (1987); Fundação Calouste Gulbenkian Lisboa; 703
- /50/ Martin, G.E.; Zekter, A.S.; **Two Dimensional NMR Methods For Establishing Molecular Connectivities**; VCH; N.Y.;(1988); Breitmaier,E.; Oetter, V.W.; **Carbon-13 NMR Spectroscopy**; VCH; N.Y.; (1987)
- /51/ Tu You-you, Ni Mu-Yun, Zhon yu-tong, Li Lan-na, Cui Shu-Lian, Zhang Mu-qun, Wang Xiu-Zhen and Liang XiāoTian, **Planta Medica**, ,(1982), 44, 143-45
- /52/ Wiley Database HP 59943b; (1986); John Wiley & Sons Inc.; Licesed To Hewlett Packard Company s/n 3032A46256
- /53/ Adams, R.P.;"Identification of Essential Oil Components by Gas Chromatography / Mass Spectroscopy"; (1995); Allured Publ. Com.; USA; pg 1-14
- /54/ Van Den Dool, H.; Kratzs, P.D.J.; **J. Chrom.**; (1963); 11; 463-471

- /55/ Hayashi, S.; Sato, H.; Hayashi, N.; Okude, N.; Matsura, T.; **J. Sci. Hiroshima Uni.Ser. A** II; (1967); **31(3)**; 217-231; Hanvise, J.; Puttemans, J.P.; Smolder, R.R.; **J.Chem.Soc.(C)**; (1968); 93-101
- /56/ March, J.; **Advanced Organic Chemistry: Reactions, Mechanisms, and Structure**, (1977); 956; McGraw-Hill, Inc.; Carey, S.; **Advanced Organic Chemistry**; (1984); **B**; 428; Plenum Press; N.Y.
- /57/ Kim, S.; Choi, J.**Nat.Prod.**; (1993); **56(6)**; 857-863
- /58/ March, J.; **Advanced Organic Chemistry: Reactions, Mechanisms, and Structure**, (1977); 708; McGraw-Hill, Inc.
- /59/ Wiestein, S.; Lucas,H.J.; **J. AM. CHEM. SOC.**; (1938); **60**; 836-847
- /60/ March, J.; **Advanced Organic Chemistry: Reactions, Mechanisms, and Structure**, (1977); 984; McGraw-Hill, Inc.
- /61/ Sales *et. al.*; **Sintese de Artemisinina e Seus Derivados**- Grupo de pesquisas do CPQBA/UNICAMP; Universidade Estadual de Campinas; c.p. 6171; Paulinia-S.P.
- /62/ Khand, I.U.; Knox, G.R.; Pauson,P.L.; Watts, W.E.; **JCS Perkin Trans I**;(1973); 975; Pauson, P.L.,**Organometallics in Organic Synthesis**; (1988); Springer, Berlin; Schore, N.E.; **Org.React.**; (1991); **40**; 1-89; a) Ferracini, V.L.; Tese de Doutorado; (1995); Unicamp
- /63/ Perrin, D.D.; Armarego, W.L.F.; Perrim, D.R.; **Purification of Laboratory Chemical**, (1980); Pergamon Press; Oxford
- /64/ “**Dyeing Reagents for Thin Layer and Paper Chromatography**”Merck; Darmstadt; (1971); pg 7
- /65/ Tu, Y.Y.; Ni, M.Y.; Fan, I.F.; Cui, S.T.; Zhang, M.Q.; Wang, X.Z.; Liang, X.T.; **Acta Pharm. Sinica**; (1981); **16**; 366
- /66/ Shilin, Y.; Roberts, M.F.; Phillipson, J.D.; **Phytochemistry**; (1989); **28(5)**; 1509-1511
- /67/ Desai, D.; **J.Indian Chem. Soc.**; (1963); **40**; 456
- /68/ Neeman, M.; Johnson, W.S.; **Org. Synth.**; (1973); **5**; 245; Arndt, T.F.; **Org. Synth.**; (1943); **2**; 165
- /69/ Rickborn, B.; Wuesthoff, M.T.; **J. AM. CHEM. SOC.**; (1970); **92**; 6894
- /70/ Rickborn, B; Lamke, W.E.; **J. ORG. CHEM.**; (1967); **32**; 537

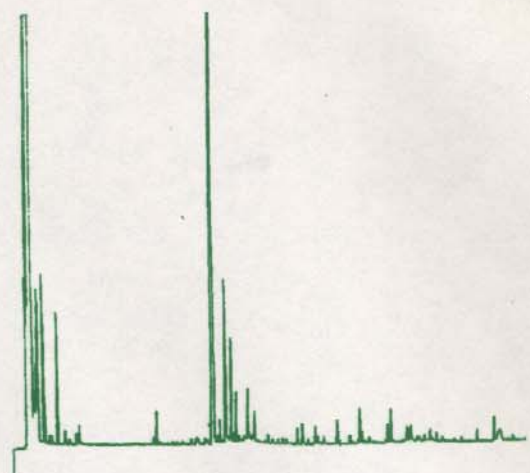
- /71/ Corey, E.J.; Erickson, B.N.; **J. ORG. CHEM.**; (1970); **35(9)**; 3195-3196
- /72/ Scheidegger, W.; Schaffner, K.; Jagger, O.; **Helv. Chim. Acta**; (1962); **45**; 400; Grant, T.P.; Weaver, S.R.; **Tetrahedron**; (1974); **30**; 2385
- /73/ Borowitz, I.J.; Parnes, H.; **J. ORG. CHEM.**; (1967); **32**; 3560
- /74/ Yandovskii, P.; Ershov, R.; **Russ. Chem. Rev.**; (1972); **41**; 403-410

*Anexos*

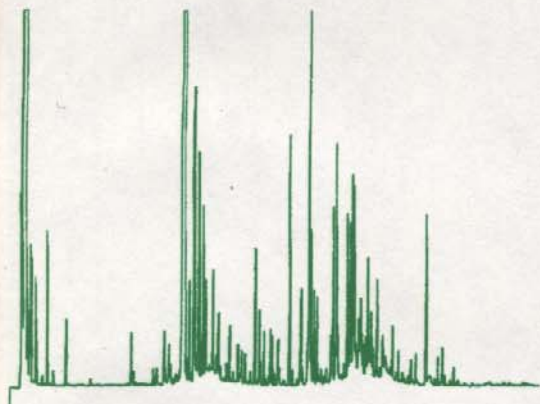
Perfil Cromatográfico do comportamento sazonal do óleo essencial de folhas de *Artemisia annua* L.



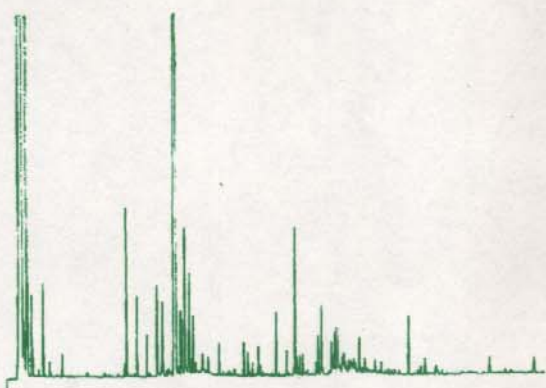
Perfil da 1<sup>a</sup> semana



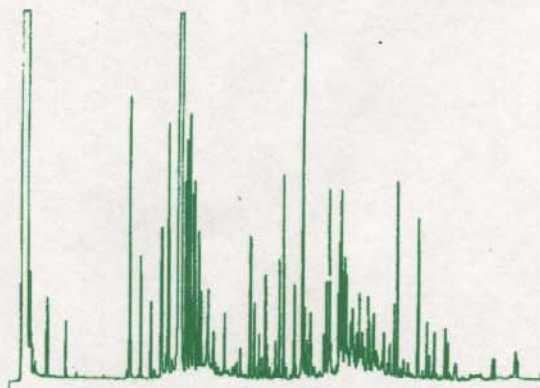
Perfil da 5<sup>a</sup> semana



Perfil da 6<sup>a</sup> semana

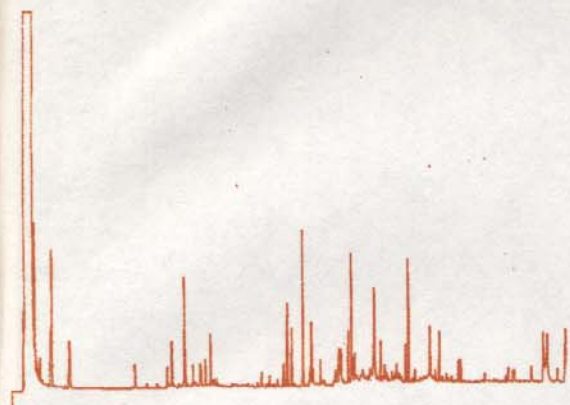


Perfil da 8<sup>a</sup> semana

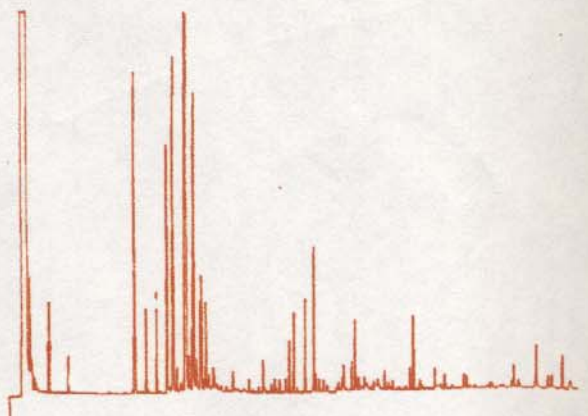


Perfil da 9<sup>a</sup> semana

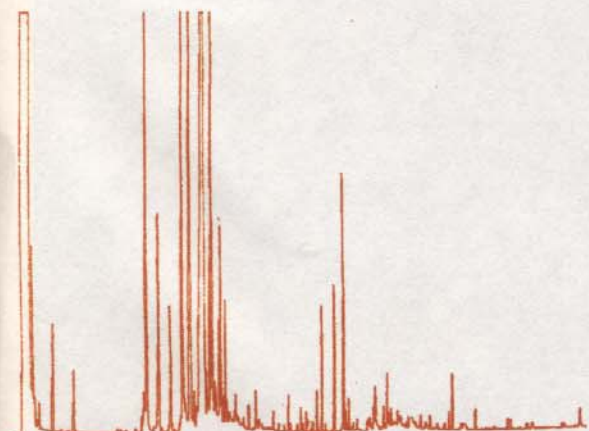
Perfil Cromatográfico do comportamento sazonal do óleo essencial de flores de *Artemisia annua* L.



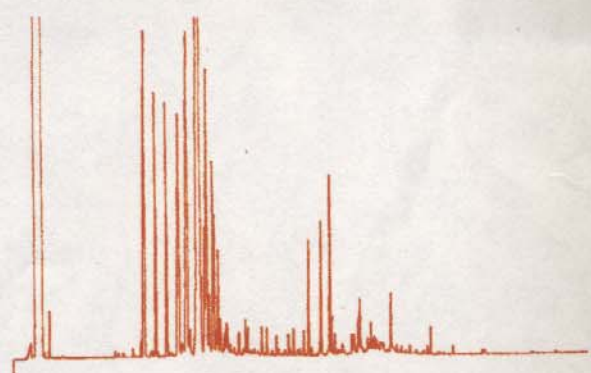
Perfil da 12<sup>a</sup> semana



Perfil da 14<sup>a</sup> semana



Perfil da 15<sup>a</sup> semana



Perfil da 16<sup>a</sup> semana